

ZrO<sub>2</sub>

VII - 2440

1910

202

Weiss L., Neumann F.

Z. anorg. Chem., 1910, 65, 248.

Polymerisation unacepbarer  
of Regulärer Zirconium.

Polymerie Zr. to ?

Tensile strength 1958,7 kg / ip.  
= 178,7 kg / swab ?

201

C.A. 1910-1924

$ZrO_2$  Ruff O.,  
 $(T_m)$  Z. anorg. allgem. Chem.,  
1913, 82, 373 - 400

1913

[31]  $T_m = 2585^\circ C$  ( $2636^\circ C$  ~~ausgez.~~)

$ZrO_2$  93%, aniso optica ~~bipyramidal~~  
a30ma.



Zr 02

BD-I-5664

1914

(7m)

Tidde b., Birnbrauer E.

Z. anorgan. Chem.

1914, 84, ~~129-168~~

129-168

$ZrO_2$  Ruff O., Lausche G. [1916]  
 $(T_m)$  Z. anorg. Chem., 1916, 97, 73-113

[25]  $T_m = 2519$  (в атмосфере  $H_2$ )

$T_m = 2563 \pm 10$  (в атмосфере водорода  
8,22 манг)

Примеси: 0,95%  $SiO_2$ ,  $Fe_2O_3$  - 0,27%



VII 3083

1917

~~Z<sub>2</sub> O<sub>2</sub>~~ (Tm)

Podszus

1. Angew. Chem., 1917, 30, 17.

size. 500



5

VII 460

1920

ZrO<sub>2</sub>, (Cp)

Bradshaw, Emery W.,  
L.

Gas. J., 1920, 150, 579

Transl. of cock orkeyzopibex  
names. nae back mleungs.

Be

Нен б 8-ке

$ZnO_2$

Nonamaker F.C.,

1924

Chem. Met. Eng.,

1924, 31, 151-155

$T_m =$

= 2900 °C

(Состав из минералов  
блюменштейн)



1925

$ZrO_2$ ,  
 $(T_m)$ , Hennig F.,  
Naturwissenschaften,  
1925, 13, 661

[75]

$T_m = 2687^\circ C$   
(atmosphära  $H_2$  u  $N_2$ )



B92 - 594 - VII

BP-VII 595

1926

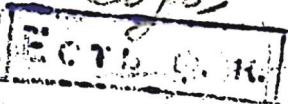
ZnO<sub>2</sub>i(Cp)

F.F., Kling-Tena H.,  
Hutting, Weneing

Kolloidchen, Beihefte, 1926, 23, 354

Tennoelurkast concretion opal,  
near package topopex Augo-oligoc  
Cob.

Be



BP-907-VII

1927

Zell

Boer J.H.

"Ind. Eng. Chem"

Tm; 78;

1927, 19, 1256-9.

VII 2353

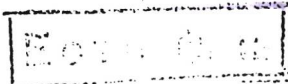
1929

8029

$\text{SnO}_2$ ,  $\text{TiO}_2$ ,  $\text{ZrO}_2$  (Cp)

Hüttig, Magie~~iewicz~~<sup>S.</sup>, Fichmann  
Z. phys. Chem. 1929, 141A, 8-34

Be



1929

 $ZrO_2$ 

Roth W.A., Becker G.

Z. physik. Chem., 1928, A145, 461

BPP-3016-VII

Tetraoxotitanium octop.

Temperatur sprödbarkeit us zähheit

 $ZrO_2$   $264 \pm 0,3$  $Cr_2O_3$   $298 \pm 1,0$  $CaO$   $147,1 \pm 0,6$  $ZrC$  52,5 (Ergebnis)

Tot

C.A. 1930 - 1783

ZrO<sub>2</sub> (Tz)

VII 2452 1929

Ruff O. and Ebert F.,

J. Z. anorg. Chem., 1929, 180, 19,  
41

Circ. 500

ЕСТЬ А. Н.

Б

VII - 5771

1929

FeO<sub>2</sub>-ThO<sub>2</sub> (T<sub>Tz</sub>)

Ruff O., Ebert F., Woitinek H.,

Z. anorgan. und allgem. Chem.,

1929, 180, 252 - 256

Б

ZrO<sub>2</sub> ( $T_{tz}$ )

VII 2465 1930

Cohen <sup>W.M.</sup> Tolksdorf S.,

1. Z. physik. Chem. B, 1930, 3,  
331-356

Circ. 500

ecm6 <sup>5</sup>  
q-k.

1930

 $ZrO_2$ Sieverts A., Gotte A., ~~Hahn~~Z. anorg. chem., 1930, 187, 155.~~Festigkeit~~ ~~ausgeschlossen~~  $T_a, Zr_2H_2$ .Obere Temperatur ~~ausgeschlossen~~  
berechnet

Mf

(no fax. loc.)  
= -256,1?Grenzweite  $Zr_2TiO_4$  pult 255 mm $T_a = T_a, 05$  478 mm $\Delta H_f Zr_2H_{1,32} = 38,9$  kJ/kZ  $ZrH_2 = 40,5$ 

mm

C.A.1930-2930

VII 1973

$\Delta H_f$  (  $\text{CO}_2$ ,  $\text{SiO}_2$ ,  $\text{TiO}_2$ ,  $\text{ZrO}_2$ ,  
 $\text{HfO}_2$ ,  $\text{ThO}_2$  ) 1931

Roth W.A.

Naturwissenschaften 1931, 19, 860

"Ordinal member and heat of  
formation

C.A., 1932, 346

M

Roth W.A.

$ZrO_2$

Clausing P., Bp-2873-VII | 1932

( $T_m$ )

Z. anorg. allgem. Chem.,  
1932, 204, 33-39.

[74]

$T_m = 2677 \pm 25^\circ C$  (uav.  $2663 \pm 5$ )

$HfO_2 < 1\%$ , atmosfera водорода



1932

 $ZrO_2$ 

B90-7224-VI

Roth, W.A., Becker, G.

Z. physik. Chem., 1932, A159, 1Atomare Wege & Tensoren des phys.-  
kundl.

$$\text{DH}_{253} ZrO_2 = 2.88,1 \pm 0,6$$

X904.

147

1934

ZrO<sub>2</sub>

98) (AEC-tr-4801) CONCERNING THE TRANS-  
FORMATION OF ZIRCONIA. A. Gambey and G. Chaudron.  
Translated by Gordon R. Love (Carnegie Inst. of Tech.,  
Pittsburgh) from Congr. chim. ind., 14<sup>e</sup> Congr., Paris, 1934  
6p.

Differential dilatometric analysis permitted determina-  
tion of the structure change which occurs in Zr during heat-  
ing, and evaluation of the importance of the phenomenon.  
Data are included on the crystallography of the solid solu-  
tions of zirconia with various oxides. (auth)

NSR-1962

$ZrO_2$

(3) Журнова Н.

1934

( $T_m$ )

MOX, 1934, 4, 1455-1470

[110]

$T_m = 2715^\circ\text{C}$  (использован.  $2765^\circ\text{C}$ )

(атмосфера водорода,  
б. вакуум)



VII - 1754

1934

ZrO<sub>2</sub>, Zr (C<sub>p</sub>, T<sub>fr</sub>, H<sub>T</sub>-H<sub>0</sub>)

Jaeger F.M., Veenstra W.A.,  
Recueil trav. chim., 1934, 53, 917

5



err6 q.k.

1934

ZrO<sub>2</sub>

- Neumann B., Kröger C., Kunz H.

Z. anorg. Chem. 1934, 218, 379.

Tetragonal crocoite-like  
modification.

$\Delta H_{292} = 258,2 \pm 0,3$

905

востоками, Россия

1926

Z202

Richtowcij Rossii [справочник]

(кн. I, часть I)

lit генерал генерал Z2 Rats.

Бенкер' бенкер' велич  $\Delta H^{\circ} = -263,4$ ,  
однако из более поздних и реальных  
данных таких экспериментов пока

бенкер' велич  $\Delta H^{\circ} = -258,1$ . Но-  
вый методический генерал кроруса,  
которого обсуждалось в последние  
исследованиях, был убедитель-  
нейшим - сплошным.

Die Towne zwischen Elberföde, Witten  
Rathenow und Wusterwitz wurde  $\Delta t = -256,1$ . Ce  
Tal war jedoch Berliner Meistertal.

[Por; Karpfen & Aale eines kleinen  
Meeresquariums  $\Delta t = -258,3 \pm 0,3$ ].

Richt. Pogg. -258,1

Bremen, 16th -259,1

De-Buyn, spach

1936

ZrO<sub>2</sub>

De Boer J. H. Fast J. D.  
Rec. trav. chim.  
1936, 55, 459

Δ Hoof

Δ Hoof / ZrO<sub>2</sub>) = 259 μm

2

1938

ZrO<sub>2</sub>

Roth W.A., Börger E., Siemersen H.,  
 Z. anorg. chem., 1938, 233, 321.

VII - 3079

$$\text{ZrO}_2 \Delta H_{298.15} = -259.8 \text{ kJ/mole}$$

Zr crystal c yttrium  
 (in ReO)

90b

Reo melt. xl, 35

ZrO<sub>2</sub>

Roth W. A., Wolf U., Fritz O.

Z. Elektrochem. 1940, 46, 411-412.

~~Ternary system Cr-Li-Al.~~Ternarny odpruzolivnyi vliye avto-  
mobilj. (korozija) u otsch stahane.Cnatushko. Ystoychivost obolochek  
takimis metodom. Ternarny vliye  
zincovej,  $D_{Hf} = 102,9 \pm 0,3$  kryzys  
uyn 22° u P=Const. $D_{Hf} La_2O_3$  -539±41001/3uds.

C.A. 1940-1945

$\text{Fe}_2\text{O}_3$  crushed to uniform size & 200 ft depth  
measured, open week solution sulphuric  
acid in combustion upon magnesia thermometer.  
Consumes 100% calcium  $\text{Al}_2\text{Fe}_2\text{O}_5$ ,  
by weight, therefore  $\Delta H = 50 \pm 3 \text{ kcal/mole}$

$ZrO_2$

Чукотка, Морозбенг, 1940  
Сахалин

P

Zintel E., Morawietz W.,  
Gastinger E.,  
Z. anorg. Chem., 1940, 245,  
Зависимо испарению  $ZrO_2$

ZrO<sub>2</sub> Cupru boroziat cu  
diamant aerigata, cu p<sub>ZrO<sub>2</sub></sub> = 1,5 · 10<sup>-7</sup> atm  
mpm T = 2073 K ; 1/f = 4,82  
lg p = 7,176 = - 6,824

Kelley

ФБ - VII - 3072

1949

ZrO<sub>2</sub>

Kelley K.K.,

Ind. Eng. Chem., 1944, 36,  
377

Cp < 298

Приложимо  
для отнесения  
циркония при назначении  
температуры

$$S_{298,10} = 12,03 \pm 0,08$$

~~S<sub>298,10</sub> = 12,03 ± 0,08~~

$T^{\circ}K$	$C_p$	<u>29° morev</u>	$\Delta H_{198} =$
52,3	1,473		$-258100$
295,0	13,25	обрзяг чистоти	

$$F = \Delta H - T \Delta S = \\ = 258100 - 46.5 \cdot T$$

Примеси 0,3 SiO<sub>2</sub>; 0,2 TiO<sub>2</sub>  $\Delta H = -244,200$   
0,07 CaO, 0,29% - другие примеси

$S'_{50,120K} = 0,445$	(0,44)	<u>В работе</u>
$S'_{298} - S'_{50} = 11,587$	11,68	<u>Более корректная</u>

$\frac{12,032}{\pm 0,018}$       12,12      оценка

ZrO<sub>2</sub>  
1915

Cook O.A.

1947

J. Amer. Chem. Soc.,

1947, 69, 331  
p.

Spinel

22

m.gr. ZrO<sub>2</sub>

V-14234; VI 3996; ~~7~~

1949

ZrO<sub>2</sub>, WO<sub>3</sub>, VO, NbO<sub>2</sub>, TiO<sub>2</sub>, FeO, B<sub>2</sub>O<sub>3</sub>,  
MgO (sHf, sGf).

Richardson F. S., Jeffes J. H. E.,  
Kubashewski O.,  
J. Iron Steel Inst. (London),

1949, 163, 147-153

CA, 1949, 20074

M, 5

$ZrO_2$  Trombe F.  
 $(T_m)$  Bull. Soc. franc. Ceram.  
1949, 3, 18-26

1949

[2]

$$T_m = 2700^\circ\text{C} \quad (\text{oxygéné})$$

MgO, TiO<sub>2</sub>, ZrO<sub>2</sub> (C<sub>p</sub>)

VII 920 1950

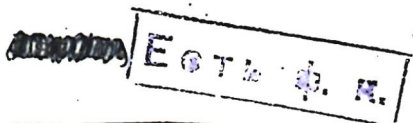
Arthur J.S.

J. Applied Phys., 1950, 21, 732-33.

The specific heats of MgO, TiO<sub>2</sub>, and  
ZrO<sub>2</sub> at high temperatures.

Be

CA., 1950, 44, 10480e



ZrO<sub>2</sub>

Kelley K.K.

1950?

Private communication,  
U.S. Bureau of Mines, Berkeley,  
California.

$$\frac{1}{2} \Delta H_{298} \text{ ZrO}_2 = -130,9 \pm 0,1$$

$$\Delta H_{298} = -261,8.$$

Source by Brewster's.

BHF

Kerim N 477

1950

ZrO<sub>2</sub>

Cp. 97 Kelley K.K.

$$\bar{S}_{298,16} = 12,12 \pm 0,08 \text{ e.u.}$$

CpL 298

$T^{\circ} K$	$C_p$
10	0,02
25	0,18
50	1,21
100	4,55
150	7,77
200	10,32
298,16	13,42

$$S_{298,16} = 12,12 \pm 0,08 \text{ J.K}^{-1}$$

VII 868 1950

Zr, ZrO<sub>2</sub>, ZrN, ZrSiO<sub>4</sub>, ZrCl<sub>4</sub>,  
(H<sub>T</sub>-H<sub>298</sub>, Htr, S)

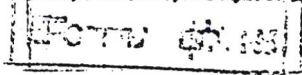
Coughlin J.P., King E.G.

J. Am. Chem. Soc., 1950, 72, 2262-65.

High-temperature heat contents of some  
zirconium-containing substances.

Be, M

CA., 1950, 44, 7136i



Searcy

Сири А (372)

1951.

$ZrO_2$

(неопубликованный оттиск)

ICRL - 1404

p(cm)

Репорт Радиационной  
лаборатории Колумбийского  
университета

в Брееверу

Сура неоднократно данное Чистиков и др.  
(Z. anorg. Chem., 1940, 248, 8) и получено  
дальнее направление  $ZrO_2$  при  $2073^{\circ}K$   
 $P = 1,5 \cdot 10^{-7}$  атм, это значит, более,  $ZrO_2$   
дальнее направление  $Zr$

$ZrO_2$   
( $T_m$ )

Lambertson W.A.,  
Guzel F.H., Jr.

1952

ANL US AEC Publ. AECOD-3865

[30]

$T_m = 2710^{\circ}\text{C}$  (<sup>+15</sup> up. <sup>+15</sup>)  
atm. ~~atmos~~ room

(HfO<sub>2</sub> - 2,03%)  
dp. 0,03%



Brewer L.  
Брээр

1953

ZrO<sub>2</sub>

Chem. Rev., 1953, 59, 1

$$\Delta H_{298,10}^{\circ} = -261\,800 \pm 200$$

$$\Delta H_{1000}^{\circ} = 2960 \pm 250 \text{ ккал/моль}$$

$$T_{\text{ин}} = 4570 \pm 300$$

Энергия диссоциации ZrO<sub>2</sub>

$$\Delta H_0^{\circ} = 360\,000 \pm 20\,000$$

энергия диссоциации

$$\text{ZrO} \quad D_0 = 170 \pm 20 \text{ ккал/моль}$$

ZrO<sub>2</sub> (Ttr)

VII 486

1953

Chalmin R.

Compt. rend., 1953, 236, 1785-7.

...

Dilatometric study of zirconium silicate  
(zircon) in the solar furnace.

hem βδ-ke

Be

CA., 1953, 9741.

VII 2069.

1953

ZrO<sub>2</sub> (Tz<sub>2</sub>)

Dietzel A., Töber H.

Ber. deut. z. keram. Ges.,

1953, 30, u. 3, 47-61.

C.A., 1953, 9712a 5.

ZrO<sub>2</sub>  
2076 Dietzel A., Tober H 1953

Vogels

Ber. Ötsch. keram. Ges.

1953, 30, 71  
S.

57

T. sp. ZrO<sub>2</sub> (K)

Stauzephimcont,

1953

ZrO<sub>2</sub>

Moscow.

Lambertson W.A., Mueller M.H.  
J. Amer. Ceram. Soc., 1953, 36,  
N°11, 365-368.

1808-III  
890-450

Pisobee pavlovensis cernua  
с орнаментом глаза II.

VO<sub>2</sub> - YrO<sub>2</sub>

X-525-1-223.

VII 895

1954

ZrO<sub>2</sub>, TiO<sub>2</sub>, CaO·TiO<sub>2</sub>, 3CaO·2TiO<sub>2</sub> (Tm)

Coughanour L.W., Roth R.S., De Prossse V.A.,

J. Res. Nat. Bur. Standards,

1954, 52, N1, 37-42



Б

ЕСТЬ Ф. Н.

$ZrO_2$  Curtis C.E., Loney L.M., [1954]  
( $T_m$ ) Johnson J.R.,  
J. Am. Ceram. Soc., 1954, 37, 458-465

[76]

$$T_m = 2850 \pm 25^\circ\text{C}$$

(Le okruglye tverdostnye massy,  
osnov. нипонез.)

Hf



1954

ZrO<sub>2</sub>Ta<sub>2</sub>O<sub>5</sub>Nb<sub>2</sub>O<sub>5</sub>Ta C

10/96

VII.

Humphrey G. L.

U. Amer. Chem. Soc., 1954, 76, 918.Темнота обогащена оксидом  
тантала, имеющим характеристики  
кварца тантала

сингония, не имея металлических

свойств танталита.

Ta 99,89%; Nb 99,69, Zr 99,67

Ta C 99,48

чай

Ta<sub>2</sub>O<sub>5</sub>       $\Delta H_{298,13} = -488,8 \pm 0,5 \text{ ккал/моль}$   
 Nb<sub>2</sub>O<sub>5</sub>       $\Delta H_{298,13} = -455,2 \pm 0,2$  Водородный бако-  
 зернистый  
 ZrO<sub>2</sub>       $\Delta H_{298,12} = -261,5 \pm 0,2$  Тензор стяжки,  
 теллуризации, Тен-  
 зор стяжки де-  
 зодиоксида циркония, волокна стяжки и напряжения  
 кристалла стяжки, напряжение 6 кн

Ta на 2000-4000 от 1 до 212, среднее 25

Nb на 31-4800 от 8 до 18

Zr на 1000-1500, волокна стяжки

TaC на 37-7200 от 15 до 104,ср 50  
 Равнозначимые величины наименьшего напря-  
 жения волокна. Тензор стяжки Тензор стяжки

Xoch, Nakama, Dzivotsion | 1954

ZrO<sub>2</sub> VII Hoch M., Nakata M., Yokuston H. L.,

JAC, 1954, 76, N 10, 2651-2

Давл. паров неопн. 6-6 RTT

Добавление паров ZrO<sub>2</sub>

Скорость испарения в 100 раз  
превышает скорость испарения  
циркония;  $\Delta H_{198,16}^{\circ} = 153,6 \pm 1 \text{ ккал}$

Температура 4500 град.

X-55-23-54617

$T^{\circ}K$	$1/T^{\circ}K$	$-\log \phi$
2064	4,84	6,179
2104	4,75	6,156
2152	4,65	5,711
2175	4,60	5,602
2244	4,46	5,101
2271	4,40	4,898
2282	4,38	4,969

$$Zw_2 = Z_2 + 20$$

$$\Delta H = 368 \pm 5 \text{ kJ/mol}$$

$$\begin{aligned} \log P_{\text{atm}} &= -34383/T \\ &- 7,98 \cdot 10^4 T + 11,98 \end{aligned}$$

(No emerys Breweries Research Jour. Rev., 1886, 264  
 gonne document ( ) Johnson, Peugeot  
 Socioeconomic consequences (Tauf - Ta)

Meffrein, Annecy. | 1954

2202

Murray P. Allison E.B.

Trans. Brit. Ceram. Soc., 1954,

53, N° 6, 335-361.

ст

18

1

VII

Изучение способов превра-  
щения окиси циркония  
в монокристаллическую магнези-  
тическую. в метапироксените.

X-56-14-53886.

Савицкая Н.Н.

1955

№ 02

Петровская Е. А.

М., 1955, Издр., илл.

Получение

Определение гастроидов от  
чурковидов и получение  
чистой выделки чурко-  
видов.



№ 56-9-2541512.

Мюнх, Розе.

1955

Л202

Trombe F., Töök M.

C. Z. Acad. sci., 1955, 240, N° 11,  
1225-1227.

Пояснение Научение чистой гибкости упрощает изучение  
связанных супроводов в галактике.

Л-55-23-84844

ZrO<sub>2</sub>  
1667<sup>v</sup>

Brewer L., Scarcey A. 1956

Epruwebe

Inn. Rev. Phys. Chem.  
1956, 7, p. 259

sl<sub>f</sub> ZrO<sub>2</sub>r

ZrO<sub>2</sub>

Kubaschewski O., Denck W.A., 1956  
Y. Inst. Metals, 1956, 84, 410

1956

ZrO<sub>2</sub>

19

Zr-O-

Dolomite dissociation & zirconia

-He

up to - melting type 1000°.

Polymer

Ca, Mg, Mn, Ba & Solids w/ Zr are  
melt type, 1000°. Dissociation  
coeff. up to 1000° by

C.d. 1956, 15153*a*, 15154*a*.B

Продукция содержит окись О (около 2%)

и в Zr-O рутил: Ca < 0,05; Mg 1,55;  
Ba 2,0. По составу минералы имели

состава с кристаллическими включениями  
и зернами Ti-O, V-O и FeO. Продукция имеет  
тех., характеристики пригодные  
ZrO<sub>2</sub> высоком-жел. изготавлив.

B9-2624-VII

1956.

ZrO<sub>2</sub>

Бракаси б:

Сундарали Р.В.

$\Delta F_i$

Kp;

В кн. „Химия драгоценных  
горючеслов (факт.) кн.

ученых на междунар.  
конференц. арх. № 27, (1955)

1956, 523-32

BP-VII 1651

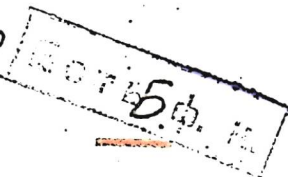
1956

$ZrO_2$  ( $T_{zr}$ )

Wittels M.C., Sherrill F.R.

J. Appl. Phys., 1956, 27, n<sup>o</sup> 6, 643-644.

PICKUPS, 1957, 18290



VIII 994

1956

$Zr_2O_3$ ,  $ThO_2$ ,  $ZrO_2$  ( $S_{298}^{\circ}$ )

$Ba(K_p, P)$ ,  $Ba_3WO_6$  ( $S_{298}^{\circ}, \Delta H_{298}^{\circ}$ )

Зайчева А.С.,

Уф. АН СССР. Леп. груп.,

1956, 20, № 10, 1123-1126

III, B

Рнжк, 1957, 53879

BP-1061-VII

1957

Chupra W. S., Yngbam M. G. D.

J. Chem. Phys., 1957, 26, 1207.

Метамагнитическая система  
 $Zr$ - $ZrO_2$ . Структура, определяемая  
 $ZrO$  и  $ZrO_2$ .

$$\rho(ZrO) = 7.8 \pm 0.2 \text{ г.}$$

$$\rho(ZrO_2) = 14.5 \pm 0.2 \text{ г.}$$

$\Delta H_f^{\circ}(\text{чугун}) ZrO = 188.2 \text{ ккал на молекулу}$

и 186 ккал на молекулу  
чугун адг. габаритов

Bsp - 1823 - 111

1957

ZrO<sub>2</sub>

Ore.

U<sub>3</sub>O<sub>8</sub> -  
= ZrO<sub>2</sub>

Ochs Leonard.

Z. Naturforsch., 1957, 12b.  
No 4, 215 - 222.

Несимметрическое сингония

полиморф.

U<sub>3</sub>O<sub>8</sub> - ZrO<sub>2</sub>

непроявление

ZrO<sub>2</sub> при 1200°C

X- 58-5-13588

ZrO<sub>2</sub>  
4208

schon A.H., Schwarz N.  
<sup>1957</sup>

Eigenschaften

Annu. Rev. Phys. Chem.  
1957, 8, p. 439

$\text{Mg}_{\frac{1}{4}} \text{ZrO}_2$

1957

Минкер, Годон

Stöcker, Collongues.

C. r. Acad. sci. 1957, 245, № 4,  
431-433

Приимоудренные гиопицавные  
соединения на основе глюкозы  
зарождающиеся в амилолизе  
или в алкарбонатной среде

X-585-13976

Bp-VII 1638

1957

Zr O<sub>2</sub> (Tm, Fe<sub>2</sub>)

Weber B.C., Schwartz M.A.

Ber. ötsch. keram. ges., 1957,  
34, u 12, 391-396.

PHEX, 1959,  
57772

5.

ЕСТЬ П.Н.

$\text{ZrO}_2$

1958

Ackermann R. J.,  
Thorn R. J.

$\Delta G;$

16 конгресс ИЮНДАК  
Paris, 1958, pp. 667-84.

(c.u.  $\text{Al}_2\text{O}_3$ ; I)

1958

 $ZrO_2$ 

Ackermann R.J., Thoru R.J.,  
 БХТ, 1958, NIC, ч. 2

 $\rho(\text{cm})$ 

$\Delta H_{\text{удл.}} = 163 \text{ ккал/моль}$

$\alpha \beta_0 = 38,0 \text{ } \mu\text{m}^{-1} 2584^\circ\text{K}$ ,

$\rho_T(\text{cm}) = -3,57 \cdot 10^4 / T + 8,30$

№ 202

Абдесон, Мюнкер | 1958

Collonges Robert,  
Stöcker Jochen.

G. T. Acad. Sci., 1958, 246, № 26,  
3641 - 3644.

Оп. успешивации и дифракции  
процесса разделения  
твёрдых растворов на основе  
окиси, упрочненной с куби-  
ческой решеткой.

X-59-4-10988.

Хоробков И.И.

1958

$ZrO_2$

Чижайлов В.В.

Докт. Академ., 1958, 120,  
X3, 527-530.

VIII-1900

Электронографическое изыс-  
кование неизоморфных  
звуковых упругостей в тон-  
ких пленках.

X-59-1-221.

Саркисов З.С 49г.

1958

2202

Литомаш энергия, 1958,  
5 № 5, 550-553.

Окисление циркония при вы-  
соких температурах и  
структуре непрерывных окис-  
ленных пленок.

X- 59-9-30550.

Василько об. Д.

1958

Z<sub>2</sub>Cly

Двтореф. дис. канд. техн. н.,

ZrO<sub>2</sub>

Моск. ин-т избесн. мат. и зо-

Zr

мера, м. 1958

Изучение реакции хлорирования  
ионов алюминия и карбидов  
циркония.

X-22-58-735622.

VII 2698 1958

$ZrO_2, ZrCl_4$  (Кр,  $\Delta F^\circ$ )

Василенко Б.В., Вольский А.Н.

Ж. неорган. химии, 1958, 3, № 7, 1497-504.

Термодинамика реакций хлорирования  
двуокиси циркония газообразным хлором.

РХ., 1959, 385

М

Bp-1652-VII

1958

Zrb<sub>2</sub>

Wolten g. M.

"J. Amer. Chem. Soc"

(Tet)

1958, 80 N8, 4772-75.

Желаткин В.И.

1958

Федоров В.С., Бриккин Г.Ю.

Док. неорганические, 1958,  
3, № 5, 1237-1240

Исследование равновесия  
в редкодых высокотемпературных  
 $TiO_2$  и  $V_2O_3$  узлеродов при  
высоких температурах.

X-21-58-70040



2002. 120004 1959

Инсп.

Октябрь 1959  
29.10.1959

1959

Agam, Pog mevc.

Adam J. Rogers M.D.

Acta Crystallogr., 1959,  
12, N11, 951.

Кристаллические структуры  
 $ZrO_2$  и  $HfO_2$

X-60-11-41694

VII 4390

1959

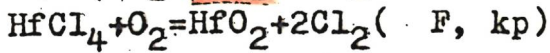
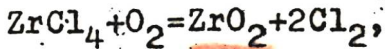
ZrD<sub>2</sub> (xp. cup.)

Collongues R., Stöcker J., Moser M.  
Chimie hautes températ. Paris, CNRS,  
1959, 23-27, Discuss. 49

Met

ecus p.K.

VII 886 1959



Evans J.

Trans. Amer. Inst. Mining, Metallurg. and  
Petrol. Engrs, 1958(1959), 212, 55-56.

Hafnium-zirconium separation by vapor  
phase dechlorination.

RX., 1962, 19B3

M

$ZrO_2$

Кахарола Я.П., Абдистин А.Д.

1959

Мурк. Чана. Код. 1959, 32,  
1951-57

Изобилие садильщиков и  
садильников  $ZrO_2$ .

ССР

51

1960.

22 г.

VII 984 1959

Z, Tm, p (CaO,  $\text{Al}_2\text{O}_3$ ,  
 $\text{Th}_2\text{O}$ ,  $\text{Ce}_2\text{O}_3$ , BeO,  $\text{HfO}_2$ ,  $\text{ZrO}_2$ ,  $\text{TiO}_2$ )

Livey D.T.

J. Less-Common Metals, 1959, 1, N2, 145-51.

The high temperature stability of oxides  
and sulphides.

RX., 1960, 37893      Be, M

E C I L Q. K.

V 6215

1959

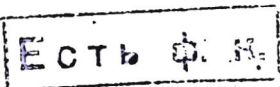
$\text{Al}_2\text{O}_3$ ,  $\text{ZrO}_2$ ,  
 $\text{HfO}_2$  (Tm)

Mark S.D.

H J.Amer.Ceram.Soc., 1959, 42, N4, 208.

Note on the system magnesia - thoria  
hafnia.

RX., 1960, 14211 Be



ZrO<sub>2</sub> (Ttr, Tm)

VII 9154 1959

Perez Y. Jorba, Collongues R.

Bull. soc. chim. France, 1959, N11-12, 1967-68.

Sur la nature des phases cubiques du  
système ZrO<sub>2</sub>-La<sub>2</sub>O<sub>3</sub>.

RX., 1960, 68607 Be

E C T S U. K.

1960

ZrO<sub>2</sub>

ЗБ188. Кристаллическая структура бадделейита (монооклиниой ZrO<sub>2</sub>). Белов Н. В. «Кристаллография», 1960, 5, № 3, 460—461.—Обсуждается определенная ранее (РЖХим, 1959, № 24, 84984) структура низкотемпературной модификации ZrO<sub>2</sub>. П. Зоркий

≈: 1961·3

1960

ZrO<sub>2</sub>

4Б391. О некоторых свойствах кристаллических модификаций ZrO<sub>2</sub>. Комиссарова Л. Н., Симанов Ю. П., Владимирова З. А. «Ж. неорганической химии», 1960, 5, № 7, 1413—1417.—Рентгенографически доказано, что тетрагон. модификация ZrO<sub>2</sub> кристаллизуется в интервале т-р 290—300° при термич. разложении Zr(OH)<sub>4</sub> и Zr(NO<sub>3</sub>)<sub>4</sub> и в интервале т-р 350—400° при разложении хлорокиси циркония. Дальнейшее повышение т-ры приводит к образованию монокл. модификации ZrO<sub>2</sub>. Из порошкограммы вычислены параметры низкотемпературной тетрагон. модификации ZrO<sub>2</sub>:  $a$  5,08 kX;  $c$  5,16<sub>8</sub>, и монокл. формы:  $a$  5,11<sub>7</sub>;  $b$  5,19<sub>2</sub>;  $c$  5,29<sub>9</sub> kX;  $\beta$  80,82°. На примере взаимодействия с р-рами HCl и H<sub>2</sub>SO<sub>4</sub> показано, что тетрагон. форма ZrO<sub>2</sub> значительно более реакционноспособна, чем моноклинная.

Из резюме авторов

ж. 1961 • 4

$ZrO_2$ ,  $T_{62}$

VII-14/5

(1960)

ЗБ412. Равновесие между  $ZrO_2$ ,  $ThO_2$  и  $UO_2$  при низких температурах. Mumpton F. A., Roy Rustum. Low-temperature equilibria among  $ZrO_2$ ,  $ThO_2$ , and  $UO_2$ . «J. Amer. Ceram. Soc.», 1960, 43, № 5, 234—240 (англ.).—Методами дифференциального термич. анализа и рентгеновским изучены равновесия ниже линии солидуса в системах  $ZrO_2$  —  $HfO_2$ ;  $ZrO_2$  —  $ThO_2$ ;  $ZrO_2$  —  $UO_2$  и  $ThO_2$  —  $UO_2$ . Большая часть опытов проводилась по обычной гидротермальной методике. Установлено, что для чистой  $ZrO_2$  переход монокл. формы в тетрагон. происходит при  $\sim 1170^\circ$ . С увеличением содержания  $HfO_2$  в  $ZrO_2$  т-ра фазового превращения повышает-

см. 4/65

1961·3

ся и для природной  $ZrO_2$  ( $2\% HfO_2$ ) составляет  $\sim 1190^\circ$ . При растворении  $ThO_2$  в  $ZrO_2$  т-ра фазового перехода снижается до  $\sim 1000^\circ$ . Максим. растворимость  $ThO_2$  в  $ZrO_2$ , равно как и  $ZrO_2$  в  $ThO_2$ , достигает 2 мол.% при  $400^\circ$ , повышаясь до  $\sim 5$  мол.% при  $1000^\circ$ . Ниже  $400^\circ$  в гидротермальных условиях (давление 1—4 тыс. кг/см<sup>2</sup>) для системы  $ZrO_2$  —  $ThO_2$  во всем интервале конц-ий может быть получен непрерывный ряд метастабильных твердых р-ров. При  $1350^\circ$  и парц. давлении  $O_2$ , соответствующем устойчивой форме  $U^{4+}$ , в монокл.  $ZrO_2$  растворяется  $< 4$  мол.%  $UO_2$ , а в  $UO_2$   $\sim 8 \pm 2$  мол.%  $ZrO_2$ . Тетрагон. форма  $ZrO_2$  не образует твердых р-ров с  $UO_2$ . При  $1300^\circ$  в системе  $ThO_2$  —  $UO_2$  может быть получен непрерывный ряд твердых р-ров.

И. Магидсон

$\text{ZrO}_2$

1960<sub>2</sub>

A.C. Victor, Douglas

H<sub>T</sub>-H<sub>273</sub>

273-1173°K

BXT, 1960<sub>2</sub>. w3 cp. 35.

$\gamma\text{TiO}_2$

Dummuck 9930,

1961

Breuder L., Rosenblat G.W.

Chem. Rev., 1961, 61 13-4),  
254-263.

( $\Delta H_f$ )

ZrO<sub>2</sub>  
1003 | Сухаревский Б. Я., Виш-  
Невский Н. Н., Гавриш А. А.

Борис  
Докл. АН СССР. 1961  
1961, 140, 884.

39

T. sp. ZrO<sub>2</sub> (K)

a runte  
nur Gebhardt E., | 1961

Z202,  
8

Segherzi H.D., Duerrschmid:  
W.,

J. Nucl. Mat.,

1961, 4, N3, 241  
(um 241)

[52]-usd

ausgetragen

Camerling

Активы не наимен существовавш  
кнб. модиф.  $ZrO_2$  ~~одн~~

чисто  $ZrO_2$

- $ZrO_2$  определены более  
поздними работами

1961

2202

20Б283. Исследования системы цирконий — кислород. Часть 2. Исследование кинетики реакции между цирконием и кислородом и строения системы цирконий — кислород. Gebhardt Erich, Seghezzi Hans-Dieter, Dürrschnabel Wolfgang. Untersuchungen in System Zirkonium—Sauerstoff. Teil 2. Untersuchungen zur Kinetik der Reaktion zwischen Zirkonium und Sauerstoff, sowie über die Konstitution des Systems Zirkonium — Sauerstoff. «J. Nucl. Mater.», 1961, 4, № 3, 255—268 (нем.; рез. англ., франц.). С помощью металлографич. метода анализа, а также измерения электросопротивления проволоки из Zr реакторной чистоты (99,9%), насыщенной O<sub>2</sub> при т-ре 1327—1757° и давлении O<sub>2</sub>  $1,5 \cdot 10^{-3}$  мм рт. ст., исследовано строение системы Zr — O, а также кинетика взаимодействия Zr с O<sub>2</sub>. Данные по системе Zr — O в основном подтверждают ранее опубликованные, с небольшими отклонениями в положении фазовых областей β, α и α + ZrO<sub>2</sub>. Их границы при т-ре 1757° 11,1% O (всюду ат.%), 18,2 и 32,5% и при 1457° 7,0, 15,0 и 31,2%. Установлено, что в интервале 1547—1597° растворимость O в Zr резко изменяется от 63,4% до 66,5%.

х. 1962. 20.

Call. № 55.

Предполагается, что выше  $1577^{\circ}$  существует высокотемпературная куб. модификация  $ZrO_2$ , которая распадается по эвтектоидной р-ции на  $\alpha$ - $Zr$  и тетрагон. модификацию  $ZrO_2$ , переходящую при понижении т-ры в моноклинную. Определены эмиссионная способность  $ZrO_{2-x}$  и уд. сопротивление ( $6,6 - 3,2 \cdot 10^{-3}$  ом см для  $ZrO_2$  с 64,5% O и т-р  $1427 - 1727^{\circ}$ ). Изучение кинетики взаимодействия Zr с O показало, что скорость процесса не зависит от т-ры и определяется диффузией O<sub>2</sub> к поверхности образца. Часть 1 см. РЖХим, 1962, 19Б292.

Л. Шведов



VII 1816

1969

ZrO<sub>2</sub> (Tzr)

Lynch. C.T., Vahldiek F.W.,  
Robinson L.B.

J. Amer. Ceram. Soc., 1961, 44, n. 3,  
147-148.

Prex, 1961, 20K166

5

B93-6001-VIII

Vaporization of zirconium oxide. M. M. Nakata,  
R. L. McKisson, and B. D. Pollock. U.S. At. Energy  
Comm. NAA-SR-6095, 10 pp.(1961).—The vaporization  
rate of Zr oxide in the temp. range 2410 to 2830°K. was  
measured by the Knudsen effusion technique, and the  
comprn. of the vapor was estd. from a mass-spectrometric  
observation. These data were used, with pertinent thermo-  
dynamic quantities obtained from the literature, to calc.  
the dissociation energies  $D(\text{ZrO}) = 7.8 \pm 0.2 \text{ e.v.}$ , and  $D(\text{ZrO}_2) = 14.9 \pm 0.2 \text{ e.v.}$  H. Jorgensen

c.a. 1961. 55. 22

21410a

BQ-1964-VII

1964.

ZrO<sub>2</sub>

Sense K.A.

"J. Amer. Ceram. Soc"

(T<sub>tr</sub>)

1961, 44, N9, 465-

$\text{ZrCl}_4$ ,  $\text{ZrBr}_4$ ,  $\text{ZrJ}_4$ ,  $\text{ZrO}_2$

VII 834  
1961

( $\Delta H_f$ ,  $\Delta H_q$ )

Turnbull A.G.

Thermochemistry of zirkonium  
n alides.

J. Phy. Chem., 1961, 65, N9, 1652-54

RX., 1963, 6B354

Est/orig.

W, M

*1962 - 50a*

*1962*

19Б255. К термодинамической характеристике двуокиси циркония, циркона, титанатов алюминия и магния. Бережной А. С. До термодинамічної характеристики двоокису цирконію, циркону, титанатів алюмінію і магнію. «Доповіді АН УРСР», 1962, № 1, 65—68 (укр.; рез. русск., англ.).—Рассчитаны теплоты образования из окислов  $\Delta H^{\circ}_{298}$  (ккал/моль):  $ZrSiO_4$  — 4,8;  $Al_2TiO_5$  + 2,7;  $MgTi_2O_5$  — 5,6;  $MgTiO_3$  — 2,4 и  $Mg_2TiO_4$  — 4,4. На основе литературных эксперим. данных и их экстраполяций построена  $P$  —  $T$ -диаграмма для  $ZrO_2$ . Вычислены величины изменений изобарного термодинамич. потенциала  $\Delta Z(T)$  для образования указанных соединений. Высокие давления должны способствовать образованию циркона из окислов. Гейколит  $MgTiO_3$  при высоких давлениях наиболее стабильный из всех титанатов магния, а  $MgTi_2O_5$  — наименее. Ди-титанат магния при вхождении в твердый р-р в  $Al_2TiO_5$  должен повышать стабильность последнего.

По резюме автора

*x. 1962, 19*

1962

B.P. E- 50a

$ZrO_2$   
P

Thermodynamic properties of zirconium oxides, zircon,  
and aluminum and magnesium titanates. A. S. Berezhnoi.  
*Dopovidi Akad. Nauk Ukr. RSR* 1962, No. 1, 65-8.—The  
heat of formation of  $ZrSiO_4$ ,  $Al_2TiO_5$ ,  $MgTi_2O_5$ ,  $MgTiO_3$ ,  
and  $Mg_2TiO_4$  from their oxides were calcd. At 298°K. they  
are, resp., -4.8, +2.7, -5.6, -2.4, and -4.4 kcal./mole.  
The  $P-T$  curve for  $ZrO_2$  was constructed and analyzed.  
The isobaric thermodynamic potentials for these compds.  
were computed and their stabilities at high temps. and  
pressures studied.

Gregory Pantchenko

~~B.P.~~

+3 mi.

C.A. 1962. 56. 13  
15000 h



1962

Bereznoi

ZrO<sub>2</sub>  
ZrSiO<sub>4</sub>  
Ti<sub>2</sub>O<sub>3</sub>  
Al<sub>2</sub>TiO<sub>5</sub>  
Mg<sub>2</sub>TiO<sub>3</sub>  
Mg<sub>2</sub>Ti<sub>2</sub>O<sub>5</sub>  
ΔH<sub>f</sub>  
ΔT<sub>f</sub>  
3

**22613** ON THE THERMODYNAMIC PROPERTIES OF ZIRCONIUM OXIDES, ZIRCON, ALUMINUM AND MAGNESIUM TITANATES. A. S. Berezhnoi (Ukrainian Inst. of Refractory Materials). Dopovidi Akad. Nauk Ukr. R.S.R., No. 1, 65-8(1962). (In Ukrainian).

Calculation methods were used to determine the heats of formation from oxides,  $\Delta H_{298}^0$ , for  $ZrSiO_4$ ,  $Al_2TiO_5$ ,  $MgTiO_3$ , and  $Mg_2TiO_4$ . They were respectively -4.8, +2.7, -5.6, -2.4, and -4.4 kcal/mol. On the basis of the published experimental data a P-T diagram for  $ZrO_2$  was constructed and analyzed. The values of the isobaric thermodynamic potential  $\Delta Z(T)$  for the formation of these compounds were computed, and their stability at high temperatures and pressures analyzed. At high pressures the most stable magnesium titanate was geikielite,  $MgTiO_3$ , while  $MgTi_2O_5$  was least stable. Magnesium titanate, on forming a solid solution in  $Al_2TiO_5$ , increased the stability of the lattice. (auth)

USA-1962-16-17

13

1962

ZrO<sub>2</sub>

7 Б409. Растворение кислорода в решетке циркония в процессе его окисления при высокой температуре. Debuigne J. Debuigne Jean, Lehr Pierre. Sur la dissolution d'oxygene dans le reseau métallique au cours de l'oxydation du zirconium à hautes températures. «C. r. Acad. sci.», 1962, 254, № 24, 4168—4170 (франц.)

Показано, что при окислении Zr при 600—800° в атмосфере чистого O<sub>2</sub> наблюдаются образование и рост пленки монокл. ZrO<sub>2</sub> и диффузия O<sub>2</sub> в лежащий под ней слой металла. В предположении, что пленка ZrO<sub>2</sub> имеет стехиометрич. состав, вычислено кол-во кислорода в ней и в металле в зависимости от времени выдержки образцов при 668—850°. Установлено, что проникновение O<sub>2</sub> в решетку Zr значительно изменяет механич. свойства последнего.

B. Ш.

X·1964·‡

ZrO<sub>2</sub>

TlO<sub>2</sub>

Al<sub>2</sub>O<sub>3</sub>

Grosse A.V. u gp.

J. Am. Chem. Soc.,  
84, 3209

1962

High temperature contain-  
ment of substances above  
the melting point of the  
container.



(Cu. Al<sub>2</sub>O<sub>3</sub>)I

I962

$\text{ZrO}_2$

Гурвич Л.В. и др.

Кричев. и

издк.

Москва, I962

т.Ф.

Термодинамические св-ва индивидуальных веществ.

ZrO<sub>2</sub>

Neel D.S., Pears C.D. 1962

Tensiofierz.

cb - ba

Progr. Intern. Res. Thermo-dyn. Transport. Properties, Papers Symp. Thermophys. Properties, 2nd, Princeton, N.Y., 1962, 500 - 11. (8ng)

Measurement of high-temperature behavior up to 5000° F.  
(ccu. W)

VII - 611 - 89

FrO<sub>2</sub>  
2018  
-

~~Бородов Н.Н. Данилин А.~~  
~~Корогов Н.Н. Данилин А.С.,~~  
~~Ковалев И.И.~~  
~~Ковалев И.И. (прост. Текст)~~

Equatione

In: Thermodyn. Nucl. Mater.  
Proc. Symp., Vienna, 1962,  
Vienna, IAEA, 1963, p 789.

8MgZnO<sub>2</sub>,

ZrO<sub>2</sub>  
2655

Hinz I., Gietzelt A.<sup>1962</sup>

Sight

Ber. Rtsch. keram.

Ges., 1962, 39, 489

s.

18

T. op. ZrO<sub>2</sub>(K)

1969

ZrD<sub>2</sub>, La<sub>2</sub>D<sub>3</sub>, Gd<sub>2</sub>D<sub>3</sub> «gr. (a, b, c)

Perez y Jorba M.,

Ann. Chimie, 1962, 7, N 7-8, 479-511

U.I.

Phex, 1963, 156366

BP-1425 -VII

1962

ZrO<sub>2</sub>

g<sup>2</sup>)

Tz2

[82]

us дисперсии  
Семенова

Smith D.K.,

Cline C.F.,

J. Amer. Ceram. Soc.,

1962, 45, 249

Синтетическое низк. ZrO<sub>2</sub>  
нанодисперсных транс-

(ам. Технадо № 91)

1962

ZrO<sub>2</sub>

10 Б266. Кристаллическая структура тетрагонального ZrO<sub>2</sub>. Teufel G. The crystal structure of tetragonal ZrO<sub>2</sub>. «Acta crystallogr.», 1962, 15, № 11, 1187 (англ.)

Проведено рентгенографич. исследование (метод порошка,  $\lambda$ Си- и Cr- $K_{\alpha}$ ) ZrO<sub>2</sub> (I). Параметры тетрагон. решетки (при 1250°):  $a = 3,64$ ,  $c = 5,27 \text{ \AA}$ ,  $Z = 4$ , ф. гр.  $P4_2/nmc$ . Для решения структуры использовано сходство структур I и CaF<sub>2</sub>, в которых атомы размещаются в сходных позициях  $xyz$ : Zr в ( $a$ ) 0,0,0;  $\frac{1}{2}, \frac{1}{2}, \frac{1}{2}$ ; O в ( $d$ ) 0,  $\frac{1}{2}$ ,  $z$ ;  $\frac{1}{2}, 0, z$ ;  $0, \frac{1}{2}, \frac{1}{2} + z$ ;  $\frac{1}{2}, 0, \frac{1}{2} - z$ ;  $z = 0,185$  в отличие от  $z = \frac{1}{4}$  в CaF<sub>2</sub>. Структура уточнена методом наименьших квадратов с использованием изотропных факторов  $B$  для атомов Zr (1,66) и для атомов O (3,11  $\text{\AA}^2$ ) до  $R(hkl) = 0,67$ . Каждый атом Zr расположен в окружении атомов O, образующих 2 искаженных тетраэдра, повернутых относительно друг друга на 90°. Межатомные расстояния Zr — O<sub>(1)</sub> 2,065 и Zr — O<sub>(2)</sub> 2,455  $\text{\AA}$ . Отмечается изоструктурность I с HgJ<sub>2</sub>.

Н. Баталиева

X-1963-10

1962

ZrO<sub>2</sub>T<sub>c2</sub> =

= 1155 ± 1 °C

14 Б575. О кинетике полиморфного превращения ZrO<sub>2</sub>. Сухаревский Б. Я., Вишневский И. И. «Докл. АН СССР», 1962, 147, № 4, 882—885.

Рентгенофазовым методом исследована кинетика полиморфного превращения ZrO<sub>2</sub> при  $T = 1155 \pm 1^\circ$ . Установлено, что величина температурного интервала  $\alpha \rightarrow \beta$ -перехода ZrO<sub>2</sub> определяется не только условиями получения пробы и примесями, но и термич. предысторией образца. Я. Шенкян

1397-IV

1397-1397

ВР

Х. 1963.14

1962

ZrO<sub>2</sub>

Crystallography

Structure

4504

THE CRYSTAL STRUCTURE OF TETRAGONAL ZrO<sub>2</sub>. G. Teufer (E. I. du Pont de Nemours and Co., Wilmington, Del.). Acta Cryst., 15: 1187(Nov. 10, 1962).

In the course of a high-temperature x-ray diffraction study of tetragonal ZrO<sub>2</sub>, a number of previously unreported reflections, which are inconsistent with a body-centered lattice, have been observed. The intensities of most of these reflections are rather low, but the strongest of these (the (102) reflection) was observed throughout the temperature range from 1200 to 1950°C. during heating and from 1950 to 900°C. during cooling, both in purified ZrO<sub>2</sub> as well as in specimens containing about 2% of hafnium. (R.J.S.)

NSA-1963-17-4

1962

2202  
4519 PHASE TRANSFORMATION OF ZIRCONIUM OXIDE. INFLUENCE OF PRESSURE AND TEMPERATURE. F. W. Vahldiek, L. B. Robinson, and C. T. Lynch (Wright-Patterson Air Force Base, Ohio). J. Chem. Eng. Data, 7: 479-(Oct. 1962).

quenched  
reheated  
new  
bottom  
abnormal

Monoclinic zirconia was pressed to ~20,000 atm at >1800°C, quenched, fired for 1 hr at 1350°C, and quenched. X-ray diffraction patterns were obtained while quenching was repeated through the phase transformation temperature range 800 to 1240°C; the results show that the new monoclinic-tetragonal phase transformation is shifted to 950 to 1000°C and that the tetragonal phase is stabilized at low temperatures. (D.L.C.)

IV SA-1963-17-4

1969

ZrO<sub>2</sub> | 47 Б344. Фазовое превращение двуокиси циркония. Влияние давления и температуры. Vahldiek F. W., Robinson L. B., Lynch C. T. Phase transformation of zirconium oxide. Influence of pressure and temperature. «J. Chem. and Engng Data», 1962, 7, № 4, 479 (англ.)

Tc2 В камере для высоких т-р ( $> 1800^\circ$ ) и давлений (до 2000 атм), состоящей из нагревательного элемента SiC—C, изоляции из В<sub>4</sub>C и платинового держателя образца, исследованы образцы монокл. ZrO<sub>2</sub>. После некоторой выдержки производилась закалка. Закаленные образцы при последующих нагревах до 1350° и закалках не растрескивались. С помощью высокотемпературной рентгенографии показано, что в изучаемых образцах фазовый переход в тетрагон. фазу сместился в область более низких т-р (с 110—1250° до 900—1020°), причем при охлаждении превращение происходит более медленно, чем обычно. А. Розанов

X 1963.14

$\text{ZrO}_2$

1962

A. C. Victor, T. B. Douglas

H<sub>T</sub>-H<sub>273</sub>

273-1173°K

B. TT, 1962, n5, exp. 55

1962

N.M. Voronov, A.S. Danilin, and I.T.

$ZrO_2$  // Kovalev

Preprint Sm-26/53

Part II  
Aug 1953  
Determination of the rate of  
vaporization of metallic oxides  
on samples heated by electric  
current

NS · 1962.16.19

(cu.  $UO_2$ ) I

196

ZrO<sub>2</sub>

Voronov N. N., Danilin A. S.,  
 Kovalev T. T.

P

BGP - 053 - VII

Thermodyn. Nucl. Mater. Proc.  
 Symp., Vienna 1962, 789-800

Determination of the rate of  
 vaporization of metallic  
 oxides on samples heated  
 by an electric current  
 (e.g. UO<sub>2</sub>) I

7.2.02

Weber B.C.

1962

J. Amer. Ceram. Soc.

1962, 45 (12), 614-615

Несообразное (неравномерное)  
и неравнозернистое  
дизайнерское покрытие.



Всё ср. я отмечаем, что Смит и Клайн  
использовали бамбук или дерево  
атмосферу при плавке  $ZrO_2$  ( $T_{tr} = 2285^\circ C$ ),  
так как иначе дело с продуктом,  
имевшим дефектный кристаллический  
 $(ZrO_2-x)$ . Гебхардт и др. ....

VII-1648

1962

ZrO<sub>2</sub>

8837) EFFECT OF PRESSURE ON MONOCLINIC-TETRAGONAL TRANSITION OF ZIRCONIA; THERMODYNAMICS. E. Dow Whitney (Carborundum Co., Niagara Falls, N. Y.). J. Am. Ceram. Soc., 45: 612-13(Dec. 1962)

The pressure-temperature equilibrium curve for the monoclinic-tetragonal transformation at ~1200°C in zirconia was calculated. (R.J.S.)

(Mejoré la calidad  
de este texto)

NSR-1963-17-6

ZwZ | 200cy | 1962

Wolf E.G., Alcock C.B.

(unap) Trans of British

ceramic Soc

1962, Pt, N10, 684-687

*ZrO<sub>2</sub>*

14 E425. Фазовое превращение в окислах гафния и циркония при высоких температурах. Ван Уильям Л. Phase transformation at high temperatures in hafnia and zirconia. «Science», 1963, 140, № 3573, 1330—1331 (англ.)

1963

С помощью высокотемпературного рентгеновского дифрактометра изучен переход от фазы с моноклинной структурой в фазу с тетраг. структурой в спектрально чистых  $\text{HfO}_2$  и  $\text{ZrO}_2$ . Превращение при нагреве происходит в интервале 1000—1200° С для  $\text{ZrO}_2$  и 1500—1600° С для  $\text{HfO}_2$ . Интервал превращения при охлаждении, соответственно, 970—750° С и 1550—1450° С. Структуры обеих тетраг. фаз, по-видимому, не совпадают. Скорости нагрева и охлаждения мало влияют на размеры термич. гистерезиса: постоянная интенсивность линий на рентгенограммах достигается через несколько минут выдержки при каждой т-ре. Фазовое превращение в  $\text{ZrO}_2$  при т-рах, соответствующих наибольшей интенсивности его развития, может наблюдаться визуально по перемещению отдельных частиц в момент превращения.

Л. Миркин

Б90-57-1-VII

дз. 1964. 42

III 326

new, не законч

1963

БЮЛЛЕТИНЬ Y.5.

The Chemical Behavior  
of Zirconium)

Хуань Чжунчжун;

[51]

Мир, М., 1963.

(New York - London - Toronto,  
1958.)

(Реп-род. под А.Н.Комиссарова и Б.Н.Смычко)

ZrO<sub>2</sub>

$\alpha$ -Zr может растворять 30% ат. O  
( $ZrO_{0,3}$ ) без образования новых фаз. Существо-  
вание тв. р-ра с  $\beta$ -Zr или субокисл  
зirconия не обнаружено.

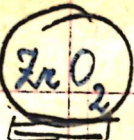
Металлич. Zr и  $ZrO_2$  во-видимому взаимно  
р-реагируют в расщепленном соединении

1963  
8 Б401. Металлографическое и рентгенографическое исследование системы  $\text{UO}_2$ — $\text{ZrO}_2$ . Cohen I., Schaper B. E. A metallographic and x-ray study of the  $\text{UO}_2$ — $\text{ZrO}_2$  system. «J. Nucl. Mater.», 1963, 9, № 1, 18—52 (англ.; рез. франц., нем.)

Система  $\text{UO}_2$ — $\text{ZrO}_2$  исследована при 1200—2350° металлографич. и рентгенографич. методами. На основании экспериментальных, а также некоторых литературных данных построена фазовая диаграмма. Исследованы твердые р-ры  $\text{UO}_2$ — $\text{ZrO}_2$ , полученные обжигом в  $\text{H}_2$  при 1725° смесей окислов U и Zr. Установлен непрерывный ряд твердых р-ров с гранецентр. куб. решеткой, при т-рах 2300—2550°. Для  $\text{ZrO}_2$  устойчивой формой выше 2300° и до т-ры плавления является гранецентр. кубическая, при более низких т-рах устойчивы тетрагон. и монокл. формы. Обнаружена двухфазная область с равновесными гранецентр. куб. и гранецентр. тетрагон. фазами в интервале 1660—2300° для составов, близких к  $\text{ZrO}_2$ . Границы области при 1690° простираются от 50 до 19 мол. %  $\text{UO}_2$ . С повышением т-ры резко возрастает растворимость  $\text{ZrO}_2$  в  $\text{UO}_2$  в куб. фазе, в то время как растворимость  $\text{UO}_2$  в тетрагон. фазе  $\text{ZrO}_2$  остается по-

отмечено

X·1964·8



ссе. кефод.

стационарной до 1875°. При этой т-ре границы области соответствуют 33 мол. %  $\text{UO}_2$  для куб. фазы и 19 мол. %  $\text{UO}_2$  для тетрагон. фазы. Граница фаз пересекает ординату  $\text{ZrO}_2$  при 2300°. При переходе из высокотемпературной двухфазной области к комнатной т-ре образуется также двухфазная структура, причем равновесная куб. фаза превращается в метастабильную тетрагональную, характеризующуюся игольчатым или слоистым строением в зависимости от состава, а тетрагон. фаза не претерпевает изменений. Для составов менее 55 мол. %  $\text{UO}_2$  характерен бездиффузионный механизм перехода. Ниже 1660° двухфазная область быстро расширяется. Растворимость  $\text{ZrO}_2$  в  $\text{UO}_2$  уменьшается от 1660 до 1200° с 40 до 13 мол. %. Растворимость  $\text{UO}_2$  в  $\text{ZrO}_2$  в этом интервале т-р сохраняет постоянство — 17—19 мол. %  $\text{UO}_2$ .

А. Розанов



1963

*ZrO<sub>2</sub>* 12 Б504. О полиморфных превращениях в чистой окиси циркония. Сургэс R., Волласт R., Раусс J. Beitrag zur Kenntnis der polymorphen Umwandlungen des reinen Zirkonoxids. «Вег. Dtsch. keram. Ges.», 1963, 40, № 9, 527—532 (нем.; рез. англ., франц.)

С помощью ДТА, термогравиметрии, измерений электропроводности, спектроскопически и рентгенографически (методом высокотемпературной рентгенографии) исследованы полиморфные превращения  $ZrO_2$ , полученной термич. разложением  $Zr(OH)_4$  или  $Zr(SO_4)_2$ . Единственная устойчивая при обычных т-рах форма  $ZrO_2$  — моноклинная. Низкотемпературная тетрагон. форма устойчива, если ее решетка стабилизирована посторонними ионами,  $OH^-$  или  $SO_4^{2-}$ . При  $400^\circ$  аморфная  $ZrO_2$  кристаллизуется в тетрагон. форме, которая, начиная с  $500^\circ$ , постепенно превращается в монокл. форму. Переход в монокл. форму заканчивается  $800^\circ$  и необратим. Подтверждено, что переход монокл.  $\rightarrow$  тетрагон. происхо-

Б99-1443-VII

Х. 1964. 12

дит не при определенной т-ре, а в интервале т-р  $\sim 200^\circ$ , зависящем от предыдущей термич. обработки препарата. Выше  $1150^\circ$  устойчива тетрагон. форма. Измерение электропроводности показало гистерезис при обратимом переходе тетрагон. высокотемпературной формы в моноклинную. По сравнению с рентгенограммой тетрагон. формы отмечено увеличение межплоскостных расстояний, связанное с наличием в метастабильной тетрагон. решетке посторонних ионов. При охлаждении препаратов, нагретых до  $1200^\circ$ , ни в одном случае не наблюдалось тетрагон. структуры. Образцы, нагретые до  $1500^\circ$ , а затем закаленные погружением в ртуть, показали полный переход в монокл. форму.

И. Семенов

VII 1958.

1963

ZrO<sub>2</sub> (Tm)

Jelacic C.A.

Archiv Tehnol., 1963, 1 (1-2),  
113 - 115.

CA, 1964, 61, n 9, 10289d

5.

new b. δ-ke

1963

ZrO<sub>2</sub>  
HfO<sub>2</sub>

23 Б246. О дефектах структуры кристаллической решетки ZrO<sub>2</sub> и HfO<sub>2</sub>. Kofstad P., Ruzicka D. J. On the defect structure of ZrO<sub>2</sub> and HfO<sub>2</sub>. «J. Electrochem. Soc.», 1963, 110, № 3, 181—184 (англ.)

Дефектную структуру ZrO<sub>2</sub> и HfO<sub>2</sub> изучали измерением электропроводности ( $\sigma$ ) в зависимости от давления O<sub>2</sub> ( $p$ ). Найдена сложная зависимость  $\sigma$  от  $p$ . Для объяснения этой зависимости сделано предположение, что изученные окислы обладают преимущественно ионной проводимостью и что сопряженный перенос вакансий кислорода и междуузлий происходит значительно быстрее, чем независимый перенос каждого из этих дефектов в отдельности. Термогравиметрически измерена степень нестехиометричности ZrO<sub>2</sub>.

Резюме авторов

Х. 1963. 23

1963

*ZrD<sub>2</sub>*

Bcp-8498-IV

**35721** MEAN AMPLITUDES OF VIBRATION FOR THE DIOXIDES OF ZIRCONIUM, TITANIUM, SILICON AND BORON. G. Nagarajan (Annamalai Univ., Annamalainagar, India). Indian J. Pure Appl. Phys., 1: 322-3(Sept. 1963).

The vibrational spectra of the dioxides of zirconium, titanium, silicon, and boron are briefly discussed and the force constants for these molecules are calculated on the basis of the group-theoretical method. The computed numerical values of mean-square amplitude quantities, generalized mean-square amplitude quantities, and mean amplitudes of vibration for molecules of these oxides at 0 and 298°K are reported. (auth)

KSA. 1963. 13.21

BRD  
37847

Pears C. D., Osment D.<sup>1963</sup>

"The Thermal Properties  
of six solid materials  
to 5000°F or their destruc-  
tion temperatures"

Southern Research Institute,  
Birmingham, Ala.,  
ASDR-TDR 62-765, Jan. 1963

64

m.p.  $ZrO_2$  (K)

1063

ZrO<sub>2</sub>

10 Б466. Нагрев и бестигельное плавление токами высокой частоты стабилизированной окиси циркония.  
Perez y Jorge Monique, Collongues Robert. Sur le chauffage et la fusion sans creuset par induction haute fréquence de la zircone stabilisée. «С. г. Acad. sci.», 1963, 257, № 5, 1091—1093 (франц.)

Описана установка для индукционного плавления токами высокой частоты тугоплавких окислов. Установка применена для твердых р-ров ZrO<sub>2</sub>—10% CaO, ZrO<sub>2</sub>—10% Y<sub>2</sub>O<sub>3</sub> и для окислов Ce и Ti. Плавление осуществляется во внутренних областях цилиндрич. образца, внешняя часть образца толщиной 1—2 мм играет роль тигля. Кроме этого, изготовлен нагревательный элемент из ZrO<sub>2</sub>, стабилизированного добавкой CaO, позволяющий производить длительную термич. обработку различных материалов до 1900°.

И. Семенов

x. 1964. 10

*ZrO<sub>2</sub>*

1963

15 Б488. О стабилизации и дестабилизации кубической формы двуокиси циркония. Репенко К. Н., Гетман И. А., Гулько Н. В. «Сб. научн. тр. Укр. н.-и. ин-т огнеупоров», 1963, вып. 7(54), 204—212

Методами хим., рентгенографич. и петрографич. анализов исследована стабилизация ZrO<sub>2</sub> в технич. двуокиси циркония (93,96% ZrO<sub>2</sub>) при добавлении CaO, MgO, CaZrO<sub>3</sub>, Ti или Zr. Изучена стабильность твердых р-ров ZrO<sub>2</sub>—CaO и ZrO<sub>2</sub>—MgO при длительном нагревании на воздухе и в вакууме при 1200° и кратковременном нагревании в вакууме при 2100°. Для полного перехода монокл. Zr<sub>2</sub> в кубическую достаточно добавка 5% MgO или 2,5% MgO+2,5% CaO, добавки 5% CaO недостаточно. Рассчитаны константы скорости р-ции и энергии активации р-ций связывания MgO и CaO с ZrO<sub>2</sub>. На основании опытов по изучению дестабилизации твердых р-ров показана наибольшая целесообразность применения соединений Ca для стабилизации куб. ZrO<sub>2</sub>, в особенности при условиях работы в вакууме. Д. А.

x·1965·15

1963

ZrO<sub>2</sub>Cp

Measurements of average specific heat of refractories. P. Robijn. *Silicates Ind.* 28, 247-53(1963). Cylindrical samples or powders, enclosed in Pt boats, are used in a classical Regnault mixing-type calorimeter-furnace; quenching is in a Cu block, and H<sub>2</sub>O or CCl<sub>4</sub> is used as calorimeter liquid. The powder method is useful only up to 1100°; for higher temps. (up to 1350°) only compact cylindrical samples were applied. Data are tabulated and plotted in graphs, as a function of temp., for 32 refractories, including electrofused Al<sub>2</sub>O<sub>3</sub> and ZrO<sub>2</sub>-enriched materials, zircon (ZrSiO<sub>4</sub>) bricks, ZrO<sub>2</sub>, various fireclay and superduty fireclay products, basic refractories of the magnesia-magnesite-chrome magnesite group. Anomalies were observed for ZrO<sub>2</sub>-contg. electrofused refractories with striking stratification textures, in systematically oriented samples. ZrO<sub>2</sub>-rich blocks often show a distinct scattering of the av. sp.-heat data, because of a more or less complete stabilization effect of the oxide.

W. Eitel

C.A. · 1963 · S9 · 6  
58599

~~778~~ Schneider S. J. 1963

Long 6  
long 6

Compilation on the Melting  
Points of the Metal Oxides  
NBS Monograph 68,  
Washington 1963

70

T.g. ZrO<sub>2</sub> (x, nc)

VII-4239  
1963

$ZrO_2$   
(мембр.)

IV 1 Б471. Тетрагональная двуокись циркония, полу-  
ченная при высоком давлении. Van Dijk F. W., Ro-  
binson L. B., Lynch C. T. Tetragonal zirconium oxi-  
de prepared under high pressure. «Science», 1963, 142,  
№ 3595, 1059—1060 (англ.)

Препараты монокл.  $ZrO_2$  (99,95%) выдерживались в  
камере высокого давления при 15—20 кбар при т-рах  
1200—1700°. Как показали рентгенографич. и микроско-  
пич. исследования, при этом образуется тетрагон.  $ZrO_2$ .  
После охлаждения образцы состоят из смеси тетрагон.  
и монокл. фаз. Для определения термодинамич. стабиль-  
ности тетрагон. фазы образцы выдерживались на возду-  
хе при 1200°; после охлаждения образцы состояли це-  
ликом из монокл. фазы. Полученная под давлением тет-  
рагон.  $ZrO_2$  устойчива при комнатной температуре.

А. Розанов

Х. 1965.1

VII 953. 1963

$\text{UO}_2$ ,  $\text{ThO}_2$ ,  $\text{ZrO}_2$  (p)

Воронов Н.Н., Данченко А.С.  
Кобасев И.И.

Термодин. ядерных материалов. Труды  
специализ. Венг, 1962, №89-800(1963)  
Определение скорости испарения  
алюминиев. сплавов при нагревании  
образцов эксперим. методом

Be,

в СА., 1965, 62, N13, 15457c  
Ини f δ-ke

$\text{ZrO}_2$

William L. Baun.

1963

( $T_{tr}$ )

"Science", 140; 1380-1.

(cu  $\text{HfO}_2$ ;  $T$ )

1963

ZrO<sub>2</sub>  
 11 Б529. Бездиффузионные фазовые превращения в двуокиси циркония и двуокиси гафния. Wolten G. M. Diffusionless phase transformations in zirconia and hafnia. «J. Amer. Ceram. Soc.», 1963, 46, № 9, 418—422 (англ.)

Методом высокотемпературной рентгенографии исследован обратимый переход монокл. модификации ZrO<sub>2</sub> и HfO<sub>2</sub> в тетрагональную. Установлено, что неизотермич. бездиффузионный переход характеризуется наличием гистерезиса, характерного для мартенситных превращений. Ширина петли гистерезиса для ZrO<sub>2</sub> ~ 208°, для HfO<sub>2</sub> 18—29°. Более чистая двуокись гафния, но содержащая 0,47% Zr, обнаруживает переход при более низкой т-ре, чем загрязненная. Подтверждена обратимость образования при 2285° куб. модификации ZrO<sub>2</sub>.

Л. Шведов

T<sub>c2</sub> =  
 = 2285°C

г. 1964. 11

300-2493

ZrO<sub>2</sub>

4 E426. Бездиффузионные фазовые превращения в окислах циркония и гафния. Wolten G. M. Diffusion-less phase transformations in zirconia and hafnia. «J. Amer. Ceram. Soc.», 1963, 46, № 9, 418—422 (англ.)

96

Tc<sub>2</sub>

Методом высокотемпературной рентгеновской дифрактометрии исследованы переход от моноклинной к тетрагональной структуре при нагреве и обратный переход при охлаждении для ZrO<sub>2</sub> (I) и HfO<sub>2</sub> (II). Для I при прямом превращении 10 и 90% новой фазы соответственно наблюдаются при 1055 и 1110° С, при обратном превращении — при 910 и 804° С. Ширина петли гистерезиса превращения 208° С. Для II, не содержащего Zr, соответствующие т-ры (10 и 90% превращенной фазы) 1642 и 1718° С при нагреве, 1701 и 1610° С при охлаждении, для спектрально чистого II, 1547 и 1636° С при нагреве и 1588 и 1512° С при охлаждении, ширина петли гистерезиса 20—30° С. Полученные гистерезисные петли типичны для бездиффузионных превращений мартенситного типа. Повидимому, превращение при изменении т-ры носит в основном атермич. характер. При т-ре выше 2200° С обнаружен обратный переход I к кубич. структуре.

Л. Миркин

90.1964.48.

04/93-11

09

X

*ZrO<sub>2</sub>*

1964

7 В20. Кристаллическая гидратированная двуокись циркония. Clearfield A. Crystalline hydrous zirconia. «Inorgan. Chem.», 1964, 3, № 1, 146—147 (англ.)

При подщелачивании р-ров цирконил-галогенидов выпадает желатинообразный аморфный осадок гидратированной двуокиси циркония (I). В некоторых случаях I может быть получена в виде кристаллов. Так, при кипячении с обратным холодильником 1 M р-ра цирконилхлорида, в течение которого происходит уменьшение pH во времени, наблюдается медленное выделение монокл. I. Кипячение аморфного осадка с р-ром щелочи ведет к образованию куб. формы I. Куб. I при 650° переходит в монокл. I, однако если превращение в куб. форму было проведено неполностью, переход в монокл. I происходит при 450—650°. Кристаллич. формы I содержат значительные кол-ва координированной H<sub>2</sub>O и гидроксильных групп, которые, по предположению, находятся на поверхности кристаллитов.

Э. Раков

599-III  
1964

X. 1965. 7

$ZrO_2$

Gosse G., Renucci L., 1964  
Albert P., Lehr P.,

Compt. Rend., 1964, 258, 589

Восстановление  $ZrO_2$  в  
вакууме

ZrO<sub>2</sub>

B9 - 612 - VII

1964

The heats of formation of zirconium diboride and dioxide.  
Elmer J. Huber, Jr., Earl L. Head, and Charles E. Holley, Jr.  
(Los Alamos Sci. Lab., Los Alamos, N. Mex.). *J. Phys. Chem.*  
68(10), 3040-2(1964). The heat of formation of Zr diboride as  
detd. by O bomb calorimetry on 2 samples of the material was  
 $\Delta H_f^{\circ}_{298} = -77.2 \pm 1.2$  kcal./mole. The heat of formation of  
ZrO<sub>2</sub> from the combustion of the metal in O was  $\Delta H_f^{\circ}_{298} =$   
 $-263.1 \pm 0.5$  kcal./mole.

RCKG

$\Delta H_f$

c.A.1964.61.19  
13952e

1964

ZrO<sub>2</sub>

9687

LATTICE DEFECTS IN TETRAGONAL ZrO<sub>2</sub>.

Michael Hoch (Univ. of Cincinnati). J. Am. Ceram. Soc., 47: 630-2 (Dec. 21, 1964).

The activity of zirconium in the tetragonal ZrO<sub>2</sub> phase was measured at 2200 to 2300°K as a function of composition by studying the reaction  $y\text{ZrO}_{2-x} + \text{ZrN} \rightarrow (y + 1)\text{ZrO}_{(2-x)y/(y+1)} + \frac{1}{2}\text{N}_2$  (g). From the variation of the zirconium activity with composition, the pair interaction energy  $E_{11}$  between vacancies in the oxygen lattice was evaluated at  $-4.6 \pm 1.0$  kcal per mole. (auth)

Defects  
perovskite



ZrO<sub>2</sub>.

Holley C. & C.

1964

Huber S. I. u gnyul.

БТТ, № 7, срп. 24.

s Hc.

ZrO<sub>2</sub>

[VII-5788]

1964

Zinevsky M. J.

AD 609121, Avail  
CFSSTJ, 1964, 61 pp.

(V<sub>i</sub>, ΔH<sub>f</sub>)  
      

(all Zr<sub>2</sub>F<sub>2</sub>)

I

ZrO<sub>2</sub>

1964

Milton J. Linetsky

ΔHf

Avail CFSTI, 61pp. 1964



(see Mg/S) I

1964

 $ZrO_2$  $T_{tr}$ 

10 Б716. Влияние некоторых окислов на кристаллическую структуру двуокисей циркония и гафния. Нисима Сэйдзиро, Окамото Юко. «Рикагаку кэнкюсё хококу, Reps Inst. Phys. and Chem. Res.», 1964, 40, № 3, 185—189 (японск.)

Рассматривается влияние окислов Be, Mg, Ca, Sr, Ba, Al и Si на процесс кристаллизации  $ZrO_2$  и  $HfO_2$  в интервале т-р 500—1800°. Монокл. форма (МФ)  $HfO_2$  в присутствии 10% BeO остается без изменения. Добавка 5% MgO: при 500° образуется рентгеноаморфная форма (РАФ); 700—800° куб. форма (КФ), 900° МФ (с примесью КФ), 1000—1200° МФ и 1800° КФ (с примесью МФ); 5% CaO: 600—1800° КФ (при 1800° появляется примесь МФ); 5% SrO: 500° АФ, 600—800° КФ, 900—1000° тетрагон. форма (ТФ) с примесью МФ 1200—1800° МФ; ~5% BaO: 600° АФ, 700—1800° МФ (с примесью ТФ). 10%  $Al_2O_3$ : 700° АФ, 800—1000° КФ, 1200—1800° МФ, 9%  $SiO_2$ : 700° АФ, 800—1000° ТФ, 1100—1260° МФ.

+1

26.1965.10

Кристаллич. структура  $ZrO_2$  претерпевает следующие изменения. В присутствии 10% BeO: 600—700° ТФ, 900° ТФ+МФ, 1000° МФ (с примесью ТФ), 1200—1800° МФ; 5% MgO: 500—700° КФ, 900—1000° ТФ, 1200—1260° МФ, 1800° КФ; 5% CaO: 500—1800° КФ; 5% SrO: 500—700° КФ, 900—1000° ТФ, 1200° МФ (с примесью ТФ), 1260—1800° МФ; 5% BaO: 700° ТФ, 900—1000° ТФ+МФ и 1800° МФ (с примесью ТФ); 11% SiO<sub>2</sub>: 600° АФ, 700—1100° ТФ, 1200—1800° МФ.

В. Кренев

ZrO<sub>2</sub>, TiO<sub>2</sub> ( $\Delta G_f$ )

VII 2293

1964

Roy S.

Trans, Indian Inst. Metals, 1964, 17, Sept.,  
122.

Thermodynamics of metallo-thermic  
reduction of oxides of zirconium and  
titanium in different gascons media.

RM., 1965, 7A69

M,

ellusF Q. K.

1964

ZrO<sub>2</sub>  
HfO<sub>2</sub>

Effects of some oxides on the crystal modification of zirconia and hafnia. Sejiro Nishiyama and Yuko Okamoto (Inst. Phys. Chem., Res., Tokyo). *Rika Gaku Kenkyusho Hokoku* 40(3), 185-9(1964)(Japan). The effects of BeO, MgO, CaO, SrO, BaO, Al<sub>2</sub>O<sub>3</sub>, and SiO<sub>2</sub> on the crystal modifications of both zirconia and hafnia were investigated by x-ray diffraction. A low-temp. tetragonal form was not found in the process of thermal transition of pure hafnia, but was observed in the case of hafnia which contained silica or strontia. The addn. of alumina or strontia to both zirconia and hafnia brought about the formation of the cubic form at 500 and 1000°. The transition temp. of low-tetragonal zirconia to the monoclinic modification was raised by the presence of silica, beryllia, or boria in zirconia. Eiichi Wada

+1

C.A. 1965-63-3  
2466 ab



26359

EFFECTS OF SOME OXIDES ON CRYSTAL  
MODIFICATION OF ZIRCONIA AND HAFNIA. Seijiro Nis-  
hiyama and Yuko Okamoto (Inst. of Physical and Chemical  
Research, Tokyo). Riki Gaku Kenkyusho Hokoku, 40: 185-9  
(May 1964). (In Japanese)

1964

The crystal modifications of  $ZrO_2$  and  $HfO_2$  containing  $BeO$ ,  $MgO$ ,  $CaO$ ,  $SrO$ ,  $BaO$ ,  $Al_2O_3$ , or  $SiO_2$  were studied by the x-ray powder diffraction method. When 10% of  $Al_2O_3$  or 5% of  $SrO$  was added to  $ZrO_2$  or  $HfO_2$ , the cubic system was obtained by heating at a relatively low temperature (500–1000°C), but not at high temperature (more than 1000°C). The low-temperature tetragonal system was not found in the phase transition of  $HfO_2$ , but was obtained by the addition of  $SiO_2$  or  $SrO$ . The transition temperature of  $ZrO_2$  from the low-temperature to the monoclinic system was found to be raised when  $BeO$ ,  $BaO$ , or  $SiO_2$  was added. The effect of  $SiO_2$  was the largest among all the oxides tested. The temperature was shifted to ca 600° higher by the addition of several per cent of  $SiO_2$ , but it became constant below 1200°C when more than 10% was added. (NSA of Japan)

NSA 1965.19.14



*ZrO<sub>2</sub>*

1964

1 M79. Влияние добавок металлов на микроструктуру двуокиси циркония. Ruh Robert, Tallan Norman M., Lipsitt Harry A. Effect of metal additions on the microstructure of zirconia. «J. Amer. Ceram. Soc.», 1964, 47, № 12, 632—635 (англ.)

С целью улучшения спекания исследована диффузия жидкого титана в ZrO<sub>2</sub> при нагревании в вакууме (2000°) образцов титана, запрессованных в ZrO<sub>2</sub>. Изучение диффузии паров титана проводили с использованием йодида титана. После нагревания изучалась микроструктура образцов. Полученные результаты, интерпретированные с помощью тройной диаграммы Ti—Zr—O, свидетельствуют о том, что улучшение спекания имеет место в случае составов, превышающих пределы растворимости, при их нагревании до т-p.

Х. 1966. 11

более высоких, чем т-ра плавления титана. Образующаяся жидккая фаза улучшает спекание. Для тех же составов, нагревавшихся ниже т-ры образования жидкой фазы, а также для составов, заключенных в пределах растворимости, улучшение спекания не имело места.

А. Розанов

$\text{ZrO}_2$ ,  $\text{TiO}_2$  ( $\Delta G_f$ )

2

Bp-VII 2293

1964

Roy S.

Trans. Indian Inst. Metals, 1964, 17, Sept.,  
122-6

Thermodynamics of metallo-thermic  
reduction of oxides of zirconium and  
titanium in different gascons media.

RM., 1965, 7A69

M,

E C T - F + H.

BP-V-4490 1964

Skinner H.A.

ZnO<sub>2</sub>

Pure and Appl.

OH<sub>4</sub>

Chem., 1964, 8, n2,

113.

(See BeO)  $\Gamma$

1964

*ZrO<sub>2</sub>*

7 Б550. Об особенностях кинетики полиморфного превращения двуокиси циркония при охлаждении. Сухаревский Б. Я., Алапин Д. Г., Гавриш А. М. «Докл. АН СССР», 1964, 156, № 3, 677—680

Изучена кинетика переходов  $\beta \rightarrow \alpha$  и  $\beta' \rightarrow \alpha$  в  $ZrO_2$ . Превращение  $\alpha \rightleftharpoons \beta$  в  $ZrO_2$  является мартенситным бездиффузионным превращением и происходит при  $1000\text{--}1100^\circ$ , что на  $100\text{--}200^\circ$  ниже т-ры рекристаллизации  $ZrO_2$ . Это превращение может происходить либо с изотермической, либо с атермич. кинетикой. Изотермич. кинетика превращения объясняется наличием дефектов структуры, препятствующих перемещению дислокаций, и скорость превращения зависит от числа дефектов. Если число дефектов мало или имеются условия их прорыва (при переохлаждении), то осуществляется атермич. кинетика. При большом числе дефектов превращение не происходит или осуществляется диффузионным путем. В. Нешпор

*T<sub>cr</sub>*

x·1965·7

$ZrO_2$   
 $(T_{tr})$

36000

CHARACTERISTICS OF THE KINETICS OF POLYMORPHOUS TRANSFORMATION OF ZIRCONIUM DIOXIDE DURING COOLING. B. Ya. Sukharevskii, B. G. Alapin, and A. M. Gavrish (Scientific Research Inst. of Refractories, Academy of Sciences, Ukrainian SSR). Dokl. Akad. Nauk SSSR, 156: 677-80 (May 21, 1964). (In Russian)

It is generally assumed that diffusionless (martensite) transformations proceed with either athermal or isothermal kinetics. Work was carried out for the purpose of showing that at least in the case of the phase transformation of zirconium dioxide, there is no fundamental difference between these two types of transformations. The experimental evidence of the diffusionless character of the polymorphous transformation of  $ZrO_2$  is presented. In the beta to alpha transformation of zirconium dioxide, the kinetics of diffusionless transformation change during supercooling

NSA · 1964 · 18 · 20

from isothermal to athermal kinetics. This phenomenon was studied in detail on samples of the beta phase of  $ZrO_2$ . The kinetics of the beta to alpha transformation were studied during cooling. It was found that isothermal kinetics result from defects obstructing the motion of the dislocations of the transformation. When the number of obstructions is small, athermal kinetics are produced. (OTS)

ZrO<sub>2</sub>

1964

16 Б300. Электрические свойства и структурные дефекты ZrO<sub>2</sub>. I. Моноклинная фаза. Vest R. W., Talian N. M., Tripp W. C. Electrical properties and defect structure of zirconia. I. Monoclinic phase. «J. Amer. Ceram. Soc.», 1964, 47, № 12, 635—640 (англ.)

Исследовались структурные дефекты монокл. модификации ZrO<sub>2</sub> путем измерения электропроводности и веса образцов в зависимости от парц. давления O<sub>2</sub>. Разработана методика расчета степени нестехиометричности и подвижности носителей тока по данным электрич. и весовых измерений. Найдено, что ZrO<sub>2</sub> является амфотерным полупроводником при 1000°, в котором при давл.  $10^{-16}$  атм происходит превращение электропроводности *n*-типа в *p*-тип. При высоких давлениях O<sub>2</sub> (от  $10^{-6}$  до 1 атм) преобладают дефекты, являющиеся полностью ионизированными вакансиями Zr. Подвижность дырок при 1000° составляет  $1.4 \cdot 10^{-6}$  см<sup>2</sup>/в сек. В. Баташев

Х. 1965. 16

$ZrO_2$

Victor A.C., Douglas 1964  
T.B.

5TT.N7, cmp. 62

H<sub>T</sub>-H<sub>273</sub>, (273 - 1173°K)

$ZrO_2$   
545

1964  
Корнилов А.Н., Леонидов В.Я.  
Скуратов С.И.

Тамберг

Межрайон. коллекц.,  
1964, 38, 2013

165

т.д.  $ZrO_2$  (к. массой)

ZrO<sub>2</sub> Чагареишвили Д.И., 1964

1095 Твелесиани Г.Г.

Коллектив Труды Грузинского  
ин-та металургии,  
1964(опубл. в 1965), том 14,  
с. 187.

б. и.р. ZrO<sub>2</sub> (K,uc)

Моисеенко, Николай Андреевич, Попов, М  
В

Управление социалистической экономикой : (Полит.-  
экон. аспект). — Л. : Изд-во ЛГУ, 1981. — 184 с.; 21  
см.

В надзаг.: ЛГУ им. А. А. Жданова.

1 р. 60 к. 5.000 экз.

I. Соавт. — — I. Народное хозяйство — Управление.

330.342.15 + 338.24 (47+57)

№9006 6.3.1.2

4 №324 [81-12119] п тп  
Вс.кн.пал. 13.03.81 М748

М 10704-001/076(02)-81 БЗ-71-6-1980

Тбилиси 16 из-вс  
Мечиевадзе,,

$\text{ZrO}_2$

Amor B.

1965

$\text{ZrO}_2$ . Izv. Fiz. Inst. s Aneb, Bulgar.

Akad. Nauk., 13 (1), 13-23

Mass-spectrometric study of thermal ionization of lead by layers containing  $\text{SiO}_2$ ,  $\text{ZrO}_2$ ,  $\text{Al}_2\text{O}_3$ , and phosphores oxide.

*ZrO<sub>2</sub>*

1965

16 Б239. Рентгенографическое исследование двуокисей циркония и гафния при температурах до 2750°. Боганов А. Г., Руденко В. С., Макаров Л. П. «Докл. АН СССР», 1965, 160, № 5, 1065—1068

С помощью специальной сконструированной высокотемпературной рентгеновской камеры исследованы методом ионизационной дифрактометрии вплоть до т-р плавления образцы чистых двуокисей Zr и Hf, а также метастабильная куб. модификация ZrO<sub>2</sub>, полученная при разложении гидроокиси Zr. Установлено, что область существования метастабильной куб. модификации ZrO<sub>2</sub> простирается не выше ~500°, а метастабильной тетрагональной — не выше 700—800°, далее необратимо переходящей в стабильную монокл. форму, которая при ~1150° обратимо переходит в стабильную тетрагон. форму. При последующем увеличении т-ры тетрагон. форма сохранялась вплоть до т-ры 2300°, при которой наблюдается обратимый переход в гранецентр. куб. модифика-

+1

Х. 1965.16



цию. При возвращении к комнатной т-ре параметры монокл. решетки не изменялись, что доказывает отсутствие заметных стехиометрич. изменений в решетке окисла. Установлено также наличие аналогичных полиморфных превращений монокл.  $\rightleftharpoons$  тетрагон. и тетрагон.  $\rightleftharpoons$  куб. для  $\underline{\text{HfO}_2}$  при т-рах 1900—2000 и 2700—2750° соответственно.

Реферат авторов

1965

34696

X-RAY STUDY OF ZIRCONIUM AND HAFNIUM DIOXIDES AT TEMPERATURES UP TO 2750°C. Boganov, A. G.; Rudenko, V. S.; Makarov, L. P. (Grebenshchikov Inst. of Chemistry of Silicates, Academy of Sciences, USSR). Dokl. Akad. Nauk SSSR, 160: 1065-8 (Feb. 11, 1965). (In Russian)

$ZrO_2$   
 $HfO_2$

The lattice parameters of  $ZrO_2$  and  $HfO_2$ , which are potentially useful refractory materials, were examined by means of an x-ray diffraction camera in order to clarify the problem of polymorphic transformation taking place at high temperatures. The samples were heated to 2000°C by means of a tungsten heating element and to higher temperatures using an electron gun, thereby minimizing contamination by evaporation of the wall. On heating the anhydrous  $ZrO_2$ , which contained not more than 0.2% impurities, a reversible polymorphic monoclinic  $\rightleftharpoons$  tetragonal transformation was observed within the 1100 to 1200°C range; further heating to 2300°C revealed a second, tetragonal  $\rightleftharpoons$  cubic transformation. The x-ray diffraction study indicated that the high-temperature, cubic modification of  $ZrO_2$  pos-

N.S.A. 1965. 19. 18.



sesses a fluorite type lattice with a parameter  $a = 5.256 \pm 0.003$  Å at 2330°C. The temperature hysteresis of this completely reversible transformation did not exceed 20 to 30°C. It was concluded that when  $ZrO_2$  is heated to a temperature close to 2400°C in vacuum, the stoichiometric lattice is not markedly affected.  $HfO_2$  exhibited a reversible polymorphic monoclinic  $\rightleftharpoons$  tetragonal transformation between 1900 and 2000°C; the second transformation took place at about 2700 to 2750°C, close to the melting point of the oxide. This tetragonal  $\rightleftharpoons$  cubic transformation was also reversible. The lattice parameter of the cubic modification at 2750°C was about  $5.300 \pm 0.010$  Å. (TTT)

ne 30  
nn);

*ZrO<sub>2</sub>*

*HfO<sub>2</sub>*

*T<sub>tr</sub>*

*+1*

X-ray study of Zr and Hf dioxides at temperatures up to 2750°.  
A. G. Boganov, V. S. Rudenko, and L. P. Makarov. *Dokl. Akad. Nauk SSSR* 160(5), 1065–8(1965)(Russ). The polymorphic properties of ZrO<sub>2</sub> and HfO<sub>2</sub> were investigated with an x-ray camera designed to operate at high temps. in conjunction with an ionization diffractometer. The camera consisted of a Mo adapter for holding pressed samples heated to 2000° by a W heater. Higher temps. were obtained with the help of an electron gun in  $5 \times 10^{-6}$  mm. vacuum. Slow decompn. of the hydrated oxide at 400° forms a “low-temp. cubic” and “low-temp. tetragonal modification” at increased temp. At 700–800°, the tetragonal modification irreversibly transforms into the stable monoclinic form. The reversible transformation, monoclinic  $\rightleftharpoons$  tetragonal, was observed in anhyd. ZrO<sub>2</sub> heated at 1100–1200°. The high-temp. stabilized cubic form has a fluorite type lattice with  $a = 5.256 \pm 0.003$  Å. at 2330°. At 1900–2000°, a monoclinic  $\rightleftharpoons$  tetragonal transformation was established for HfO<sub>2</sub>, with a 2nd transformation analogous to tetragonal  $\rightleftharpoons$  cubic ZrO<sub>2</sub> close to the m.p. of HfO<sub>2</sub>. Tetragonal  $\rightleftharpoons$  cubic transformation for HfO<sub>2</sub> is reversible. Lattice parameter for the cubic modification at 2750° is  $5.300 \pm 0.010$  Å.

P. N. Bellavin

C. A. 1965. 63  
3702 ab

4

5

ZrO<sub>2</sub> Grain C.F., Garvie R.C.  
2455<sup>1965</sup>

Vigilante

U.S. Bur. Mines,  
Repts. Invest., N 6610  
Washington, 1965.

24

T.gp. ZrO<sub>2</sub>(K)

1965

~~ZrO<sub>2</sub> - C - ZrC - CO~~

p

Hollahan F.R.

Dissert. Abstr., 26(2), 724

A high temperature torsion effusion study of the systems  $\text{ThO}_2 - \text{C} - \text{ThC}_2 - \text{CO}$  and  $\text{ZrO}_2 - \text{C} - \text{ZrC} - \text{CO}$ .

④

$ZrO_2$

1965

8 М56. Высокотемпературные исследования в солнечной печи. IV. Измерение спектрального лученапускания и точки замерзания металлических окислов. Ногути Тэцуо, Мидзуно Масао, Кодзuka Такэси и др. «Нагоя когэ гидзюцу сикэнсё хокку, Repts Govt Industr. Res. Inst., Nagoya», 1965, 14, № 1, 28—38 (японск., рез. англ.). Определены точки замерзания для  $ZrO_2$ ,  $HfO_2$ ,  $Ni_2SiO_4$ ,  $ZrTiO_4$  и  $Al_2TiO_5$  соответственно 2979, 3034, 2171, 2151, 2136° с точностью  $\pm 20^\circ$ . Часть III см. РЖХим, 1962, 8К277. Реферат авторов

2979°K

X. 1966. 8 M.

8

$ZrO_2$ 2230	Fehrenbacher L. <sup>1965</sup> , Jacobson L.A.
Vopak	J. Amer. Ceramic Soc. 1965, <u>48</u> , 157.
23	T.g. $ZrO_2(K)$

2d Febr  
2d 782 Foex M. 1965

Solar Energy, 1965,  
Isamu 9, 61

6.9

T.g.  $ZrO_2$  ( $K, w$ )

ZrO<sub>2</sub> (liq.)

YANAF

1985

T. q.

298 - 6000°K

$ZrO_2$

Караулка с.т. и др.

1065

α  $ZrO_2$  при различной  
термич. соотношении куб. и  
расширение моноклинной гарз.

1965

*ZrO<sub>2</sub>**TiO<sub>2</sub>*

Thermodynamic study of reactions in the synthesis of compounds of the type  $M_2TiO_3$  and  $M_2ZrO_3$ . S. A. Kutolin and A. E. Sergeeva. *Zh. Fiz. Khim.* 39(11), 2763-5(1965)(Russ); cf. *C.A.* 62, 6117c. Expressions for the temp. dependence of the free energy of reactions of  $ZrO_2$  and  $TiO_2$  with carbonates were developed on the basis of available data. Synthesis of  $M_2TiO_3$  and  $M_2ZrO_3$  is possible above 1000°K., except  $CsTiO_3$  and  $CsZrO_3$ .

GBIR

+1

C.A. 1966. 64. 4

4339 e

1968

23 Б540. Изучение полиморфизма ZrO<sub>2</sub> и образования цирконатов некоторых редкоземельных элементов с помощью метода комплексного термоанализа. Кузнецов А. К., Келлер Э. К., Фань Фукан. «Ж. прикл. химии», 1965, 38, № 2, 233—241

T<sub>et</sub>

С помощью комплексного термич. (Келлер Э. К., Кузнецов А. К., Труды 2-го Всесоюзн. Совещ. по термографии, АН СССР, 1962) и рентгенографич. анализов установлено, что при кристаллизации ZrO<sub>2</sub> из аморфного состояния в качестве первичной фазы образуется метастабильная куб. модификация, которая при нагревании выше 600° необратимо переходит в монокл. модификацию. Подтверждено существование соединений La<sub>2</sub>Zr<sub>2</sub>O<sub>7</sub> (I), Nd<sub>2</sub>Zr<sub>2</sub>O<sub>7</sub> (II) и Ce<sub>2</sub>Zr<sub>2</sub>O<sub>7</sub> (III) со структурой типа пирохлора. Рассмотрен механизм их образования при нагревании соосажденных гидроокисей. В отличие от соединений I и II при нагревании на воздухе III окисляется и переходит в куб. твердый р-р типа флюорита между ZrO<sub>2</sub> и CeO<sub>2</sub>.

Из резюме авторов

X. 1968. 23

1965

ZrO<sub>2</sub>

22 Б648. Двуокись циркония нестехиометрического состава и стабилизация тетрагональной двуокиси циркония. Livage Jacques, Mazières Charles. Zirconium non stoichiometrique et stabilisation de la zircone quadratique. «C. r. Acad. sci.», 1965, 261, № 21, 4433—4435 (франц.)

Рентгенографически исследовано влияние термич. обработки на черную двуокись циркония нестехиометрич. состава, метод получения к-рой (в атмосфере Ar или в вакууме) описан авторами в пред. работе (РЖХим, 1966, 16B32), а также на белую двуокись циркония, получен-

X. 1966. 22

ную в условиях обычной атмосферы. Образцы быстро нагревались до т-р 800—1200°, а затем охлаждались. Показано, что при такой обработке в инертной атмосфере черная  $ZrO_2$  превращается в устойчивую тетрагон. форму, тогда как из белой формы получается монокл. разновидность (при обработке в условиях обычной атмосферы). Процесс стабилизации тетрагон. формы при термич. обработке в бескислородной атмосфере объяснен образованием кислородных вакансий в решетке.

А. Борина

1965

Zr<sub>x</sub>O<sub>2</sub>

ZrO<sub>1,96</sub>

16 В32. Аморфный циркон и циркон нестехиометрического состава. Livage Jacques, Maziéres Charles. Zircon amorphe et zircon non stoechiométrique. «С. г. Acad. sci.», 1965, 260, № 19, 5047—5048 (франц.)

Нагревания гидратированной аморфной двуокиси Zr в течение 1 часа при 900° и давл.  $10^{-3}$  м.м получена

черная двуокись Zr (I) нестехиометрич. состава. Методом ТГА показано, что при нагревании на воздухе вес I увеличивается и I переходит в Zr O<sub>1,96</sub> белого цвета, к-рая при нагревании в вакууме снова становится черной.

А. Борина

X. 1966. 16

ZrO<sub>2</sub>

1965

- 15 M71. Масс-спектрометрическое исследование испарения двуокисей циркония, гафния и тория. Шукарев С. А., Семенов Г. А. В сб. «Исслед. в обл. химии силикатов и окислов». М.—Л., «Наука», 1965, 208—214  
Обзор. Библ. 18 назв.

Г. Г.

P

Оттиск 14557

Оттиск 14408

Х. 1966 · 15 №



10

*ZrO<sub>2</sub>*

*1965*

✓ 2 Б326. Кристаллическая структура бадделейита (моноclinий ZrO<sub>2</sub>) и ее связь с полиморфизмом в ZrO<sub>2</sub>. Smith Deane K., Newkirk Herbert W. The crystal structure of baddeleyite (monoclinic ZrO<sub>2</sub>) and its relation to the polymorphism of ZrO<sub>2</sub>. «Acta crystallogr.», 1965, 18, № 6, 983—991 (англ.)

Проведено повторное рентгенографич. исследование монокл. ZrO<sub>2</sub> (метод прецессии, ионизац. регистрация интенсивностей,  $\lambda$  Mo-K<sub>α</sub>). Параметры решетки:  $a$  5,15,  $b$  5,21,  $c$  5,31 Å,  $\beta$  99°14,  $\rho$  (выч.) 5,84,  $Z=4$ , ф. гр.  $P2_1/c$ . Координаты атомов, определенные ранее по проекциям (РЖХим, 1959, № 24, 84984); уточнены методом наименьших квадратов по трехмерным данным до  $R=0,086$ . Структуру можно описать, как искаженную структуру типа CaF<sub>2</sub>. Коорд. ч. Zr 7 (4 атома O<sub>(2)</sub> и 3 атома O<sub>(1)</sub> на расстояниях 2,05—2,28 Å). Атомы Zr, O<sub>(1)</sub>, O<sub>(2)</sub> лежат в плоскостях, приблизительно параллельных (100), чем,

Кристаллическая структура

*x. 1967. 2*

по мнению авторов, связано двойникование кристаллов по (100). Атомы  $O_{(2)}$  образуют слегка деформированную квадратную сетку и окружены каждый 4 атомами Zr по искаженному тетраэдру. Координац. многогранник  $O_{(1)}$  — плоский треугольник, причем атом O отстоит от плоскости 3 атомов Zr на 0,25 Å. Ср. межатомные расстояния: Zr— $O_{(1)}$  2,07, Zr— $O_{(2)}$  2,21;  $O_{(2)}—O_{(2)}$  2,67 Å. Расстояния Zr—Zr,  $O_{(1)}—O_{(2)}$  и  $O_{(1)}—O_{(1)}$  соотв. равны 3,33—4,03; 2,58—2,99; 2,59—2,83 Å. Авторы предполагают, что переход монокл.  $ZrO_2$  в тетрагон. модификацию может осуществляться в несколько стадий, подобно аналогичному полиморфному превращению  $HfO_2$  (РЖХим, 1964, 16Б245), за счет вращения треугольных  $O_{(1)}$ -групп и трансформации  $ZrO_7$ -групп в  $ZrO_8$ . При этом, 8-й атом O, чтобы войти в координац. сферу Zr, должен переместиться на 1,2 Å, до расстояния Zr—O 2,56 Å.

В. Сергиенко

1965

ZrO<sub>2</sub>

11 Б625. Кинетика и механизм полиморфного превращения двуокиси циркония. Сухаревский Б. Я., Алапин Б. Г., Гавриш А. М. «Изв. АН СССР. Неорганические материалы», 1965, 1, № 9, 1537—1544

На основании исследований методом высокотройной дифрактометрии установлено, что полиморфное превращение ZrO<sub>2</sub> является бездиффузионным. Оно протекает с изотермич. кинетикой при  $\alpha \rightarrow \beta$  и первом этапе  $\beta \rightarrow \alpha$ -перехода. При достаточных переохлаждениях изотермич. кинетика  $\beta \rightarrow \alpha$ -превращения сменяется атермической. Математич. анализ дислокаций модели превращения приводит к существованию ограниченной изотермич. кине-

Fc

2. 1966. //

тики, скорость превращения при к-рой определяется кол-вом дефектов, препятствующих движению дислокаций превращения, и энергией активации их преодоления, осуществляемого диффузионным путем. Расчетные зависимости совпадают с полученными ранее из феноменологич. соображений. Измеренная в работе энергия активации перехода ( $\sim 150$  ккал/моль) близка к энергии активации самодиффузии в  $ZrO_2$ . Из резюме авторов

ZrO<sub>2</sub> Trombe L. 1965

Toex M.

изучение  
ческих  
окислов 1965, № 4, 1070-1080.

Использование термически  
составного нагрева для изу-  
чения чистых окислов.  
(ал. Al<sub>2</sub>O<sub>3</sub>)I

д. 1965.21

ZrO<sub>2</sub>

Eu<sub>2</sub>O<sub>3</sub>

Tu<sub>2</sub>O<sub>3</sub>

Yb<sub>2</sub>O<sub>3</sub>

ZrO<sub>2</sub>

Hg-H<sub>268,1</sub>

(до 1600°K)

Чагарейшвили Д.И.

Гелевсами Г.Г.

МЖХ, 1965, 10, №2, 319

Эксперимент и производство  
активных нелегируемых РЗ металлов

(Труды института чистоты  
металлургии Госкомитета  
по горн. и цветн. металлургии  
при Совете СССР)

1965

1965

ZrO<sub>2</sub>

1 Б511. Фазовый переход в малых частицах ZrO<sub>2</sub> (меньше микрона). Vahldiek F. W. Phase transition on submicron particles of ZrO<sub>2</sub>. «J. Chem. and Engng Data», 1965, 10, № 1, 31—33 (англ.)

Методами высокотемпературной рентгенографии и ДТА исследовано полиморфное превращение в ZrO<sub>2</sub> на сферич. частицах размера  $\sim 0,04 \mu$ , полученных путем испарения и сублимации ZrO<sub>2</sub>. Исходные образцы являлись смесью 50% монокл. и 50% тетрагон. фаз ZrO<sub>2</sub> (*M*- и *T*-фазы). Показано, что размер частиц не влияет или влияет в очень небольшой степени на т-ру перехода *T*-фазы в *M*-фазу. Наличие метастабильной *T*-фазы, однако, значительно увеличивает интервал перехода.

А. Розанов

x · 1966 · 1

ZrO<sub>2</sub>

1965

(14014) PHASE TRANSITION ON SUBMICRON PARTICLES OF ZrO<sub>2</sub>. F. W. Vahldiek (Air Force Materials Lab., Wright-Patterson AFB, Ohio). J. Chem. Eng. Data, 10: 31-3 (Jan. 1965).

Spherical submicron particles of ZrO<sub>2</sub> were a mixture of 50% monoclinic and 50% tetragonal ZrO<sub>2</sub>. The metastable phase transformed to the monoclinic phase when samples were heated to 820°C for 2 hours. The transitions of the as-received ZrO<sub>2</sub> samples determined by high-temperature x-ray diffraction and differential thermal analysis methods were from 1000 to 1190°C (increasing temperature, endothermic) and 1040 to 300°C (decreasing temperature, exothermic). The transformations for specimens preheated to 1450°C were from 1110 to 1205°C (increasing temperature) and from 980 to 895°C (decreasing temperature).  
(auth)

May. 1000 - 1200

051. 980 - 895

NSA · 1965 · 19 · 8

ZrO<sub>2</sub>

H<sub>T</sub> - H<sub>273</sub>

273 - 1173°K

Victor A.C.

Douglas T.B.

5TT, N 8, cuip. 30

1965

ZnO<sub>2</sub>

(T<sub>tr</sub>)

VII

4240

1965

Whitney D.,  
J. Electrochem. Soc.,  
1965, 112, n1, 91-94

T

1965

Zr O<sub>2</sub>) 2 E257. Кинетика и механизм превращения метастабильной тетрагональной двуокиси циркония в моноклинную. Whitney T. Dow. Kinetics and mechanism of the transition of metastable tetragonal to monoclinic zirconia. «Trans. Faraday Soc.», 1965, 61, № 9, 1991—2000 (англ.)

Для интервала т-р 522—650° С методом количеств. рентгеноструктурного анализа измерена общая скорость превращения (ОСП) тетрагон. ZrO<sub>2</sub> в моноклинную. ОСП сильно зависит от т-ры. Энергия активации превращения увеличивается с увеличением т-ры. Ур-ния Аврами удовлетворительно описывает эксперим. данные, хотя значение константы  $k$  вдвое меньше ожидаемого. Использование ур-ния Хонига позволило обнаружить при 570—575° С максимум ОСП. Полагают, что по мере приближения к т-ре превращения монокл. ZrO<sub>2</sub> — тетрагон. ZrO<sub>2</sub> размер устойчивого зародыша монокл. ZrO<sub>2</sub> возрастает, что приводит к увеличению энергии активации с ростом температуры.

А. Омельченко

ф. 1966.28

ZrO<sub>2</sub> Viechnicki J.,  
46142 Stibican v. S. 1965

Spust

J. Amer. Ceramic Soc.

1965, 48, 292  
p

35

T.g.: ZrO<sub>2</sub>(K)

Z<sub>2</sub>O<sub>2</sub>

B9P 4146 - VII

1966

Attachment to a URS-50i diffractometer for work at high temperatures. A. S. Bystrikov. *Tr. Gos. Nauchn.-Issled. Inst. Stroit. Keram.* 26, 123-7(1966)(Russ). The heating attachment to an x-ray diffractometer described by the author (CA 63, 1566b; 64, 86e), by means of which working temps.  $\leq 1450^\circ$  could be produced, was improved. The present design is that of a small elec. furnace, which presents the advantages of larger capacity and better thermal insulation. The heating

T<sub>c2</sub>

C.A. 1966. 65. 12

17803h - 17804a

element is a hollow cylinder of a refractory material contg. a Pt-Rh wire, through which the current passes and which is held in helical grooves. Ni shields are used in addn. to ceramic parts for thermal insulation. By using the new attachment, x-ray diffraction diagrams can be detd. during continuous heating of a sample to  $\leq 1700^\circ$ . Detns. carried out on a  $\text{SiO}_2\text{-ZrO}_2$  mixt. heated at the rate of  $2.5^\circ/\text{min}$ . indicated that the  $\alpha$  (monoclinic)  $\rightarrow \beta$  (tetragonal) transformation of  $\text{ZrO}_2$  occurs at  $1100\text{-}1300^\circ$ . The synthesis of zircon began at  $1320^\circ$  and ended at  $1600^\circ$ . Changes in the line intensity indicated that, at  $1600^\circ$ , 50% of the mixt. had reacted with the formation of zircon. At temps.  $> 1600^\circ$ , zircon decompd. with the formation of a liquid phase and of cryst.  $\beta\text{-ZrO}_2$ ; this decompn. was completed at  $1675^\circ$  and the sample then consisted entirely of a liquid phase and cryst.  $\beta\text{-ZrO}_2$ .

GZJR

*ZrO<sub>2</sub>*

1966

- 1) 9 Б683. Влияние добавок двуокиси германия и германатов иттрия и неодима на полиморфизм двуокиси циркония. Давтян И. А., Келер Э. А., Глушкова В. Б. «Изв. АН СССР. Неорг. материалы», 1966, 2, № 11, 1998—2002.

*полиморфные*

Изучено влияние добавок GeO<sub>2</sub> на полиморфизм ZrO<sub>2</sub>. Показано, что добавки GeO<sub>2</sub> значительно снижают т-ру монокл.→тетрагон. превращения ZrO<sub>2</sub>. Так, для снижения т-ры перехода в область т-р ~~ниже~~ комнатной достаточна добавка 5 мол.% GeO<sub>2</sub>. При кристаллизации соосажденных в аморфном состоянии смесей ZrO<sub>2</sub> и GeO<sub>2</sub> образуются метастабильные тв. р-ры куб. структуры. Т-ра кристаллизации тв. р-ра повышается с увеличением

*x. 1967. 9*

содержания  $\text{GeO}_2$ . Изучено превращение метастабильного тв. р-ра в тетрагон. тв. р-р, а также устойчивость последнего при высоких т-рах. Выяснено влияние добавок германатов Y и Nd на полиморфизм  $\text{ZrO}_2$ . Показано, что в этом случае образуются куб. тв. р-ры; изучена устойчивость их при высоких т-рах. Показано, что введение в  $\text{ZrO}_2$  вместо добавок  $\text{GeO}_2$  германатов Nd не повышает устойчивости тв. р-ров. Введение же добавок германатов Y позволяет получить тв. р-ры на основе  $\text{ZrO}_2$ , устойчивые до т-р 1400—1500°. Реферат авторов

$ZrO_2$

1966

19 Б562. Некоторые примеры использования ионной проводимости двуокиси циркония. Données et P. Quelques applications de la conduction ionique de la zircone. «Rev. internat. hautes températ. et réfract.», 1966, 3, № 2, 157—163. Discuss., 163 (франц.)

Разработано устройство для непрерывного измерения давления  $O_2$  в газовой смеси. Использована цепь: Pt,  $O_2 (p_1)$  | стабилизированная окисью магния  $ZrO_2$  Pt,  $O_2 (p_2)$ , напряжение  $E$  которой является функцией парц. давления  $O_2$ . В замкнутую с одного конца трубку из  $ZrO_2$  с насыпанным в нее Pt-порошком вводится анализируемый газ; в наружную трубку из  $Al_2O_3$  насыпана смесь  $Fe + FeO$  и помещен второй электрод. Для чистого  $O_2$  с  $p_{O_2} = 1$  atm напряжение при  $1080^\circ K$  равно 1 в. Прибор был использован как электрод сравнения для опре-

2 · 1967 · 19

деления напряжения в цепях: Pt, O<sub>2</sub>|стабилизированная ZrO<sub>2</sub>|расплав Na<sub>2</sub>Si<sub>2</sub>O<sub>5</sub> (т-ра 1250°) |M<sub>x</sub>O<sub>y</sub>|Pt, O<sub>2</sub>, в которых M<sub>x</sub>O<sub>y</sub> последовательно представляли собой: ZrO<sub>2</sub>(+MgO), ThO<sub>2</sub>, Al<sub>2</sub>O<sub>3</sub>, MgAl<sub>2</sub>O<sub>4</sub>, SiO<sub>2</sub>. Полученные зависимости E—lg p(O<sub>2</sub>) весьма близки к вычисленным по ур-нию Нернста, а потому это устройство имеет преимущество перед Pt в кач-ве электрода сравнения.

С. Глебов

1966

7202

M. Foex

b) Revue : Proprietes physico-chimiques et mecaniques des materiaux refractaires a haute

T<sub>m</sub>

2700 - temps.

-2710°C

' Paris, 1966

(2973 - 2983°K)

$ZrO_2$

Foek Sl.

1986

$T_{\text{auflieg.}}$  = Rev. internat. hautes  
températ. et réfract.,  
 $= 2700^\circ\text{C}$  3, n 3, 309 - 326.

Установка мес.-пр залу-  
бленебауму низомеабрик  
окисиоб. (ав.  $Al_2O_3$ )

C<sub>2</sub>O<sub>2</sub> (kp), ZrO<sub>2</sub> (Tc): 1966

VII 3412

Fukunaga Osamu

Bull. Tokyo Inst. Technol., 1966, N° 6,  
95-97 (part. 1)

Solid-state reactions in some oxide  
systems under very high pressure.

J.  
~~P~~

Plakette, 1969

1561072

Bewillung  
durch

B. M. (kp)

1966

ZrO<sub>2</sub>

11 E501. Влияние скорости нагрева и примесных катионов на бездиффузионное превращение двуокиси циркония. Gavriš A. M., Krivogorskij P. P. Effect of heating rate and impurity cations on diffusionless transformation in zirconia. (Abstract). «Acta crystallogr.», 1966, 21, № 7, A 195 (англ.)

Методом высокотемпературной рентгенодифрактометрии исследованы температурные особенности  $\alpha \rightleftharpoons \beta$ -превращения моноклинной  $\alpha$ -модификации в тетрагональную  $\beta$ -модификацию в чистом ZrO<sub>2</sub>. Построены температурно-концентрационные кривые перехода при различных режимах нагрева и охлаждения. Обнаружена зависимость начала и конца  $\alpha \rightarrow \beta$ -превращения ZrO<sub>2</sub> от

9. 1967. 118

скорости нагрева. Показано, что наблюдаемые эксперимен-  
тально значения конц-ий  $\beta$ -фазы  $ZrO_2$  при различных  
т-рах и скоростях нагрева подчиняются зависимости, по-  
лученной теоретически. Получена эмпирич. зависимость,  
позволяющая рассчитать конц-ию  $\beta$ -фазы при различных  
т-рах и скоростях нагрева. Показано, что малые добавки  
окислов, входящие в моноклинный твердый раствор  
 $ZrO_2$ , существенно влияют на характеристики ее поли-  
морфного превращения.

Л. М.

*ZrO<sub>2</sub>*

1966

19 Б354. Атомная структура аморфного ZrO<sub>2</sub>. Кеппі  
Do i. La structure atomique de ZrO<sub>2</sub> amorphe. «Bull. Soc.  
iranç. minéral. et cristallogr.», 1966, 89, № 2, 216—225  
(франц.)

Проведено нейтронографич. и рентгенографич. исследование (метод порошка;  $\lambda_{\text{Cu}, \text{Mo}-K\alpha}$ ) аморфного ZrO<sub>2</sub> (I), полученного из р-ра оксихлорида и аммиака. При термич. обработке ( $400^\circ$ ) I переходит в тетрагон. фазу, подобную высокотемпературной ( $1100^\circ$ ) модификации ZrO<sub>2</sub>. Установлено, что структура I состоит из дискретных ассоциаций атомов, представляющих собой образования типа пластинок диаметром  $\sim 25$  Å и тол-

x. 1967. 19

щиной  $\sim 4\text{ \AA}$ . Пластинки состоят из трех слоев, средний из которых представлен атомами Zr, а крайние — атомами O. Расположение атомов напоминает структуру флюосрита в проекции (111). Определены примерные межатомные расстояния и КЧ в структуре I. Два наиболее коротких расстояния Zr—Zr 3,25 и 3,75  $\text{\AA}$ . Число ближайших соседей O вокруг Zr колеблется в пределах 3—6 и атомов Zr вокруг Zr в пределах 4,5—8. Каждый атом O имеет от 2 до 2,5 соседей того же сорта. На основе полученных данных для I установлена хим. ф-ла ZrO<sub>1,95</sub>.

З. Пудовкина

*ErO<sub>2</sub>*

*ΔH*

*Cp*

5 E435. Энталпия и теплоемкость двуокиси циркония в интервале температур 1100—2500° К. Кириллин В. А., Шейндлин А. Е., Чеховской В. Я., Жукова И. А., Тарасов В. Д. «Теплофиз. высоких температур.», 1966, 4, № 6, 878—879

Методом смешения в интервале т-р 1100—2500° К измерена энталпия и определена теплоемкость двуокиси циркония. Полиморфное превращение тетрагональной двуокиси циркония в моноклинику наблюдалось при т-ре 1420° К. Теплота полиморфного превращения равна 67 кдж/кг. Получены эмпирич. ф-лы для расчета энталпии моноклинической

$$H_T - H_{273,15} = 0,4702T + 0,0678 \cdot 10^{-3}T^2 - 133,4 \text{ кдж/кг},$$

и тетрагональной

$$H_T - H_{273,15} = 0,6397T - 174,7 \text{ кдж/кг},$$

модификаций двуокиси циркония. Максимальная случайная ошибка измерения энталпии оценивается в  $\pm 1\%$ .

96 · 1967 · 58

1286

VII - ЗНК

ZrO<sub>2</sub>

111-316

1966

59545x Enthalpy and specific heat of zirconium dioxide at 1100-2500°K. V. A. Kirillin, A. E. Sheindlin, V. Ya. Chekhovskoi, I. A. Zhukova, and V. D. Tarasov. *Teplosif. Vys. Temp.* 4(6), 878-9(1966)(Russ.). Enthalpy and sp. heat of ZrO<sub>2</sub> were detd. by the method of mixts. at 1100-2500°K. by using cylindrical specimens contg. Fe 0.05, Ti 0.05, HfO<sub>2</sub> 2.3, sulfides 0.1, alkali metals 0.5, and chlorides 0.02%. The enthalpy increased linearly with temp., with a sharp jump at 1420°K., the point of polymorphic transformation of the tetragonal ZrO<sub>2</sub> into the monoclinic modification on cooling from 1420°K. Empirical equations, based on the exptl. data, were derived for the enthalpy and the sp. heat for both modifications for the temp. range studied.

GPJR

C.A. 1967 66 14

1966

VII-816

ZrO<sub>2</sub>

18 Б579. Энталпия и теплоемкость двуокиси циркония в интервале температур 1100—2500° К. Кирилли В. А., Шейндлин А. Е., Чеховской В. Я., Жукова И. А., Гарасов В. Д. «Теплофиз. высоких температур», 1966, 4, № 6, 878—879.

Методом смешения измерены энталпия ( $\pm 1\%$ ) двуокиси циркония в интервале т-р 1100—2500° К. Полиморфное превращение тетрагональной двуокиси циркония в моноклинную наблюдалось при т-ре 1420° К. Теплота полиморфного превращения равна 67 кдж/кг. Для моноклинной модификации:  $H_t - H_{273,15} = 0,4702 T + 0,0678 \cdot 10^{-3} T^2 - 133,4$  кдж/кг. Для тетрагональной модификации  $H_t - H_{273,15} = 0,6397 T - 174,7$  кдж/кг. Автореферат

x. 1967. 18

$ZrO_2$

B91 VII-2465

1966

Kp

I

C.A. 1966. 65. 12

17771c

Thermodynamics of the zirconia/zirconium-oxygen vapor system. F. J. Krieger (RAND Corp., Santa Monica, Calif.). AEC Accession No. 19202, Rept. No. AD 629571, 36 pp.(1966) (Eng). Thermodynamic investigations were made on zirconia,  $ZrO_2$ , at  $\leq 6000^{\circ}K$ . and  $\leq 10^3$  atmospheres. Two sets of equil. co~~mprn.~~ equations were used: one representing a pure gas phase; the other a heterogeneous system of gas and condensed (i.e., solid or liquid) zirconia. The gas phase of the heterogeneous chem. system, like the homogeneous gas phase, comprised 5 gaseous Zr-O species. The latter is a conventional Mollier diagram in which sp. enthalpy is plotted against sp. entropy, with cross plots of temp., pressure, and mol. wt. or moles of condensed zirconia. From *Nucl. Sci. Abstr.* 20(12), 2357(1966).

TCNG

VII 4238

1966

ZrD<sub>2</sub>, PbD<sub>2</sub> (Tr)

Kulchinski G. L., Maynard C. W.

J. Appl. Phys., 1966, 37, 3519-352

T

VII

ZrO<sub>2</sub>

90. 100 mg.

1966.

Atc.

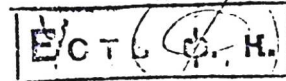
VII 2583

Кубо Тэруяку, Като Насумори, Кохатсу Ибао.  
Kubo T., Kato M., Kohatsu I.,  
~~Kogyo Kagaku Zasshi~~, J. Chem. Soc. Japan, Industr.  
Chem. Soc., 1966, 69, N12, 2277-2280, A129 (Lumines.)

Меркурецное окисление звуком с уско-  
рением процесса образования сажевого  
каплю звуком излучения.

МЕХ, 1964, 18 Б662.

Ми



Зв<sub>2</sub>

1966

5 Б772. Метастабильные состояния окиси циркония, полученной при разложении алкоголятов. Mazdiyasni K. S., Lynch C. T., Smith J. S. Metastable transitions of zirconium oxide obtained from decomposition of alkoxides. «J. Amer. Ceram. Soc.», 1966, 49, № 5, 286—287 (англ.)

60

VII —

Методами рентгенографии и электронографии изучены образцы ультрачистых порошков  $ZrO_2$ , полученных путем термич. разложения алкоголятов. Порошки прогревались в интервале т-р от комнатной до 1000°. Для частиц со средним размером 50 Å до 300° существует метастабильная куб. фаза. При 300—305° происходит резкий переход в метастабильную тетрагон. фазу. Превращение в монокл. модификацию идет постепенно при 305—400°. Т-ры перехода зависят от размера частиц. Так, для порошка 80—100 Å переход кубич.—тетрагон. происходит при 250—270°. Приводятся таблицы  $I, d$  для найденных кристаллич. модификаций.

Р. Иванова

X. 1967 .5

V 5619

1966

HfO<sub>2</sub>, ZrO<sub>2</sub>, Al<sub>2</sub>O<sub>3</sub> (Tm)

Noguchi T., Kozuka T.

Solar Energy, 1966, 10, (July-Sept.) 125-31.

Temperature and emissivity measurement at  
0,65 μ with a bolometer furnace.

CA, 1967, 67, N 6, 25956m

Be.

ЕСТЬ Ф. НГ

V 5248

1966

ZnO<sub>2</sub>, Al<sub>2</sub>O<sub>3</sub> ( $\alpha$ H<sub>2</sub>, T<sub>2</sub>)

Сухаревский б.д.,

Докс. АН СССР, 1966, 167, №5, 1046-1049

Б

лес. п.к.

ZrO<sub>2</sub>

Y<sub>2</sub>O<sub>3</sub>

MURASCE

1966

85222e Heating curves of solids obtained by a solar furnace.  
Tetsuo Noguchi and Takeshi Kozuka (Govt. Ind. Res. Inst., Nagoya, Japan). *Solar Energy* 10(4), 203-6(1966)(Eng). The m.p. of ZrO<sub>2</sub> and Y<sub>2</sub>O<sub>3</sub> are detd. as  $2995^{\circ} \pm 20^{\circ}\text{K}$ . and  $2686^{\circ} \pm 20^{\circ}\text{K}$ . from heating curves which are obtained by the specular reflection method in a solar furnace according to the technique of N. and K. (*CA* 67: 25956n). Fusion times as a function of heat flux are calcd. from the heating curve and presented for ZrO<sub>2</sub>.

DYJN

Tm.

(+1)

C.A. 1967 · 67 · 18

VII - 3841



1966

ZrO<sub>2</sub>

7 Б775. Измерение температуры затвердевания окислов металлов в солнечной печи. Ногута Тэцуо, Мидзuno Масао, Кодзука Такэси. «Когёкагаку дзасси, Kogyo kagaku zasshi, J. Chem. Soc. Japan. Indust. Chem. Sec.», 1966, 69, № 9, 1705—1709, A94 (японск.; рез. англ.)

С помощью цветового яркостного пирометра (с учетом поправки на коэф. лученепускания) определена т-ра затвердевания  $ZrO_2$ ,  $HfO_2$ ,  $Al_2O_3$ ,  $CaO$  и 15 окислов РЗЭ по кривой охлаждения их расплава в солнечной печи гелиостатич. типа. Т-ры затв.  $ZrO_2$ ,  $HfO_2$ ,  $Al_2O_3$  и  $CaO$  составляют соотв.  $2979 \pm 20^\circ K$ ,  $3026 \pm 20^\circ K$ ,  $2322 \pm 15^\circ K$  и  $2858 \pm 20^\circ K$ . Приведены также значения т-р затвердевания окислов РЗЭ: от  $Sc_2O_3$  до  $Lu_2O_3$ . Чистота использованных окислов  $ZrO_2$  99,5%, (1,8  $HfO_2$ );  $HfO_2$  99,4%, (0,57%  $ZrO_2$ );  $Al_2O_3$  99,8%  $CaO > 98,0\%$  и окислы РЗЭ > 99,9%. Резюме авторов

Б90 - 52224-1

x. 1967. 7

☒

B9P-5224-V

1966

ZrO<sub>2</sub>

Tm

+17

98960q Freezing point measurement on metal oxides with a solar furnace. Tetsuo Noguchi, Masao Mizuno, and Takeshi Kozuka (Govt. Ind. Res. Inst., Nagoya, Japan). *Kogyo Kagaku Zasshi* 69(9), 1705-9(1966)(Japan). A solar furnace of the heliostat type was constructed. The true f.p. of the sample was calcd. from the brightness temp. at the f.p. detd. by the cooling curve method and spectroscopic emission power ( $\epsilon$ ) measured at a wavelength of  $0.65 \mu$ . F.p. and  $\epsilon$  were  $2972 \pm 20^\circ\text{K}$ . and 0.81 for  $\text{ZrO}_2$ ;  $3026 \pm 20^\circ\text{K}$ . and 0.91 for  $\text{HfO}_2$ ;  $2322 \pm 15^\circ\text{K}$ . and 0.96 for  $\text{Al}_2\text{O}_3$ , resp. F.p. and  $\epsilon$  of lanthanide oxides were detd. as follows:  $\text{Sc}_2\text{O}_3$ ( $2676^\circ\text{K}$ . and 0.96),  $\text{Y}_2\text{O}_3$ ( $2649$ , 0.96),  $\text{La}_2\text{O}_3$ ( $2529$ , 0.95),  $\text{Pr}_2\text{O}_3$ ( $2456^\circ$ , 0.98),  $\text{Nd}_2\text{O}_3$ ( $2506^\circ$ , 0.97),  $\text{Sm}_2\text{O}_3$ ( $2542^\circ$ , 0.98),  $\text{Eu}_2\text{O}_3$ ( $2564^\circ$ , 0.95),  $\text{Gd}_2\text{O}_3$ ( $2603^\circ$ , 0.98),  $\text{Tb}_2\text{O}_3$ ( $2576^\circ$ , 0.97),  $\text{Dy}_2\text{O}_3$ ( $2501^\circ$ , 0.98),  $\text{Ho}_2\text{O}_3$ ( $2603^\circ$ , 0.98),  $\text{Er}_2\text{O}_3$ ( $2617^\circ$ , 0.94),  $\text{Tm}_2\text{O}_3$ ( $2614^\circ$ , 0.98),  $\text{Yb}_2\text{O}_3$ ( $2626^\circ$ , 0.98), and  $\text{Lu}_2\text{O}_3$ ( $2700^\circ$ , 0.93), resp., where the uncertainty of the f.p. was within  $\pm 20^\circ\text{K}$ .

M. Sorai

C. A. 1988.

68.22



1966

ZrO<sub>2</sub>

Frostel bone, Fr. Sta.

Fr. stability of alumina  
and zirconia in hydrogen.

Amer. Ceram. Soc. Bull.

1965, 44, N(2, 950-952 (ann))

*ZrO<sub>2</sub>*

1966

5 E258. Фазовые превращения и дефекты в двуокиси титана и двуокиси циркония при высоком давлении.  
Vahldiek F. W. Phase transition and imperfections of titanium dioxide and zirconium dioxide under high pressure. «Electron Microscopy, 1966, Vol. 1.» Tokyo, Maruzen Co., Ltd, 1966, 443—444 (англ.)

Исследованы фазовые превращения анатаз — рутил в  $TiO_2$  и моноклинной фазы в тетрагональную в  $ZrO_2$  под давлением. Образцы спрессованы из микронного порошка. Давление создавали в установке типа «белт». Фазовые превращения фиксировали методом электросопротивления.  $TiO_2$  исследован в  $P-T$ -области 3,8—24 кбар, 20—1200° С,  $ZrO_2$ —0—60 кбар, 20—1300° С. Наклон линии необратимого превращения анатаз — рутил 2×

*1966  
viii-1967*

окт. 1967 · 58



$\times 10^{-2}$  град/бар, обратимого превращения моноклинная фаза — тетрагональная  $1 \cdot 10^{-2}$  град/бар. Энтальпия превращений, рассчитанная по наклону линий превращений, уменьшается с ростом давления. Проведено эл.-микроскопич. изучение дефектов в образцах после действия высокого давления и т-ры. На плоскостях, неперпендикулярных направлению приложения давления, обнаружен рельеф, связанный с движением дефектов. Плотность дислокаций повышается при повышении давления с  $3,8$  до  $24$  кбар при  $1200^\circ\text{C}$  с  $10^6$  до  $10^8$  см $^{-2}$  в  $\text{TiO}_2$  и с  $10^7$  до  $10^9$  см $^{-2}$  при давлении до  $60$  кбар и  $1300^\circ\text{C}$  в  $\text{ZrO}_2$ . В центре образца  $\text{ZrO}_2$  наблюдаются скопление дислокаций и сложный рельеф, вызванные градиентом давления по образцу. Исследование монокристалла  $\text{TiO}_2$  (рутин 99,96% чистоты) после действия давления  $24$  кбар при  $20^\circ\text{C}$  показало наличие линий скольжения в плоскости (001). Линии дислокаций замечены в плоскостях (001) при давлении выше  $5$  кбар.

А. Кутсар

$ZrO_2$

Юдина Б. Ф.,

1966

Кархамов А. К.

Лаб. № 1706-17  
Лаб. № 1706-17

нс. присл. земли, 39,  
№ 3, 537.

Термодинамика испаре-  
ния оксидов портланд цем-  
(ац.  
 $SiO_2$ ) ен при высоких Т-ах

Ex 2

Victor A.C.,  
Douglas T.B.

1966

H<sub>T</sub>-H<sub>273</sub>

5TT, n9, cip.29

273-1173°K

ZrO<sub>2</sub>  
(анторг.)

Зайчев А. Н.

Шубина Т. Н.

Изд. АН ССР, Иогр. магн.

1966, 2 (9), 1592-8

1966

Показано, что при  $ZrO_2$  образуется  
также выше  $400^{\circ}C$ , а  $ZrO_2$ , образую-  
щийся при более низких  $T$ -рах,  
должен быть аморфным.



Лаборатория 1001	Сухаревский 5.2.1966
	Докт. АН СССР.
Брик	1966, <u>167</u> , 1046
38	T.91.22 D <sub>2</sub> (K)

7202

1984

20 Б1051. Реакция двуокиси циркония с металлическим железом при высоких температурах. Becerescu D., Winter Fr., Cicoage Lucia. Reacția bioxidului de zirconiu cu fier metalic la temperaturi ridicate. «Bul. științ. și tehn. Inst. politehn. Timișoara», 1967, 12, № 1, 37—42 (рум.; рез. русск., нем.)

7.1988

.20

*ZrO<sub>2</sub>*

*(1967)*

№ 20 Б741. О тугоплавкости кубических твердых растворов, образуемых цирконом с некоторыми полутонными окислами редкоземельных элементов. Foex Magc, Rouanet Alain. Sur le caractère réfractaire des solution solides cubiques formées par la zirconie avec certains sesquioxides de terres rares. «С. г. Acad. sci.», 1967, C264, № 11, 947—950 (франц.)

Методами термич. анализа и рентгенографически изучены системы, образованные ZrO<sub>2</sub> и M<sub>2</sub>O<sub>3</sub>, где M=Yb, YEr, Ho, Dy и Gd, при высоких т-рах. Малые кол-ва Gd<sub>2</sub>O<sub>3</sub> мало влияют на т-ру начала затвердевания ZrO<sub>2</sub>, при более высоком содержании Gd<sub>2</sub>O<sub>3</sub> т-ра затвердевания ZrO<sub>2</sub> существенно понижается. Во всех остальных изученных системах на кривых ликвидуса имеются мак-

X · 1967 · 20

симумы, причем в ряду Dy, Ho, Er, Y и Yb относительная высота максимума увеличивается. В той же последовательности увеличивается содержание  $M_2O_3$ , отвечающего максимуму кривой ликвидуса. Наиболее высокую т-ру ликвидуса ( $2820^\circ$ ) в изученных системах имеет продукт, содержащий 75 мол.%  $ZrO_2$  и 25 мол.%  $Yb_2O_3$ .

Добавка  $M_2O_3$  понижает т-ру перехода кубич. $\rightarrow$ тетрагон.  $ZrO_2$ . Для содержания  $M_2O_3$  1 и 2 мол.% это понижение наиболее заметно для середины изученного ряда РЗЭ. Переход кубич. $\rightarrow$ тетрагон.  $ZrO_2$  происходит без гистерезисных явлений.

И. Н. Семенов

1967

ZrO<sub>2</sub>

53870u Effect of heating rate on the temperature characteristics of a diffusion-free transformation of zirconium dioxide. A. M. Gavrish, B. Ya. Sukharevskii, and P. P. Krivoruchko (Fiz.-Tekh. Inst. Nizkikh Temp., Kharkov). *Dokl. Akad. Nauk SSSR* 177(4), 886-9(1967)(Russ). ZrO<sub>2</sub> with a purity of 99.7% was used in samples 10-min. diam. and 2-mm. thick. They were preliminarily heated for 2 hrs. at 1300° and 2 hrs. at 1500°. The heating rate has a considerable effect on the  $\alpha \rightleftharpoons \beta$  transitions. If the heating rate varies from 3 to 45°/min., the beginning and the end of the  $\alpha \rightarrow \beta$  transition is shifted by 70°. After completion of direct transformation, the samples were held for 1 hr. at 1300°. The temp. of the beginning of the  $\beta \rightarrow \alpha$  transition does not depend on the heating rate. At every given temp., the satn. concn. of the  $\beta$ -phase of ZrO<sub>2</sub> is established. The interfacial tension is close to the values of the surface energy

Temp.  
X-ray diffraction  
tests

C.A. 1968 • 08 • 12

of the interface austenite-martensite obtained in the absence of total coherence on the interface of the phases. The effect of the heating rate on the temp. of the beginning of  $\alpha \rightarrow \beta$  transition of  $ZrO_2$  is caused by the stress introduced by preliminary heat treatment and thermal expansion of the samples. At high heating rates, the stresses are not annealed and facilitate the formation of dislocations, thus decreasing the temp. of the beginning of the transition. The const. temp. of the beginning of the  $\beta \rightarrow \alpha$  transition is due to the equal degree of annealing during holding at  $1300^\circ$ .

L. Holl

1967

*ZrO<sub>2</sub>*

1 Е257. Влияние добавок редкоземельных окислов на полиморфизм двуокиси циркония. Глушкова В.Б., Сазонова Л.В. В сб. «Химия высокотемператури. материалов». Л., «Наука», 1967, 83—90

Рентгенографическим, термографическим и дилатометрич. методами изучено влияние добавок окислов редкоземельных элементов (РЗЭ) (Nd, Sm, Eu, Er, Yb) на полиморфизм двуокиси циркония. При введении окислов РЗЭ в ZrO<sub>2</sub> образуются твердые растворы замещения общей ф-лы  $Zr^{4+}_{1-x} Me^{3+}_x O^{2-}_{2-\frac{x}{2}} \square_{\frac{x}{2}}$

параметр решетки меняется, т-ры превращения моно-клиниой фазы в тетрагональную смешаются (и тем больше, чем меньше ионный радиус редкоземельного катиона). Наилучшими стабилизаторами ZrO<sub>2</sub> в кубич. форме являются окислы тяжелых РЗЭ и окись иттрия.

• 1968.1

16

12 Б649. Влияние добавок редкоземельных окислов на полиморфизм двуокиси циркония. Глушкова В. Б., Сазонова Л. В. В сб. «Химия высокотемпературных материалов». Л., «Наука», 1967, 83—90

С помощью дилатометрич. и рентгеновского методов анализа исследованы системы  $ZrO_2 - M_2O_3$ , где  $M = Nd$ ,  $Sm$ ,  $Eu$ ,  $Eg$ ,  $Yb$  при  $600 - 2000^\circ$ , а также влияние добавки окислов РЗЭ на полиморфизм  $ZrO_2$ . Тв. р-ры  $ZrO_2 - M_2O_3$  приготовлены совместным обжигом смесей  $ZrO_2$  и окислов РЗЭ, а также методом соосаждения в аморфном состоянии и методом разложения солей, с последующим обжигом. В 2 последних случаях образуются метастабильные кубич. тв. р-ры типа  $CaF_2$  (при  $600 - 800^\circ$ ), к-рые переходят в равновесные фазы при т-рах  $\geq 1000^\circ$ . При высоких т-рах образуются тв. р-ры, в к-рых часть ионов  $Zr$  замещена трехвалентными ионами РЗЭ, а в анионной подрешетке образуется соотв-щее кол-во вакансий кислорода. При небольших конц-ях  $M_2O_3$  (3—5 мол.%) тв. р-р имеет тетрагон. структуру, к-рая при

X. 1968. 12.

росте кол-ва  $M_2O_3$  переходит в кубич. (типа  $CaF_2$ ), и при дальнейшем росте конц-ии РЭЭ с большими ионными радиусами в кубич. структуру типа пирохлора. Для полной стабилизации кубич.  $ZrO_2$  необходима добавка ~19 мол. %  $Nd_2O_3$ , 7—8 мол. %  $Eu_2O_3$  или 5—6 мол. %  $Eg_2O_3$ . Длительный нагрев при т-рах >2000° приводит к испарению добавок РЭЭ и изменению состава тв. р-ра. Высокот-рный кубич. тв. р-р, содержащий недостаточное для стабилизации кол-во окисла РЭЭ, при медленном охлаждении или отжиге при 1700—1400° распадается на смесь тетрагон. тв. р-ра (монокл. при низких т-рах) с 2—5%  $M_2O_3$  и кубич. тв. р-р с повышенным содержанием  $M_2O_3$ . Т-ра распада и ширина двухфазной области уменьшается со снижением величины ионного радиуса РЭЭ. Р-имость окислов РЭЭ в монокл.  $ZrO_2$  ~1—2 мол. %, в тетрагон.  $ZrO_2$  ~4% при 1200° и растет с увеличением т-ры. Т-ра перехода монокл.  $ZrO_2$ —тетрагон.  $ZrO_2$  понижается с увеличением конц-ии окисла РЭЭ в тв. р-ре и с уменьшением ионного радиуса РЭЭ, причем переход при добавках  $M_2O_3$  протекает в более широком интервале т-р. Изменение объема  $ZrO_2$  при обычном переходе составляет 8—9%, при добавке 5 мол. %  $Nd_2O_3$ , 5,6%; при 1 мол. %  $Eg_2O_3$  ~4%. В системе  $ZrO_2$ — $CeO_2$  при >13 мол. %  $CeO_2$  во всем интервале т-р. устойчив тетрагон. тв. р-р, в к-ром при нагревании в атмосфере с низким содержанием О ионы  $Ce^{4+}$  восстанавливаются до  $Ce^{3+}$ , что приводит к изменению кол-ва и состава фаз. В системе  $ZrO_2$ — $Ce_2O_3$  при т-ре <1700° и 3—27 мол. %  $Ce_2O_3$  существует двухфазная область: тетрагон. (монокл.) тв. р-р  $ZrO_2$ +тв. р-р циркооната Ce (типа пирохлора). Л. В. Шведов

ZrO<sub>2</sub>

фазовые  
переходы

(Tc)

VII-4137

1967

7 Б788. Рентгеновское и спектрографическое исследование фазовых переходов в тугоплавких окислах ( $ZrO_2$  и окислы редкоземельных элементов). Glushko - va V. B., Koehler E. K. X-ray and spectrographic investigations of phase transitions in refractory oxides ( $ZrO_2$  and rare-earth oxides). «Mater. Res. Bull.», 1967, 2, № 5, 503—513 (англ.)

Полуторные окислы РЗЭ и  $ZrO_2$  получали путем про-  
каливания гидратов и изучали хим. и структурные пре-  
вращения в них с помощью ДТА, термогравиметрич. и вы-  
сокот-риого рентгеновского анализов и путем исследова-  
ния их ИК-спектров. Возникающая при разложении со-  
лей кубич. С-форма окислов РЗЭ представляет собой  
тидрат  $3M_2O_3 \cdot H_2O$  и при нагревании необратимо пере-  
ходит, теряя  $H_2O$ , в стабильную A-форму. В элементар-  
ной ячейке С-формы содержится 8—10 групп OH, полу-

X. 1968. 7

вииа из которых замещает атомы O, а остальные располагаются в тетраэдрич. междуузлиях. Энергия активации  $C \rightarrow A$ -перехода составляет 100,3 ккал/моль для  $Nd_2O_3$  и возрастает в ряду РЗЭ от  $La_2O_3$  к  $Gd_2O_3$ , также как и т-ра перехода. При разложении гидрата Zr или гидрата нитрата Zr они теряют  $H_2O$  и превращаются, при  $400^\circ$ , в рентгеноаморфную  $ZrO_2$ , которая переходит в метастабильную кубич. форму  $ZrO_2$ , с дальнейшим переходом последней при  $600-800^\circ$  в монокл. форму, обратимо переходящую при  $1190-1000^\circ$  в тетрагон.  $ZrO_2$ . В монокл.  $ZrO_2$  р-ряется  $<2$  мол.% окислов РЗЭ ( $500-900^\circ$ ) в тетрагон.  $ZrO_2$  3—4 мол.% ( $\sim 1600^\circ$ ). Т-ра перехода монокл.  $ZrO_2$  в тетрагон. снижается с увеличением конц. РЗЭ в тв. р-ре  $ZrO_2$ .

В. Нешпор

$ZrO_2$

Karaki A. et gp.

1967

Rev. Int. Hautes Temp. Refract.,  
4, N3, 207

(VIII)

РД-96-98

Тауэрские монокристаллы  
окислов металлов.

(Cu. Th  $Ti_2O_6$ ) I



*Zro*

*1987*

2 E527. Зависимость коэффициента термического расширения стабилизированной двуокиси циркония от соотношения кубической и моноклинной фаз. Карапулов А. Г., Гребенюк А. А., Белик В. Я., Рудяк И. Н. В сб. «Химия высокотемпературных материалов». Л., «Наука», 1967, 43—48

Установлена взаимосвязь между температурной зависимостью коэф. термич. расширения и соотношением кубич. и моноклинной фаз двуокиси циркония. Такое явление наблюдается независимо от того, получена ли моноклинная фаза в образцах неполной стабилизацией или введением добавки моноклинной фазы. Установлено, что величина коэф. термич. расширения в интервале т-р 25—900° максимальна у образцов, состоящих из полностью стабилизированной двуокиси циркония ( $14 - 15 \cdot 10^{-6}$  град. $^{-1}$ ). Она снижается до  $2,5 - 3,1 \cdot 10^{-6}$  град. $^{-1}$  с увеличением кол-ва моноклинной фа-

*9.1968.28*

зы в образцах до 40—60%. Показано, что наличие более 20% моноклинной фазы в образцах с пористостью 19—22% приводит к появлению резких объемных изменений в интервале т-р 850—1200°. Величина этих изменений растет с увеличением кол-ва моноклинной фазы и приводит к гистерезису и росту образцов при их охлаждении от 1200° до т-ры ~20°. Установлено, что при содержании моноклинной фазы в кол-ве 30—60% наблюдается аномалия расширения образцов  $ZrO_2$  вплоть до 2000°. Однако вследствие перераспределения CaO и дополнительной стабилизации  $ZrO_2$  после обжига образцов до 2000—2300° кол-во моноклинной фазы в них уменьшается с 40—60% до 10% и аномалия расширения исчезает. Библ. 17.

Резюме

VII 3681

1964

ZrO<sub>2</sub>, TiO<sub>2</sub>, TaO<sub>2</sub>; UO<sub>2</sub>, ThO<sub>2</sub>, CeO<sub>2</sub>; SiO<sub>2</sub>  
(cup-pa)

Kaufman H., Muenker J.; Klempner W.

J. Chem. Phys., 1964, 47, 3365 - 3366

HO

6673 Q.P.K.

$ZrO_2$

1967

23 Б595. Стандартная теплота образования двуокиси циркония. Корнилов А. Н., Ушакова И. М., Скуратов С. М. «Ж. физ. химии», 1967, 41, № 1, 200—204

$\Delta H_f$

Определена стандартная теплота образования  $ZrO_2$  с использованием тщательно проанализированного образца циркония  $\Delta H^\circ$  (обр.,  $ZrO_2$ , моноклинная модификация)  $= -263,04 \pm 0,16$  ккал/моль. Это значение хорошо согласуется с результатом последнего определения теплоты образования  $ZrO_2$ , предпринятого в 1964 году, и заметно отличается от результатов предыдущих определений. Проведено подробное исследование метода определения процента сгорания циркония и показано, что при прокаливании продуктов сгорания циркония, они окисляются до двуокиси циркония, практически стехиометрического состава.

Автореферат

111-3223

Дейтинг У  
бергшана

х. 1967. 23

*ZrO<sub>2</sub>*  
*z Hf*

119510u Standard heat of formation of zirconium dioxide,  
A. N. Kornilov, I. M. Ushakova, and S. M. Skuratov. *Zh.  
Fiz. Khim.* 41(1), 200-4(1967)(Russ). The standard heat of  
formation of ZrO<sub>2</sub> was measured by combustion of Zr in O<sub>2</sub> in a  
calorimetric bomb. The cryst.  $\alpha$ -modification of Zr was used  
contg. the following amts. of impurities in wt. %: <0.001 N;  
0.002 O; 0.0004 H; 0.03 Hf; <0.013 Fe; <0.03 Si; 0.01 Ca;  
<0.005 Ti; <0.006 Al; 0.001 Mn; 0.002 Cr; 0.002 Ni; 0.02 C;  
<0.006 Mo;  $3 \times 10^{-5}$  Cd; 0.005 Cu; and  $5 \times 10^{-4}$  Pb. Mea-  
surements were carried out in a calorimeter with an isothermal  
shell at 25°. The accuracy of temp. measurements was  $5 \times$   
 $10^{-6}$ . The conditions in the calorimetric bomb were chosen  
such as to achieve a 99.8 - 99.9% combustion of Zr. The per-  
centage of combustion was established by a double melting of the  
combustion products in a Pt crucible. The combustion products  
consist of the monoclinic modification of ZrO<sub>2</sub> found by x-ray  
analysis. The calcd. standard heat of formation of ZrO<sub>2</sub> (mono-  
clinic modification)  $H_{f, 298}^{\circ} = -263.04 \pm 0.16$  kcal./mole.

Monika O. Kasparova

C.A 1967-66-26

Oct 1967  
Monika O.  
Kasparova

Zz02 ( $T_{t_2}$ ) Красногорское VII 4105 1967  
J.J. Завренич et al., Соколов -  
Син. Б.Я., Докл. АН СССР, 1964,  
177 (4), 886 - 89

15 CP

ca 1968

ZrO<sub>2</sub>, TiO<sub>2</sub>, ZrTiO<sub>4</sub> (Tm) 7 VII 3680 1962

Магнито-Масао, Ногуми Тэцуго

Repts Govt Industr., Res. Inst., Nagoya, 1962, 16,  
NS-6, 179-182 (японск.)

Система ZrO<sub>2</sub>-TiO<sub>2</sub>. III. Изменение минерального  
вещества состава в системе ZrO<sub>2</sub>-TiO<sub>2</sub> при  
термической обработке.

VII-Kur, 1963

5580.8

Б (cp) 6

ThO<sub>2</sub>, ZrO<sub>2</sub> (Изученog. г.-иц VII 3951  
2939)

1967

Nagarajan S.

Z. Phys. Chem. (Leipzig),  
1964, 234 (516), 406-18

(cp)

10

ca 1964  
ECTB Ф. И.

1967

*ZrO<sub>2</sub>*

) 24 Б571. Термодинамика ионного обмена на водной двуокиси циркония. Nancollas G. H., Paterson R.  
Thermodynamics of ion exchange on hydrous zirconia.  
 «J. Inorg. and Nucl. Chem.», 1967, 29, № 2, 565—569  
 (англ.)

Изучено равновесие анионного обмена  $\text{Cl}^- - \text{NO}_3^-$ ,  $\text{Cl}^- - \text{SCN}^-$  и  $\text{SCN}^- - \text{NO}_3^-$  на  $\text{ZrO}_2$  при постоянных т-ре ( $25^\circ$ ), ионной силе  $0,1\text{ M}$  и кислотности  $0,01\text{ M}$ . Термодинамич. константы равновесия, рассчитанные по методу Гайнса и Томаса, равны  $K_{\text{NO}_3}^{\text{Cl}} = 1,04 \pm 0,1$ ;  $K_{\text{Cl}}^{\text{SCN}} = 1,54 \pm 0,1$  и  $K_{\text{NO}_3}^{\text{SCN}} = 1,94 \pm 0,2$ . Эти константы удовлетворяют правилу треугольника, что свидетельствует об истинно равновесном ионном обмене. С. Никольский

x · 1967 · 24

*ZrO<sub>2</sub>*

*VII-147*

*1967*

3 Е334. Низкотемпературные кубическая и тетрагональная формы двоокиси циркония. Полежаев Ю. М. «Ж. физ. химии», 1967, 41, № 11, 2958—2959

Показано, что существование низкотемпературных кубич. и тетрагональной форм ZrO<sub>2</sub> может быть следствием уменьшения поверхн. энергии кристаллов ZrO<sub>2</sub> в ряду моноклинная→тетрагональная→кубическая.

*90. 1968. 33*

*ZrO<sub>2</sub>*

VII-147

1964

15 Б457. Низкотемпературные кубическая и тетрагональная формы двуокиси циркония. Полежаев Ю. М.  
«Ж. физ. химии», 1967, 41, № 11, 2958—2959

На основе литературных данных и результатов собственного исследования низкотемпературных кубич. и тетрагон. форм ZrO<sub>2</sub> (I) сделан вывод, что их существование может быть следствием уменьшения поверхностной энергии кристаллов I в ряду монокл.→тетрагон.→кубич. Отмечается, что уменьшение уд. поверхности энергии в присутствии примесей приводит к увеличению крит. размера кристаллитов, что необходимо учитывать при определении условий существования модификаций I.

Ю. В. Караван

x. 1968. 15

$ZrO_2$

VII-147

1967

$T_{tr}$

- 63392d Low-temperature cubic and tetragonal forms of zirconium dioxide. Yu. M. Polezhaev (Ural'sk. Politekh. Inst. im. Kirova, Sverdlovsk). *Zh. Fiz. Khim.* 41(11), 2958-9(1967) (Russ). There are 3 stable modifications of  $ZrO_2$ : monoclinic at temps.  $<1150^\circ$ , tetragonal at  $1150-2300^\circ$ , and cubic at temps.  $>2300^\circ$ . On heating Zr salts, 2 low-temp. metastable modifications of  $ZrO_2$  form following the decomprn. of the salts, cubic and tetragonal forms. Energy relations pertaining to  $ZrO_2$  which explain the existence of the metastable tetragonal form were derived by Krauth and Meyer (1965). The problem was subjected to a similar treatment in this case from the standpoint of formation of the metastable cubic form. The surface energy of  $ZrO_2$  crystals decreases in the order monoclinic  $>$  tetragonal  $>$

C.A. 1968. 68.14

cubic. During crystn., the cubic modification forms first; followed by the tetragonal, which persists longer than the cubic; and then the monoclinic. The transformations  $\xrightarrow{1150^\circ}$  monoclinic  $\xrightarrow{2300^\circ}$  tetragonal and tetragonal  $\xrightarrow{\text{cubic}}$  proceed with the absorption of heat. In the presence of impurities that reduce the surface energy, recrystn. is delayed and metastable cubic and tetragonal modifications with increased crit. dimensions of the crystals form that exhibit transition temps. and temp.. ranges of stability that differ considerably from those observed in the recrystn. of pure  $\text{ZrO}_2$ .

GZJR

ZrO<sub>2</sub>

1967

2 E290. Нестехиометрия ZrO<sub>2</sub> и ее связь с превращением тетрагональной фазы ZrO<sub>2</sub> в кубическую. Ruh Robert Garrett Harold J. Nonstoichiometry of ZrO<sub>2</sub> and its relation to tetragonal-cubic inversion in ZrO<sub>2</sub>. «J. Amer. Ceram. Soc.», 1967, 50, № 5, 257—261 (англ.)

Методами металлографического и рентгеноструктурного анализа (как высокотемпературных измерений фазового состава, так и прецизионных измерений при комнатной т-ре параметров решетки подвергнутого различной обработке соединения ZrO<sub>2</sub>) изучена система Zr—O (в интервале содержания кислорода 50—66,7 ат. %). На основании этих данных построена диаграмма состояния этой системы при т-рах 1200—2000° С. Установлено, что растворимость Zr в тетрагональном ZrO<sub>2</sub> существен-

09. 1968. 22

но зависит от т-ры: имея максим. значение при 1490° С ( $Zr + 64,7$  ат.% O), растворимость уменьшается по мере повышения т-ры и равна нулю при переходе тетрагонального  $ZrO_2$  (стехиометрического состава) в кубический. Установлено также, что отклонение состава  $ZrO_2$  от стехиометрического за счет растворенного в нем Zr существенно понижает т-ру превращения высокотемпературной кубич. модификации в низкотемпературную тетрагональную. Миним. т-ра превращения (1490° С) соответствует составу  $Zr + 63,1$  ат.% O. Поскольку растворимость Zr в кубич. модификации  $ZrO_2$  больше, чем в тетрагональной, фазовое превращение  $ZrO_2$  сопровождается выделением  $\alpha$ -Zr в виде пластин, ориентированных параллельно плоскостям (111) и (111) моноклинного  $ZrO_2$ .

И. Д. Марчукова

13/65

*ZrO<sub>2</sub>*  
 22 Б929. Полиморфизм  $ZrO_2$  в присутствии малых окисных добавок. Гавриш А. М., Сухаревский Б. Я., Криворучко П. П. Поліморфізм  $ZrO_2$  з присутністю малих окисних додатків. «Доповід АН УРСР», 1968, Б, № 6, 540—544 (укр.; рез. русск., англ.)

Методом высокотемпературной рентгеновской дифрактометрии изучено влияние примесных катионов на температурные особенности обратимого полиморфного перехода из моноклинной ( $\alpha$ ) в тетрагональную ( $\beta$ ) фазу  $ZrO_2$ . Показано, что малые добавки  $CaO$ ,  $MgO$ ,  $Y_2O_3$  и  $CeO_2$ , образующие с  $ZrO_2$  монокл. твердые р-ры, заметно снижают т-ру начала превращения  $T_0$ ; добавки  $HfO_2$ , напротив, повышают ее. Во всех случаях наблюдалось увеличение интервалов перехода. Смещение  $T_0$  связывается с изменением энергии взаимодействия в кислородной части решетки при замещении иона циркония катионами другой валентности или ионного радиуса.

Резюме

*полиморф.**6. 1988. 22*

1968

VII - 2841

ZrO<sub>2</sub>

9 Б805. Фазовый переход ZrO<sub>2</sub>, вызываемый повышенным давлением. Kulcinski G. L. High-pressure induced phase transition in ZrO<sub>2</sub>. «J. Amer. Ceram. Soc.», 1968, 51, № 10, 582—584 (англ.)

T<sub>tr</sub>

С помощью рентгеновского метода анализа изучен фазовый переход ZrO<sub>2</sub> из монокл. формы в тетрагон. при повышении давл. до 130 кбар. Установлено, что тетрагон. форма образуется при 25° при давл. >37 кбар. Присутствие в ZrO<sub>2</sub> до 0,2% примеси, в том числе и 0,08% U, не оказывает существенного влияния на переход, к-рый является полностью обратимым. Получить тетрагон. форму ZrO<sub>2</sub> в метастабильном состоянии при 25° не удалось.

Л. В. Шведов

x. 1969. 9

~~Li<sub>2</sub>O; TiO<sub>2</sub>; SiO<sub>2</sub>; Al<sub>2</sub>O<sub>3</sub>; ZrO<sub>2</sub>; MgO; CaO; Al<sub>2</sub>O<sub>3</sub>; BeO; NbO; Co (σ<sub>Gf</sub>, kp)~~ № 665-1968  
Кузьмин В.Н., Научн. Тр. Зоc. Научно-исслед. Института Редкоземельных  
и редких металлов. Усс-на Редкоземельные.  
издание 1. 1968, 20, 68-74. VII 3867  
Термодинамический расчет неко-  
торых редких окислов в  
диапазоне 300-3000°К

III

СА 1969, 70  
№ 26, 118796

VII 3817

1968

Zr, ZrO<sup>2+</sup> (D, Korg. gusp.)

Madlenski A., Smeltzer W.W.

Mater. Res. Bull., 1968, 3, n<sup>o</sup> 4, 369-375

II



eez q.k.

HGB

Slavyanskas Y. S., Abrattis R.  
Kabakov A. I., Grebenyuk A.

Ogneupory, 33 (6), 45,

Effect of high temperature gas flow on refractories from ZrO<sub>2</sub>.

ZrO<sub>2</sub>

Meyer R.T.,  
Ames L.L.

1968

Advan. Chem. Ser. No. 72 //  
301,

Application of time-resolved  
mass-spectrometry to prob-  
lems in high-temperature  
chemistry.



(All. ZrO) I

VII 2992.

1968

TiO<sub>2</sub>, ZnO<sub>2</sub>, PbZnO<sub>3</sub>, PbO-TiO<sub>2</sub>-ZnO<sub>2</sub>  
(Tm)

Moon R. Z.

Dissert. Abstz., 1968, B28(2),  
2825.

Oct, 1968, 68, u24, 108467a

5

ZrO<sub>2</sub>

Y<sub>2</sub>O<sub>3</sub>

BQ-3213-VII 1968

Houjmu Teigyo, u.g.p.

, Repts. Govt. Indust.

(Im)

Res. Inst., Nagoya.

1968, 17, N5, 120-26.

(see esp. reports, references)

1968

ZrO<sub>2</sub>(T<sub>tr</sub>)

93886w Physicochemical properties of solid electrolytes based on zirconium dioxide. Pal'guev, S. F.; Neuimin, A. D.; Strekalovskii, V. N.; Kotlyar, A. G.; Chebotin, V. N.; Fridman, S. L.; Zubankov, V. N. (USSR). *Vysokotemper. Khim. Silikat. Okislav, Tr. Vses. Soveshch.*, 3rd 1968 (Pub. 1972), 100-5 (Russ). Edited by Keler, E. K. "Nauka," Leningrad. Otd.: Leningrad, USSR. The transformation was studied of a monoclinic ( $\alpha$ ) form of ZrO<sub>2</sub> into a tetrahedral form ( $\beta$ ) by high-temp. x-ray patterns, and its interactions with CaO, Yb<sub>2</sub>O<sub>3</sub>, Sc<sub>2</sub>O<sub>3</sub>, and Y<sub>2</sub>O<sub>3</sub>.  $\beta$ -ZrO<sub>2</sub> was formed at  $>1250^\circ$ . In the ZrO<sub>2</sub>-CaO system, a fluorite phase was formed at  $1550^\circ$  at 15 mole % CaO. At 1:1 ratio, CaZrO<sub>3</sub> was obtained. In the ZrO<sub>2</sub>-Yb<sub>2</sub>O<sub>3</sub> system, the interaction started at  $>1300^\circ$ . The product of igniting up to  $1550^\circ$  consisted of the fluorite and  $\beta$ -phases. In

C.A.

1942. 47.14

the  $ZrO_2$ - $Sc_2O_3$  system, at 5-8 mole %  $Sc_2O_3$ , the  $\beta$ -phase occurred at  $>1200^\circ$ . At 10-18 mole %  $Sc_2O_3$ , fluorite-type structures were formed at  $1550^\circ$ , which were unstable at room temp. In the  $ZrO_2$ - $Y_2O_3$  system ( $<50$  mole %  $Y_2O_3$ ),  $\beta$ - $ZrO_2$  was formed at  $>1500^\circ$ . Further transformations at  $1300^\circ$  gave  $\beta$ -phases and a fluorite phase. The latter phase was the sole product at  $1600$ - $2000^\circ$ .  $\beta$ - $ZrO_2$  was also stabilized by mixts. of  $Y_2O_3$  with  $Fe_2O_3$ ,  $Mn_2O_3$ , and  $Al_2O_3$ . Elec. cond. of the  $ZrO_2$ - $Y_2O_3$ - $M_xO_y$  systems was also studied, where  $M_xO_y = Fe_2O_3$ ,  $Mn_2O_4$ ,  $CaO$ ,  $NiO$ ,  $Cu_2O$ ,  $Bi_2O_3$ ,  $Nb_2O_5$ ,  $Ta_2O_5$ , and  $V_2O_5$ . Relations between transport nos. of the ions, share of ionic cond., and the  $M_xO_y$  content are shown graphically.

Ryszard Piekos

ZrO<sub>2</sub>

Rouanet A.

1968

C.R. Acad. sci.,

C267, N5, 395

T<sub>tr</sub>

(all. La<sub>2</sub>Zr<sub>2</sub>O<sub>7</sub>) I

ZrO<sub>2</sub> Ruh R., Garriett H. J., 1968  
4098 Onnagata R.F., Tallap N.M.

J. Amer. Ceramic Soc.

1968, 51, 23

Spurz

59

T.g. ZrO<sub>2</sub>

$ZrO_2$

Victor A.C., Douglas T.B. 1968

$\mu_T - \mu_{273}$

5TT, 1968, N11, 32 cps.

273 - 114 3°K



ZrO<sub>2</sub>

VII-61549

1989

14 Б977. Фазовая диаграмма двуокиси циркония при повышенном давлении. Воскуйон Г., Суссе С. Diagramme de phase de la zircone sous pression. «Rev. internat. hautes températ. et réfract.», 1969, 6, № 4, 263—266, VII, VII (франц.; рез. англ., нем.)

Фазовая диаграмма для ZrO<sub>2</sub> при давл. до 60 кбар построена по результатам рентгеновского исследования образцов, закаленных в аппарате высокого давл. типа «Белт». Зафиксирована ромбич. модификация ZrO<sub>2</sub>, образующаяся из монокл. при давл.  $\geq 37$  кбар (20°). Тройная точка, где сосуществуют монокл., ромбич. и тетрагон. модификации ZrO<sub>2</sub> расположена при 23 кбар и 600°.

Л. В. Шведов

X. 1970

19

VII-4579

1969

ZrO<sub>2</sub>

T<sub>bz</sub>

113811r High pressure phase diagram of zirconium oxide.  
Bocquillon, G.; Susse, Christiane (Lab. Hautes Pressions,  
C.N.R.S., Meudon-Bellevue). *Rev. Int. Hautes Temp. Refract.*  
1969, 6(4), 263-6 (Fr). High-pressure transformations of ZrO<sub>2</sub>  
were studied in view of the stability of the orthorhombic phase of  
HfO<sub>2</sub> at lower pressures than previously supposed. The expts.  
were performed in a high-pressure app. with solid compression  
medium calibrated by the phase transformations of Bi (25.4  
kilobars) and Ba (59 kilobars); data were recorded elec. The  
phase diagram was studied by a high-pressure tempering method.  
The ZrO<sub>2</sub> was placed, along with H<sub>2</sub>O, in sealed Pt capsules.  
The H<sub>2</sub>O accelerated the transformation and prevented com-  
pacting and hardening of the sample without affecting the compn.  
obtained. In the phase diagram representing the results of the  
tempering expts., those corresponding to the tetragonal phase  
yielded only the monoclinic form, even in the region of greatest  
stability of the tetragonal form. The treatment at 35-60 kilo-

C.A. 1970 73-22

bars and about 500° produced on the x-ray diffraction pattern a line corresponding to a lattice distance  $d = 2.96 \text{ \AA}$ , but the extent of the transformation was slight even after treatment at  $1\frac{1}{2}-2$  hr and with  $\text{H}_2\text{O}$  present. The line was apparently the 111 line of the orthorhombic form ( $d = 2.97 \text{ \AA}$ ). Unlike the phase diagram of Bendeliani, *et al.*, that proposed shows a triple point among monoclinic, tetragonal, and orthorhombic phases, located at  $\sim 600^\circ$  and 23 kilobars. The orthorhombic  $\rightarrow$  tetragonal boundary has a slope of  $\sim + 3^\circ/\text{kilobar}$ . Since the tetragonal phase can be tempered not by pressurizing the sample before heating, as in the method used, but only by pressurizing after the sample is heated above the transformation temp., the monoclinic  $\rightarrow$  tetragonal boundary was detd. according to the Whitney expts. The phase diagram of  $\text{HfO}_2$  also shows a triple point among the 3 phases and similar slopes of the interphase boundaries.

Cyrus G. Dunkle

ZrO<sub>2</sub>  
1961.

Brewer L., Green D.W.  
1969

Epreuve

High Temporat. Scr.  
1969, I, p. 26

st ZrO<sub>2</sub>,

1969

ZrO<sub>2</sub>(c)

December 1962

Zoo Brown, Fred Rosenblatt,  
"Avian Bird Pump Show."  
2000 ft. S. 30° E.

A HPO  
1298

MgO

ZrO<sub>2</sub>

H<sub>T</sub> - H<sub>298</sub>

VII-3801

1969

12 E693. Измерение энталпии и теплоемкости окиси магния и двуокиси циркония в интервале температур 1200—2500° К. Кантор П. Б., Фомичев Е. Н. В сб. «Теплофиз. свойства твердых тел при высоких температурах. Т. I». М., 1969, 406—408

Определена энталпия чистых образцов окиси магния и двуокиси циркония с предельной погрешностью <1,2%, до 2500° К. Найденные значения энталпии окиси магния выше справочных данных на 2%. Автореферат

+1

Ф. 1969. 12

☒

1969

ZrO<sub>2</sub>

Kemeny G., Rother H.

GTT, 1969, v12, cp. 28.

Cp 100-600 °C

1969

59632T Zirconium dioxide-titanium dioxide system. IV.  
Liquidus curve measurement of the zirconium dioxide-titanium  
dioxide system. Mizuno, Masao; Noguchi, Tetsuo; Yamada,  
Toyoaki (Japan). Nagoya Kogyo Gijutsu Shikensho Hokoku  
1969, 18(1-2), 9-14 (Japan). Samples of the  $ZrO_2-TiO_2$  mixt.  
of various compn. were melted in a heliostat-type solar furnace.  
The brightness temp. and spectral reflectivity of an exothermic  
peak in the cooling curve of each specimen were obtained with a  
brightness pyrometer at  $0.65 \text{ m}\mu$  by means of the specular reflec-  
tion method, and the spectral emissivity and the true temp. were  
calcd. from these data. In the liquidus curve thus obtained, the  
peritectic point was found at 17.5 mole %  $TiO_2$ . The quenched  
specimens from the melt were analyzed by x-ray diffractometry  
between 300 and  $1200^\circ$ . The phase diagram of the  $ZrO_2-TiO_2$   
system is given. A new phase was found for  $ZrO_2$ , stable at  
 $> 2500^\circ$

H. Harada

C.A. 1970

73.

72

ZrO<sub>2</sub>

1969

104459j High temperature phase studies with a solar furnace.  
Noguchi, Tetsuo (Solar Res. Lab., Govt. Ind. Res. Inst., Nagoya, Japan). *Advan. High Temp. Chem.* 1969, 2, 235-62 (Eng). The app. is described and f.p. detns. on metal oxides  $\leq 2750^{\circ}$  are reported. Liquidus curves are shown for mixts. of ZrO<sub>2</sub> with CaO, MgO, SrO, Y<sub>2</sub>O<sub>3</sub>, Al<sub>2</sub>O<sub>3</sub>, TiO<sub>2</sub>, Yb<sub>2</sub>O<sub>3</sub>, Er<sub>2</sub>O<sub>3</sub>, Ho<sub>2</sub>O<sub>3</sub>, Dy<sub>2</sub>O<sub>3</sub>, and Gd<sub>2</sub>O<sub>3</sub>. Phase diagrams are shown for the systems ZrO<sub>2</sub>-TiO<sub>2</sub>, ZrO<sub>2</sub>-SrO, ZrO<sub>2</sub>-CaO, ZrO<sub>2</sub>-La<sub>2</sub>O<sub>3</sub>, ZrO<sub>2</sub>-Sm<sub>2</sub>O<sub>3</sub>, ZrO<sub>2</sub>-Gd<sub>2</sub>O<sub>3</sub>, and Al<sub>2</sub>O<sub>3</sub>-Y<sub>2</sub>O<sub>3</sub>. 65 references. GXJN

T<sub>m</sub>

+11

C.A. 1970.72.20

X

Двойные окислы, карбиды и  
и гетериды Ti, Zr, V, Hf, Ta (периоди-  
ческого) 1969

Оригинал Г.Ф., А 16.3.2

Соедин. периодич. состава, 1969, 64-144  
(рус.)

Периодическая соединений  
периодического состава.

5

55

6

27

(ав. оригинал) CA, 1970, 73, N26, 1344397

Y<sub>2</sub>O<sub>3</sub>

a, b, c VII 4629

1965

Pace N. G., Saunders G. A., Grunengen  
Z., Thorp J. S.

J. Mater. Sci., 1969, 4, 1106. 5

The elastic constants and (d)  
interatomic binding in yttria-sta-  
PF, 1970, 115751. bilized zirconia. M2

~~SO<sub>2</sub>-ZnO<sub>2</sub>~~ (parabasic) 7.98.

1869

VII 4188

Simmons W.C.

Nissen, A.B., 1969 B, 29(9), 3299-331

High-temperature reactions and phase  
equilibria in the system

O<sub>2</sub>-Al<sub>2</sub>O<sub>3</sub>-SiO<sub>2</sub>

Oxide system.

C.A. 1969, 21, 8, 33867

ZrO<sub>2</sub>

VII-5784

1969

Q1453z High-temperature radiography of oxide materials.

I. Monoclinic-tetragonal transformation of zirconium dioxide.

Strelakovskii, V. N.; Zubankov, V. N.; Pal'guev, S. F. (USSR).

Fr. Inst. Elektrokhim. Ural. Fil. Akad. Nauk SSSR 1969, No. 12, 120-9 (Russ). From Ref. Zh., Khim. 1970, Abstr. No.

6B539. ZrO<sub>2</sub> of various degrees of purity was studied radiog. (powder method) at 20-1500° to clarify the nature of polymorphous transformations at high temp. and the effect of impurities on this transformation. The beginning of the formation of the high-temp. tetragonal modification  $\beta$  from the low-temp. monoclinic  $\alpha$  began at 1100°, and the  $\alpha \rightarrow \beta$  transition was complete at 1250-1270°. Impurities may essentially affect the temp. of this transition (increasing or decreasing). A primitive cell was found for  $\beta$ .

C.A. 1971. 75. 2

$ZrO_2$

1969

Victor A.C., Douglas T.B.

$\mu_T - \mu_{273}$

5 TT, 1969, N12, 35 c.p.

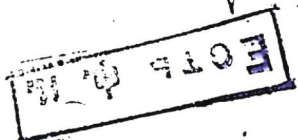
273 - 1173°K.

$\text{Li}_2\text{O}_2$ ,  $\text{ZrO}_2$ ,  $\text{Al}_2\text{O}_3$ ,  $\text{Nb}_2\text{O}_5$ ,  $\text{Ta}_2\text{O}_5$  (A.H. Agarwal) 1969

Vish A.K. 5 γ ~~1969~~ VII 3860

J. Electrochem. Soc., 1969, 116(3), 353-6.

Solid-state properties of some Valse metal oxides.



M 8

CA, 1969, 70, 116, 353-6

ZrO<sub>2</sub>  
1631a

Boureau G., Gerdanian P.,  
1970

Ts.нбрз

High Temp.- High Press.,  
1970, 2, 681

148

T.X. ZrO<sub>2</sub> (K)

VII - 6287

1930

ZrO<sub>2</sub>

(1343976) Structure and electrical conductivity in the zirconium dioxide-yttrium oxide-tungsten trioxide system. Kotlyar, A. G.; Neuimin, A. D.; Pal'guev, S. F.; Strekalovskii, V. N.; Lakeeva, Z. N.; Batrakov, N. A. (USSR). *Tr. Inst. Elektrokhim., Akad. Nauk SSSR, Ural. Filial* 1970, No. 16, 135-7 (Russ). The effect was studied of WO<sub>3</sub> impurities in 0.9 ZrO<sub>2</sub> + 0.1 Y<sub>2</sub>O<sub>3</sub> on structural changes during sintering and the elec. cond. The higher the WO<sub>3</sub> concn., the stronger was the hindrance to the formation of a fluorite-type solid soln., F (stabilized ZrO<sub>2</sub>); in the sample with 20 mole % WO<sub>3</sub>, F did not form. X-rays showed: (1) the transformation WO<sub>3</sub> → WO<sub>2.9</sub> at 600°, (2) disappearance of WO<sub>2.9</sub> reflections at 800°, (3) the transformation α-ZrO<sub>2</sub> → β-ZrO<sub>2</sub> at 1100°, (4) an interaction Y<sub>2</sub>O<sub>3</sub>-β-ZrO<sub>2</sub> above 1200°, and (5) a partial destabilization of the cubic ZrO<sub>2</sub> after cooling below 1000°. The elec. cond. is practically ionic at 700-1100°, and decreases with increasing WO<sub>3</sub> concn.

Frantisek Smutny

C.A. 1971.

45.2d

ZrO<sub>4</sub>,998 (Tm) Y VII 4879 1970

Latta R.E., Duderstadt G.C.,  
Fayne R.E.

J. Nucl. Mater., 1970, 35, 113,  
385-386 (continued)

The melting point of pure  
zirconia.

PKK New, 1970      0 6 5 ⑨  
24 B 5

VII-5133

1970

ZrO<sub>2</sub>

7 Б477. Фазовое превращение моноклинная модификация — тетрагональная модификация в окиси циркония: механизм, предшествующее превращению состояние и сосуществование двух фаз. Patil R. N., Subba-gao E. C. Monoclinic-tetragonal phase transition in zirconia: mechanism, pretransformation and coexistence. «Acta crystallogr.», 1970, A26, № 5, 535—542 (англ.)

Рентгенографически (метод порошка, высокот-рный рентгendifрактометр,  $\lambda$ Cu) изучен фазовый переход монокл. модификация (M) — тетрагон. модификация (T) в ZrO<sub>2</sub>, к-рый происходит в диапазоне т-р 930—1220°. Переход неодинаково протекает в обе стороны. В случае перехода M  $\rightarrow$  T в области т-р 930—1100° наблюдается переходное состояние, к-рое характеризуется значительным усилением интенсивностей рефлексов (111) м и (111) т. Так как в структурные амплитуды этих от-

T<sub>tr</sub>

X · 1971 · 7

ражений значительный вклад делают атомы Zr, то предполагается, что именно их вибрац. смещения, возрастающие с т-рой, обуславливают усиление отмеченных рефлексов и характеризуют это особое состояние. В области т-р  $1100-1200^\circ$  при переходе M $\rightarrow$ T на дифракц. картинах наблюдаются рефлексы обеих фаз, что соответствует их существованию. При этом кристаллы M и T взаимно ориентированы т. о., что плоскость (100)<sub>M</sub> параллельна (110)<sub>T</sub>, а ось *b*<sub>M</sub> параллельна оси *c*<sub>T</sub>. Анализируется характер перемещений атомов O, приводящих к изменению координации Zr. При обратном переходе T $\rightarrow$ M особое состояние не наблюдается и сильные структурные изменения, отражающиеся на дифракц. картинах, происходят в очень узком интервале т-р ( $\pm 5^\circ$ ) около  $1200^\circ$ , вслед за чем появляются рефлексы M. Сделан вывод о нестабильности T. Т-рный интервал существования 2 фаз при переходе T $\rightarrow$ M  $1030-700^\circ$ . Различия в переходах M $\rightarrow$ T и T $\rightarrow$ M соотнесены с явлением термич. гистерезиса.

С. В. Рыкова

ZrO<sub>2</sub>

структур  
изменений

1970

11 Б767. Структурные превращения и отклонения от модели анионных вакансий в двуокиси циркония, стабилизированной окисью кальция. Pizzini S., Wagnleitner V. Structural transformations and deviations from the pure anion vacancy model in lime zirconia. «Z. Naturforsch.», 1970, 25 a, № 11, 1768—1769 (англ.)

С помощью жидкостного и газ. пикнометров измерена при коми. т-ре концентрационная зависимость плотности ZrO<sub>2</sub> и тв. р-ров ZrO<sub>2</sub>—CaO, медленно охлажденных от 1600°. Составы с конц-ией CaO в интервале 10—14 мол.% обнаруживают увеличение плотности на 1—2% по сравнению с р-рами, закаленными от той же т-ры. Этот эффект связывается с появлением незначит. кол-ва тетрагон. формы ZrO<sub>2</sub> вследствие частичной дестабилизации тв. р-ра при медленном охлаждении. Б. Г. Алапин

X. 1971. 11

*ZrO<sub>2</sub>*

*1870*

1 Б880. Предположительная фазовая диаграмма для  
ZrO<sub>2</sub>. Ruh Robert, Rockett Thomas J. Proposed  
phase diagram for the system ZrO<sub>2</sub>. «J. Amér. Сегам.  
Soc.», 1970, 53, № 6, 360 (англ.)

На основании лит. данных и расчетов предложена  
схематич. фазовая диаграмма для однокомпонентной  
системы ZrO<sub>2</sub>. Д. А.

*фазовая  
диаграмма*

X · 1971. 1

ZrO<sub>2</sub>

111-5044

1970

(102742f) Heating by radiation concentration applied to x-ray diffractometry up to 3000° and very high temperature crystal growth. Révcolevschi, Alexandre (Lab. Chim. Appl. Etat Solide, Centre Etat. Chim. Met., Vitry-sur-Seine, Fr.). *Rev. Int. Hautes Temp. Refract.* 1970, 7(1), 73-89 (Fr). A heating device was used where, by an optical system, the image of a highly brilliant source is formed, and the behavior of different optical systems and light sources is described. With a Debye-Scherrer camera, the following allotrophic transformations were studied: ZrO<sub>2</sub> (monoclinic)  $\xrightarrow{1100^\circ}$  ZrO<sub>2</sub> (tetragonal)  $\xrightarrow{2400^\circ}$  ZrO<sub>2</sub> (cubic); ThTi<sub>2</sub>O<sub>6</sub>( $\alpha$ )  $\xrightarrow{1300^\circ}$  ThTi<sub>2</sub>O<sub>6</sub>( $\beta$ ); and HfO<sub>2</sub> (monoclinic)  $\xrightarrow[1700^\circ]{}$  HfO<sub>2</sub> (tetragonal). Crystals prep'd. by the floating-zone method were: FeO (wustite), TiO<sub>2</sub> (rutile), 3.5Al<sub>2</sub>O<sub>3</sub>.MgO spinel, Y<sub>3</sub>Al<sub>5</sub>O<sub>12</sub> garnet, NiO (bunsenite), Al<sub>2</sub>O<sub>3</sub> (corundum), Al<sub>2</sub>O<sub>3</sub>.Cr<sub>2</sub>O<sub>3</sub> ruby. Microscopic, optic and radiocrystallographic studies of the obtained crystals were also done. E. Grunhut

Ttr

C.A. 1970. 73. 20



1970

ZrO<sub>2</sub>полиморф.  
переходы

12 Е455. Полиморфные переходы в тонких конденсированных пленках двуокисей циркония и гафния. Е1-Shanshoury I. A., Rudenko V. A., Ibrahim I. A. Polymorphic behavior of thin evaporated films of zirconium and hafnium oxides. «J. Amer. Ceram. Soc.», 1970, 53, № 5, 264—268 (англ.)

Методами просвечивающей электронной микроскопии и электронной дифракции исследовали структуру тонких (500—1000 Å) пленок ZrO<sub>2</sub> и HfO<sub>2</sub>, полученных конденсацией соответствующих металлов в вакууме  $\sim 10^{-4}$  мм рт. ст. на холодную моно- и поликристаллич. подложку. При т-рах отжига 100÷600° С оба окисла сохраняют метастабильную кубич. структуру с параметрами решетки  $5,10 \pm 0,01$  Å для ZrO<sub>2</sub> и  $5,08 \pm 0,01$  Å для HfO<sub>2</sub>. После нагрева в вакууме выше 600° С в пленке ZrO<sub>2</sub> про-

09. 1970.

12.8



+1

M

исходит монотропный переход в тетраг. фазу ( $a=5,05 \pm 0,01$  Å;  $c/a=1,02$ ), которая в интервале 900—1200° С превращается в моноклинную ( $a=5,14$ ;  $b=5,27$ ;  $c=5,32$  Å). Вакуумный нагрев пленок HfO<sub>2</sub> приводит к переходу из кубич. фазы непосредственно в моноклинную ( $a=4,97$ ;  $b=5,24$ ;  $c=5,18$  Å) в интервале 700—1400° С. Отжиг на воздухе понижает т-ры перехода из тетрагональной и кубич. структур в моноклинную на 150° для ZrO<sub>2</sub> и 100° для HfO<sub>2</sub>. Независимо от парциального давления кислорода переход ZrO<sub>2</sub> в моноклинную структуру происходит по достижении определенного критич. размера зерна  $\sim 800$  Å. На воздухе рост зерен происходит интенсивнее, чем в вакууме, что позволяет понять влияние давления на температурные интервалы перехода. Существование порогового значения размера зерна указывает на важную роль энергии межзеренных границ в термодинамике исследованных переходов.

Б. Г. Алапин

ZrO<sub>2</sub>

1980

T  
bc

159108g High-temperature radiographic study of oxide materials. IV. Reaction of zirconium dioxide with ytterbium oxide. Strekalovskii, V. N.; Pal'guev, S. F.; Zubankov, V. N. (USSR). *Tr. Inst. Elektrokhim. Ural. Filial Akad. Nauk SSSR* 1970, No. 16, 138-44 (Russ). From Ref. Zh., Khim. 1971, Abstr. No. 11B768. Products of reaction of ZrO<sub>2</sub> with Yb<sub>2</sub>O<sub>3</sub> were studied at temps.  $\leq 1580^\circ$  by high-temp. radiog. With  $\leq 33.3$  mole % Yb<sub>2</sub>O<sub>3</sub> in the initial mixts. Transition of low-temp.  $\alpha$ -ZrO<sub>2</sub> to its high-temp.  $\beta$ -form (transition temps. 1100-1250°) with subsequent formation of fluorite solid solns. of Yb<sub>2</sub>O<sub>3</sub> in  $\beta$ -ZrO<sub>2</sub> occurred with heating. The addn. of Al<sub>2</sub>O<sub>3</sub> (4 mole %) resulted in stabilization of ZrO<sub>2</sub> while decreasing the incipient formation temp. of fluorite solid solns.

C.A

1982-76-26

Mo, Nb, Ta, Zr, W, C, MgO, ( $\Delta H$ ,  
N<sub>2</sub>C, ZrC, TaC, SiC, TiB<sub>2</sub>, (C<sub>p</sub>, T<sub>tr</sub>,  
 $\Delta H_{tr}$ ) VII 5357

Исследование  
ZrO<sub>2</sub>  
Макаров А. Е., Чеховской В. Я.,  
Чистяковой Е. Е.

High Temp. - High Pressures,  
1970, 2, № 1, 1-15 (арк.)

Исследование  
ZrO<sub>2</sub> свойств  
при высоких температурах  
и давлениях.

Б@ 20 ср, 1971 г, № 80465W

$ZrO_2$  GRANITE 1977  
(Crystal) 100-4000°K Fug  
(Liquid) 100-6000°K  
(1968)

ZrO<sub>2-y</sub>

G. Boureau, P. Cerolaniam

1971

Comptes Rendus 1971, 273, esp C. N 17

Прямоугольные при 1300°C параллельные  
мощные зерна состоят из мезопорфита с кубо-  
комбинатами при соотношении между склонами -  
прекрасные.

(диагональ) микрокалориметр типа Tican-Calvet  
до 1500°C.

$H_{O_2}^M$  (O/Zr)-изменение энталпии, состоящее из  $\frac{-258,6 \text{ ккал/моль}}{\pm 2\%}$



ZrO<sub>2</sub>

1971

16 Б820. Фазовые равновесия и физические свойства окислов циркония и тория с недостатком кислорода. Carniglia S. C., Brown S. D., Schroeder T. F. Phase equilibria and physical properties of oxygen-deficient zirconia and thoria. «J. Amer. Ceram. Soc.», 1971, 54, № 1, 13—17 (англ.)

На образцах ZrO<sub>2</sub> и ThO<sub>2</sub>, полученных спеканием в вакууме при  $\sim 2300^\circ$ , изучалась природа нестехиометрии этих окислов и влияние дефектов нестехиометрии на некоторые св-ва. При  $1000^\circ$  и парц. давл. кислорода  $P(O_2) \approx 1$  атм окислы близки к стехиометрии. В интервале т-р  $1400—1900^\circ$  и  $P(O_2) \sim 10^{-2}—10^{-4}$  атм равновесная степень нестехиометрии описывается зависимостью ( $T$  в  $^\circ\text{K}$ ,  $P(O_2)$  в атм): для  $ZrO_2$   $\lg x \simeq -0,890 -$

X. 1971. 16



$[(0,400 \cdot 10^4)/T] - \lg P(O_2)/6$ ; для  $ThO_2$   $\lg x \approx -1,870 -$   
 $[(0,340 \cdot 10^4)/T] - \lg P(O_2)/6$ . Во всем исследованном ин-  
тервале т-р и давлений  $ThO_2$  сохраняет однофазность.  
Фазовая граница  $ZrO_{2-x} - Zr$  при  $P(O_2) \approx 3,5 \cdot 10^{-2}$  атм  
и  $1800^\circ$  соответствует  $x = 0,014$ . Параметры решетки  
 $ThO_2$  и обеих фаз  $ZrO_2$  несколько уменьшаются с ростом  
дефицита по кислороду, что, однако, не отражается на  
коэф. линейного термич. расширения и на характеристи-  
ках полиморфного превращения  $ZrO_2$ . Структурно-не-  
чувствительными в отношении нестехиометрии оказались-  
также статич. модуль Юнга, предел прочности и эфек-  
тивный модуль, измеренные при комн. температуре.

Б. Г. Алапин

ZrO<sub>2</sub>

Караулов А. Г. 1971  
и. гр.

испарение

Дрезенорт, № 2, 49.

(см. MgO) I

1971

VII - 6085

ZrO<sub>3</sub>

(чм. на 00)

ΔHf

17 Б711. Теплоты образования цирконатов редкоземельных элементов. Корнеев В. Р., Глушкова В. Б., Келер Э. К. «Изв. АН СССР. Неорганические материалы», 1971, 7, № 5, 886—887.

Методом сжигания в калориметрической бомбе определены энталпии образования ряда цирконатов РЗЭ. Проведено рентгеновское исследование продуктов, полученных в результате сжигания редкоземельного окисла и металлического циркония. Показано, что для каждого типа структуры (флюорита или пирохлора) наблюдается монотонное уменьшение теплот образования с уменьшением ионного радиуса катиона. Исследования проведены для окислов след. РЗЭ: лантана, церия, празеодима, неодима, самария, европия, гадолиния и иттрия. Автореферат

X. 1971. 1X



(+2)



$\text{La}_2\text{Zr}_2\text{O}_7$

$\text{Ce}_2\text{Zr}_2\text{O}_7$

$\text{Pr}_2\text{Zr}_2\text{O}_7$

$\text{Nd}_2\text{Zr}_2\text{O}_7$

$\text{Sm}_2\text{Zr}_2\text{O}_7$

$\text{Gd}_2\text{Zr}_2\text{O}_7$

$\text{Eu}_2\text{Zr}_2\text{O}_7$

Led 2

VII-6085

1981

4204m Heats of formation of rare-earth zirconates. Korneev, V. R.; Glushkova, V. B.; Keler, E. K. (Inst. Khim. Silik. im. Grebenshchikova, Leningrad, USSR). Izv. Akad. Nauk SSSR, Neorg. Mater. 1971, 7(5), 886-7 (Russ). The enthalpy of formation of a no. of rare-earth elements zirconates was detd. The enthalpy of formation of  $ZrO_3$  was -260 kcal/mole, and the enthalpy of formation of  $CaZrO_3$  was -400.2 kcal/mole. Both values are in good agreement wth the literature data. With respect to the enthalpy of the formation of rare-earth zirconates, it is shown that for each type of the structure there is obsd. a monotonic change in the enthalpy of formation with a decrease in the ionic radius of the cation. The anomalous enthalpy of formation value for Ce zirconate is caused by its instability in an oxidn. atm. The partial oxidn. of  $Ce_2Zr_2O_7$  during the course of the expt. increases the heat of the reaction and changes the structural type.

S. A. Mersol

+1

C.A. 1981 45:8



ZrO<sub>2</sub>

VII-6038

1971

41409g Crystalline transformation of zirconium dioxide.  
Mitsuhashi, Takefumi; Fujiki, Yoshinori; Tsukioka, Masayuki;  
Tsuda, Nobuo (Natl. Inst. Res. Inorg. Mater., Tokyo, Japan).

T  
THC

*J. Phys. Soc. Jap.* 1971, 30(4), 1206 (Eng). The tetragonal-to-monoclinic transformation in ZrO<sub>2</sub> which occurs at ~1000°C on decreasing the temp., is due to an ionic interaction; the ionicity does not change during the transformation. The results are based on measurements of the hyperfine consts. of Mn<sup>2+</sup> at 300°K, in samples with doped Mn.

C.H. 1971.45.6

$ZrO_2$

ВФ-5286-VII

1971

16 Б579. Влияние восстановления на оценку температуры превращения  $ZrO_2$  из тетрагональной в кубическую модификацию. Nicholson Patrick S. Influence of reduction on estimation of the  $ZrO_2$  tetragonal-cubic transformation temperature. «J. Amer. Ceram. Soc.», 1971, 54, № 1, 52—53 (англ.)

Обсуждены причины расхождения в значениях температуры перехода в  $ZrO_2$ , полученных различными авторами. Показано, что данные высокотемпературной рентгенографии не могут дать надежную оценку температуры перехода вследствие частичного восстановления  $ZrO_2$  при высоких температурах и в условиях вакуума.

М. Мороховец

$T_{t2}$

X. 1971. 16

1971

ZrO<sub>2</sub>

D 1 E688. Влияние детонационных ударных волн на переход моноклинной фазы ZrO<sub>2</sub> в тетрагональную. Suzuki Hiroshige, Yoshida Hiroshi, Kimura Shintachirō. Effects of detonation shock wave on monoclinic-tetragonal inversion in ZrO<sub>2</sub>. «Bull. Tokyo Inst. Technol.», 1971; № 102, 69—77 (англ.)

Исследовано влияние исходной структуры на т-ру превращения моноклинной фазы ZrO<sub>2</sub> в тетрагональную. Одну часть исходного порошка ZrO<sub>2</sub> (99,9%), отожженного в течение 3 ч при 1750° С, подвергали обработке взрывом, другую часть измельчению в шаровой мельнице в течение 750 ч. Затем полученные порошки подвергали последовательным отжигам при т-рах 400—1300° С в течение 1 ч и проводили рентгенографич. ис-

# 1972.16

ледование. Отмечается, что в порошке, обработанном взрывом, сохраняется небольшое кол-во (~10%) тетраг. фазы. Тем не менее т-ра превращения основной массы моноклинной фазы в этих образцах выше т-ры превращения в образцах, измельченных в шаровой мельнице. Уровень остаточных внутренних напряжений после обработки взрывом также выше и сохраняется до более высоких т-р. На основании полученных и литературных данных делается вывод, что такие особенности фазового превращения в  $ZrO_2$ , как влияние предыдущей обработки на т-ру фазового перехода, наличие гистерезиса объясняются внутренними упругими напряжениями, возникающими в ходе самого превращения, и их взаимодействием с остаточными напряжениями, имеющимися в образце.

А. Р. Кутсар

$\gamma$   
 $ZrO_2$

$T_{tr}$

157318x Martensitic phase transformation in zirconia ( $ZrO_2$ ). 1972

I. Metallographic evidence. Bansal, G. K.; Heuer, A. H. (Div. Metall. Mater. Sci., Case West. Reserve Univ., Cleveland, Ohio). *Acta Met.* 1972, 20(11), 1281-9 (Eng). Polycrystals and single crystals of  $ZrO_2$ ,  $\sim 2 \times 1.5 \times 1$  mm, were heated to  $1200^\circ$  in a high-temp. microscope. The tetragonal-monoclinic phase transformations were studied on heating and cooling. The austenite-start and martensite-start temps. were  $\sim 1050$  and  $\sim 950^\circ$ , resp. Surface relief accompanied the transformations. The inversion had all the characteristics of martensitic transformations, i.e. it was athermal and shear-type, apparently diffusionless, and involved a large hysteresis. Being a polymorphic transformation in a pure ionic compd., it was compn.-invariant. The transformation was the highest martensite-start temp. yet studied, and the 1st system for which

C.A.1972.77.N24.

such a transformation has been studied in detail. In heating, a tetragonal phase built up in the matrix of the monoclinic phase, and being of a smaller sp. vol., developed tensile stresses inside of it. On cooling, a monoclinic phase formed in the matrix of the tetragonal phase, and being of larger vol. than the tetragonal phase, put the latter into compression. These 2 stress-states are assocd. with 2 different strain energies, owing to the asymmetry of the interat. potential-energy function. Thus, at the same temp., on heating and cooling, the ratio of the 2 phases was different, causing a large hysteresis. Two habit planes were found. Their orientations were detd. by 2-surface anal. as  $\sim(106)$  and  $\sim(010)$  referred to the monoclinic phase.

C. W. Schuck

1972

ZrO<sub>2</sub>

13 Б864. Фазовые переходы в размолотой двуокиси циркония. Bailey J. E., Lewis D., Librant Z. M., Rother L. J. Phase transformations in milled zirconia. «Trans. and J. Brit. Ceram. Soc.», 1972, 71, № 1, 25—30 (англ.; рез. франц., нем.)

Tz

Обнаружено, что измельчение ZrO<sub>2</sub> в шаровой мельнице при коми. т-ре вызывает фазовый переход от монокл. модификации к тетрагон., к-рый протекает в массивном образце только при нагреве выше 1200°. Тетрагон. фаза метастабильна и определялась методом рентгенофазового анализа. Размеры частиц после помола измерялись по диффузности линий, а также при помощи электронной микроскопии. Установлено, что тетрагон. фаза появляется после 30 час. измельчения и ее выход стремится к пределу в 45%. Отжиг размолотого в-ва приводит к увеличению содержания тетрагон. фазы до

X. 1972, 13

80% при  $800^{\circ}\text{C}$  послед. уменьшением до 0% выше  $1000^{\circ}$ . Размол специально приготовленной тетрагон.  $\text{ZrO}_2$  ведет к полному ее исчезновению за 4 часа, однако дальнейший помол в течение 28 час. и более приводит к новому появлению тетрагон. фазы. Величина частиц после опыта составляла  $\sim 100$  Å. Предложена модель на основе увеличения поверхностной энергии из-за уменьшения размера частиц, к-рая согласуется с эксперим. данными и объясняет возможность переходов при комн. т-ре. Исследовано влияние на переход чистоты исходного материала и добавок  $\text{HCl}$  и  $\text{NaOH}$ . Г. Л. Апарников

17. 1978. Исследование циркона при высокой температуре порядка  $2000^{\circ}$  K. Collongues R., Revcolevschi A., Foex M., Traverse J. P., Rouanet A. Etude de la zircone à haute température au dessus de  $2000^{\circ}$  K. «Colloq. int. CNRS», 1972, № 205, 241—246. Discuss., 246 (франц., рез. англ.)

1972

Рентгенографическое (метод порошка, дифрактометр,  $\lambda$  Cu, высокот-рия съемка) и ДТА исследование показало, что циркон  $ZrO_2$  при т-рах  $>2000^{\circ}$  претерпевает полиморф. превращение, при к-ром устойчивая в обычных условиях тетрагон. модификация переходит в кубическую. Точная т-ра перехода зависит от того, в какой среде (воздуха или инертного газа) проводится нагревание. Поскольку переход наиболее полно осуществляется при высоком парц. давл. О (т-ра  $2350^{\circ}$ ), то предполагается, что при опытах в атмосфере инертного газа кубич. модификация характеризуется нек-рым дефицитом О и ее состав  $ZrO_{2-x}$ . Построена фазовая диаграмма системы  $ZrO_2$ —Zr. Прослежен характер изменения параметров решеток кубич. и тетрагон. модификаций с ростом т-ры. Наличие подобного фазового перехода отмечено и при изучении системы  $Zr_{1-x}L_{px}O_{2-x}/2\Box_{x/2}$ .

С. В. Соболева

1972.

Х. 1973

N17

1972

# ZrO<sub>2</sub>

- 165374y High-temperature study of zirconia above 2000°K.  
Collongues, R.; Revcolevschi, A.; Foex, M.; Traverse, J. P.;  
Rouanet, A. (Lab. Chim. Appl. Etat Solide, CNRS, Vitry,  
Fr.), *Colloq. Int. Cent. Nat. Rech. Sci.* 1972, No. 205, 241-6  
(Fr). Three different methods were used to det. the structure of  
ZrO<sub>2</sub> at high temp.: thermal anal. with a solar furnace, high  
temp. diffractometry both with a metal ribbon furnace and an  
imaging furnace, and room temp. x-ray diffractometry on  
quenched samples. The results demonstrated that the tetrag-  
onal ⇌ cubic transformation exhibited by the product at high  
temp. is greatly affected by the nature and the pressure of the  
environment. There are indications of the existence of a cubic  
modification in perfectly stoichiometric ZrO<sub>2</sub>.

(T<sub>t2</sub>)

C.A. 1973 28N96

$ZrO_{2-x}$

( $\Delta H$ )

Gerdanian P. 1972  
Colloq. Int. Cent. Nat.  
Rech. Sci. 1971 (Pub. 1972)  
201, 259-82 (Fr)

(au  $PuO_{2-x}$ ;  $\bar{I}$ )



C.A. 1974. 81. N12

1972

ZrO<sub>2</sub>

HfO<sub>2</sub>

T<sub>t2</sub>

} 165555h Application of a laser heating technique in the high-temperature x-ray study of oxides. Hanic, F.; Stracelsky, J.; Sumichrast, L. (Inst. Inorg. Chem., Slovak Acad. Sci., Bratislava, Czech.). *Colloq. Int. Cent. Nat. Rech. Sci.* 1972, No. 205, 129-32 (Eng). For high-temp. x-ray diffraction, a single crystal or polycryst. material could be heated by the absorption of laser radiation from a highly stabilized CO<sub>2</sub> laser tube. The stability of the heating temp. was esp. high at >2000°. Samples could be heated to <3300° by this technique which was applied to a study of phase transformations in ZrO<sub>2</sub> and HfO<sub>2</sub>.

C. A. 1973. 78 N 26

41

ZrO<sub>2</sub>

1972

141844n Thermodynamics and kinetics of the  $\alpha \leftrightarrow \beta$  polymorphic transformation of zirconium dioxide. Kharitonov, F. Ya.; Surkov, M. E. (USSR). *Tr. Tsv. Nauchno-Issled. Proektno-Tekhnol. Inst. Elektrokeram.* 1972, No. 12, 219-17 (Russ). From Ref. Zh., Khim. 1973. Abstr. No. 8, 734. Title only translated.

T<sub>tr</sub>, ΔH<sub>tr</sub>

C.A. 1974. 81n22

1972

ZrO<sub>2</sub>

Кинет.

) 13 Б878. Действие температурной обработки на кинетику превращений двуокиси циркония. Maiti H. S., Gokhale K. V. G. K., Subbagao E. C. Effect of heat treatment on the kinetics of zirconia transformation. «High Temp. Mater. Proc. Symp. Mater. Sci. Res. Hyderabad, Febr. 21—23, 1972». S. l., s. a., 353—363 (англ.)

Методом ДТА изучено влияние термической обработки на переход из моноклин. (M) в тетрагональную (T) модификацию ZrO<sub>2</sub>. Исследование проводили в изотермич. и неизотермич. условиях. Доказано, что превращение

X. 1973 № 13

$M \rightarrow T$  есть функция  $t$ -ры, а не времени. Изменение кинетики  $t$ -ции связывают с увеличением размера зерна, к-рый определяли рентгенографически (метод порошка) по рефлексам (111) и (111)  $M-ZrO_2$ . Образцы, прокаленные выше  $t$ -ры перехода  $M \rightarrow T$ , имеют при охлаждении очень высокую скорость превращения, к-рую рассматривают подобно «взрывообразному» мартенситовому превращению в металлич. системах типа Fe—Ni.  $ZrO_2$ , содержащая добавку  $Y_2O_3$  (1%), в тех же условиях ведет себя аналогично чистой  $ZrO_2$ . И. А. Роздин

$ZrO_3$

1972

6 E460. Влияние термической обработки на кинетику полиморфного превращения двуокиси циркония. Mai-ti H. S., Gokhale K. V. G. K., Subbagaо E. C. Effect of heat treatment on the kinetics of zirconia transformation. «High Temp. Mater. Proc. Symp. Mater. Sci. Res. Hyderabad, Febr. 21—23, 1972». S. I., s. a., 353—363 (англ.)

нонокл.  
тетраг.

Влияние предварительной термич. обработки на превращение моноклинной фазы в тетрагональную в чистой  $ZrO_3$  и  $ZrO_2$  с примесью  $Y_2O_3$  исследовалось с помощью дифференциального термического и рентгеноструктурного анализов. Установлено, что превращение в препаратах с малым размером частиц (блоков) ( $\sim 325 \text{ \AA}$ ) проходит в изотермич. условиях. Отжиг при  $T = 1475^\circ\text{C}$ , превышающей температуру перехода ( $1170—1220^\circ\text{C}$ ), приводит к рекристаллизации, что сопровождается переходом к

Ф. 1973. № 6

атермич. кинетике перехода при нагреве. Отжиг высокотемпературной тетраг. фазы приводит к скачкообразному переходу при охлаждении; т-ра перехода при этом повышается. Наблюдаемые эффекты связываются с отжигом напряжений от предшествовавшего перехода.  $ZrO_2$  с добавкой 1 мол.%  $Y_2O_3$  также претерпевает скачкообразный переход, но т-ра его несколько снижается по сравнению с чистой  $ZrO_2$ :  $\sim 1010^\circ C$  при нагреве и  $\sim 870^\circ C$  при охлаждении.

Б. Г. Алапин

1972

# $ZrO_2$ ( $\Delta H$ ; $\Delta G$ )

100770w. Thermodynamic analysis of zirconium dioxide fluorination reactions. Kotsar, M. I.; Seleznev, V. P.; Sudarikov, B. N.; Gromov, B. V. (USSR). *Tr. Mosk. Khim.-Tekhnol. Inst.* 1972, 71, 73-6 (Russ). Thermodn. functions (enthalpies and free energies) are caled. for 7 reactions involving  $ZrO_2$ ,

and HF or F at 298-1100°K and the results are tabulated. The equil. partial pressures for the reactions  $ZrO_2$ (cryst.) + 4HF(g) =  $ZrF_4$ (cryst.) + 2H<sub>2</sub>O(g);  $ZrO_2$ (cryst.) + 2HF(g) =  $ZrOF_3$ (cryst.) + H<sub>2</sub>O(g); and  $ZrOF_3$ (cryst.) + 2HF(g) =  $ZrF_4$ (cryst.) + H<sub>2</sub>O(g) at 298-1100°K are given also. The reaction of  $ZrO_2$  with F should lead to the formation of  $ZrF_4$ .

C.A. 1974. 80 N18



$ZrOF_2$   
 $\square$   $ZrF_4$

$ZrO_2$

1972

) 58628h Transition phenomena of zirconium oxide. I. Ono,  
Akira; Fujiki, Yoshinori (Natl. Inst. Res. Inorg. Mater.,  
Tokyo, Japan). *Kobutsugaku Zasshi* 1972, 10(6), 399-408

$T_{t2}$

(Japan). Monoclinic  $ZrO_2$  was heated to 1160-1250° and chilled rapidly to observe the transition from the monoclinic to the cubic form. The part converted to the cubic form became opaque and consisted of a collection of fine needle crystals. Surface deformation also appeared. The unconverted, monoclinic  $ZrO_2$  showed no change. The changes in crystal structure in the phase transition are discussed.

P. Y. Hsieh

C. & P. 1974.79 n10

1972

# ZrO<sub>2</sub>

T<sub>tz</sub>

58627g Transition phenomena of zirconium oxide. II. Ono, Akira; Fujiki, Yoshinori (Natl. Inst. Res. Inorg. Mater., Tokyo, Japan). *Kobutsugaku Zasshi* 1972, 10(6), 409-12 (Japan). X-ray diffraction observation of the phase transition between the monoclinic and cubic form of powd. ZrO<sub>2</sub> crystals indicated the presence of thermal hysteresis. The transition temp. from the monoclinic to the cubic form in the heating process was considerably different than the transition temp. from the cubic to the monoclinic form in the cooling process. The temp. range in which the 2 forms co-existed was 100° in the heating process and 450° in the cooling process.

P. Y. Hsieh

C.A. 1974 79 n10

1973

ZrO<sub>2</sub>

(T<sub>tz</sub>)

112173n Electron microscopic study of phase transformations in pure and partially stabilized zirconium oxide. Bansal, G. K.; Heuer, A. H. (Dep. Metall. Mater. Sci., Case West. Reserve Univ., Cleveland, Ohio). *Phase Transitions, Proc. Conf. Phase Transitions Their Appl. Mater. Sci.* 1973 (Pub. 1973), 299-305 (Eng). Edited by Henisch, Heinz K. Pergamon: New York, N.Y. The tetragonal-to-monoclinic phase transformation in ZrO<sub>2</sub> was investigated by transmission electron microscopy. This transformation in pure ZrO<sub>2</sub> exhibited virtually all the characteristics of martensitic transformations in metallic alloy. In partially stabilized ZrO<sub>2</sub>, its good mech. and thermal shock properties result from fine dispersion of monoclinic particles in the cubic grains; this system thus exhibits a form of pptn. strengthening.

C.A. 1974 81 n18

1973

ZrO<sub>2</sub>

(T<sub>b</sub>)

30560x Thermodynamic study of the reversible evaporation of a refractory oxide in an oxidizing thermal plasma. Bonet, C.; Hernandez, D.; Daguenet, M.; Dumargue (Lab. Ultra-Refract., Font-Romeu, Fr.). *High Temp. - High Pressures* 1973, 5(4), 413-20 (Fr). The compn. of the vapor of an oxide of the MO<sub>2</sub> type in a thermal oxidizing plasma is calculated for the cases when the vapor is satd. (and in equilibrium with the condensed phase which is evaporating) and when it is superheated. Numerical computations are made, up to 6000°K, for ZrO<sub>2</sub> evaporating in an air plasma which yield values for the enthalpy of the vapor, the enthalpy of evaporation, and the mol. wt. of the vapor. The computed boiling point (4369°K at 1 atm) is in good agreement with literature data. An important result is that the enthalpy of the superheated vapor depends only on its own temp. and does not depend on the temp. of the condensed phase which is evaporating.

C.A.1974. 81. NY

1973

 $ZrO_2$  $(f_B; \Delta H_v)$ 

⊕ T.g. op. □

Φ 1974. N 10.

10 Г105. Термодинамическое исследование процесса обратимого испарения огнеупорной окиси в окислительной термической плазме. Bonet C., Negrandez D., Dagueneau M., Dumargue P. Étude thermodynamique de l'évaporation réversible d'un oxyde réfractaire dans un plasma thermique oxydant. «High Temp.—High Pressur.», 1973, 5, № 4, 413—420 (франц.)

Приводится метод расчета состава пара окислов типа  $MO_2$  в окислительной плазме для случаев перегретого и насыщенного (находящегося в равновесии с испаряющейся твердой фазой) пара. Приведены результаты численных расчетов энталпии пара, энталпии испарения и молекул веса пара, образующегося при испарении  $Zr$  в воздушной плазме. Расчетное значение т-ры кипения ( $4369^\circ K$  при  $p=1$  атм) хорошо согласуется с литературными данными. Особо отмечается, что энталпия перегретого пара зависит только от т-ры пара, но не от т-ры испаряющейся конденсированной фазы.

Резюме

$ZrO_{1,996}$

1973

9. 20 Б576. Термодинамические свойства нестехиометрической двуокиси циркония в интервале температур 1173—1373° К. Герасимов Я. И., Васильева И. А., Шрановская Ж. В., Майорова А. Ф. «Докл. АН СССР», 1973, 210, № 6, 1347—1349

(ΔΗ)

Методом э. д. с. с тв. электролитом в ячейке с неразделенным газ. электродным пространством — Pt,  $ZrO_{2-x} | O^{2-} | Fe, Fe_{0,95}O, Pt$  ( $x = 0,003; 0,004; 0,006; 0,007; 0,008; 0,0012$ ) определены парц. термодинамич. функции кислорода для окислов циркония  $\Delta\bar{H}_{O_2}, \Delta S_{O_2}$  в области составов  $ZrO_{1,996}—ZrO_{1,988}$  и интервале т-р 1173—1373° К. Получены зависимости  $x = x(\Delta\bar{G}_{O_2})$ , где  $x$  — индекс при кислороде в  $ZrO_x$ , для пяти т-р в области значений  $x = 1,997—1,988$ . Автореферат

X. 1973. № 20

1973

ZrO<sub>2</sub>

T<sub>t2</sub>

61096p Thermal decomposition of basic zirconium sulfate.  
Chukhlantsev, V. G.; Galkin, Yu. M. (Ural. Politekh. Inst. im. Kirova, Sverdlovsk, USSR). *Zh. Neorg. Khim.* 1973, 18(6), 1456-8 (Russ). At 500-600°, dehydration of basic Zr sulfate occurs with the formation of an anhyd. x-ray amorphous product. This product decomps. at 600° with the formation of tetragonal ZrO<sub>2</sub> and SO<sub>3</sub>. At 800° tetragonal ZrO<sub>2</sub> is converted to monoclinic ZrO<sub>2</sub>, whereas at 1150° monoclinic ZrO<sub>2</sub> is converted to a high-temp. tetragonal ZrO<sub>2</sub>.

C.A. 1974, 79 n10

1973

ZrO<sub>2</sub>

10 Б881. Окисление циркония при высоких температурах. Kettel F. The oxidation of zirconium at high temperatures. «Philips Res. Repts», 1973, 28, № 3, 219—244 (англ.)

Измерением повышения т-ры в ходе процесса и методом высокоскоростной киносъемки при начальных т-рах 1000—1400° К и давлениях O<sub>2</sub> 20—700 мм изучен процесс окисления Zr-проводок диам. 0,1 мм. На начальных стадиях окисления, когда р-ция протекает адиабатически, она лимитируется равновесием процесса адсорбции O<sub>2</sub> на Пв Zr, имеет энергию активации 38 ккал/моль при парц. давлении O<sub>2</sub> 20 мм и 33 ккал/моль при 100 мм. Аррениусовская зависимость сохраняется до т. пл. Zr. Порядок р-ции по O<sub>2</sub> равен 1/2. В области т-р от 1700° К до т. пл. при высоких

(P  
O<sub>2</sub>)

X. 1974 n 10

парц. давлениях  $O_2$  на Пв содержатся фазы  $\alpha$ -Zr и  $ZrO_2$ , а при низких давлениях —  $\alpha$ -Zr. При т-рах выше т. пл. Zr проволока распадается на капли диаметром 200—400 мкм; т-ра капель повышается до постоянной величины, к-рая определяется парц. давлением  $O_2$ . На 2-й стадии окисления при давлениях  $>10$  мм вокруг капель образуются короны из тв. продуктов р-ции, диам. к-рых превышает диаметр капель на 40—180 мкм. Предполагается, что при этом на Пв капли реагирует парообразный Zr, к-рый образует  $ZrO_2$ . Э. Г. Раков

ZrO<sub>2</sub>

1973

(T<sub>m</sub>)

130053m Phase transformation of monoclinic zirconium  
dioxide single crystals. Mitsuhashi, T.; Fujiki, Y. (Natl. Inst.  
Res. Inorg. Mater., Sakura, Japan). *J. Amer. Ceram. Soc.*  
1973, 56(9), 493 (Eng). During heating (0.625–20°/min), the  
martensitic monoclinic-tetragonal transformation of ZrO<sub>2</sub> single  
crystals was obsd. in DTA measurements at  $T_m = 1160\text{--}90^\circ$ .  
During cooling, the initial  $T_m$  values were obsd. at 1070–1100°.  
The variations of  $T_m$  in single crystals were not related to im-  
purities, but to differences in the nucleation sites for transforma-  
tion in individual single crystals.

CA 1973

79,22

ZrO<sub>2</sub> | | Отчет ИГУ - хим. 1973  
факультет.

термодин. | | "Комплексное исследование  
св-ва | | термодинамических свойств  
и структурных постоянных"  
Горбцов И.В, Герасимов Л.Н,  
Гальченко Т.Н

ZrO<sub>2</sub>

1973

(T<sub>t<sub>2</sub></sub>)

130052k Kinetics of martensitic transformations. Sukharevskii, B. Ya.; Gavrish, A. M. (Fiz.-Tekh. Inst. Nizk. Temp., Kharkov, USSR). *Dokl. Akad. Nauk SSSR* 1973, 211(4), 842-5 [Crystallogr] (Russ). An investigation of the martensitic transformations of ZrO<sub>2</sub> specimens revealed that the  $\beta'$ - $\alpha$  transformation occurred both during heating and cooling, provided the specimen was heated to >875-925°K prior to cooling. With increasing duration of the preliminary annealing, the rate of the  $\beta'$ - $\alpha$  transformation increased. This is ascribed to different growth rates of the crystal nucleus.

Alexandre Fuchs

CA 1973

79,22

1974.

ZrO<sub>2</sub>

9 Е654. О мартенситном превращении в окиси циркония (ZrO<sub>2</sub>). Ч. II. Кристаллографические аспекты. Bansal G. K., Несег А. Н. On a martensitic phase transformation in zirconia (ZrO<sub>2</sub>). II. Crystallographic aspects. «Acta met.», 1974, 22, № 4, 409—417 (англ.; рез. франц., нем.)

фазовые  
превращ.

Обнаружено два типа взаимных ориентировок между образующейся при охлаждении моноклинной (M) и исходной тетрагональной (T) фазами в ZrO<sub>2</sub>. Выше 1000° С существует взаимосвязь: (100)<sub>M</sub> || {100}<sub>T</sub> и [001]<sub>M</sub> || <100><sub>T</sub> (1), ниже 1000° С — (100)<sub>M</sub> || {100}<sub>T</sub> и [001]<sub>M</sub> || ~[001]<sub>T</sub> (2). На основе кристаллографич. теории Векслера — Либермана — Рида и Булса — Маккензи и экспериментально найденных взаимных ориентировок между фазами вычислена ориентировка габитусных

ф. 1974 № 9

плоскостей, а также направление и величина макроскопич. сдвига. Для двух типов мартенсита, наблюдавшихся электронномикроскопически, габитусные плоскости имеют индексы  $(671)_M$  и  $(100)_M$ . В случае скольжения по системам  $(\bar{1}10)$   $[001]$  и  $(1\bar{1}0)$   $[110]$  рассчитанные ориентировки габитусных плоскостей (с использованием взаимосвязи (2)) хорошо совпадают с экспериментально определенными. На этом основании сделано заключение, что происходящее при высокой т-ре превращение в  $ZrO_2$  из тетраг. фазы в моноклинную протекает по мартенситному механизму. Ч. I. см. Bansal G. K., Heuer A. H. «Acta met.», 1972, 20, 1281. В. А. Лободюк

1974

 $\text{ZrO}_2$  $T_{tr}$ 

149606m Martensitic phase transformation in zirconia ( $\text{ZrO}_2$ ).  
II. Crystallographic aspects. Bansal, G. K.; Heuer, A. H. (Div. Metall. Mater. Sci., Case West. Reserve Univ., Cleveland, Ohio). *Acta Met.* 1974, 22(4), 409-17 (Russ.). The transformation in  $\text{ZrO}_2$  from a high temp. tetragonal phase to a monoclinic structure was martensitic in nature. Two different orientation relationships were obsd. between the high (above  $1000^\circ$ ) and low (below  $1000^\circ$ ) temp. phases. The results indicated that the habit planes of the plate-like martensite products reported in Part I (*ibid.* 20, 1281) were incorrectly indexed because of an incorrect assumption that a single crystal undergoing a monoclinic → tetragonal → monoclinic cycle would return to its original orientation at the end of the cycle. Two different habit planes can be predicted by using a single Bain correspondence, combined with different lattice-invariant deformation modes.

C. W. Schuck

c.a.1974.80.N26

ZrO<sub>2</sub>

B9-1481-XVII

1974

79290u Electrical properties and phase transformation of zirconium(IV) oxide single crystals. Ishizawa, Yoshio; Ono, Akira; Fujiki, Yoshihori (Natl. Inst. Res. Inorg. Mater., Ibaraki, Japan). *Jpn. J. Appl. Phys.* 1974, 13(12), 2053-4 (Eng). Two layers of elec.-resistivity behavior were obsd. during slow heating ( $\sim 1-4^\circ/\text{min}$ ) through the martensitic monoclinic-tetragonal phase transition temp.  $T_c$ . Values of  $T_c$  ranged from  $1157 \pm 2^\circ$  to  $1176 \pm 2^\circ$ . Some samples showed an increase and some showed a decrease in resistivity. The interpretation is based on the variation from sample to sample in the amt. of microfractures and grain boundaries present in the gradually appearing tetragonal phase.

(Tr)

C.A. 1975. 82 n12.

*ZrO<sub>2</sub>*

*V9 - 1481 - XVII*

*1974*

- 12 Б604. Электрические свойства и фазовое превращение в монокристаллах ZrO<sub>2</sub>. Ishizawa Yoshio, Ono Akira, Fujiki Yoshihiko: Electrical properties and phase transformation of ZrO<sub>2</sub> single crystals. «Jap. J. Appl. Phys.», 1974, 13, № 12, 2053—2054 (англ.)

Электросопротивление монокристаллов ZrO<sub>2</sub> исследовано четырехзондовым методом на постоянном токе при атмосферном давл. (ток пропускался вдоль оси С образца, а разность Пт снималась поперек образца) в области т-ра мартенситного монокл.-тетрагон. фазового перехода. Измерения, проведенные на 22 образцах при нагреве (скорость нагрева составляла +1—+4°/мин), показали, что т-ра фазового перехода  $T_c$  для разных об-

(Ttr)

X. 1975. N12

разцов лежит в пределах  $1157 \pm 2^\circ$ — $1176 \pm 2^\circ$ . Установлено, что электросопротивление 70% измеренных образцов возрастает при  $T_c$ , а для некоторых образцов — уменьшается. Для полного превращения обычно требуется несколько секунд при очень медленном изменении температуры. Резкое возрастание сопротивления при  $T_c$  объясняется появлением трещин в кристалле при этой температуре, поскольку в процессе перехода от моноклин. к тетрагональной фазе в ряде случаев появляется множество микротрещин и границ зерен в тетрагональной фазе.

В. Мандрусов

1974

ZrO<sub>2</sub>

T68

87: 144512n Research on zirconium oxides. 5. Electric properties and phase transitions in zirconium dioxide single crystals. Ishizawa, Yoshio (Natl. Inst. Res. Inorg. Mater., Kurakake, Japan). *Muki Zaishitsu Kenkyusho Kenkyu Hokokusho* 1974, 8, 38-41 (Japan). The elec. resistance of ZrO<sub>2</sub> single crystals prep'd. by various methods was measured at temps. near the phase-transition point by using the slow temp. sweep method. In all samples the resistance showed a very sudden change (70% of the samples showed an increase, 30% a decrease) at the transition point. The transition point detd. from the changes varied from 1157 to 1176°, while the transition

C.A. 1974 pt n18

required 5-6 s. The resistance increase at the transition point was probably caused by crack formation by the transition, while the resistance decrease at the transition point was probably caused by the different resistivity of the 2 phases. Resistance-vs.- $1/T$  curves obtained at temps. below the transition point showed an abnormal temp. dependence at 863-1043°. When the ZnO<sub>2</sub> crystals were annealed at 1100° prior to resistance measurements, the resistance-vs.- $1/T$  curves showed good linearity at  $T \leq 980^\circ$ , and the resistance at  $T \geq 980^\circ$  was greater than the extrapolation of the straight line.

1974

ZrO<sub>2</sub>(T<sub>tr</sub>)

113449y Raman scattering study of the crystallization and phase transformation of zirconium dioxide. Keramidas, Vissilis G.; White, William B. (Mater. Res. Lab., Pennsylvania State Univ., University Park, Pa.); *J. Amer. Ceram. Soc.* 1974, 57(1), 22-4 (Eng). The crystn. and phase transition of dehydrated amorphous ZrO<sub>2</sub> was studied by x-ray diffraction, electron diffraction, and Raman spectra. X-ray diffraction is insensitive to structural changes that may occur before long-range order of ~50 Å is attained, but Raman spectroscopy is esp. suitable for the study of the onset of crystn. and the subsequent phase transformation in heated amorphous ZrO<sub>2</sub>. Raman spectra characteristic of the metastable tetragonal polymorph were obtained. Heating the amorphous ZrO<sub>2</sub> induces recrystn. first in a metastable tetragonal phase and then in the stable monoclinic phase.

C.A. 1974. 80. N20

$ZrO_2$

1974

L86: 82341z Infrared dispersion of the dielectric constants of various modifications of zirconium dioxide and the heat of their phase transition. Kurbatov, G. A.; Shvaiko-Shvaikovskii, B. E.; Kalmykov, V. A. (Leningr. Politekh. Inst. im. Kalinina, Leningrad, USSR). *Sb. Ref. - Vses. Konf. "Fiz. Dielektr. Perspekt. ee Razviti,"* 1973 (Publ. 1974). I, 68-9 (Russ). Edited by Koikov, S. N.; Semushkin, G. B. Leningr. Politekh. Inst.: Leningrad, USSR. The IR reflection spectra of monoclinic and cubic  $ZrO_2$  were detd., from which were calcd. the frequency dependences of the complex dielec. consts., the heat capacity, and the heat of transition from the monoclinic to the cubic modification; the latter was 2.83 kcal/mol.

$\Delta H_{tr}$ ,  $C_p$

C.A. 1977 86 n12

1974

ZrO<sub>2</sub>

Tet

87: 144242z Research on zirconium oxides. 4. Phase transitions in zirconium dioxide. Ono, Akira (Natl. Inst. Res. Inorg. Mater., Kurakake, Japan). *Muki Zaishitsu Kenkyusho Kenkyu Hokokusho* 1974, 8, 32-7 (Japan). The complex phase transformations of ZrO<sub>2</sub> can be explained by the following considerations: (1) the structural sensitivity controls various-phenomena and that the chem. equil. temp. is also significantly affected by this structural sensitivity, (2) in relatively small particles, 2-phase (monoclinic, tetragonal) do not coexist in a single particle, i.e., a crystal is transformed instantly into the other phase, and (3) phase transformation occur over a wide region and it is possible for the apparent 2-phase coexistence temp. to be  $\leq 5\%$  in sintered ZrO<sub>2</sub>. New exptl. data, differing from literature data, are reported for phase transformations carried out with single crystals as well as aggregates obtained from ZrO<sub>2</sub> single crystals grown with a flux.

C.A. 1977 88 v18

1974

ZrO<sub>2-x</sub>

14 Б934. Термодинамические свойства и фазовый переход моноклинная — тетрагональная нестехиометрическая двуокись циркония. Васильева И. А., Гравовская Ж. В. «Ж. физ. химии», 1974, 48, № 3, 755—756

(T<sub>tr</sub>; ΔH<sub>tr</sub>)

Методом э. д. с. с тв. электролитом 0,85 Zr·0,15CaO при 1173—1373° К определены парциальные термодинамич. св-ва окислов ZrO<sub>2-x</sub> в близи стехиометрич. состава для моноклинной и тетрагональной модификаций. На основании полученных данных вычислены т-ры фазовых превращений для окислов при охлаждении ZrO<sub>1,998</sub> ( $1103 \pm 11$ ° К), ZrO<sub>1,999</sub> ( $1029 \pm 13$ ° К) и теплоты фазовых превращений моноклинная  $\rightleftharpoons$  тетрагональная ZrO<sub>2-x</sub>,  $2,8 \pm 0,8$  (ккал) для ZrO<sub>1,998</sub> и  $5,3 \pm 1,2$  (ккал) для ZrO<sub>1,999</sub>.

Автореферат

2. 1974. N14

1974

$ZrO_{1,998}$

$ZrO_{1,999}$

( $T_{t^2}$ )

D 7 E600. Термодинамические свойства и фазовый переход моноклинная — тетрагональная нестехиометрическая двуокись циркония. Васильева И. А., Гравовская Ж. В. «Ж. физ. химии», 1974, 48, № 3, 755—756

Методом э. д. с. с твердым электролитом  $0,85ZrO_2 \cdot 0,15CaO$  при  $1173—1373^\circ K$  определены парциальные термодинамич. свойства моноклинной и тетраг. модификаций окислов  $ZrO_{2-x}$  вблизи стехиометрич. состава. Вычислены т-ры фазовых превращений для окислов при охлаждении  $\underline{ZrO_{1,998}}(1103 \pm 11^\circ K)$ ,  $\underline{ZrO_{1,999}}(1029 \pm \pm 13^\circ K)$  и теплоты фазовых превращений «моноклинная  $\rightleftharpoons$  тетрагональная»;  $2,8 \pm 0,8$  ккал ( $ZrO_{1,998}$ ) и  $5,3 \pm \pm 1,2$  ккал ( $ZrO_{1,999}$ ). Автореферат

Ф. 1974 N 7

Эроэ

1971

1974  
Баскаков А.А., Зуяновская И.С.Б.,

Т.Шерз

Мур. Оль. Зеримат.  
1974, 48, с. 1536

125

т.ж. Эроэ (и.)

$ZrO_2$  (gas) ( $P, \Delta H_f, \Delta f_f, \Delta_{atom}H_f$ )

1975

V. 13 50569u The thermodynamic properties of gaseous zirconium oxide. Ackermann, R. J.; Rauh, E. G.; Alexander, C. A. (Chem. Div., Argonne Natl. Lab., Argonne, Ill.). *High Temp. Sci.* 1975, 7(4), 304-16 (Eng). The thermodyn. studies of  $ZrO_2(g)$  [1314-23-4] were evaluated from measurements of the vapor pressure and the enthalpy of sublimation of the dioxide by the transpiration method and mass spectrometric technique and agree closely with those obtained from mass spectrometric measurements of the isomol. exchange reaction,  $ZrO_2 + ThO(g) = ZrO(g) + ThO_2(g)$ , for which the ionization

efficiency curves are examd. The std. free energy of formation of  $ZrO_2(g)$  is given by the equation  $\Delta G^\circ_f(ZrO_2,g) = -95,400 + 6.73T$  (cal/mole) at 1900-2800 °K. These results support the linear better than the bent structure of the gaseous dioxide and yield a value of  $347.2 \pm 3$  kcal/mole for the atomization energy of  $ZrO_2(g)$  at 0 K. A crit. reassessment of the thermodyn. properties of the solid dioxide up to 2800 °K was effected.

✓  
5.11  
4.74  
4.74

Bp-2022-XVII

C.A. 1976 84 n 24

ZrO<sub>2</sub>

# 11877

1975

8 E506. Термодинамические свойства ZrO<sub>2</sub> (газ).  
 Ackegmann R. J., Rauh E. G., Alexander C. A.  
 The thermodynamic properties of ZrO<sub>2</sub>(g). «High Temp.  
 Sci.», 1975, 7, № 4, 304—316 (англ.)

Различными методами в интервале 1900—2800° К измерено давление пара ZrO<sub>2</sub>. Результаты выражены уравнением:  $-RT\lg P(\text{атм}) = (166\,000 \pm 420) - (36,82 \pm 0,14) \cdot T$ . Отсюда получено, что  $\Delta G_f^{\circ}$  (ZrO<sub>2</sub>, газ) =  $-95\,400 + 6,73 \cdot T$  кал/моль и  $S^{\circ}$  (ZrO<sub>2</sub>, газ, 2400° K) = 86,4 кал/моль·°K. Эти результаты согласуются с представлениями о том, что молекула газообразной ZrO<sub>2</sub> линейна.

Б. Могутнов

(P, ΔG)

B9-2022-XVII

φ 1976 N8

*ZrO<sub>2</sub>* ВР-2022-XVII

14 Б834. Термодинамические свойства ZrO<sub>2</sub> (газ).

Ackermann R. J., Rauh E. G., Alexander C. A.  
The thermodynamic properties of ZrO<sub>2</sub> (g). «High Temp.  
Sci.», 1975, 7, № 4, 304—316 (англ.)

1975

В интервале т-р 1900—2800 К методом Кнудсена на масс-спектрометре и методом переноса исследован насыщ. пар над ZrO<sub>2</sub> (тв.) (I). По 2-му закону определена энталпия сублимации  $\Delta H_t^\circ$  (I) = 166,0 ± 0,4. Получено ур-ние зависимости давл. пара от т-ры  $-RT \ln p$  (I, газ., атм.) = (166 000 ± 420) — (36,82 ± 0,14)T. По лит. данным табулированы рекомендованные значения термодинамич. функций тв. I и рассчитаны энергии Гиббса образования  $\Delta G_t^\circ$  (I, тв.) = —261400 + 43,55 · T (298—2700 К),  $\Delta G_t^\circ$  (I, газ.) = —95400 + 6,73 · T (1900—2800 К). По 2-му закону на масс-спектрометре определена энталпия р-ции ZrO<sub>2</sub> (газ.) + ThO (газ.) = = ThO<sub>2</sub>(газ.) + ZrO(газ.),  $\Delta H_{2500}^\circ$  K = —7,140 ± 1800 ккал/моль. Рассчитана энталпия образования  $\Delta H^\circ$  (298 K, I, газ.) = —95,280 ккал/моль, энергия атомизации  $D_0$  (I, газ.) = 347,2 ± 3,0 ккал/моль; энергия первой и второй связей Zr—O в I (газ.) соотв. 7,2 и 7,8 эв.

М. В. Коробов

*m. коробов*

*БР-2022-XVII*

*X1976 N14*

ZrO<sub>2</sub>

(od3ap)

1975

84: 11221h Zirconia, a refractory material. Application of its electronic properties. Anthony, A. M. (Cent. Rech. Phys. Hautes Temp., Orleans, Fr.). *Ind. Ceram.* 1975, 686, 483-7 (Fr). A review on crystal structure, elec. and thermal properties, and applications of ZrO<sub>2</sub>.

meucciog,  
ab-ka

C.A. 1976

84. N2

Хг О<sub>2</sub>

Корнилов А. Н.

1975

(ΔHf)

"Приложенные окисных  
и карбидных фаз циркона,  
графит, мюбэл и тантала"  
Автореферат на соискание  
ученой степени д.х.н.

Bsp - 1305 - XVII

1975

$ZrO_2$

( $T_{tr}$ )

19 Б883. Исследование высокотемпературным рентгеновским методом системы Zr—O—C в термодинамически равновесных условиях и в вакууме. Ouensanga A., Pialoux A., Dodé M. High temperature X-ray study of the Zr—O—C system in thermodynamical equilibrium conditions and in vacuum. «Rev. int. hautes temp. et réfract.», 1975, 12, № 1, 16 (англ.)

Методом высокот-рного рентгеновского анализа изучены фазы, образующиеся при восстановлении  $ZrO_2$  углеродом при  $800$ — $2300^\circ$ . Показано, что при нагреве в вакууме ( $800$ — $1800^\circ$ ) и в атмосфере He ( $1800$ — $2300^\circ$ )  $\underline{ZrO_2}$  претерпевает два полиморф. превращения:  $\alpha$ - $ZrO_2$  с монокл. структурой переходит при  $1196^\circ$  в тетрагон. форму  $\beta$ - $ZrO_2$ , а  $\beta$ - $ZrO_2$  при  $2000^\circ$  переходит в кубич.  $\gamma$ - $ZrO_2$ . Определены изменения параметров решетки

x 1975 N 19

«ZrC» в различных условиях. При т.-ре 1550° в условиях равновесия  $ZrO_2-ZrC-C-CO$  ( $P_{CO} \sim 300$  мм) параметр решетки «ZrC» равен 4,740А, а в вакууме  $10^{-3}$  мм в присутствии только графита в области 1000°—2300° параметр решетки больше, чем в атмосфере CO и равен 4,748А при 1550°. В вакууме в присутствии  $ZrO_2$  параметр решетки ZrC меньше, чем в присутствии С и CO и равен при 1550° 4,734А. Изменение параметра решетки связано с различным содержанием внедренного O в решетке ZrC.

Л. В. Шведов

50917.8836  
Ch, TC, MGU

40892 (70) 1975  
 $ZrO_2 (\Delta H_f)$  #4-9764

Murad Edmond, Hildenbrand D. L.

(от 18.8  
научные  
Hildenbrand

Thermochemical properties of gaseous  $ZrO$   
and  $ZrO_2$ .

"J. Chem. Phys.", 1975, 63, N 3, 1133-1139

(англ.)

(иссл.  $ZrO$ , II)

0450 ник

ВИНИТИ

422 424

442

ZnO<sub>2</sub>  
3942

Rauh E.G. 1975

Epoxidole

Canad. Metall. Quart  
1975, 14, p. 205

81% ZnO<sub>2</sub>

$ZrO_2$

X-13913

1976

65: 27513m Monoclinic  $\rightleftharpoons$  tetragonal phase transformation in zirconium oxide single crystals. Ali, M.; Bukhari, S. J. H.; Sheib, K. A.; Hashmi, F. H. (Nucl. Phys. Div., Pakistan Inst. Nucl. Sci. Technol., Rawalpindi, Pak.). *Phys. Status Solidi A* 1976, 35(1), 181-4 (Eng). A phase transformation in  $ZrO_2$  of 99.85% purity was obsd. by measurement of elec. resistivity at 785-1100°. The monoclinic to tetragonal transition occurs at 1078-1125° with increasing temp. while the transition back to the monoclinic phase takes place 935-875° during the cooling cycle. An interesting feature is the observation of a hump at ~900° in the cooling part of the cycle.

(T<sub>tr</sub>)

Bp-22X.6-XVII

C.A. 1976. 85 N/4

$ZrO_2$

1976

3.E755. Оптическое и рентгеновское исследование превращения моноклинной фазы в тетрагональную и обратного превращения в монокристалле  $ZrO_2$ . Buljan S. T., McKinstry H. A., Stubican V. S. Optical and X-ray single crystal studies of the monoclinic  $\rightleftharpoons$  tetragonal transition in  $ZrO_2$ . «J. Amer. Ceram. Soc.», 1976, 59, № 7—8, 351—354 (англ.)

Исследование монокристаллов  $ZrO_2$ , выращенных из раствора в расплаве с  $PbF_2$ , методами поляризационной микроскопии и рентгеноструктурного анализа при т-рах до  $1400^\circ C$ , позволило установить кристаллогеометрич.

(пол)  
фаза

Ф 1977. № 3

соотношения между исходной моноклинной и высокотемпературной тетраг. фазами. Превращение при нагреве осуществляется движением поверхности раздела, параллельной плоскости  $(100)_m$ , и сопровождается двойникованием в тетраг. фазе по плоскостям  $(112)_{opt}$  и  $(112)_{opt}$  параллельно направлению  $[110]_{opt}$ . Степень двойникования определяется т-рой и скоростью нагрева: очень медленный нагрев не приводит к двойникованию. В процессе охлаждения несдвойникованная тетраг. фаза превращается в сдвойникованную моноклинную с ориентацией двойников параллельно следам плоскости  $(001)_m$  (при наблюдении в плоскости  $(100)_m$ ). Если тетраг. кристалл сдвойникован, то при охлаждении двойники в моноклинной фазе образуются в плоскостях  $\{110\}_m$  и  $\{001\}_m$ . Ориентационные топотаксич. соотношения при переходе могут быть двоякими:  $(110)_m \parallel (110)_{opt}$ ,  $[010]_m \parallel [001]_{opt}$  или (при двойниковании)  $(100)_m \parallel (110)_{opt}$ ,  $[001]_m \parallel [001]_{opt}$ .

Б. Г. Алапин

1976

*ZrO<sub>2</sub>*

23 Б1006. Фазовое превращение моноклинный — тетрагональный  $ZrO_2$  в монокристаллах. Al i M., Vickhagi S. J. H., Shoaib K. A., Hashmi F. H. Monoclinic  $\rightleftharpoons$  tetragonal phase transformation in  $ZrO_2$  single crystals. «Phys. status solidi (a)», 1976, 35, № 1, 181—184 (англ., рез. нем.)

( $T_{tr}$ )

С целью уточнения многочисленных исследований по полиморфизму в  $ZrO_2$  изучено фазовое превращение монокл. — тетрагон. путем измерения электросопротивления в интервале  $t$ - $p$ . 785—1160°. Для эксперимента использованы монокрист. образцы чистотой 99,85%, скорость нагрева и охлаждения от 0,11 до 0,23 град/мин. При нагревании фазовое превращение начинается при 1078° и заканчивается при 1135°. Переход при охлаждении начинается при 935° и заканчивается при 875°. Точность нахождения  $t$ - $p$  превращения оценена выше чем 1,6°. Обнаружено существование горба на кривой электросопротивления во всех опытах при охлаждении около 908°. Предположено, что возможная причина этого явления заключается в двойникованиях в плоскости [110] в направлении [001].

Г. Л. Апарников

Х. 1976. № 23

1976.

$\text{ZnO}_2$

Информационный

вызывной за I кв. 1976

ДНГ

№ гос. М7-41. УЛГУ

Научн. рек. Информация о г.



Z202  
2643.

Hildenbrand & L. 1978

— U.S. NTIS AD Rept 1976, AD-A025661  
Epnusola From Govt. Rept Announce Index U.S.  
1976, 76, p. 81

8H<sub>4</sub> Z2O<sub>2</sub>r

$ZrO_2$

ЗР-XVII-2652

1976

6 Б813. Термохимическое исследование моноклинной фазы  $ZrO_2$ . Корнилов А. Н., Ушакова И. М. «Ж. физ. химии», 1976, 50, № 11, 2951—2953

Определена теплота окисления  $ZrO_{2-x}$  до  $ZrO_2$ ; при  $x=0,0068\pm 0,0006$  найдено значение  $\Delta H^\circ$  (сгор. 298,15К,  $ZrO_{2-x})=-0,85\pm 0,14$  ккал/г-атом Zr. В предположении постоянства теплоты окисления (в пересчете на ккал/г-атом кислорода) с использованием  $\Delta H^\circ$  (обр. 298,15К  $ZrO_2$ , мон.) =  $-263,04\pm 0,16$  ккал/г-атом Zr найдено выражение  $\Delta H^\circ$  (обр., 298,15К,  $ZrO_{2-x})=(-263,04+125x)\pm \pm(0,16^2+21^2x^2)^{1/2}$  (ккал/г-атом Zr). Автореферат

$\Delta H^\circ$   
298,15

д. 1987-6

$ZrO_2$

BP-XVII-2652

1976

86: 79686k Thermochemical study of the monoclinic phase of zirconium dioxide. Kornilov, A. N.; Ushakova, I. M. (Mosk. Gos. Univ. im. Lomonosova, Moscow, USSR). *Zh. Fiz. Khim.* 1976, 50(11), 2951-3 (Russ). The heat of oxidn. of  $ZrO_2$ ,  $\Delta H_{f,298.15}^0$  is  $-0.85 \pm 0.14$  kcal/g-atom (Zr) for  $x = 0.0068 \pm 0.0006$ . Considering that the heat of oxidn. per g-atom of  $O_2$  is independent of  $x$ , the formula  $\Delta H_{f,298.15}^0 = -(263.04 + 125 x) \pm (0.16^2 + 21^2 x^2)^{1/2}$  holds for the homogeneity region, i.e. at  $x = 1.985 - 2.00$ .

F. Smutny

4 Hf<sup>10</sup>  
J298

C.A. 1977 86 112

$ZrO_2$

1976

$SiO_2$

$TiO_2$

(Tm)

1985; 99961d The zirconium oxide-silicon dioxide-titanium dioxide system. Pena, P.; De Aza, S. (Dep. Ceram., Inst. Ceram. Vidrio, Arganda del Rey, Spain). *Bol. Soc. Esp. Ceram. Vidrio* 1976, 15(2), 93-5 (Span). The ternary phase diagram  $ZrO_2-SiO_2-TiO_2$  is given showing the locations of  $ZrTiO_4$  and  $ZrSiO_4$  and the binary eutectic line sepg. the regions of primary crystn. of  $TiO_2$  and  $ZrO_2$  and the compatibilities in solid state at 1400 and  $1500^\circ$  for the section  $ZrSiO_4-TiO_2$ . Peritectic points are at  $1575^\circ$  for  $ZrO_2$  24.0,  $SiO_2$  66.0,  $TiO_2$  10.0,  $1670^\circ$  for  $ZrO_2$  3.5,  $SiO_2$  93.5,  $TiO_2$  3.0, and at  $1545^\circ$  for  $ZrO_2$  2.5,  $SiO_2$  89.5,  $TiO_2$  8.0 wt. %, and there is a ternary eutectic point at  $1500^\circ$  at  $ZrO_2$  2.0,  $SiO_2$  88.0,  $TiO_2$  10.0 wt. %. The m.p. of the pure constituents are indicated for  $ZrO_2$  at  $2700^\circ$ , for  $SiO_2$  at  $1723^\circ$  for  $TiO_2$  at  $1830^\circ$ .

M. Mannheimer

c. 8. 1976 85 n/14

⑦2 X

$ZrO_2$

Bsp - 2247 - XVII

1976

$Zr(OH)_2O$ ;  $ZrO(OH)_2$

$Zn(OH)_4$

4 Gf

86: 79765k Thermodynamic evaluation of the formation of zirconium(IV) oxides and hydroxides. Sryvalin, I. T.; Maimulov, F. G.; Tikhomirov, A. A. (USSR). *Tr. Krasnodar. Politekhn. In-t* 1976, (70), 72-4 (Russ). From Ref. Zh., Khim. 1976; Abstr. No. 20B786. Title only translated.

~~Circ. P.M.C.~~



C.A. 1977.86 n12

4 Б781. Высокотемпературная фазовая диаграмма  
системы Zr—O. Ackermann R. J., Garg S. P.,  
Rauh E. G. High-temperature phase diagram for the  
system Zr—O. «J. Amer. Ceram. Soc.», 1977, 60,  
№ 7—8, 341—345 (англ.)

Методами оптич. пиromетрии, масс-спектроскопии и изопиестич. равновесия в системе Zr—O найдены т. пл. фаз, т-ры эвтектич. и перитектич. превращений, а также р-римость кислорода в тв. цирконии при высоких т-рах. Найдено, что тв. р-р на основе  $\beta$ -Zr с содержанием  $10,5 \pm 0,5$  ат. % O разлагается по перитектич. р-ции при  $1970 \pm 10^\circ$  на расплав с  $10,0 \pm 0,5$  ат. % O и тв. р-р на основе  $\alpha$ -Zr, содержащий  $19,5 \pm 2,0$  ат. % O; т-ра эвтектич. превращения  $2065 \pm 5^\circ$ , а эвтектич. точка отвечает содержанию  $40 \pm 2$  ат. % O. Найдено, что тв. р-р на основе  $\alpha$ -Zr, содержащий  $25 \pm 1$  ат. % O, плавится конгруэнтно при т-ре  $2130 \pm 10^\circ$ . Определена т. пл. стехиометрич. кубич. оксида  $ZrO_2$   $2710 \pm 15^\circ$ . Отмечено, что в системе Zr— $ZrO_2$  в интервале т-р  $2065—2710^\circ$  в  $ZrO_{2-x}$  проявляется ретроградный тип р-римости; при этом миним. содержание кислорода составляет 61 ат. % при  $2300^\circ$ . Построена фазовая диаграмма системы Zr—O выше  $1200^\circ$  в интервале конц-ий 0—66,6 ат. % O.

Б. Г. Каахан

*ZrO<sub>2</sub>*

1977

(T<sub>m</sub>)

87: 91470p High-temperature phase diagram for the system zirconium-oxygen. Ackermann, R. J.; Garg, S. P.; Rauh, E. G. (Chem. Div., Argonne Natl. Lab., Argonne, Ill.). *J. Am Ceram. Soc.* 1977, 60(7-8), 341-5 (Eng). The melting, eutectic, peritectic, solidus, and liquidus temps. in the system Zr-O were measured directly by a simple optical pyrometric technique requiring only a few hundred milligrams of sample. The satn. solv. of O in  $\alpha$ -Zr(s) between 1270 and 1980° and the phase boundary of the ZrO<sub>2-r</sub> phase between 1900 and 2400° were measured by an isopiestic equilibration method. The O solv. limit in  $\alpha$ -Zr(s) reaches a max. solv. of 35 ± 1 at.% O at the eutectic temp., 2065 ± 5°. The max. melting temp. of  $\alpha$ -Zr(ss) is 2130 ± 10° and corresponds to a compn. of 25 ± 1 at.% O. Liquidus compns. above the eutectic temp. were obtained. The lower phase boundary or solidus of the ZrO<sub>2-r</sub> phase departs appreciably from ideal stoichiometry >1700° and smoothly reaches its most reduced compn., 61 at.% (ZrO<sub>1.56</sub>), near 2300°. The solidus is retrograde at higher temps. The melting temp. of the stoichiometric dioxide is 2710 ± 15°.

C.A. 1977-87 n12 ⑧(+1) Zr-O gaz. quars.

1977

*ZrO<sub>2</sub>**Nd<sub>2</sub>O<sub>3</sub>**Состав  
насыщ.  
пара* (+)

2, 1978, N3

3 Б808. Масс-спектрометрическое исследование процессов испарения высокоогнеупорных твердых растворов  $ZrO_2-Nd_2O_3$  (сравнение с системой  $ZrO_2-Y_2O_3$ ). Белов А. Н., Семенов Г. А. «Изв. АН СССР. Неорганические материалы», 1977, 13, № 10, 1817—1821

Методом полного изотермич. испарения из вольфрамовой эфузионной ячейки Кнудсена с масс-спектрометрич. анализом состава насыщ. пара исследован процесс испарения тв. р-ров  $ZrO_2-Nd_2O_3$  с содержанием  $Nd_2O_3$  10; 14; 33,3 мол.%, а также чистых  $ZrO_2$  и  $Nd_2O_3$ . Образцы тв. р-ров  $ZrO_2-Nd_2O_3$  любого исходного состава испаряются с полной отгонкой  $Nd_2O_3$  до образования чистой  $ZrO_2$ . Вид диаграммы состояния состав — парц. давл. и характер испарения свидетельствуют о том, что в системе  $ZrO_2-Nd_2O_3$  парц. давл.  $NdO_{\text{газ}}$  пропорционально молярной конц-ии  $Nd_2O_3$  в тв. р-рах. В системе  $ZrO_2-Y_2O_3$  обнаружен состав с содержанием  $Y_2O_3$  около 20 мол.%, к-рый ведет себя как азеотроп.

Резюме

1977

 $ZrO_2$  $ZrO$  $HfO$  $YO$  $NdO$ 

(P)

(74) 

C.A1949, 60, N14

90: 110234v Mass-spectrometric study of evaporation of zirconium(IV) oxide-hafnium(IV) oxide, zirconium(IV) oxide-yttrium(III) oxide, hafnium(IV) oxide-yttrium(III) oxide, and zirconium(IV) oxide-neodymium(III) oxide solid solutions. Belov, A. N. (Leningr. Tekhnol. Inst., Leningrad, USSR). Deposited Doc. 1977, VINITI 3432-77, 129-33 (Russ). Avail. VINITI. A mass spectral study at 2000-2600°C of vapor compn. over solid solns. in the title systems showed the presence of  $ZrO_2$ ,  $ZrO$ ,  $HfO$ ,  $YO$ , and  $NdO$  ( $p_{ZrO_2}/p_{ZrO} \sim 0.28$  <math> 2500^\circ). Partial pressures are given for MO species at 2500-2843 K as a function of solid phase compn.

(Cels.  $ZrO_2$ ; T)

$ZrO_2$

1977

$HfO_2$

( $T_{tr}$ )

(+)  
 $\otimes$

11 E897. Мягкие фононные моды и фазовые переходы между моноклинной и тетрагональной фазами в окислах циркония и гафния. Burke S., Garvie R. Soft phonon modes and the monoclinictetragonal phase transformations in zirconia and hafnia. «J. Mater. Sci.», 1977, 12, № 7, 1487—1490 (англ.)

Предлагается теория мартенситного фазового превращения в кристаллах  $ZrO_2$  и  $HfO_2$ , происходящего при  $T$ -рах 1100 и 1600° С соответственно и сопровождающегося повышением симметрии кристалла с моноклинной до тетрагональной. Теория базируется на представлении о существовании в кристаллах мягких фононных мод вблизи точек перехода. Путем анализа спектров ИК-поглощения установлено, какие из фонон-

Ф. 1977 N 11

ных мод наиболее чувствительны к замене катионов Zr катионами Hf, и высказано предположение, что именно эти моды и являются мягкими. В предположении кюри-вейссовской температурной зависимости частот мягких мод найдена разность т-р фазовых переходов в  $ZrO_2$  и  $HfO_2$ , а также зависимость  $T_c$  от конц-ии твердого раствора  $(Zr, Hf)O_2$ . Полученные теоретич. кривые согласуются с данными экспериментов по измерению  $T_c$  в твердых растворах  $(Zr, Hf)O_2$  во всем диапазоне изменения конц-ии компонентов.

А. И. Соколов

1977

*ZrO<sub>2</sub>**Тетрагональ.  
Гексагон.**Х, № 1543, № 15*

15 Б928. Система окись эрбия—двуокись циркония.  
 Диган Р. The system erbia-zirconia. «J. Amer. Ceram. Soc.», 1977, 60, № 11—12, 510—513 (англ.)

С помощью дилатометрии, дифрактометрии и высокотермической дифрактометрии изучены фазовые соотношения в системе  $\text{Er}_2\text{O}_3$  (I) —  $\text{ZrO}_2$  (II) в области, богатой II, и при т-рах до  $\sim 2400^\circ$ . Образцы готовили тщательным измельчением и перемешиванием с дальнейшим спеканием при  $1900^\circ$  в течение 4 час. в восстановительной атмосфере  $\text{Ar}$  с 5%  $\text{H}_2$ , прокаливанием на воздухе при  $1100^\circ$  в течение 48 час. Приведена фазовая диаграмма системы. Установлено, что т-ра превращения из тетрагон. формы в монокл. II уменьшается от  $1000^\circ$  для чистой II до  $500^\circ$  при 5 мол. % I. Обнаружено два соединения: с 40 мол. % I, гексагон.,  $a = 9,668 \pm 0,003$ ; с  $17,975 \pm 0,003$  Å; выше  $1500^\circ$  оно разлагается с образованием кубич. тв. р-ров флюоритного типа, и с 70 мол. % I, гексагон.,  $a = 9,807 \pm 0,003$ ; с  $18,468 \pm 0,003$  Å, к-рое разлагается выше  $1700^\circ$  с образованием тв. р-ров типа С-I. Р-имость I в монокл. II составляет  $< 1$  мол. %. Ниже  $500^\circ$  образуется смесь тв. р-ров на основе монокл. и кубич. II при содержании от 1 до 7 мол. % I.

Л. Г. Титов

~~2787~~

Ishigama M.

19<sup>th</sup>

~~2402~~

Sakurai T

Watanabe

J. Amer. Ceramic Soc.

1977, 60, 367  
P.

32

T·gr. ZrO<sub>2</sub>(K)

1977

# ZrO<sub>2</sub> - Sc<sub>2</sub>O<sub>3</sub>

87: 157764w The system zirconia-scandia. Ruh, Robert; Garrett, H. J.; Domagala, R. F.; Patel, V. A. (Air Force Mater. Lab., Wright-Patterson AFB, Ohio). *J. Am. Ceram. Soc.* 1977, 60(9-10), 399-403 (Eng). The ZrO<sub>2</sub>-Sc<sub>2</sub>O<sub>3</sub> system was investigated using x-ray diffraction, DTA, metallog., and m.p. methods. Results reveal the monoclinic  $\alpha_1$  phase (0 to 2 mol % Sc<sub>2</sub>O<sub>3</sub>), the tetragonal  $\alpha_2'$  phase (5 to 8% Sc<sub>2</sub>O<sub>3</sub>), the rhombohedral  $\beta$  phase (9 to 13% Sc<sub>2</sub>O<sub>3</sub>), the rhombohedral  $\gamma$  phase (15 to 23% Sc<sub>2</sub>O<sub>3</sub>), the rhombohedral  $\delta$  phase (24 to 40% Sc<sub>2</sub>O<sub>3</sub>), and the cubic  $\epsilon$  phase (77.5 to 100% Sc<sub>2</sub>O<sub>3</sub>). The monoclinic  $\alpha_1$  phase and the tetragonal  $\alpha_2'$  phase transform to the tetragonal  $\alpha_2$  phase over a wide temp. range depending on compn. The  $\beta$ ,  $\gamma$ , and  $\alpha$  phases transformed to a cubic phase at temps. of ~600, 1100, and 1300°, resp. A max. melting point of ~2570° was found at ~10% Sc<sub>2</sub>O<sub>3</sub> and a eutectic at ~2400° at 55% Sc<sub>2</sub>O<sub>3</sub>.

gazob.  
frablob.

C.A. 1977, 87 n20

ZrO<sub>2</sub>

1977

попом.  
4 Б784. Взаимодействие ZrO<sub>2</sub> с Cr<sub>2</sub>O<sub>3</sub>. Лопато Л. М., Шевченко А. В., Майстер И. М. «Изв. АН СССР. Неорганические материалы», 1977, 13, № 10, 1822—1824.

Методом отжига и закаливания, а также с помощью ДТА, хим. и микроструктурного анализа исследовано взаимодействие в системе ZrO<sub>2</sub> (I)—Cr<sub>2</sub>O<sub>3</sub> (II) в интервале т-р 1600—2400° в среде Ag. Построена диаграмма состояния системы, к-рая относится к эвтектич. типу (53 мол. % II и т. пл. 1850±10°). Т-ра перехода тетрагон. фазы I в кубич. соотв-ст 2330±25°.

Л. Г. Титов

х. 1978, 14

ZrO<sub>2</sub>

Оттиск 14576

1977

Семёнов Г.А., Белов Н.В.,  
Байдук В.Н. и др.,

сублима-  
ция

Труды Академии наук  
Литовской ССР, Серия б.,  
1977, № 115-125. т. 5(102),  
115-125.

1977

*ZrO<sub>2</sub>**Tet*

15 Б933. Фазовые равновесия и порядок в системе  $\text{ZrO}_2$ —CaO. Stubican V. S., Ray S. P. Phase equilibrium and ordering in the system  $\text{ZrO}_2$ —CaO. «J. Amer. Ceram. Soc.», 1977, 60, № 11—12, 534—537 (англ.)

С помощью высокот-рной дифрактометрии изучены фазовые соотношения в системе  $\text{ZrO}_2$  (I) — CaO в области составов I —  $\text{CaZrO}_3$  и т-р до  $\sim 2700^\circ$ . Образцы готовили термич. разл. нитратов при  $\sim 450^\circ$  или прокаливанием прессованных таблеток смесей I и  $\text{CaCO}_3$  при  $2050^\circ$  с дальнейшим гомогенизирующим отжигом при  $950$ — $1360^\circ$ . Приведена фазовая диаграмма системы. Установлено, что тетрагон. I переходит в кубич. I при  $2369 \pm 50^\circ$ . Установлено наличие стабильных тетрагон. и кубич. тв. р-ров выше  $1700^\circ$ . Единственной упорядоченной фазой является соединение  $\text{CaZr}_4\text{O}_9$  (II), к-рое разлагается выше  $1310 \pm 40^\circ$ . II — монокл.,  $a 17,813 \pm 0,005$ ;  $b 14,612 \pm 0,004$ ;  $c 12,065 \pm 0,003$  Å;  $\beta 119,50 \pm 0,02^\circ$ ;  $C 2/c$ ;  $Z=16$ .

Л. Г. Титов

X, 1978, N 15

ZrO<sub>2</sub>

1978

Зар...  
11 Б874. Полиморфное фазовое превращение до 1200° в технической двуокиси циркония, содержащей CaO. Neubaueг I., Romwalter A. Polymorphic phase transformation up to 1,200°C in technical grade zirconia containing CaO. «Rev. int. hautes temp. et réfract.», 1977, 14, № 4, 207—215 (англ.; рез. франц., нем.)

С помощью высокот-риого рентгенофазового анализа и рентгеновского микроанализатора исследовано полиморфное превращение в ZrO<sub>2</sub> (I) (98,2 вес.%) при различном содержании CaO (II). Показано, что после расплавления и затвердевания на воздухе при содержании II менее 2 вес.% I имеет монокл. структуру, а при содержании II более 3 вес.% могут еще присутствовать кубич. и тетрагон. модификации. При нагреве монокл. модификации наблюдается превращение в смесь тетрагон. и кубич. фаз или в тетрагон. фазу в области около 1200°. Обнаружено, что при содержа-

Tr

X.1978 N 11

нии II 0,73 мол.% переход происходит при  $1000^{\circ}$ , при 1,69 мол.% II переход начинается около  $400^{\circ}$  и заканчивается при  $1000^{\circ}$ , при 3,37 мол.% II переход полностью заканчивается при  $800^{\circ}$ . Добавка графита в систему сужает область превращения и делает его более заметным. Проведено новое определение межплоскостных расстояний, относит. интенсивностей и индексов Миллера для монокл. модификации. Полученные результаты сравниены с данными ASTM. Подчеркнута возможная связь фазового превращения в I с расположением стекол системы  $\text{Al}_2\text{O}_3-\text{SiO}_2$  при  $900^{\circ}$ .

Г. П. Апарников

2202 (u), Pacl.

Ceramob T. A ngr.

1977

leg. All Jurovsk. СССР., 1977,  
S, cep B, 115-125

Ch. 40

БР-XVII-2460

1977

ZrO<sub>2</sub>

24 Б835. Термодинамические характеристики образования окислов в области гомогенности двуокиси циркония моноклинной модификации ( $ZrO_2^M$ ) при высоких температурах и 298 К. Васильева И. А., Грановская Ж. В. «Ж. физ. химии», 1977, 51, № 8, 2100—2102

С использованием ранее полученных авторами экспериментальных данных рассчитаны  $\Delta H^0$ ,  $\Delta G^0$  и  $\Delta S^0$  образования окислов переменного состава в области гомогенности фазы  $ZrO_x$  (монокл.) при 298 и 1300 К. Значения  $\Delta H$  описаны уравнениями  $\Delta H_{298} = -187,06 - 38,00x$  ( $1,992 \leq x \leq 2,000$ );  $\Delta H_{298} = -6,78 - 128,51x$  ( $1,985 \leq x \leq 1,992$ );  $\Delta H_{1300} = -172,25 - 44,50x$  ( $1,992 \leq x \leq 2,000$ );  $\Delta H_{1300} = -30,01 - 115,92x$  ( $1,985 \leq x \leq 1,992$ ). Отмечено монотонное увеличение  $\Delta H$  с ростом  $x$  в  $ZrO_x$  и практическое постоянство  $\Delta S$ .

Л. Резницкий

X. 1977 N 24

1977

$ZrO_{2-x}$

92: 11940s Some methodological problems in the thermochemistry of inorganic materials. Ushakova, I. M.; Kornilov, A. N. (Mosk. Gos. Univ., Moscow, USSR). Vses. Konf.

Kalorim., [Rasshir. Tezisy Dokl.], 7th 1977, 1, 29-30 (Russ.). Akad. Nauk SSSR, Inst. Khim. Fiz.: Moscow, USSR. One of the problems which occur in the detn. of the heats of combustion of inorg. compds. is due to not knowing the exact compns. of the products of incomplete oxidns. The heats of formation of nonstoichiometric  $ZrO_{2-x}$  were redetd.

A Hf

C.A. 1680, G2, NL

1252

Ackermann R.J., Rauch E.B.  
1978

-  
Sprudel

Rev. int. Hautes Temp.  
Refract., Fr., 1978, 15, 259

$\delta H_f$   $ZrO_2$ ,

1978

Ackermann R.J., Garg S.P.,  
Rauh E.G.

Qas. quartz

22-0

J. Am. Ceram. Soc., 1978,  
61, p. 275

R



19.7.8

ZrO<sub>2</sub>

20 Б921. Полиморфизм и некоторые аспекты, связанные со стабилизацией двуокиси циркония. Glanz G., Zuda A., Goran M., Crivăț Doina. Polimorfismul bioxidului de zirconiu și aspecte privind stabilizarea. «Stud. și cerc. fiz.», 1978, 30, № 2, 157—177 (рум., рез. англ.)

Рассмотрена фазовая диаграмма двуокиси циркония. Исследована структура различных крист. фаз, описаны механизмы и кинетика фазовых переходов. Особое внимание уделено структуре и способам получения кубич. модификации, имеющей важное практическое применение.

Резюме

фазов.  
диагр.

2.1978, N 25

*ZrO<sub>2</sub>*

(Tr)

1948

92; 100250z Phase diagram of the zirconia-yttria system in the region of low yttria content. Gorelov, V. P. (USSR). *Tr. Inst. Elektrokhim., Ural. Nauchn. Tsentr, Akad. Nauk SSSR* 1973, 26, 69-75 (Russ). Phase compns. were detd. at 1-12 mol % Y<sub>2</sub>O<sub>3</sub> and 1300-2000°. A new phase with tetragonal structure (T<sub>2</sub>) has lattice parameters  $a \approx 6.125$ ,  $c \approx 5.152$  compared to the T<sub>1</sub> phase with  $a \approx 5.003$ ,  $c \approx 5.180$  Å. A eutectoid type phase diagram is obtained. The lower boundaries of cubic solid soln. at 1300, 1500, 1760, and 2000° are  $7.8 \pm 0.2$ ,  $7.5 \pm 0.2$ , and  $6.8 \pm 0.2$  mol % Y<sub>2</sub>O<sub>3</sub>, resp. Phase transitions of ZrO<sub>2</sub> occur at 1200 (monoclinic  $\rightarrow$  tetragonal), 2300 (I<sub>1</sub>  $\rightarrow$  T<sub>2</sub>), and 2500° (tetragonal  $\rightarrow$  cubic).

C.A.1980. 22, 112

1978

*ZrO<sub>2</sub>*

10 Б1293. Растворимость двуокиси циркония в расплавленной эквимолярной смеси хлоридов натрия и калия. Комаров В. Е., Кротов В. Е. «Тр. Ин-та электрохимии Уральск. науч. центр. АН СССР», 1978, № 27, 61—64

*расство-  
римость*

Определена р-имость ZrO<sub>2</sub> (I) в расплавленной эквимол. смеси NaCl—KCl методом изотермич. насыщения в интервале 973—1134° К под атмосферой инертного газа. Она описывается ур-нием [Zr] (раств) =  $-(5,7 \pm 3,1) \cdot 10^{-6} + (7,0 + 3,0) \cdot 10^{-9} T$  (мол. доли). Величины, полученные экспериментально, сравниваются с рассчитанными на основе предположения, что р-рение I происходит только по хим. механизму. Рассчитаны термодинамич. характеристики процесса р-рения I в NaCl—KCl ( $\Delta H^* = 21600 \pm 12500$  дж/моль,  $-\Delta S^* = 89,8 \pm 15,8$  дж/моль·град), из к-рых следует, что р-рение I происходит преимущественно по физ. механизму. Резюме

Х. 1979, N/0

*ZrO<sub>2</sub>*

1548

8 Б420. Полиморфизм ZrO<sub>2</sub> при высоком давлении.  
Литягина Л. М., Кабалкина С. С., Пашкина Т. А., Хозяинов А. И. «Физ. тверд. тела», 1978, 20, № 11, 3475—3477

Проведено рентгенографич. исследование полиморфизма ZrO<sub>2</sub> в условиях высокого давл.— до 130 кбар и при т-ре 20—450°. Устойчивая в обычных условиях монокл. модификация при т-ре 450° и давл. 20—25 кбар (или при т-ре 400° и давл. 30—35 кбар) претерпевает «вялый» полиморфный переход с двухфазной областью, составляющей ~100 кбар, с образованием ромбич. модификации с параметрами решетки (при 450° и 99 кбар):  $a \approx b = 5,016 \text{ \AA}$ ,  $c = 5,230$ ,  $\rho(\text{изм.}) = 6,22$ ,  $Z = 4$ , ф. гр.  $P2_12_12_1$ . Приведены значения  $I$ ,  $d(hkl)$  рентгенограмм порошка ромбич. ZrO<sub>2</sub>. Подвергается сомнению ранее высказанное предположение (Kulcinski, J. Amer. Ceram. Soc., 1968, 51, 582) о существовании полиморфного перехода монокл. ZrO<sub>2</sub> в тетрагон. фазу при т-ре 25° и давл. 33 кбар.

С. В. Соболева

*полеодир.  
тунн.,  
парасел.  
реестри*

х. 1549/18

1978

ZrO<sub>2</sub>

З Е640. Полиморфизм ZrO<sub>2</sub> при высоком давлении.  
 Литягина Л. М., Кабалкина С. С., Пашкина Т. А., Хозяинов А. И. «Физ. тверд. тела», 1978,  
 20, № 11, 3475—3477

Рентгенографическим методом изучена структура ZrO<sub>2</sub> при давлениях до 130 кбар и т-рах от комнатной до 450° С. Обнаружен «вязкий» полиморфный переход исходной моноклинной фазы в ромбическую, растянутый на интервал давлений ~60 кбар (переход начинается при ~20 кбар, заканчивается при ~80 кбар). При норм. условиях фаза высокого давления не сохраняется.

Э. Э.

Ф. 1949 № 3

$ZrO_2(k)$  Lommel 12737 | 1978  
Sata T., et al.

(P) Rept Res. Laboratory  
of Engineering Materials,  
1978, v3, 41-52  
~

$\text{ZrO}_2(\text{k})$

March 12739 | 1978

Saito T., et al.

Proc. Intern. Symp.  
(P) of Factors Densification  
and sintering of Oxide  
and non-oxide Ceramics  
1978, Japan, p. 182 - 187

ZnO<sub>2</sub> stubican V.S. Mink R.C.,  
4418 Ray S.P. 1978

Venk J. Amer. Ceram. Soc.,  
1978, 61, 17  
P.

65

M.g. ZnO<sub>2</sub>(K)

ZrO<sub>2-x</sub>

Отмечек 8939

1979

11 Б794. Термодинамические свойства субстехиометрической двуокиси циркония у нижней фазовой границы. Ackermann R. J., Garg S. P., Rauh E. G. The thermodynamic properties of substoichiometric zirconium dioxide at the lower phase boundary. «High Temp. Sci.», 1979, 11, № 3, 199—210 (англ.)

Эффузионным методом в интегральном и дифференциальном вариантах и сочетанием эффективного метода с масс-спектрометрической регистрацией продуктов испарения в интервале т-р 1900—2500 К исследована двухфазная система: насыщенный кислородом Zr (тв. или жидк.) — ZrO<sub>2-x</sub> (тв.). Система начального брутто-состава ZrO<sub>1,4</sub> помещалась в W-ячейки Кнудсена. Из эффективных экспериментов для зависимости равновесного давл. от т-ры в интервале 2219—2453 К получено ур-ние:  $\lg P \text{ (атм)} = -(31\,800 \pm 410)/T + (7,90 \pm 0,172)$ . Измерения с помощью масс-спектрометра дали для парц. давл. компонентов след. ур-ния:  $\lg P_{\text{Zr}} =$

тестиров.  
св-ва

Х-1630.111

$\lg P_{\text{Zr}} = -29 \frac{150}{T} +$   
 $-32 \frac{250}{T} + 7,47$  (1890–2338 K),  
 $+6,14$  (2338–2470),  
 $\lg P_{\text{ZrO}} = -32 \frac{430}{T} + 8,05$   
 $(1890–2338)$ ,  
 $\lg P_{\text{ZrO}} = -29 \frac{080}{T} + 6,62$  (2338–2470),  
 $= -36 \frac{680}{T} + 7,09$  (1890–2338).  
 $\lg P_{\text{ZrO}_2} =$   
 $-32 \frac{330}{T} + 5,18$  (2338–2470),  
 $+7,53$  (1890–2338),  
 $\lg P_{\text{o}} = -41 \frac{260}{T} +$   
 $-40 \frac{330}{T} + 7,05$  (2338–2470).  
 Погрешность в  $P$  составляет  $\pm 10\%$  для первых 4-х  
 ур-ний и  $\pm 20\%$  для остальных 4-х. Для  $\text{Zr}$  в тв.  
 металлич. фазе установлено отриц. отклонение от  
 идеальности, практически исчезающее с приближением  
 к эвтектике (2338 K). В окисной фазе при всех т-рах  
 $\text{Zr}$  проявляет большое положит. отклонение. У  $\text{ZrO}_2$   
 в обеих фазах наблюдается незначит. отриц. отклоне-  
 ние, к-рое слабо зависит от т-ры. Для  $\Delta G_t^0$  (обр.  
 $\text{ZrO}_{2-x}$ ) ниже эвтектич. точки предложена зависимость  
 $\Delta G_t^0 = -(269 \frac{700}{T} \pm 2000) + (54,36 \pm 0,96) \cdot T$  кал/моль.

В. В. Чепик

$ZrD_2(2)$  [Омск 14406] 1979  
XVIII - 7190

Баев А. Н., Сафиуллов Г. А.,

Р. геогр. обз., 1979,  
53 (12), 3050 - 3054.

(см. ThO<sub>2</sub>-I)

$ZrO_2$

Он 40650

1949

12 Е264. Энтальпия и теплоемкость двуокиси циркония в области температур 1100—2500° К. Чеховской В. Я., Жукова И. А., Тарасов В. Д. «Теплофиз. высок. температур», 1979, 17, № 4, 754—758

Приведены результаты измерения энтальпии, теплоемкости, т-ры и теплоты полиморфного превращения двуокиси циркония. Полученные данные сравнены с результатами других авторов. Библ. 24.

Резюме

$Cp; H-H$

0.19.09.12

$ZrO_2$

On 40650

1979

91: 163983r Enthalpy and heat capacity of zirconium dioxide in the 1100-2500 K range. Chekhovskoi, V. Ya.; Zhukova, I. A.; Tarasov, V. D. (Inst. Vys. Temp., Moscow, USSR). *Teplofiz. Vys. Temp.* 1979, (4), 754-8 (Russ). Heat capacity and enthalpy of zirconium dioxide [1314-23-4] were detd. as well as temps. and heats of polymorphic transformations.

$(C_p, \Delta H, \Delta H_{tr})$

C.A.1979,91N20

ZnO<sub>2</sub>  
310

Тороков А.Н., Турсаров А.В.  
Сибирьков А.Н. 1949

Ерникова

Бюлл. зисс. Всес. конгрессии  
по химии и химич.  
термодинамике. Иваново, 25-27  
сент. 1979, с.329

ст. ZnO<sub>2</sub>,

$ZrO_2[T_{tr}]$

1979

XVII-3050

Итдишта А.М., Кабакчук С.С., Пашкета  
Т.Н., Козянилов Н.Н.

Физ. Твердого тела, 1978, 20, №11, 3445.

Полиморфизм  $ZrO_2$  при быстром охлаждении



130 K

450°C

РХФ. ЗЕ640

6702  
673 Матрас Н.А., Михай Б.С.  
1979

Кедровые леса в окрестностях  
М. А. Межакульского, 1979

71 н.р. ZrO<sub>2</sub> (K, nc)

ZrO<sub>2</sub>

Moueeeb T.R. uggs.

1979

(Tm, P, SHV, ss) Jena. Access, 1979,  
246(3), 656-8

(cav. CaO; I)

*ZrO<sub>2</sub>*

*CeO<sub>2</sub>*

*playob.  
guitarj.*

93: 13886p Equilibrium and metastable phases in the zirconia-ceria system. Yoshimura, Masahiro; Tani, Hideharu; Munemiya, Shigeyuki (Tokyo Inst. Technol., Tokyo, Japan). Koen Yoshishu - Kotai Ionikusu Toronkai, 7th 1979, 25-6 (Japan). Tokyo Daigaku Kogakubu: Tokyo, Japan. The status of studies on the ZrO<sub>2</sub>-CeO<sub>2</sub> system is briefly reviewed, and the results of investigations on the equil. and metastable states of this system under hydrothermal conditions are reported. Equil. is attained under hydrothermal conditions, with the solid-soln. regions for both CeO<sub>2</sub> and ZrO<sub>2</sub> becoming narrower at lower temps. Further, the tetragonal phase is not stable below 700°. Hence, phase diagrams appearing in the literature are assumed to show the low-temp. region metastable states obtained by freezing the high-temp. phases.

1979

(71) 11



CA 1980 93 n 2

*1979*  
ZrO<sub>2</sub>-NbO<sub>2</sub>

NbO<sub>2</sub>

91: 129792t High temperature thermodynamics and vaporization of the zirconium-niobium-oxygen system. Rinehart, G. H. (Dep. Chem., Univ. Kansas, Lawrence, KS USA). Report 1978, COO-140-224, 424 pp., (Eng). Avail. NTIS. From Energy Res. Abstr. 1979, 4(11), Abstr. No. 30984. The vaporization behavior of the Zr-Nb-O system was studied by means of successive vaporization, Knudsen effusion-target collection expts., and mass spectrometric anal. of the vapors effusing from a Knudsen crucible. The successive vaporization expts. were performed on 2 ternary samples in open crucibles. X-ray powder diffraction patterns of the residues and x-ray fluorescence anal. of the condensates and residues indicated the preferential

(A H 5/6)

(+) ◻



P. A 1949 21 N16

vaporization of Nb contg. species with the compn. of the residue subsequently becoming closer to that of congruently vaporizing ZrO<sub>2</sub>. The Knudsen effusion-target collection expts. were employed on 2 samples, pure NbO<sub>2</sub>(s) and a 2-phase ZrO<sub>2</sub>-NbO<sub>2</sub> mixt., in order to obtain information on the activity of NbO<sub>2</sub> in the 2-phase mixt. Second law heats and entropies of sublimation as well as 3rd law heats were obtained for both systems. The vaporization behavior of 5 compns. in the Zr-Nb-O system, NbO<sub>2</sub>, NbO, a ZrO<sub>2</sub>-NbO<sub>2</sub> 2-phase mixt., Nb<sub>2</sub>O<sub>5</sub>, and Zr<sub>6</sub>Nb<sub>2</sub>O<sub>17</sub>, were investigated. Above Nb<sub>2</sub>O<sub>5</sub> and the fully oxidized Zr<sub>6</sub>Nb<sub>2</sub>O<sub>17</sub>, oxygen is preferentially lost; over NbO<sub>2</sub>, the 2-phase ZrO<sub>2</sub>-NbO<sub>2</sub> system, and NbO the principal gaseous species is NbO<sub>2</sub>.

ZnO <sub>2</sub>	Стегний А.И., Шевченко А.В.
977	Лопато И.М., Рудан А.К., Дверниятов В.С., Пасынков В.В.
литер	Докл. А.Н. Укр ССР, А, 1979, №6, 484
68	н.р. ZnO <sub>2</sub> (K)

$ZrO_{(2)}$

Lorraine 10014

1980.

Alcock C.

(180)

Pure and Appl. Chem.

1980, 52, 1817 - 27

ZrO<sub>2</sub>(2)

Лонгуск 14407 | 1980

Балов А. Н., Селихнов Г. А.,

P Ил. опубл. земл., 1980, 54,  
(6), 1537 - 1541.

(ces. ThO<sub>2</sub>; I)

1980

*ZrO<sub>2</sub>*

*HfO<sub>2</sub>*

*фазов.  
переход*

(+)

*Ф. 1980*

*N 8*

8 Е788. Исследование высокотемпературных фазовых переходов в твердых растворах на основе ZrO<sub>2</sub> и HfO<sub>2</sub> методом комбинационного рассеяния света. Беронько Ю. К., Игнатьев Б. В., Ломоносова Е. Е., Осико В. В., Соболь А. А. «Физ. тверд. тела», 1980, № 4, 1034—1038

Показаны возможности спектроскопии комбинационного рассеяния света (КРС) в исследовании высокотемпературных фазовых превращений в чистой ZrO<sub>2</sub> и твердых растворах на основе ZrO<sub>2</sub> и HfO<sub>2</sub>. Использование лазера на парах меди в качестве источника возбуждения и применение схемы стробирования позволило расширить температурный интервал исследований спектров КРС до 1800° К. Обнаружен и исследован гистерезисный характер бездиффузионного моноклинно-тетрагонального перехода в кристаллах ZrO<sub>2</sub> и HfO<sub>2</sub> с примесью  $TR_2O_3$  ( $TR = Yb^{3+}, Gd^{3+}$ ). Впервые зарегистрировано тетрагонально-моноклинное превращение в кристаллах HfO<sub>2</sub> с примесью  $TR_2O_3$  — 5 мол. %, которое не происходит в кристаллах ZrO<sub>2</sub> с такой же концентрацией примеси.

Резюме

1980

# ЗУО<sub>2</sub> (узд. сокретив.)

20 Б651 Деп. Исследование удельного электросопротивления стабилизированной двуокиси циркония в интервале температур 1100—2500 К. Гутман М. Б., Орлов Б. К., Грязнов А. Г., Мальтер В. Л., Хайрутдинова Р. Г. Редкол. ж. «Теплофиз. высок. т-р» АН СССР. М., 1980. 9 с., ил. библиогр. 4 назв. (Рукопись деп. в ВИНИТИ 27 июня 1980 г., № 2620—80 Деп.)

Приведены методика и результаты эксперим. исследования электросопротивления двуокиси циркония, стабилизированной окисью иттрия. Подобраны эмпирич. ф-лы для описания т-рной зависимости электросопротивления.

Автореферат

рах на

ZrO<sub>2</sub>

Lommel 12946 | 1980.

Hlavic J.

(Tm) IUPAC commission on  
High temperatures and  
Refractory materials.  
Melting temperatures of  
refractory oxides. Part I

$ZrO_2$   
 $HfO_2$

ЗР-XVII-8055

1980

9 E782. Новые фазы высокого давления  $ZrO_2$  и  $HfO_2$ . New high pressure phases of  $ZrO_2$  and  $HfO_2$ . Liu Lin-Gun. «J. Phys. and Chem. Solids», 1980, 41, № 4, 331—334 (англ.)

Новые фазы  
высокого  
давления

(+)

На установке высокого давления с алмазными наковальнями и лазерным нагревом исследованы фазовые переходы в  $ZrO_2$  и  $HfO_2$  в интервале давлений от 80 до 300 кбар и т-рах выше  $1000^\circ C$ . В  $ZrO_2$  и  $HfO_2$  при давлениях соответственно выше 100 и 150 кбар обнаружен переход в структуру типа котунита ( $PbCl_2$ ). При комнатной т-ре и норм. давлении новая фаза имеет следующие параметры (в Å):  $ZrO_2: a=3,328\pm0,002$ ,  $b=5,565\pm0,004$ ,  $c=6,503\pm0,005$ ;  $HfO_2: a=3,311\pm0,002$ ,  $b=5,550\pm0,004$ ,  $c=6,461\pm0,005$ . Предполагается, что при  $T=1000^\circ C$  или ниже при повышении давления происходят превращения: бадделеит (моноклинная) — тетрагональная структура — котунит ( $PbCl_2$ ) с координационными числами 7, 8 и 9.

Е. С. Алексеев

Ф. 1980 № 9

БР-XVII-3055

1980

$ZrO_2$   
 $HfO_2$

( $T_{tr}$ )

- ✓ 15 Б987. Новые фазы высокого давления в  $ZrO_2$  и  $HfO_2$ . Lin Lin-gu n. New high pressure phases of  $ZrO_2$  and  $HfO_2$ . «J. Phys. and Chem. Solids», 1980, 41, № 4, 331—334 (англ.)

С помощью аппарата высокого давл. с алмазными наковальнями в диапазоне 80—300 кбар при  $1000^\circ$  исследованы фазовые переходы в образцах  $ZrO_2$  и  $HfO_2$ . спектрографич. чистоты. Давл. с точностью  $\pm 10\%$  оценивалось калибровкой по смещению линий в  $NaCl$ . Нагрев образца осуществлялся за счет абсорбции лазерного излучения образцом, содержащим 1% диспергированного графита. Т-ра грубо оценивалась по свечению образца. После закалки и снятия давл. образцы исследовались в станд. аппаратуре рентгенофазового анализа. В  $ZrO_2$  при 100 кбар и  $1000^\circ$  помимо исходной фазы бадделейта появилась новая фаза, при 200 кбар на-

⊕ ⊖

Х 1980 № 15

блюдалось полное превращение. Следов кубич. и тетрагон. фаз не обнаружено. Новая фаза ромбич. структуры  $a$   $3,328 \pm 0,002$ ,  $b$   $5,565 \pm 0,004$ ,  $c$   $6,503 \pm 0,005\text{Å}$ , структурный тип  $\text{PbCl}_2$ , пр. гр.  $Pmnb$  мол. объем, рассчитанный из 4 формульных единиц на ячейку, равен  $18,13 \pm 0,04 \text{ см}^3$ . В  $\text{HfO}_2$  в диапазоне давл. 80—120 кбар наблюдается только фаза бадделента с  $d$   $2,95\text{Å}$ , новая фаза типа  $\text{PbCl}_2$  появляется при давл. выше 160 кбар, полный переход при 220 кбар,  $a$   $3,311 \pm 0,002$ ,  $b$   $5,550 \pm 0,004$ ,  $c$   $6,461 \pm 0,005\text{Å}$ , мол. объем  $17,88 \pm 0,04 \text{ см}^3$ . На основе лит. и эксперим. данных построена гипотетич. фазовая диаграмма  $\text{ZrO}_2$  и  $\text{HfO}_2$ . Получение промежут. фаз в экспериментах др. авторов объясняется недостаточной скоростью закаливания образцов.

В. А. Ступников

1980

ZrO<sub>2-x</sub>

20 Б958. Фазовая граница [перехода] кубический  $ZrO_{2-x}$  — кубический+тетрагональный  $ZrO_{2-x}$ . Rauh E. G., Garg S. P. The  $ZrO_{2-x}$ (cubic)- $ZrO_{2-x}$ (cubic+tetragonal) phase boundary. «J. Amer. Chem. Soc.», 1980, 63, № 3—4, 239—240 (англ.)

(Tz)

P

Границы фазовых областей полиморф. модификаций  $ZrO_2$  определены с использованием масс-спектрометрич. метода в интервале т-р 1840—2855 К. Использовались W-эффузионные ячейки. Получены зависимости ионных токов для составов  $ZrO_{1,98}$  и  $ZrO_{1,96}$ . Зависимость  $\lg I(ZrO_2) - 1/T$  линейна и пар. давл.  $ZrO_2$  не зависит от состава тв. фазы. Однако зависимости  $\lg I(ZrO^+) - 1/T$  для составов  $ZrO_{1,98}$  и  $ZrO_{1,96}$  обнаруживают отклонения от линейности при т-рах ниже 2325 и 2170 К соотв. В интервале 2170—1840 К эксперим. данные для обоих ионных токов аппроксимируются одной прямой. Это указывает на независимость парц. давл.  $ZrO_{(газ)}$  от состава при этих т-рах. Фаза  $ZrO_{1,98}$  является ре-

Рах №20

альной при  $T < 2325$  К, фаза  $ZrO_{1,96}$  — при  $T > 2325$  К, в интервале 1840—2170 К существует двухфазная область. Диаграмма состояния  $ZrO_{2-x}$  построена с учетом полученных и лит. данных для отношения  $O/Zr = 1,5—2,0$  и интервале  $2170 < T < 2890$  К (т. пл.  $ZrO_2$ ). Выявлена фазовая граница  $ZrO_{2-x}$  (куб.) —  $ZrO_{2-x}$  (куб.+тетрагональная).

Л. А. Резницкий

УСА.

$ZrO_{2-x}$

1980

10 E736. Фазовая граница между областью кубической фазы и двухфазной (кубическая+тетрагональная) областью  $ZrO_{2-x}$ . The  $ZrO_{2-x}$  (cubic)- $ZrO_{2-x}$  (cubic+tetragonal) phase boundary. Rauh E. G., Garg S.P. «J. Amer. Ceram. Soc.», 1980, 63, № 3—4, 239—240 (англ.)

Определена фазовая граница между однофазной областью  $ZrO_{2-x}$  кубич. модификации и двухфазной, которую образуют кубич. и тетраг. модификации  $ZrO_{2-x}$ . Положение фазовой границы определено для четырех т-р (1770, 1840, 2170, 2350° К) по данным масс-спектрометрич. измерений. Нижняя граница двухфазной области ~1770° К, максим. т-ра устойчивости одновременно кубич. и тетраг. фаз 2650° К. В зависимости от содержания кислорода тетраг. модификация стабильна от 63,7% до 66,6% O, что эквивалентно изменению соотношения O/Zr от 1,75 до 2,0.

Ю. Шиянов

Ф. 1980 № 10

$ZrO_2$

(876. P-PK)

масс-спектр.

исследов.

центровки

бактерии

$ZrO_2-Y_2O_3$ .

комиссия 11406

1981.

Бедов А.Н. и др.

ал. физ. журн.,  
1981, 55 (4), 932-37.

1981

 $ZrO_2$  $Y_2O_3$ фазовые  
переходы(+) 

ф. 1981 № 9

9 Е657. Структурный беспорядок и фазовые переходы в системе  $ZrO_2-Y_2O_3$ . Structural disorder and phase transitions in  $ZrO_2-Y_2O_3$  system. Feinberg A., Реггу С. Н. «J. Phys. and Chem. Solids», 1981, 42, № 6, 513—518 (англ.)

Фазовые переходы в системе  $ZrO_2-Y_2O_3$ , содержащей 4,6; 9 и 12 мол.%  $Y_2O_3$ , исследованы методами комбинационного рассеяния света и ИК-спектроскопии ( $10-1200 \text{ см}^{-1}$ ) в интервале 4—1500 К. Определены частоты и симметрия колебательных мод для кубической, тетрагональной и моноклинной фаз. LO—TO-расщепление ИК-активных фононов четко проявляется и почти удовлетворяет соотношению Лиддана—Сакса—Теллера, но последнее нарушается при высоких т-рах. Кубич. фаза оказалась структурно-разупорядоченной, причем для соединений  $ZrO_2$  с 12 мол.%  $Y_2O_3$  структурное разупорядочение однозначно связано с кислородными вакансиями. Спектр кубич. фазы сравнивается с расчетом, выполненным в модели жестких ионов. Библ. 28.

С. Д. Прохорова

1981

*ZrO<sub>2</sub>**ZrO<sub>2</sub>-Y<sub>2</sub>O<sub>3</sub>*(T<sub>r</sub>)фазовые  
переходы

№ 18

Х. 1981, N 19

19 Б1038. Структурное разупорядочение и фазовые переходы в системе ZrO<sub>2</sub>—V<sub>2</sub>O<sub>3</sub>. Feinberg A., Регу C. H. Structural disorder and phase transitions in ZrO<sub>2</sub>—Y<sub>2</sub>O<sub>3</sub> system. «J. Phys. and Chem. Solids», 1981, 42, № 6, 513—518 (англ.)

Изучены различные фазовые переходы в системе ZrO<sub>2</sub>—Y<sub>2</sub>O<sub>3</sub> (I) при 12; 4,6 и 0 мол.% I с помощью ИК- и КР-спектроскопии. Спектры снимались после выдержки образца при постоянной т-ре не менее 20 мин., с целью удаления кинетич. эффектов и стабилизации т-ры. ИК-измерения проводились в интервале 10—1200 см<sup>-1</sup>. Получены спектры большого числа полиморфных форм ZrO<sub>2</sub>. Из 18 разрешенных нормальных мод КР при низких т-рах обнаружено только 14. С ростом т-ры наблюдалось расширение и слияние пиков и общее смещение спектров в низкие частоты. Результаты представлены в виде таблицы ИК- и КР-частот, связанных с ними симметрий различных модификаций, в зависимости от состава образцов и т-ры. Показано, что при 1425 K имеет место фазовый переход 1-го рода от монокл.  $C_{2h}^5$  (4 моля на ячейку) к тетрагон.  $C_{4h}^{15}$  (2 моля на ячейку) решетке в чистом ZrO<sub>2</sub>. Образец с 4,6% I имеет при комн. т-ре тетрагон. решетку с небольшим сдвигом. Обнаружено быстрое расширение мод,

связанных с тетрагон. фазой при 1300 К, к-рое объясняется влиянием ангармонизма, диффузией анионов кислорода и увеличением динамич. структурного разупорядочения кислородной подрешетки. Отмечено сильное сходство спектров образца с 4,6% I при высокой т-ре и образца с 12% I при комн. т-ре, а также спектров чистого  $ZrO_2$  при высокой т-ре и образца с 4,6% при комн. т-ре. Получен поляризованный КР спектр образца с 12% I с геометрией рассеяния  $Y'(X'Y')X'$  ( $3E_g$ ),  $Y'(ZZ)X'(A_{1g}+4E_g)$  и  $Y'(X'Z)X'(F_{2g})$ , где  $X'=110$ ,  $Y'=110$  и  $Z=001$  для т-ры 300 К. Сделан вывод о существовании статич. разупорядоченной кислородной подрешетки в стабилизированной кубич. фазе (образец с 12% I). Вычислены частоты ТО и LO мод, низкочастотные диэлектрич. постоянные. В рамках модели жестких ионов построена гистограмма плотности однофононных состояний и проведено ее сравнение со спектром КР образца, содержащего 12% I. Обнаружено, что вклад от высокочастотных оптич. мод точек  $L_1$ ,  $L_1'$  и  $M_5'$  имеет  $A_{1g}+F_{2g}$  симметрию, а низкочастотные акустич. моды точек  $L_3'$  и  $M_5'$  имеют  $E_g+F_{2g}$ -симметрию.

С. К. Карепанов

ZrO

Ommick 12/1981

95: 210054h The congruently vaporizing compositions and thermodynamic properties of the cubic phase of substoichiometric zirconium dioxide. Rauh, E. G.; Garg, S. P. (Chem. Div., Argonne Natl. Lab., Argonne, IL 60439 USA). *High Temp. Sci.* 1981, 14(2), 121-34 (Eng). The congruently vaporizing compns. of ZrO<sub>2</sub> in W and Rh effusion cells were detd. at 2350-2860 K. The vaporization behavior of substoichiometric ZrO<sub>2</sub> was investigated by a combination of mass, effusion and mass spectrometric techniques at 1850-2860 K. The partial pressures of the gaseous species Zr(g), ZrO(g), ZrO<sub>2</sub>(g), and O(g), as functions of temps., were detd. at 4 compns. between ZrO<sub>2</sub> and the lower phase boundary ZrO<sub>2-x</sub>. The std. Gibbs energies of formation of the substoichiometric dioxides were detd. as functions of temp. and compn.

⊗

+2

ZrO<sub>2</sub>, ZrO<sub>2-x</sub>

C.A.1981, 95, N24 (see ZrO; I)

1981

$ZrO_2$

4 Б612. Осевое и линейное тепловое расширение  $ZrO_2$  и  $HfO_2$ . Ruh Robert, Hollenberg Glenn W., Skagos Samuel R., Stoddard Stephen D., Gac Frank D., Charles E. G. Axial and linear thermal expansion of  $ZrO_2$  and  $HfO_2$ . «Amer. Ceram. Soc. Bull.», 1981, 60, № 4, 504—506 (англ.)

Исследовано тепловое расширение (ТР) монокл.  $ZrO_2$  (I) и  $HfO_2$  (II) высокой чистоты. По данным высокотрной рентгенографии в интервале т-р 20—1200° у обоих в-в монокл. угол  $\beta$  уменьшается, параметр  $b$  растет крайне мало. Величины кэф. ТР ( $\cdot 10^6$  град. $^{-1}$ ) для  $a$ ,  $b$ ,  $c$ ,  $V$  соотв.: 9,2, 1,4, 10,9, 22,9 у I и 7,4, 0,06, 12,2 и 20,6 у II. Линейное ТР изучено в кварцевом дилатометре (до 1000°, атмосфера азота) и с оптич. интерферометром (до 600° на воздухе). Линейные кэф. ТР при нагревании:  $7,15 \cdot 10^{-6}$  у I и  $4,4 \cdot 10^{-6}$  у II. При охлаждении II отмечен гистерезис кэф. По данным рентгенографии эти величины составляют  $7,6 \cdot 10^{-6}$  у I и  $6,9 \cdot 10^{-6}$  у II. Сопоставлены результаты разных авторов.

В. А. Ефремов

+1

X. 1982, 19, № 4

*ZrO<sub>2</sub>*

*1982.*

21 Б1033. Изучение полиморфизма ZrO<sub>2</sub> при высоком давлении методом спектроскопии комбинационного рассеяния. Arashi H., Ishigame M. Raman spectroscopic studies of the polymorphism in ZrO<sub>2</sub> at high pressures. «Phys. status solidi», 1982, A71, № 2, 313—321 (англ.; рез. фр.)

Для исследования крист. структуры фазы высокого давл. ZrO<sub>2</sub>, на аппаратуре с алмазными наковальнями в диапазоне давл. 2,05—9,00 ГПа при коми. т-ре измерены спектры КР порошкообразных образцов. В качестве среды, передающей давл., использовались метанол и NaCl. Датчиком давл. служила степень сдвига люминесцентной линии рубина. Ширина этой линии служила

индикатором степени гидростатичности ячеек высокого давл. Давл. обратимого фазового превращения ZrO<sub>2</sub> в метаноле 3,5 (область сосуществования двух фаз до 3,73), в NaCl 5,4 (область сосуществования до 7 ГПа). В фазе низкого давл. наблюдалось 15 линий КР, в фазе высокого давл. 19. Результаты показывают, что крист. структура фазы высокого давл. принадлежит к ромбич. системе, однако вопрос о ее пространственной группе остался открытым.

*полиморф —  
фазы*

*X. 1982, 19,  
N 21*

В. А. Ступников

ZrO<sub>2</sub>

Lommel 13510 | 1982

Mlavac J.,

T<sub>m</sub>=2710±25 Pure α Apple chem.,  
1982, 54(3), 682-688.

ZrO<sub>2</sub>

Ommeck 14035

1982

Hlavac J.,

Tm; Pure J. Appl. Chem., 1982,  
54, N3, 681-688.

ZrO<sub>2</sub>(K)

1982

Par-Kratz Y.B.

Thermodynamic Proper-  
ties of Elements and  
Oxides USA Bur. Mines  
Bull. 672. (y meghezé)

$ZrO_2$

1982

21 Б989. Фазовые равновесия и термическое поведение циркона. Рена Р., De Aza S. Equilibri di fase e comportamento termico dello zirconio. «Ceramica», 1982, 35, № 2, 23—30 (ит.; рез. англ.)

На основе термодинамич. расчетов и рассмотрения фазовых диаграмм с участием  $ZrO_2$  изучено влияние примесей на термич. разл. и т. п. естественных минералов типа циркона.

Резюме

21 Б990. Соединения в системе  $Na_2O—Y_2O_3—SiO_2$ . Cervantes Lee F., Magg J., Glasser F. P. Compounds in the  $Na_2O—Y_2O_3—SiO_2$  system. «Ceram. Int.», 1981, 7, № 2, 43—47 (англ.)

С помощью поляризац. микроскопии и рентгенографии изучены фазы, образующиеся в системе  $Na_2O—Y_2O_3$  (I)— $SiO_2$  (II). Образцы готовили сплавлением смеси  $Na_2CO_3$ , I (99,98%) и II (кварц). Установлено образование след. фаз:  $NaY_9Si_6O_{26}$  со структурой апа-

термодинам

X. 1982, 19, № 21

$ZrO_2$

1983

1 E748. Масс-спектрометрическое исследование испарения твердых растворов системы  $ZrO_2-Ln_2O_3$ . Белов А. Н., Лопатин С. И. «Изв. АН СССР. Неорганические материалы», 1983, 19, № 9, 1515—1517

Изучены закономерности испарения и измерены парциальные давления газообразных компонентов над твердыми растворами системы  $ZrO_2-Ln_2O_3$  при 2700 К. В пределах погрешностей парциальное давление  $LuO$  (г.) пропорционально молярной доле  $Lu_2O_3$  в растворе.

Резюме

⊗(+)  $Lu_2O_3$   
окт. 1984, 18, N 1

$ZrO_2$

1983

3 E579. Мартенситное зарождение в  $ZrO_2$ . Marten-  
sitic nucleation in  $ZrO_2$ . Chen I.-W., Chiao Y.-H.

«Acta met.», 1983, 31, № 10, 1627—1638 (англ.; рез.  
фр., нем.)

Обнаружено мартенситное превращение в частицах  
 $ZrO_2$ , полученных методом внутреннего окисления при  
выдержке при высокой т-ре в Си-матрице. Т-ра окисле-  
ния оказывает существенное влияние на кристаллич.  
структуре частиц (мартенситное превращение). При  
окислении выше  $900^\circ C$  частицы имеют ГЦТ-структуру  
при комнатной т-ре, а при охлаждении до 4 К происхо-  
дит лишь частичный переход в моноклинную структуру  
с двойниками по  $\{110\}_{\text{мон}}$ . При окислении вблизи  $740^\circ C$   
частицы при комнатной т-ре имеют моноклинную струк-  
туру. При промеж. т-рах возникают частицы как с  
ГЦТ, так и с моноклинной структурой. Пластич. дефор-

Мартенсит-  
ное превращение

о.р. 1984, 18, № 3

мация приводит к увеличению кол-ва превращенных в моноклинную структуру частиц. Моноклинная структура сохраняется при нагреве до т-р окисления, а субструктура начинает исчезать при 750°С. Не обнаружен размерный эффект для мартенситного превращения. Рассмотрены кристаллография мартенситного перехода в  $ZrO_2$ , механизм гетерогенного зарождения мартенсита на скоплениях паралл. дислокаций, расположенных вдоль [001] ГЦТ в плоскости (110) ГЦТ. Библ. 44.

В. А. Лободюк

*ZrO<sub>2</sub>*

*1983*

20 Б1026. Высокотемпературная дифрактометрия метастабильного диоксида циркония. Доминина М.И., Филатов С.К. «Изв. АН СССР. Неорганические материалы», 1983, 19, № 6, 920—924

В интервале т-р 20—1200° С исследованы метастабильные фазы двуокиси циркония, возникающие из гидроокиси циркония в процессе нагревания. Метастабильная фаза ZrO<sub>2</sub> кристаллизуется из Zr(OH)<sub>4</sub> при 450° С и сохраняется до ~900° С. Параметры элементарной ячейки метастабильной ZrO<sub>2</sub>, определенные по различным дифракц. никам, показывают, что она при всех т-рах представлена тетрагон. формой с отношением  $c/a=1,023$  при 800° С, 1,009 при 450° С и, согласно данным интерполяции, может иметь отношение  $c/a=1$  при ~250° С. Тепловое расширение метастабильной тетрагон. фазы SrO<sub>2</sub> имеет резко анизотропный характер:  $\alpha_a=13 \cdot 10^{-6}$  град<sup>-1</sup>;  $a_c=48 \cdot 10^{-6}$  град<sup>-1</sup>. В интервале 850—900° С завершается переход метастабильной тетрагон. фазы ZrO<sub>2</sub> в стабильную тетрагон. Последняя фаза

*Tm;*

*X. 1983, 19, 1/20*

прослежена до  $\sim 1200^\circ\text{C}$ . Ее тепловое расширение практически изотропно:  $\alpha_a \approx \alpha_c \approx 13 \cdot 10^{-6}$  град $^{-1}$ . При охлаждении она претерпевает обычное тетрагонально-моно-клиническое превращение. Выявлен интересный тип полиморфного превращения  $\text{ZrO}_2$ , к-рое происходит в широком интервале т-р ( $\sim 250$ — $850^\circ\text{C}$ ) путем плавного растяжения кубич. структуры вдоль одной из координатных осей с переходом в тетрагон. фазу (превращение 2-го рода); такое превращение до сих пор наблюдалось лишь в  $\text{ZrO}_2$  с высоким содержанием изоморфной примеси (например, иттрия).

Из резюме

с я н  
с о

1983

$ZrO_2$

6 E389. Термические свойства тетрагонального  $ZrO_2$  при низких температурах. Thermal properties of tetragonal  $ZrO_2$  at low temperatures. Lawless W. N., Gupta T. K. «Phys. Rev. B: Condens. Matter», 1983, 28, № 10, 5507—5510 (англ.)

Приведены результаты исследований теплоемкости (от 1,7 до 25 К) и теплопроводности (от 1,7 до 45 К)  $ZrO_2$ , стабилизированного  $Y_2O_3$ . В теплоемкости найдено два добавочных вклада — моды эйнштейновского типа, связанной с вакансиями в кислородной подрешетке, и типа Шотки, связанного с примесями Нf. Т-ры Дебая, полученные при учете этих вкладов, составили 515 и 507 К соответственно. В температурной зависимости теплоемкости наблюдается две особенности — квадратичный вклад при низких т-рах и плато выше 30 К, что характерно для аморфных тел. Указывается на большой вклад примесного рассеяния, подавляющего низкотемпературный максимум, характерный для чистых кристаллич. тел.

В. Е. Зиновьев

Ф. 1984, 18, № 6.

*ZrO<sub>2</sub>*

1983

100: 26648a Thermal properties of tetragonal zirconium dioxide at low temperatures. Lawless, W. N.; Gupta, T. K. (CeramPhysics, Inc., Westerville, OH 43081 USA). *Phys. Rev. B: Condens. Matter* 1983, 28(10), 5507-10 (Eng). Specific-heat (1.7-25 K) and thermal-cond. (1.7-45 K) measurements are reported on Y<sub>2</sub>O<sub>3</sub>-stabilized tetragonal ZrO<sub>2</sub>. As in cubic ZrO<sub>2</sub>, an Einstein-type excess sp. heat (62 cm<sup>-1</sup>) is found >7 K, and the amplitude of this term agrees well with the O-vacancy concn. (1.4%). A 2nd excess sp. heat <5 K is (as in the cubic form) due to the elec. quadrupole moment of the Hf impurity, which contributes a Schottky term ( $\delta = 50$  mK). The Debye temps., obtained from the Einstein and Schottky fits are 515 and 507 K, resp. As in the cubic form of ZrO<sub>2</sub>, the thermal cond. displays 2 glasslike features: (1) a plateau near 50 K and (2) a quadratic dependence,  $K \sim 10^{-5}T^2$  W/cm K at the lowest temps. The accumulated evidence suggests that the O cond. and the low-temp. thermal properties of ZrO<sub>2</sub> are detd. by the O vacancies and are relatively insensitive to whether the host Zr lattice is cubic or tetragonal.

(P)

c.a. 1984, 100, NY

*Y<sub>2</sub>O<sub>3</sub>*

1983

16 Б859. Тетрагональная модификация диоксида циркония. Солова Т. Н., Салынь А. Л., Федосов А. П., Елисеев А. А. «Изв. АН СССР. Неорганические материалы», 1983, 19, № 2, 334—336

*T<sub>ε</sub>*

Методами термич. и рентгенофазового анализов исследовано поведение маловодного гидроксайда циркония, легированного оксидами РЗЭ:  $Y_2O_3$ ,  $Sc_2O_3$ ,  $Yb_2O_3$  (1—3 мол. %) при нагревании от 20 до 80° С. При т-ре 320—340° С наблюдается образование тетрагон. модификации ( $\beta_1$ ), а при т-ре 750—800° С обнаружена только монокл. модификация ( $\alpha$ ). Методом внутреннего стандарта проведена полуколич. оценка содержания тетрагон. и монокл. фаз в интервале 350—700° С. Данные анализа подтвердили факт перехода  $\beta_1 \rightarrow \alpha$ .

Автореферат

X. 1983, 19, N 16

ZrO<sub>2</sub>

1983

6 В8. Получение кубического диоксида циркония в виде пудры методом гидротермального окисления. Preparation of cubic zirconia fine powder by hydrothermal oxidation method. Yoshimura Masahiro, Kikugawa Shinya, Sōmiya Shigeuki. «Proc. 1<sup>st</sup> Int. Symp. Hydrotherm. React., Tokyo, March 22—26, 1982». Tokyo, 1983, 875 (англ.)

Гидротермальная р-ция между порошком металлич. Zr и чистой водой  $[Zr + 2H_2O = ZrO_2 + 2H_2]$  приводит к получению монокл. ZrO<sub>2</sub> со средним размером кристаллитов 24 нм. Для получения стабилизированного куб. ZrO<sub>2</sub> использована гидротермальная р-ция между Zr и р-ром, содержащим стабилизирующие ионы. В кач-ве исходного р-ра применены р-ры нитрата Ca (59 вес.%), нитрата Y (41 вес%) и NH<sub>4</sub>NO<sub>3</sub> (32 вес.%). и смесь гидроксида Ca и H<sub>2</sub>O. Порошок металлич. Zr и р-р изолировали в Au-капсуле. Капсулу нагревали от 200 до 700°С при давл. 100 МПа в течение 3 ч. Продукты идентифицировали рентгенографически и метода-

и. 1984, 19, N 6

ми сканирующей и просвечивающей электронной микроскопии. Использование р-ра нитрата Ca приводит к получению выше 500° С куб. ZrO<sub>2</sub> в смеси с монокл. ZrO<sub>2</sub>, гидридом, нитридом Zr и гидроксидом Ca. Содержание куб. ZrO<sub>2</sub> постепенно повышается в интервале 500—700° С. Максим. выход куб. ZrO<sub>2</sub> достигнут при 700° С на основе исходной смеси состава 1,10 Zr + 0,15 Ca(NO<sub>3</sub>)<sub>2</sub> + 0,94 H<sub>2</sub>O. Куб. ZrO<sub>2</sub> образуется также при использовании р-ров нитратов Y и аммония. Синтезированный куб. ZrO<sub>2</sub>, по-видимому, стабилизирован в основном нитридом Zr и дополнительно CaO или Y<sub>2</sub>O<sub>3</sub>. Средний размер кристаллитов куб. ZrO<sub>2</sub> составляет ~18 нм.

Л. П. Шкловер



220<sub>2</sub>  
мв. р-рк

1983

17 Б3041. Методы высокотемпературной дифрактографии и термического анализа в исследовании фазовых переходов в твердых растворах на основе  $ZrO_2$ . Зоз Е. И., Елисеева Г. Г., Лопато Л. М. «Тр. 8 Всес. конф. по терм. анал., Куйбышев, 1982». Куйбышев, 1983, 144—150

Проведены конструкц. разработки прибора для термич. анализа с целью повышения точности измерений на установке ВДТА-8М1. Методами высокот-рной рентгеноиской дифрактографии и высокот-рного термич. анализа определены т-ры обратимого монокл.-тетрагон. перехода и т-ры превращения типа порядок—беспорядок в тв. р-рах и хим. соединениях на основе  $ZrO_2$ . Показано, что введение  $MgO$ ,  $CaO$ ,  $CeO_2$  снижает, а  $HfO_2$  повышает т-ры этих превращений, расширяет интервалы монокл.-тетрагон. перехода и повышает т. пл. тв. р-ров и хим. соединений в системах  $ZrO_2-HfO_2$  — оксиды Mg, Ca, РЗЭ.

Резюме

IV. 1984, 19, N 17

ZrD<sub>2</sub>

[M. 36821]

1984

Anthony A.-M., Baernard J.F.  
and Corish G.,

(K) Pure Appl. Chem., 1984,  
56, N 8, 1069 - 1094.

Results of a  Collaborative

Study on Zirconia-Based  
Oxygen Sensors.

$ZrO_2$

Araki

1984

$C_p$

( $C_p$ )

101: 98729w Measurements of thermophysical properties by a stepwise heating method. Araki, N. (Dep. Mech. Eng., Shizouka Univ., Hamamatsu, Japan 432). *Int. J. Thermophys.* 1984, 5(1), 53-71 (Eng). An outline of the stepwise heating method for measuring thermal diffusivity and sp. heat capacity of samples in both solid and liq. phases is described. The method is based on the measurement of temp. response at the surface of a solid sample when the other surface is heated in step-function. By making the best use of the characteristic points of this method, applications to samples in the liq. state, esp. to high temp. melts such as molten salts, were tried. As examples of measurement results, the thermal diffusivity, sp. heat capacity, and thermal cond. of zirconia, brick and the thermal diffusivities of molten salts are shown in graphic form.

C.A.1984, 101, n12

[Om. 19103]

1984

$O_2(p-p \& Zr)$

Boureau F., Berdani-  
an P.,

$N_2H_4$

J. Phys. and Chem.  
Solids, 1984, 45, N<sub>2</sub>,  
141 - 145.

$ZrO_2$

1984

Ming Li Shung, Manghra-  
hi Muerll H.

$T_{tz}$ ; High Pressure Sci. and Tech-  
nol, Proc. GAIRAPT Int. High.  
Pressure Conf., Albany, N.Y., 24-  
29 July, 1983. Pt 3. New York e.a.,  
1984, 81-84.



(e.e.  $CrF_2$ ; ?)

ZrO<sub>2</sub>

1984

20 Б3255. Превращение при ударном сжатии оксида циркония из моноклинной в тетрагональную фазу. Monoclinic to tetragonal conversion of zirconia under shock compression. Morosin B., Graham R. A., Hellmann J. R. «Shock Waves Condensed Matter — 1983. Proc. Amer. Phys. Soc. Top. Conf., Santa Fe, N. M., July 18—21, 1983». Amsterdam e. a., 1984, 383—386 (англ.)

В диапазоне давл. ударных волн 4—31 ГПа и т-р 40—525° С изучены образцы ZrO<sub>2</sub> (предварительно спрессованные до плотности 53,6—59,3% от теорет.), к-рые затем исследовались с помощью порошкового РФА (излучение Cu K<sub>α</sub>). Средн. размер кристаллитов 300 Å, после воздействия давл. 20 ГПа и величины деформации порядка  $3 \cdot 10^{-3}$ . Вследствие перекрытия большинства линий рентгеновского спектра нельзя однозначно решить вопрос о симметрии сохранившейся фазы высокого давл., но скорее всего она имеет тетрагон.

фазы. переход

Х. 1985, 19, № 20

структуре. Кол-во образовавшейся фазы оценивалось по линии 2,96А визуально, сравнительным анализом с линиями монокл. фазы. Начиная с давл. 17 ГПа в образцах появляется линия новой фазы, ее содержание возрастает почти линейно до 20% (при 22 ГПа), затем вплоть до 31 ГПа оно остается без изменения. Проведена аналогия с лит. результатами по статич. нагружению и нагреву  $ZrO_2$ .

Б. А. Ступников

гвии  
ма

1985

1 E709. Нейтронографическое изучение ближнего порядка в твердом растворе внедрения  $ZrO_{0.30}$ . Neutron diffraction study on the short-range order in  $ZrO_{0.30}$  interstitial solid solution. Sugizaki Yasuaki, Yamaguchi Sadae, Hashimoto Shinya, Hirabayashi Makoto, Ishikawa Yoshihiko. «J. Phys. Soc. Jap.», 1985, 54, № 7, 2543—2557 (англ.)

Методом упругого рассеяния нейтронов на монокристаллах  $ZrO_{0.30}$ , закаленных от т-р, превышающих  $T_0$ , определены параметры ближнего порядка в расположении атомов О и структурных вакансий (В) неметаллической подрешетки. Асимметричное распределение диффузного рассеяния интерпретировано как следствие статич. смещений атомов относительно узлов ГПУ-решетки. Эксперим. информация, обработанная по МНК, сопоставлена с вычисленными картинами рассеяния. Показано, что в 1-й и 2-й координац. сферах октаэдрич. междуузлий ГПУ-решетки преобладают пары О—В, тогда как в 3-й, 4-й и 5-й сферах — пары О—О. Анализ параметров смещения атомов первого порядка для пар О—Zr свидетельствует об уменьшении длины связи Zr—O по сравнению с расстоянием Zr—B. С. Голуб

оф. 1986, 18, № 1

*ZrO<sub>2</sub>*

1985.

9 Б3171. Фазовая диаграмма давление—температура для диоксида циркония. Pressure-temperature phase diagram of zirconia. Block S., Da Jornada J. A. H., Piermarini G. J. «J. Amer. Ceram. Soc.», 1985, 68, № 9, 497—499 (англ.)

В диапазоне т-р 20—600° С и давл. до 21,6 ГПа на алмазных наковальнях с помощью оптич. поляризац. микроскопии (на монокристаллах) и рентгеновского микроанализа с дисперсией по энергии (на порошках) исследовано фазовое поведение образцов ZrO<sub>2</sub>. При комн. т-ре переход из монокл. фазы I в тетрагон. фазу II начинается при 4,4 заканчивается при 8,3 ГПа, обратный переход II—I идет при 2,75 ГПа. При

16,6 ГПа II начинает переходить в ромбич. фазу III. При т-ре 300° С наблюдался переход из II в высокотрнную тетрагон. фазу III, тройная точка I—II—III при  $596 \pm 18^{\circ}$  С и  $2,26 \pm 0,28$  ГПа, а при понижении т-ры и давл. эта точка при  $535^{\circ}$  С и 1,7 ГПа.

В. А. Ступников

Х. 1986, 19, № 9

1985

ZrO<sub>2</sub>

(T<sub>tr</sub>)

T<sub>p.m.</sub>

103: 170171u. Pressure-temperature phase diagram of zirconia.  
Block, S.; Da Jornada, J. A. H.; Piermarini, G. J. (Cent. Min. Sci., Natl. Bur. Stand., Gaithersburg, MD 20899 USA). *J. Am. Ceram. Soc.* 1985, 68(9); 497-9 (Eng). The pressure-temp. diagram of zirconia was detd. by optical microscopy and x-ray diffraction techniques using a diamond anvil pressure cell. At low temp., monoclinic ZrO<sub>2</sub> transforms to a tetragonal phase (tIII) which is related to the high-temp. tetragonal structure (tI). The transformation-pressure exhibits hysteresis and is cycle dependent. At room temp., the initial transformation pressure for the monoclinic-tIII transition on a virgin monoclinic crystal can be as high as 4.4 GPa. On subsequent cycling the transition pressure ultimately lowers to 3.2 ± 0.06 GPa. The pressure for the reverse transition is essentially constant at 2.75 ± 0.06 GPa. At pressures > 16.6 GPa, the tIII form transforms to the orthorhombic cotunnite (PbCl<sub>2</sub>) structure. With increasing temp., the tIII form transforms to the high-temp. tetragonal phase. For increasing *P* and *T*, the monoclinic:tIII triplet point is located at *T* = 596° ± 18° and *P* = 2.26 ± 0.26 GPa, whereas for decreasing *P* and *T*, the triple point is found at *T* = 596° ± 25° and *P* = 1.7 ± 0.8 GPa.

C.A.1985, 103, N20

ZrD<sub>2</sub> [cm. 22193] 1985

Boyer L.L., Klein B. et al.,

Pacrem *z. f. fmer. Ceram. Soc.*

mepruog. 1985, 68, N5, 278-281.

cb-6

ZrD<sub>2</sub>

[Om. 22853]

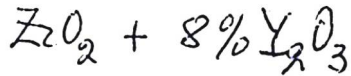
1985

C<sub>p</sub>,  
mepmu-  
cb-fa  
nm 3-40K

Collins J.F., Collocott S.J.;  
et al.,

Austral. J. Phys., 1985,  
38, N 4, 617-622.

"Thermal Properties of Stabilized  
Zirconia at Low Temperatures =



$ZrO_2$

1985

11 Б2040. Кристаллические структуры моноклинных  $ZrO_2$  и  $HfO_2$ , уточненные по порошковым рентгеновским данным. Monoclinic crystal structures of  $ZrO_2$  and  $HfO$  refined from X-ray powder diffraction data.  
Hann R. E., Suitch P. R., Pentecost J. L. «J. Amer. Ceram. Sci.», 1985, 68, № 10, C285—C286 (англ.)

Проведен РСТА  $ZrO_2$  (I),  $HfO_2$  (II) ( $\lambda$  Cu, метод Ритвельда,  $R = 0,014$ ,  $R_{\text{п}} = 0,011$ ). Параметры монокл. решеток I, II:  $a = 5,1505, 5,1170$ ,  $b = 5,2031, 5,1754$ ,  $c = 5,3154, 5,2915$  Å,  $\beta = 99,19, 99,22^\circ$ , ф. гр.  $P2_1/c$ . Параметры решеток I, II получены с более высокой точностью по сравнению с данными работ по уточнению структур I и II на монокрист. образцах. Позиц. параметры атомов I, II близки полученным на монокристаллах. В. Б. К.

кристал-  
структур

(4) 12



X. 1986, 19, N 11

*ZrO<sub>2</sub>*

1985

19 Б3064. Термодинамический анализ высокотемпературного процесса получения оксида циркония (IV). Пархоменко В. Д., Верещак В. Г., Голобородько В. П. «Хим. физ.», 1985, 4, № 5, 624—629

Методом минимизации полного изобарно-изотермич. Пт выполнен термодинамич. анализ процесса получения оксида циркония (4+) в равновесных условиях путем термолиза цирконийсодержащих соединений в высокот-рном потоке теплоносителя. Определены теор. удельные энергозатраты на единицу целевого продукта. Показано, что минимум энергозатрат реализуется при использовании в кач-ве теплоносителя воздуха, а в кач-ве сырья — нитратов и карбонатов циркония. Автореферат

*KP;*

X. 1985, 19, N 19.

$ZrO_2$

1985

1 E658. Превращение в оксиде циркония, частично стабилизированном оксидом иттрия, при низкотемпературном отжиге на воздухе. Transformation of yttria partially stabilized zirconia by low temperature annealing in air. Sato T., Ohtaki S., Shimada M. «J. Mater. Sci.», 1985, 20, № 4, 1466—1470 (англ.)

На образцах  $ZrO_2$ , содержащих 2—4 мол. %  $Y_2O_3$ , рентгенографически исследован переход тетрагонального твердого раствора в моноклинную и кубич. фазы в результате низкотемпературного (100—650° С) отжига в среде воздуха. Скорость перехода для всех составов достигает максимума при 200° С. Наиболее устойчивы к превращению образцы с 4 мол. %  $Y_2O_3$ , синтезированные при т-рах не выше 1400—1450° С. Критич. т-ра, ниже которой осуществляется переход из тетраг. фазы в моноклинную, пропорциональна размеру зерна (в пределах 0,5—1,5 мкм) и обратно пропорциональна содержанию  $Y_2O_3$ .

Б. Г. Алапин

сф. 1986, 18, № 1

*ZrO<sub>2</sub>*

1986

У 16 Б2144. Дефектная структура оксида циркония, стабилизированного оксидом иттрия, исследованная с помощью квазиупругого диффузного рассеяния нейтронов. The defect structure of yttria-stabilized zirconia, studied by quasielastic diffuse neutron scattering. Andersen N. H., Clausen K., Hackett M. A., Hayes W., Hutchings M. T., Macdonald J. E., Osborn R. «Physica», 1986, BC 136, № 1—3: Neutron Scattering. Proc. Int. Conf., Santa Fe, N. M., Aug. 19—23, 1985, 315—317 (англ.)

*дефектная  
структура*

С помощью рассеяния нейtronов исследован при т-рах до 1900° С монокристалл  $ZrO_2$  (I) с примесью  $Y_2O_3$  (9,4—19 мол. %). Выявлены 2 вклада в диффузное рассеяние, один из к-рых обусловлен тетраэдрич. иска-жением в малых обл., свободных от вакансий, а вто-рой — с корреляцией вакансий и их ассоциатов в остал-ном объеме кристалла. При высоких т-рах наблюдали частично квазиупругое рассеяние. Изменение ионной проводимости I с конц-ней  $Y_2O_3$  объясняется переходом от малых подвижных вакационных кластеров к боль-шим статичным агрегатам.

С. Ш. Шильштейн

X.1986, 19, n 16

ZrO<sub>2</sub>

1986

Chang Soon Ho,  
Yo Cheol Hyun, et al.

A Hyperketal  
Taekan Hwangkhae  
Chi 1986, 30(1), 33-9.

(catal. Sm<sub>2</sub>O<sub>3</sub>; T)

$ZrO_2$  (k)

1986

XEN·CHEB,  
MEOP·PACEM

105: 180585n Energy structure, chemical bond, and spectral properties of zirconium dioxide. Freidin, S. P.; Khodos, M. Ya.; Krivosheev, N. V.; Gubanov, V. A. (Inst. Khim., Sverdlovsk, USSR). *Zh. Strukt. Khim.* 1986, 27(4), 24-8 (Russ). By the nonempirical method of discrete variations with exchange correlation potential, a calen. was accomplished of the electron structure for small clusters for cubic, tetragonal, and monoclinic modifications of  $ZrO_2$ . The effects were studied of vacancies in cubic  $ZrO_2$  on the energy spectra and optical characteristics of  $ZrO_2$ . The results were compared with x-ray electron and x-ray  $ZrL_{\beta 2,15}$ -emission spectra of thin films of  $ZrO_2$  with cubic structure.

C.A. 1986, 105, N 20

1986

ZrO<sub>2</sub>

20 Б3159. Зависимость температуры фазового перехода от собственного размера кристаллов в микрокристаллах диоксида циркония. Intrinsic size dependence of the phase transformation temperature in zirconia micro-crystals. Garvie R. C., Goss M. F. «J. Mater. Sci.», 1986, 21, № 4, 1253—1257 (англ.)

Обосновывается предположение о зависимости т-ры ( $T_v$ ) перехода микрокрист. ZrO<sub>2</sub> (I) из высокотрнной тетрагон. в монокл. фазу от обр. размера кристаллов ( $r_c^{-1}$ ). Так как переход экзотермич., считается, что увеличение свободной энергии Пв частиц монокл. фазы гарантируется. Для эксперим. проверки с помощью ДТА и электронной микроскопии определена  $T_v$  для трех серий порошков I со средн. размерами частиц 9; 0,85; 0,4 и 0,17 мкм. Получена линейная зависимость  $r_c^{-1}$  от  $T_v$ , что совпадает с теорет. вычислениями. Для больших чистых и не испытывающих ранее превращений кристаллов I  $T_v = 1447 \pm 6^\circ\text{C}$ . Критически проанализированы лит. данные по измерениям  $T_v$  в микрокристаллах I, полученных окислением частиц Zr, диспергированных в Си-матрице, а также с помощью вибромельницы и при гидротермальном росте из аморф. I. В. А. Ступников

Пб;

X. 1986, 19,  
№ 20

$ZrO_2$

1986

Кумэ Акиеси.

Рүмкәй оёбы рүмкә-  
гы якусе, J. Jap. Soc.

Powder and Powder  
Met., 1986, 33, N3, 105-110.  
(c.c.r.  $HfO_2$ ; I)

1986

ZrO<sub>2</sub>

22 Б3113. Химическое осаждение паров двуокиси циркония из газообразных смесей ZrCl<sub>4</sub>—H<sub>2</sub>—CO<sub>2</sub>—Аг.  
I. Термодинамический подход. On the chemical vapour deposition of zirconia from ZrCl<sub>4</sub>—H<sub>2</sub>—CO<sub>2</sub>—Ar gas mixtures. I. A thermodynamic approach. Minet J., Langlais F., Naslain R., Bernard C. «J. Less—Common Metals», 1986, 119, № 2, 219—235 (англ.)

При предположении, что достигается гетерог. равновесие, с использованием метода минимизации свободной энергии термодинамически исследовано влияние начального состава газ. смеси, т-ры, давл. и природы подложки на хим. осаждение паров двуокиси циркония (I) из газ. смеси ZrCl<sub>4</sub>—CO<sub>2</sub>—H<sub>2</sub>—Аг. На инертной подложке чистый I осаждается со 100% выходом, когда при равновесии имеется избыток воды. Для начальных составов, богатых H<sub>2</sub>, м. б. получено соосаждение I с С. В случае, когда осаждение происходит на р-ционно-способной подложке (углерод или муллит) может происходить травление этой подложки р-ционноспособной смесью, к-рое зависит от природы подложки и

X. 1986, 19, N 22

эксперим. условий. При условиях, обеспечивающих выход I близким к 100%, углерод подложки может окисляться до CO, в то время как муллитовая подложка термодинамически стабильна.

В. Ф. Байбуз

асс-  
деле

*Y<sub>2</sub>O<sub>3</sub>*

1986

12 E354. Анизотропия теплового расширения тетрагональной окиси циркония, стабилизированной  $Y_2O_3$ . Anisotropic thermal expansion coefficients of  $Y_2O_3$ -stabilized tetragonal zirconia. Schubert H. «J. Amer. Ceram. Soc.», 1986, 69, № 3, 270—271 (англ.)

Параметры элементарной ячейки тетраг. фазы  $ZrO_3$ , стабилизированного  $Y_2O_3$  (с содержанием от 2 до 10%) измерены при т-рах 870 и 1073 К методом порошковой рентгенографии. Исследование проведено для изучения влияния термич. напряжений в зернах на характер фазового перехода из тетрагональной в моноклинную фазу. По данным эксперимента рассчитаны коэф. теплового расширения, значения которых указывают на существование анизотропии в тепловом расширении (например, при 870 К  $\alpha_a = 8,22 \cdot 10^{-6} \text{ K}^{-1}$ ,  $\alpha_c = 10,54 \cdot 10^{-6} \text{ K}^{-1}$  для 2 моль.%  $Y_2O_3$ ). Обнаружено увеличение коэф. теплового расширения с увеличением содержания  $Y_2O_3$ . Полученные данные находятся в хорошем согласии с результатами дилатометрич. эксперимента.

А. П. Рыженков

*тепловое  
расширение*

φ 1986, 18, N 12.

ЛРД

1986

3 Е337. Температуропроводность, теплоемкость и теплопроводность пористой частично стабилизированной окиси циркония. Thermal diffusivity, heat capacity and thermal conductivity of porous partially stabilized zirconia. Swain M. V., Johnson L. F., Syed R., Hasselman D. P. H. «J. Mater. Sci. Lett.», 1986, 5, № 8, 799—802 (англ.)

( $\rho$ )

Температуропроводность  $\kappa$ , теплоемкость  $C$  и теплопроводность  $K$  измерены для образцов окиси циркония, стабилизированной 3,3 вес.%  $MgO$ , приготовленных холодным прессованием (в форме дисков диаметром 10 мм толщиной 2 мм) смеси окислов циркония и магния с последующим отжигом в течение часа при  $1700^{\circ}C$ . Величина  $C$  почти не зависела от плотности, а  $\kappa$  и  $K$  убывая с ростом  $\tau$ -ры, убывают и с уменьшением плотности, причем основное влияние на их величины оказывает пористость.

В. Оскотский

Ф. 1987, 18, № 3.

Зрк

1986

20 Б3048. Энталпия и фазовые переходы диоксида циркония при высоких температурах. Тарасов В. Д., Ипгашов Х., Раманаускас Г. Р., Чеховской В. Я. «11 Всес. конф. по калориметрии и хим. термодинам., Новосибирск, 17—19 июня, 1986. Тез. докл. Ч. 2». Новосибирск, 1986, 151—152

Энталпия  $ZrO_2$  измерена методом смешения в интервале т-р 1200—2860 К. Использовались плавленые и прессованные образцы, полученные из исходного материала чистотой 98 или 99,95 вес. %. Подтверждены фазовые переходы при  $1450 \pm 20$  К и  $2650 \pm 30$  К со скачками энталпии 5 и 10% от  $H_T - H_{298}$  при  $T = T_{trs}$ .

Л. А. Резницкий

$H_T - H_0$ ,  $T_{trs}$ ,  
 $\Delta H_{trs}$

декабрь 1986, № 20

$\alpha\text{ZrO}_2$

1986

№ 20 Б3158. Получение и характеристики тетрагонального  $\text{ZrO}_2$ . Preparation and characterization of tetragonal  $\text{ZrO}_2$ . Zhang Y.-C., Davison S., Brusasco R., Qian Y.-G., Dwight K., Wold A. «J. Less-Common Metals», 1986, 116, № 1, 301—306 (англ.)

С помощью колич. РФА исследован состав продуктов термич. разл.  $\text{ZrCO}_3$  (I) и  $\text{Zr}(\text{NO}_3)_2$  (II), полученного при действии на I  $\text{HNO}_3\cdot\text{ZrO}_2$  (III), полученный при  $400^\circ\text{C}$  разложением I и II на 95 и 98% соотв. из тетрагон. фазы. Уд. площадь Пв образцов III составляет 90 (полученных из I) и 70  $\text{m}^2/\text{г}$  (из II), размер кристаллитов 140 и 170 Å соотв. III, полученный из I, образован агрегатами с размерами порядка 1,5 мкм, не разрушающимися после обработки УЗ. При нагреве III до  $600^\circ\text{C}$  начинает образовываться монокл. фаза, при  $1000^\circ\text{C}$  образцы состоят только из этой фазы. После обработки III гидростатич. давл. (в среде  $\text{H}_2\text{O}$  или  $\text{CH}_3\text{OH}$ ) 2 кбар при комн. т-ре образцы состоят только из тетрагон. фазы.

В. А. Ступников

X. 1986, 19, № 20

$ZrO_2$

1987

10 E830. Фазовый переход без разрушения в моно-  
кристалле  $ZrO_2$  при высоком давлении. Non-destructive  
phase transformation of  $ZrO_2$  single crystal at high pres-  
sure. Agashi Naguo, Suzuki Toshihiro, Akimoto Sy-  
un-Iti. «J. Mater. Sci. Lett.», 1987, 6, № 1, 106—108  
(англ.)

Кристалл  $ZrO_2$  размером  $\sim 100$  мкм, выращенный из  
раствора в расплаве  $PbF_2$ , исследован в аппарате вы-  
сокого давления с алмазными наковальнями методами  
КРС и световой микроскопии при давлении до 3,8 ГПа.  
При давлении 3,5 ГПа наблюдается фазовый переход  
из моноклинной модификации в фазу высокого давле-  
ния с ромбич. структурой. Переход обратим и, вероят-  
но, относится ко второму роду с незначительными атом-  
ными смещениями.

Б. Г. Алапин

фаз. переход  
при высоком  
давлении

ф. 1987, 18, N 10

$\chi_{\text{M}_2}(2)$  (М. 2687) 1987

Гадеев А.Н., Семенов Г.А. и др.,

Ил. науч. журн., 1987,  
61, № 4, 893-898.

БРН

ЗрДз(к) (DM-26618) 1987

Бесов А.Н., Селихнов Г.А. и пр.,

Рам, №

Ил. опуб. Известия,  
1987, 61, №, 899-902.

ZrO<sub>2</sub>

1987

6 Е651. Сохранение фазы высокого давления диоксида циркония в метастабильном состоянии. Metastable retention of a high-pressure phase of zirconia. Da Jognada J. A. H., Piermarini G. J., Block S. «J. Amer. Ceram. Soc.», 1987, 70, № 9, 628—630 (англ.)

Исследован механизм сохранения фазы высокого давления в порошке ZrO<sub>2</sub> при норм. условиях. Кол-во этой фазы, сохраняющейся после снятия давл. ~ 8 ГПа, существенно зависит от характера термообработки, условий нагружения и размера частиц. Зарождение фаз при мартенситном переходе в ZrO<sub>2</sub> при повышенных давлениях происходит на центрах, кол-во которых можно регулировать путем предварительного отжига порошков. Неучет влияния термич. предыстории материала на фазовый состав может быть причиной расхождения литературных данных по P—T фазовым диаграммам ZrO<sub>2</sub>.

Б. Г. Алапин

φ. 1988, 18, № 6

1987

6 Е652. Структурные превращения в кубическом диоксиде циркония. Structural transformation in cubic zirconia. Devi Subba Rao Usha, Ming Li Chung, Manghnani Murli H. «J. Amer. Ceram. Soc.», 1987, 70, № 9, C—218—C—219 (англ.)

Рентгенографически исследована структура стабилизированного  $\text{CaO}$  диоксида циркония состава  $\text{Zr}_{0,85}\text{Ca}_{0,25}\text{O}_{1,85}$  при т-рах до  $1000^\circ\text{C}$  и давл. до  $P \approx 35$  ГПа. При  $1000^\circ\text{C}$  при  $P \leq 15$  ГПа устойчива кубич. фаза со структурой флюорита. При  $15 \leq P \leq 35$  ГПа наряду с кубической наблюдается ромбич. фаза со структурой типа  $\text{PbCl}_2$  и четырьмя молекулами в элементарной ячейке. Эта фаза сохраняется при снятии давления. В норм. условиях ее параметры решетки  $a = 0,3327$ ;  $b = 0,5566$  и  $c = 0,6487$  нм. Уменьшение молярного объема по сравнению с кубич. фазой 10,5%. Поведение стабилизированного диоксида циркония под давлением сопоставлено с полиморфизмом моноклинистой модификации  $\text{ZrO}_2$  в аналогичных условиях. Библ. 26.

Б. Г. Алапин

Структурн.  
превращ.

φ. 1988, 18, N6

Zrla

(OM. 26380)

1987

Типчеб А.А., Конакова Н.Н.  
11 гр.,

поселок Огуз, 20 км сев. от Балыкчы  
Огуз 1987, № 23, № 137-138.

ZrO<sub>2</sub>

1987

) 4 Е373. Температуропроводность диоксида цирко-  
ния частичностабилизированного оксидами иттрия и  
кальция. Рискиев Т. Т., Салихов Т. П., Саби-  
ров Х., Муртазин В. К. «Физ.-техн. ин-т АН УзССР.  
Препр.», 1987, № 54, 1—8

температу-  
ропроводность

оф 1988, 18, NЧ

ZrO<sub>2</sub>

1987

12 Б3078 Деп. Структурный и фазовый анализ материалов пленок на основе диоксида циркония и композиций ZrO<sub>2</sub>—Sc<sub>2</sub>O<sub>3</sub>. I. Высокотемпературная химия диоксида циркония. II. Система ZrO<sub>2</sub>—Sc<sub>2</sub>O<sub>3</sub>. Семин Е. Г., Кривошеев Н. В., Губанов В. А., Ходос М. Я., Тетерин Г. А., Менчук Е. М., Козлов В. Д., Андреева Н. А., Алексеев О. Г., Семенов Г. А.; Ленингр. технол. ин-т. Л., 1987. 70 с., ил. Библиогр. 55 назв. Рус. (Рукопись деп. в ОНИИТЭХИМ г. Черкассы 16.03.87, № 263-хп87)

Рассмотрено состояние вопроса по лит. данным и работам авторов по высокот-рий химии ZrO<sub>2</sub> и компо-

X, 1987, 19, N 12.

зиций на основе  $ZrO_2$ — $Sc_2O_3$  в свете их использования в кач-ве материалов для тонкослойной технологии. Рассмотрена термодинамика поведения оксидов при высоких т-рах в вакууме, способы получения тонких Пл, их структура и св-ва в зависимости от метода напыления. Степень нестехиометрии оксидов проанализирована с применением квантовохим. расчета (в рамках кластерного подхода) электронной структуры диоксида циркония в различных структурных типах. Автореферат

$ZrO_3$

Cp

50°C -

-2773K

Om. 88-41997 1987

Suto H., Sakuma T., Yoshikawa N.

Дискусия о фазовом диаграмме

$Y_2O_3 - ZrO_3$  и интерпретации  
структур:

Trans. Japan Inst. of Metals,  
1987, v. 28, N8, pp. 623 - 630

Om. 41997

1988

ЧМД

22 Б3240. Полиморфные превращения в диоксиде циркония. The polymorphic transformations of zirconia. Chan S.-K. «Physica», 1988, BC150, № 1—2, 212—222 (англ.)

На основе концепции мягких или частично мягких мод, связанных с упругими постоянными, анализа симметрии и разл. свободной энергии по гомог. деформациям рассмотрена возможность фазовых переходов в  $ZrO_2$ . При базовой кубич. сингонии (точечная группа  $O_h$ ,  $\bar{t}3m$ ) изменение моды  $A_{1g}$  приводит к образованию только кубич. фазы, не реализующейся в действительности. Изменение свободной энергии, связанной с модой  $E_g$ , приводит к тетрагон. фазе ( $D_{4h}$ ,  $4/mmm$ ), а связанное с модой  $T_{2g}$  дает ромбоэдрич. фазу ( $D_{3d}$ ,  $3m$ ). Все превращения являются переходами 1-го рода. При базовой тетрагон. фазе ( $D_{4h}$ ,  $4/mmm$ ) понижение симметрии вызывают моды  $E_g$ ,  $B_{1g}$ ,  $B_{2g}$ . При этом могут образовываться тетрагон. ( $C_{4h}$ ,  $4/m$ ), ромбич. ( $D_{2h}$ ,  $mmm$ ) и монокл. ( $C_{2h}$ ,  $2/m$ ) фазы. Эти превращения могут носить как прерывный, так и непрерывный характер, что зависит от знака инвариантов 4-го порядка. Вышеперечисленные модификации являются

Х. 1988, № 22

ЧМД

единственно разрешенными в термодинамич. смысле  
при изменении  $P$ - $T$ -условий или введения добавок.

Г. Л. Апарников

част.  
кольцо

ZrO<sub>2</sub>

Chan S.K.,

1988

nonpolymorph. Physica B+C (Amster-  
dam) 1988, 150 (1-2),  
pp. 187-191.  
212-22.

The polymorphic  
transformation of zirconia  
C.A. 1988, 109, N 14, 120 084 W

ZrO<sub>2</sub>

[pm. 29503]

1988

Cohen R.E., Mehl M.J.,  
Boyer L.L.,

парт.

перевод · Physica, 1988, BC 150,  
N 1-2, 1-9.

Phase Transition and  
Elasticity in Zirconia

ZrO<sub>2</sub>

1988

Farvie R.C.; Chan S.K.,

Physica B+C (Amsterdam

1988, 150 (1-2), 203-211  
Report of stability limits in the  
monoclinic-tetragonal trans-

C.A. 1988, 109, N 14, 120 083 V

formations of zirconia

$ZrO_2$

1988

2 Е722. Исследование полиморфных переходов в диоксидах циркония и гафния на воздухе до 2200° С / Газизов И. Ш., Гуламова Д. Д., Глобман А. М. // Изв. АН УзССР. Сер. физ.— мат. н.— 1988.— № 4.— С. 88—90

Исследовано изменение параметров элементарных ячеек модификаций  $ZrO_2$  и  $HfO_2$  на воздухе в интервале т-р 900—2200° С. В  $ZrO_2$  наблюдались все три модификации; моноклинная, тетрагональная и кубическая. Объемный эффект перехода моноклинной фазы в тетрагональную ~4,37%, изменение объема при переходе тетраг. модификации в кубическую 2,93%. Изменение объема, сопровождающее переход из моноклинной модификации в тетрагональную в  $HfO_2$ , ~2%. Е. З.

$HfO_2$

(+)  $HfO_2$



X. 1989, N3

ZrO<sub>2</sub>

1988

/110: 85942w Polymorphic transitions in hafnium and zirconium dioxides in air up to 2200°C. Gazizov, I. Sh.; Gulamova, D. D.; Glotman, A. M. (Fiz.-Tekh. Inst. im. Starodubtseva, Tashkent, USSR). *Izv. Akad. Nauk UzSSR, Ser. Fiz.-Mat. Nauk* 1988, (4), 88-90 (Russ). The thermal expansion was studied of ZrO<sub>2</sub> and HfO<sub>2</sub> at  $\leq 2200^\circ$  in air. On ZrO<sub>2</sub>, a monoclinic to tetragonal transition is obsd. at 1200°. Anisotropy of the thermal expansion is obsd. in both phases. A transition to a cubic form is obsd. with a lattice parameter  $a$  of 5.150 Å. A monoclinic-tetragonal transition is obsd. in HfO<sub>2</sub>.

T<sub>t2</sub>

(72)

HfO<sub>2</sub>, HfO<sub>2</sub>

c.A.1989, 110, N10

ZVO

1988

18 Б2402. Электропроводность частично стабилизированного диоксида циркония. Караваев Ю. Н., Неуймин А. Д. «Высокотемператур. химия силикатов и оксидов. Тез. докл. 6 Всес. совещ., Ленинград, 19—21 апр., 1988». Л., 1988, 311—313

При т-рах 570—1420 К измерена электропроводность образцов  $ZrO_2$  с малыми добавками  $Y_2O_3$  и  $Sc_2O_3$ , полученных 2 различными способами (методом соосаждения гидроксидов и методом мех. смешения оксидов). Методом э. д. с. определены числа переноса ионов кислорода.

Из резюме

желтый

X. 1988, 19, N 18

$\gamma_{\text{Fe}} \alpha_{\text{Fe}}$

Reichl M., Ma L.T.  
et al.,  
<sup>1988</sup>

газовий  
перехід

Physica B+C (Amster-  
dam) 1988, 150 (1-2),  
86-93.

TEM studies on phases and

C-A. 1988, 109, N 14, 120 08211

phase stabilities of zirconia  
ceramics.

$ZrO_2$

1988

14 Б3121. Обзор. Фазовое превращение и микроструктура частично стабилизированного оксида циркония. Overview. Phase transformation and microstructure of partially-stabilized zirconia / Sakuma T. // Trans. Jap. Inst. Metals.— 1988.— 29, № 11.— С. 879—893.— Англ.

Обзор и крит. обобщение эксперим. результатов исследований фазовых превращений (ФП) и микроструктур частично стабилизированного  $ZrO_2$  (I). Основное внимание уделено рассмотрению природы ФП. Мартенситное ФП тетрагон.—монокл., обусловливающее увеличение твердости I, приводит к образованию в результирующей фазе  $m$ -I двойников и дислокаций. Бездиффузионное ФП кубич.—тетрагон. характеризуется образованием двух микроструктур: содержащей кристаллы с криволинейными границами и содержащей структурные составляющие в виде тонких пластин или чечевиц. Указанное ФП предположительно предваряет-

(II<sub>t2</sub>)

(одзп)

Х. 1989, N. 14

ся формированием доменной структуры во всем объеме образца. Микроструктура 2-го типа может формироваться на последующей стадии путем деформац. аккомодации. ФП кубич.—тетрагон. 2-го рода. Выделения  $t$ -I в матрице  $c$ -I обычно образуются при нагреве в двухфазной обл. На ранних стадиях изотермич. выдержки возможно формирование модулированной или двойниковой структуры. Обсуждена природа формирования выделений и соотв. микроструктур. Библ. 114.

В. Е. Смирнов



Zrl<sub>2</sub>

(Om. 32589)

1989

Агусов Р.Т., Синанов А.М.,

Докл. Ак. ЗССР, 1989,  
№ 33-35.

(Tn)

Zrlz

(Dn. 32588)

1989

Agente P.T., Unidad A.M.,

(Tz, Tm) Domic. Al YCP, 1989,  
NF, 89-36.

ZrD

Belov A.N., Semenov F.A.,<sup>1989</sup>

Izv. Akad. Nauk SSSR,  
Neorg. Mater. 1989, 25(6),

(P) 994-7

A mass-spectrometric  
investigation of the evapo-

ration of ternary solid solutions of the Zirconia - hafnia - yttria system.

ZrO<sub>2</sub>

1989

5 Б3114. Структурное исследование перехода из тетрагональной в моноклинную фазу в системе ZrO<sub>2</sub>—2 мол.% Y<sub>2</sub>O<sub>3</sub>, полученной плавлением в электрической дуге. I. Экспериментальные наблюдения. Structural study on the tetragonal to monoclinic transformation in arc-melted ZrO<sub>2</sub>—2 mol% Y<sub>2</sub>O<sub>3</sub>—I. Experimental observations / Hayakawa M., Kuntani N., Oka M. // Acta metall.—1989.—37, № 8.—С. 2223—2228.—Англ., рез. фр., нем.

Методами РФА и электронной микроскопии исследовано фазовое состояние монокрист. Пл (толщиной 200 мкм) ZrO<sub>2</sub>—2 мол.% Y<sub>2</sub>O<sub>3</sub>, полученных из расплава в электрич. дуге, и отожженых при 523 (РФА) и 573 К (электронная микроскопия) в течение 10 час. Исх. тетрагон. фаза ( $a$  0,51003,  $c$  0,51866,  $V$  0,13492 нм<sup>3</sup>) имеет слочкообразную структуру. Возни-

X. 1990, № 5

кающая в процессе обработки монокл. фаза ( $a$  0,51570,  
 $b$  0,51909,  $c$  0,53251,  $\beta$  98,61°,  $V$  0,14094 нм<sup>3</sup>) имеет  
крист. форму тонких пластинок. Пластиинки содержат  
плоские дефекты на {101} (плоскость двойникования  
тетрагон. матрицы). Дефекты интерпретированы как  
следствие решеточного инвариантного сдвига.

В. А. Ступников

Б.  
max

*ZrO<sub>2</sub>*

*1989*

5 Б3113. Структурное исследование перехода из тетрагональной в моноклинную фазу в системе  $ZrO_2$ —2 мол.%  $Y_2O_3$ , полученной плавлением в электрической дуге. II. Количественный анализ. Structural study on the tetragonal to monoclinic transformation in arc-melted  $ZrO_2$ —2 mol.%  $Y_2O_3$  — II. Quantitative analysis / Hayakawa M., Oka M. // Acta metall.— 1989.— 37, № 8.— С. 2229—2235.— Англ., рез. фр., нем.

На основе феноменологич. теории мартенситных превращений выполнен количеств. анализ эксперим. данных по переходу тетрагон. фазы  $ZrO_2$ , стабилизированной 2 мол.%  $Y_2O_3$  и обладающей елочкообразной структурой, в монокл. фазу. Основное ур-ние теории модифицировано для учета двойниковой структуры исх. фазы. В соотв-ии с эксперим. наблюдениями предложена схема механизма превращения. Схема включает решеточный инвариантный сдвиг, происходящий путем

*T<sub>2</sub>,  
Фазов. прев.*

*X. 1990, N5*

скольжения в направлении  $[10\bar{1}]$  монокл. фазы на ее плоскости  $(101)$ , к-рая соответствует двойниковой плоскости  $(101)$  исх. тетрагон. решетки. Обсуждена много-вариантная конфигурация двойниковой структуры, являющейся естественным следствием перехода кубич. фазы в тетрагон. при достаточно быстром охлаждении расплава.

По резюме.



*ZrO<sub>2</sub>*

1989

20 Б2237. Изучение полиморфизма под давлением и при нагревании для чистого и легированного ZrO<sub>2</sub>. Untersuchungen zur Druck- und Temperaturpolymorphie von reinem und dotiertem ZrO<sub>2</sub>: Diss. Dokt. / Kaliba C.—Naturviss. Fak. Friedrich-Alexander-Univ. Erlangen-Nürnberg, 1989.— iv, 181 с.: ил.— Нем.

С применением методов порошковой рентгенографии, дилатометрии, ДТА, изучены фазовые превращения чистого ZrO<sub>2</sub> и ZrO<sub>2</sub>, легированного оксидами трехвалентных Cr и Fe, а также пятивалентного Nb и четырехвалентного Hg в широкой области давл. и температур.

М. Б. Варфоломеев

*полиморф —  
диаграмма*

X.1991, №20

$ZrO_2$

1989

Казенас Е. К.,  
Темров А. А. и др.

P, Kp, ΔH<sub>s</sub>; ИИ-м Испытательный  
институт СССР. Ил., 1989, 15с.  
Ин. Выделение: 7 шагов.  
Рис. Дер. ГБ ВИИИУ ОЗ.  
11.89, № 6644-В89.

(cell.  $TiO_2$ ; 1)



$ZrO_2$

1989

10 E658. Полиморфизм при высоком давлении в керамиках и минералах  $GeO_2$  и  $ZrO_2$ . High pressure polymorphs in ceramics and minerals  $GeO_2$  and  $ZrO_2$  / Kume Shoichi, Ohtaka Osamu, Yamanaka Takamitsu, Navrotsky Alexandra // Solid State Ionics.— 1989.— 32—33, Pt. 1.— С. 285—287.— Англ. Место хранения ГПНТБ СССР

На установке высокого давления с алмазными наковальнями исследованы фазовые переходы в  $GeO_2$  и  $ZrO_2$ . В первом случае измерена скорость фазового перехода от  $\alpha$ -кварца к структуре типа рутила. Выделены два периода перехода: индукционный и период структурных изменений. Энергия активации 58 кДж/моль. Термодинамич. данные позволили определить наклоны фазовых границ при переходах от моноклинной структуры к орто-I структуре ( $-9,1 \cdot 10^{-3}$  ГПа/К) и от орто-I к орто-II структуре ( $+4,8 \cdot 10^{-3}$  ГПа/К).

Е. А. Алексеев

(7)

cb. 1989, N 10

ZrO<sub>2</sub>

1989

4 Б3032. Термодинамические свойства нестехиометрической двуокиси циркония, стабилизированной оксидом иттрия при низких давлениях кислорода. Thermodynamic properties of nonstoichiometric yttria-stabilized zirconia at low oxygen pressures / Park J.-H., Blumenthal R. N. // J. Amer. Ceram. Soc.—1989.—72, № 8.—С. 1485—1487.—Англ.

Термодинамический анализ процессов дефектообразования ZrO<sub>2</sub>, дopedированной Y<sub>2</sub>O<sub>3</sub>, проведен с использованием эксперим. данных, полученных методом кулонометрич. ТТ. Дефектообразование в тв. р-ре Zr<sub>1-y</sub>Y<sub>y</sub>O<sub>2-(x/2)</sub> при диссоциации Zr<sub>1-y</sub>Y<sub>y</sub>O<sub>2-(x/2)</sub>=Zr<sub>1-y</sub>Y<sub>y</sub>O<sub>2-(y/2)-x+x/2</sub>O<sub>2</sub> при низких Р(O<sub>2</sub>) записывается ур-нием 2Zr<sub>zr</sub><sup>x</sup>+O<sub>o</sub><sup>x</sup>=2Zr<sub>zr'</sub>+Vo''+1/2 O<sub>2</sub> или, в упрощенной форме O<sub>o</sub><sup>x</sup>→Vo''+2e+1/2 O<sub>2</sub>, Zr<sub>zr'</sub>—локализованный электрон в Zr узле. Закон действия масс записан в виде K=[Zr<sub>zr'</sub>]<sup>2</sup>·[Vo'']/[Zr<sub>zr</sub><sup>x</sup>][O<sub>o</sub><sup>x</sup>]·p<sup>1/2</sup>(O<sub>2</sub>). Для тв. р-ра с 8 мол.% Y<sub>2</sub>O<sub>3</sub> x=K·P<sup>-1/4</sup>(O<sub>2</sub>) и K=exp(ΔS<sup>0</sup>/k)(exp(-ΔH<sup>0</sup>/RT)).

Х. /991, № 4

Измерения э. д. с. проведены с использованием в кач-ве внешней газ. среды смеси 50% CO — 50% CO<sub>2</sub>. Кулонометрич. измерения проведены в интервале  $10^{-14} \leq P(O_2) \leq 1$  ат, значения  $x$  при 1000° С равны  $7,3 \cdot 10^{-5}$  и  $2,3 \cdot 10^{-8}$ , соотв.  $K = 0,677 [(\exp(-3,98 \pm 0,03 \text{ эВ})/kT]$ ,  $\Delta H(O_2) = 7,97 \pm 0,08 \text{ эВ}$ ,  $\Delta S(O_2) = 60,0 \pm 0,6 \text{ кал/моль}\cdot\text{К}$ .

Л. А. Резницкий

198

$ZrO_{2-x}$

от 32635

1989

5 Б3005. Термодинамические свойства нестехиометрического диоксида циркония. Расчет в модели частично упорядоченных взаимодействующих дефектов / Рогацкий А. Л., Васильева И. А. // Ж. физ. химии.— 1989.— 63, № 9.— С. 2320—2326.— Рус.

На основе непрерывных зависимостей от  $x$  парц. термодинамич. ф-ций  $O_2$  в оксиде  $ZrO_{2-x}$  (ср.), рассчитанных по симметричной модели нестехиометрич. соединений, вычислены значения  $\Delta fH^0$  ( $ZrO_{2-x}$ , ср,  $T$ ) для  $1800 < T < 2900$  К и  $0,02 < x < 0,44$ . На основании сопоставления результатов расчета и измерения  $\Delta \bar{G}_{O_2,0}$ ,  $\Delta \bar{S}_{O_2}$ , кубич.  $ZrO_{2-x}$  сделан вывод о слабой зависимости от  $T$  границы обл. гомогенности и двухфазной обл.  $Zr(a) + ZrO_{2-x}$  (ср). Показано, что значение  $\Delta H_{O_2}$  и собственная дефектность моноклинной  $ZrO_{2-x}$  удовлетворительно воспроизводятся в модели. Резюме

термо. св-ва

Х. 1990, N5

$ZrO_{2-x}$

от 32635 1989

1 E738. Термодинамические свойства нестехиометрического диоксида циркония. Расчет в модели частично упорядоченных взаимодействующих дефектов // Рогачкий А. Л., Васильева И. А. // Ж. физ. химии. — 1989. — 63, № 9. — С. 2320—2326

На основе непрерывных зависимостей от  $x$  парциальных термодинамич. ф-ций  $O_2$  в оксиде  $ZrO_{2-x}(k)$ , рассчитанных по симметричной модели нестехиометрич. соединений, вычислены значения  $\Delta_fH^0(ZrO_{2-x}; k, T)$  для  $1800 \leq T \leq 2900$  К и  $0,02 \leq x \leq 0,44$ . На основании сопоставления результатов расчета и измерения  $\gamma_{ZrO_2}$ ,  $\Delta S_{O_2}$  кубической  $ZrO_{2-x}$  сделан вывод о слабой зависимости от  $T$  границы области гомогенности и двухфазной области  $Zr(\alpha, 0) + ZrO_{2-x}(k)$ . Показано, что значение  $\Delta H_{O_2}$  и собств. дефектность моноклинной  $ZrO_{2-x}$  удовлетворительно воспроизводятся в модели. Библ. 20.

Резюме

φ. 1990, № 1

$ZrO_{2-x}$

1989

Om 32635

112: 26433z Thermodynamic properties of nonstoichiometric zirconium dioxide. Calculations in a model of partially ordered interacting defects. Rogatskii, A. I.; Vasil'eva, I. A. (Mosk. Gos. Univ., Moscow, USSR). *Zh. Fiz. Khim.* 1989, 63(9), 2320-6 (Russ). Partial thermodn. properties of O<sub>2</sub> in ZrO<sub>2-x</sub> were used to derive the heats of formation of the nonstoichiometric ZrO<sub>2-x</sub> at 1800-2900 K for 0.02 ≤ x ≤ 0.44. The 2-phase boundary (Zr(α, 0)-ZrO<sub>2-x</sub>) depends little on temp. The values for the partial enthalpies of O<sub>2</sub> point to the defect in the monoclinic ZrO<sub>2-x</sub> structure, and this was taken into account in the development of the thermodn. model.

(A/Hf, paewin)

c.A.1990, 112, N 4

$ZrO_2$

1989

Чебанко А. В., Наимен  
Ул. 20 гп.

( $T_m$ )

Узб. АН СССР. Неоргах.  
наимен. 1989. 25, №. с.



989-993

(см.  $HfO_2$ ; I)

Зад

1989

23 Б3043. Определение энтропии образования вакансий в оксидах никеля, хрома, титана и циркония методом прецизионной дилатометрии / Шейко-Швайковский В. Е. // 14 Менделеев. съезд по общ. и прикл. химии; Реф. докл. и сообщ. Т. 2-- М., 1989--- С. 165

Разработан прецизионный высокоточный дилатометр, к-рый благодаря идентичной форме опорной и толкающей частей и применению спец. операц. усилителя позволяет регистрировать изменение длины образца в процессе изменения температуры или газовой среды над образцом с точностью  $\pm 0,02$  мкм в диапазоне т-р 20—1500° С и в диапазоне давл.  $760 - 2 \cdot 10^{-6}$  торр. Выведена ф-ла, связывающая изменение объема кристалла при образовании в нем дефектов с вибрац. вкладом в энтропию образования дефектов:

(73)

$$\Delta S_{\text{вивбр.}} = -1/2k_B \ln(1 - \sigma \beta \Omega N_e / \kappa C_v Z),$$

Х. 1989, № 23

TiO<sub>2</sub>, NiO, Al<sub>2</sub>O<sub>3</sub>

где  $C_v$  — теплодемпность при постоянном объеме,  $N_0$  — число атомов в кристалле,  $Z$  — число ближайших соседей к рассматриваемому узлу решетки,  $\beta$  — объемный коэф. теплового расширения,  $\chi$  — изотермич. сжимаемость,  $\Omega$  — объем, приходящийся на один дефект. Измерены объемы, приходящиеся на один дефект и вычислены вибрац. вклад в энтропию образования дефекта для  $ZrO_3$ ,  $TiO_2$ ,  $NiO$  и  $Cr_2O_3$ . Из резюме



ZrO<sub>2</sub>

Da. 32255 /

1989

Subbarao B.N., Rao C.N.R.,

payal-  
nikos.

Eur. J. Solid State

and Inorg. Chem., 1989,

26, N1; 7-14.

*ZrO<sub>2</sub>*

1989

3 Б2082. Коэффициенты термического расширения образцов кубического оксида циркония, стабилизированного иттрием. Thermal-expansion coefficients of yttria-stabilized cubic zirconias / Terblanche S. P. // J. Appl. Crystallogr.— 1989.— 22, № 3.— С. 283—284.— Англ..

*Термическое  
расширение*

Рентгенографически изучены ( $\lambda$  Cu, метод порошка, высокот-рная съемка) в интервале т-р 300—1270 К коэф. термич. расширения (КТР) пяти образцов кубич. ZrO<sub>2</sub> (I), стабилизированных 9,4, 15, 18, 21 и 24 мол. % Y<sub>2</sub>O<sub>3</sub> (II). Предложено ур-ние связывающее параметр ячейки кубич. I с содержанием II и т-рой:  $a = 5,1208 + 0,00231y + 4,6468 \cdot 10^{-5}(t - 273) + 7,6613 \cdot 10^{-9}(t - 273)$ , где  $y$ —мол. % II,  $t$ —т-ра К. Не обнаружено заметных различий в поведении КТР для всего спектра добавок II в I. С. С. Мешалкин

X. 1990, N 3

ZrO<sub>2</sub>

1990

) 4 E741. Новая фаза высокого давления ZrO<sub>2</sub> при давлениях выше 35 ГПа. New high-pressure phase of ZrO<sub>2</sub> above 35 GPa / Arashi H., Akimoto S., Yagi T., Kudoh Y. // Phys. Rev. B.— 1990.— 41, № 7.— С. 4309—4313.— Англ.

На установке высокого давления с алмазными наковальнями методами КРС и рентгеновской дифракции исследованы фазовые переходы в ZrO<sub>2</sub> при давл. до 60 ГПа. Изменения спектра КРС подтвердили существование перехода при 13 ГПа. Обоими эксперим. методами обнаружен новый фазовый переход при 35 ГПа. Новая фаза стабильна до 60 ГПа и путем закалки может быть сохранена при норм. условиях. Рентгенографич. данные могут быть расшифрованы на базе тетраг. симметрии. Возможны пр. гр. C<sub>4h</sub><sup>1</sup>, C<sub>4h</sub><sup>4</sup>, D<sub>4h</sub>' или D<sub>4h</sub><sup>5</sup>. Молярный объем новой фазы меньше объемов ранее описанных фаз высокого давления ZrO<sub>2</sub>. Библ. 28.

Е. С. Алексеев

φ. 1991, № 4

$\gamma_{ZrO_2}$

1990

**10 E669.** Исследование спектров комбинационного рассеяния света поликристаллов тетрагональной окиси циркония с 12 мол.% Ce при различных температурах.  
Varying temperature Raman scattering studies of 12 mol% Ce tetragonal zirconia polycrystal / Cheng Guang-xu, Zhang Xing-kui // Ули сюэбао = Acta Phys. Sin.— 1990.— 39, № 8.— С. 1344—1350.— Кит.; рез. англ.

При изучении поликристаллов  $Zr_2O_5$  с 12 мол.% Ce методом КРС в интервале т-р 17—505 К обнаружен фазовый переход из тетраг. фазы в моноклинную при  $\sim 165 \pm 1$  К (при снижении т-ры) и обратный переход при  $\sim 450 \pm 2$  К (при повышении т-ры). В качестве причины переходов обсуждается конденсация фононов в зоне Бриллюэна.

Резюме

φ. 1991, № 10

1990

*ZrO<sub>2</sub>*  
 16 Б3021. Превращаемость тетрагональной  $ZrO_2$  в некоторых стеклах. The transformability of tetragonal  $ZrO_2$  in some glass systems / Cheng Y., Thompson D. P. // J. Mater. Sci. Lett.— 1990.— 9, № 1.— С. 24—27.— Англ.

Рассмотрены условия полиморфного превращения *t*-формы  $ZrO_2$  (тетрагон.) в *m*- $ZrO_2$  (монокл.), к-рые связываются с сжатием дендритов в случае превышения нек-рого крит. размера частиц превращаемой *t*-формы. Свободная энергия превращения  $\Delta G(t \rightarrow m)$  выражается суммой трех вкладов, определяемых энергией хим. р-ции  $\Delta G_c$ , энергией деформации  $\Delta U_{sc}$  и энергией ПВ, связанной с включениями,  $\Delta U_s$ , в результате чего  $\Delta G = -|\Delta G_c| + \Delta U_{sc} + \Delta U_s$ . Снижение  $T_{trs}$  м. б. связано с уменьшением  $\Delta G_c$  при введении стабилизирующей добавки. Возрастание содержания  $Y_2O_3$  с 4,5 до 11,5% в тв. р-ре с *t*- $ZrO_2$  приводит к исчезновению превращения *t*—*m* даже при больших размерах дендритов  $ZrO_2 \sim 2$  мкм. Форма *t*- $ZrO_2$  может быть стабилизирована алюмосиликатными стеклами, содержащими  $MgO$  или  $CaO$ , к-рые влияют на отношение  $c/a$  *t*- $ZrO_2$ .

Л. А. Резницкий

*T<sub>trs</sub>, ΔH<sub>trs</sub>*  
 X. 1991, N 16

ZrO<sub>2</sub>

№ 34203

1990

24 Б3030. Термодинамические свойства оксидов циркония, гафния и иттрия / Марушкин К. Н., Алиханян А. С., Орловский В. П. // Ж. неорган. химии.— 1990.— 35, № 8.— С. 2071—2077.— Рус.

Эффузионным методом Кнудсена с масс-спектрометрич. анализом состава газовой фазы исследованы процессы сублимации ZrO<sub>2</sub>, HfO<sub>2</sub> и Y<sub>2</sub>O<sub>3</sub> (I—III) в интервалах т-р 2600—2900, 2650—2950 и 2550—2800 К соотв. Парообразование I описывается р-циями I (s) = ZrO<sub>2-x</sub>(s) + O(g), 2ZrO<sub>2-x</sub>(s) = I(g) + ZrO(g) + (1 - 2x)O(g). Сублимация II и III протекает конгруэнтно, практически в одну стадию с незначительным обеднением конденсированной фазы кислородом, о чем свидетельствует потемнение образцов. Эти процессы описываются ур-ниями II(s) = II(g), II(s) = HfO(g) + O(g) и

(P, K<sub>p</sub>, ΔH<sub>3</sub>)

72  
18

170

ж. 1990, № 8

$\text{III}(s) = 2\text{YO}(g) + \text{O}(g)$ . Определены парц. давл. компонентов пара и рассчитаны их энталпии сублимации. Значения  $\Delta_{\text{sub}}H^\circ$  (298 К) по 2-му и 3-му законам составили соотв.: I  $770 \pm 25$  и  $812 \pm 21$ ; ZrO  $695 \pm 21$  и  $669 \pm 17$ ; II  $916 \pm 25$  и  $887 \pm 25$ ; HfO  $711 \pm 21$  и  $669 \pm 21$ ; YO  $711 \pm 26$  и  $715 \pm 17$  кДж/моль. Подробно исследовано изменение стехиометрии I в процессе сублимации. Нижней границе конгруэнтно сублимирующего состава  $\text{ZrO}_{2-x}$  в обл. 2715—2700 К по данным 3-х различных методов отвечают значения  $x$  от 0,09 до 0,02. Отмечено, что ранее проводившиеся исследования с использованием эффузионных ячеек из W относятся скорее к чистым оксидам, а к системам M—O—W. Использованное авторами покрытие W-ячейки иридием снижает содержание оксидов вольфрама в парах более, на порядок.

А. С. Гузей

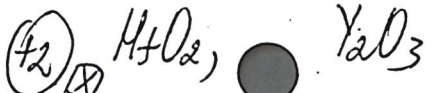
ZrO<sub>2</sub>

1990

Om 34203

113-179257r Thermodynamic properties of oxides of zirconium, hafnium and yttrium. Marushkin, K. N.; Alikhanyan, A. S.; Orlovskii, V. P. (USSR). *Zh. Neorg. Khim.* 1990, 35(8), 2071-7 (Russ.). Knudsen effusion method and mass spectroscopy were used to study the sublimation process of ZrO<sub>2</sub>, HfO<sub>2</sub>, and Y<sub>2</sub>O<sub>3</sub> at ~2550 to ~2950 K. The partial pressures of the gaseous phase and the heats of sublimation were detd.

(P, kP, ΔH)



C.A. 1990, 113, N 20

ZrO<sub>2</sub>(K) [OM. 34542] 1990

Nevitt M.V., Fang Y.,  
Chan Sai - Kit,

pp. J. Amer. Ceram. Soc.,  
1990, 73, N8 ●, 2502-2504.  
Heat Capacity Monoclinic

Zirconia between 2.75 and 380K

1990

1 E782. Фононы и фазовые переходы в двуокиси циркония. Phonons and phase transitions in zirconia / Perry C. H., Liu F. L. D. W., Alzyab B. // J. Raman Spectrosc.— 1990.— 21, № 9.— С. 577—584.— Англ.

Методами КРС и ИК-спектроскопии изучены структурные переходы в монокристаллах  $ZrO_2$ , происходящие в интервале т-р 300—1700 К при атмосферном давлении или при комн. т-ре под давлением. При низких т-рах (около 300 К) наблюдается моноклинная фаза (пр. гр.  $C_{2h}^5$ — $P2_1/c$ , 4 молекулы на ячейку). При 1245 К моноклинная фаза переходит в тетрагональную ТI (пространственная группа  $D_{4h}^{15}$ — $P4_2/nmc$ , 2 молекулы на ячейку), переход заканчивается при 1425 К. При охлаждении переход ТI в моноклинную фазу начинается при 1275 К и оканчивается при 1225 К. При давлении 4,1 ГПа происходит полный переход из моноклинной структуры в новую тетраг. модификацию ТII ( $D_{2h}$  или  $C_v$ , 4 молекулы на ячейку). Превращение под давлением протекает с гистерезисом около 0,5 ГПа. Библ. 37.

В. Л.

Фарфур  
керамика

90. 1991, N 1

7.2.92

1990

З Б3100. Фононы и фазовые переходы в оксиде циркония. Phonons and phase transitions in zirconia / Регу С. Н., Lu F., Liu D. W., Alzyab B. // J. Raman Spectrosc.— 1990.— 21, № 9.— С. 577—584.— Англ. Место хранения ГПНТБ СССР

В диапазоне т-р 300—1700 К при атм. давл. и в обл. давл. до 6 ГПа (на алмазных наковальнях) при 300 К методами ИК- и КР-спектроскопии исследовано фазовое поведение мультидоменных монокристаллов  $ZrO_2$ . Подтверждено существование перехода из монокл.  $C_{2h}^5$  (с 4 молекулами в элементарной ячейке) в тетрагон. (TI) фазу  $D_{4h}^{15}$  (с двумя молекулами), сопровождаемого большим т-рным гистерезисом. Начало перехода при 1245, конец при 1325 К. В цикле охлаждения обр. переход начинается при 1275 и заканчивается при 1225 К. Под давл. переход начинает идти при 3,5, заканчивается при 4,0 ГПа. Однако при этом образуется тетрагон. (TII) фаза с симметрией  $D_{2d}$  или  $C_{2v}$  (с 4 молекулами).

Резюме

Х. 1991, № 3

$ZrO_2$

Am 35571

1991

10 Е668. Термические фазовые превращения в  $ZrO_2$  по данным ДТА и РФА / Бадина Е. Ю., Туракулова А. О., Лунин В. В. // Вестн. МГУ. Сер. 2.— 1991.— 32, № 3.— С. 234—236

Методами ДТА и РФА изучены термич. фазовые превращения образцов  $ZrO_2$ , полученных различными способами. Показано, что тетраг. модификация  $ZrO_2$  метастабильна. Низкотемпературная тетраг. модификация постепенно переходит в моноклинную при нагревании от 678 до 1473 К. Переход моноклинной формы  $ZrO_2$  в высокотемпературную тетрагональную является обратимым, обнаружен температурный гистерезис.

Резюме

( $T_2$ )

φ. 1991, N 10

$ZrO_2$

1991

Денисов В.В., Ибаков Т.Т.,  
Столицерова В.Л.

OKAUG-ЧИРКОМНГ: Тез. докт.  
Всес. конф., Звенигород. 23-25  
сент., 1991. № 1991. С. 61.

( $CeO_2$  •  $UO_2$ ; I)

2102

1991

5 Е446. Сублимация диоксида циркония, стабилизированного иттрием, в атмосфере воздуха и среде продуктов сгорания / Дон А. Т., Ибрагимов Н. И., Пахомов Е. П., Хабибулаев П. К., Чернышов Г. И., Чубаров Ю. И. // Теплофиз. высок. температур.— 1991.— 29, № 5.— С. 1035—1037

В интервале т-р  $\sim 2600$ — $3000$  К при нагреве образцов непрерывным излучением  $\text{CO}_2$ -лазера исследована сублимация на воздухе образца  $\text{ZrO}_2$ , стабилизированного 9 мол.%  $\text{Y}_2\text{O}_3$ . Изучена также скорость сублимации керамики в среде продуктов сгорания пропана в кислороде. Установлено, что скорость сублимации одинакова для воздуха и среды продуктов сгорания: 1 мкм/ч при 2800 К и 10 мкм/ч при т-ре ( $\approx 3000$  К), близкой к т-ре плавления  $\text{ZrO}_2$ . Излучательная способность керамики при  $\lambda = 0,665$  мкм в диапазоне т-р 2500—3000 К составляет  $\sim 0,85$ . Оценка показала, что энергия активации скорости сублимации  $\text{ZrO}_2$  равна  $\sim 800$  кДж/моль.

( $P$ ,  $K_P$ )

φ 1992, № 5

1991

ХХХ

9 Е688. Полиморфизм диоксидов циркония и гафния / Гуламова Д. Д., Новоселова С. Н. // Ж. неорганической химии.— 1991.— 36, № 5.— С. 1127—1130

Изучен полиморфизм диоксидов циркония и гафния в диапазоне т-р 20—2300° С. Установлены переходы: моноклинная — ромбическая — тетрагональная — кубическая. Определены параметры элементарных ячеек и объемные эффекты полиморфных переходов. Резюме

9 Е689. Структурные превращения при высоких температурах диоксидов титана, циркония, гафния / Гуламова Д. Д., Новоселова С. Н. // Препр. / АН УзССР. Физ.-техн. ин-т НПО «Физ. — Солнце».— 1991.— № 142.— М.— 18 с.

(Tz2)

оф. 1991, № 9

H<sub>2</sub>O<sub>2</sub>

ХХХХ

1991

19 Б2012. Полиморфизм диоксидов циркония и гафния / Гуламова Д. Д., Новоселова С. Н. // Ж. неорг. химии.— 1991.— 36, № 5.— С. 1127—1130.— Рус.

Изучен полиморфизм диоксидов циркония и гафния в диапазоне т-р 20—2300°С. Установлены переходы: монокл.—ромбич.—тетрагон.—кубич.; определены параметры элементарных ячеек и объемные эффекты полиморфных переходов.

7/2

(4)  $\text{HfO}_2$



Х. 1991, N 19

1991

8 Б3021. Термодинамическая модель превращения в нестехиометрическом оксиде циркония кубической модификации в тетрагональную. Thermodynamic model of the cubic  $\rightarrow$  tetragonal transition in nonstoichiometric zirconia / Hillert Mats // J. Amer. Ceram. Soc.— 191.— 74, № 8.— С. 2005—2006.— Англ.

Термодинамическое описание полиморфного превращения кубич. — тетрагон. тв. р-ра  $ZrO_2-Y_2O_3$  использовано для интерпретации превращения нестехиометрич.  $ZrO_{2-x}$ . Трикрист. т-ра распада тв. р-ра  $ZrO_2-Y_2O_3$  около 2400 К при 4 мол. %  $YO_{1.5}$  в тв. р-ре  $(Zr^{4+}, Y^{3+})(O^{2-}, V_a^0)_2$ , анионные вакансии в О-подрешетке. При низких  $P(O_2)$  возможно возникновение  $V_{a0}$  в анионной подрешетке  $ZrO_{2-x}$  с образованием нестехиометрич. оксида  $(Zr^{4+}, Zr^{3+})(O^{2-}, V_a^0)$ . Образование  $Zr^{3+}$  и  $V_a^0$  снижает  $T_{trs}$  куб.  $\rightarrow$  тетрагон. с 2650 К для  $ZrO_2$  до 2150 К для 4 мол. %  $ZrO_{1.5}$ . Термодинамика превращения определяется лишь числом вакансий в О-подрешетке и слабо зависит от природы катиона.

Л. А. Резницкий

22.02

(T<sub>tr</sub>)

Х. 1992, N8

$\tilde{\alpha}\text{rO}_2$

1991

1 Б2021. Кристаллические структуры двух ромбических (модификаций) циркона. Crystal structures of two orthorhombic zirconias /Howard C. J., Kisi E. H., Ohtaka O. //J. Amer. Ceram. Soc. —1991.—74, № 9.—С. 2321—2323.—Англ.

Для выяснения нерешенных проблем полиморфизма  $\text{ZrO}_2$  дифракцией нейтронов исследованы крист. структуры ромбич. частично стабилизированного  $\text{ZrO}_2:\text{Mg}$  (I) и поликрист. ромбич.  $\text{ZrO}_2$ , полученного закалкой от высоких т-р и давл. ( $600^\circ\text{C}$ , 6 ГПа) (II). I и II кристаллизуются в ф. гр.  $\text{Pbc}2_1$  и  $\text{Pbca}$ , соотв., к-рые неразличимы дифракцией рентгеновских лучей из-за низкой рассеивающей способности атомов О по сравнению с атомами Zr. Структуры I и II легко различаются дифракцией нейтронов: II обладает удвоенной по оси а ячейкой и

№ 1993, № 1

характеризуется наличием на нейтронограмме интенсивных сверхструктурных отражений (напр., 102). Т. обр. I и II представляют собой 2 индивидуальные фазы. Обсуждены структурные взаимосвязи между I и II и модификацией  $ZrO_2$  *in situ* высокого давл. (ф. гр. Рbcm). На основании лит. и полученных данных с большой вероятностью сделан вывод, что последняя соответствует фазе II.

Ф. М. Спиридонов

ZrD<sub>2</sub>

1991

Ладушкин В.Н.,

Авторизовано для размещения  
на сайте музея Учебной Стены  
(kp, SH) ки. В.Х.Н., Москва, 1991.

*ZrO<sub>2</sub>*

*Om. 35732, 35896 /991*

) 2 Е914. Энталпии кристаллизации аморфного диоксида циркония и его твердых растворов СМ<sub>2</sub>O<sub>3</sub> (M—Y, Se, Pr, Nd, Eu, Tb, Yb) / Резницкий Л. А., Филиппова С. Е. // Неорган. матер.— 1991.— 27, № 9.— С. 1841—1844

*S/Mt2*

Стабилизация некристаллич. состояния ZrO<sub>2</sub> достигается введением оксидов-ингибиторов с учетом кристаллохимических и энергетич. характеристик связей металл—кислород. Ингибиторами аморфного состояния являются примеси с большими радиусами катионов и с энергией связи  $\varepsilon(M-O) > \varepsilon(Zr-O)$ . Введение оксида иттрия в ZrO<sub>2</sub> в наибольшей степени удовлетворяет этим критериям.

*phi. 1992, № 2*

2202

Om. 35732, 358% /991

3. Б3024. Энталпии кристаллизации аморфного диоксида циркония и его твердых растворов с  $M_2O_3$  ( $M=Y, Sc, Pr, Nd, Eu, Tb, Yb$ ) / Резницкий Л. А., Филиппова С. Е. // Неорган. матер.— 1991.— 27, № 9.— С. 1841—1844.— Рус.

Методом колич. термографии определены т-ры и энталпии кристаллизации аморф. диоксида циркония, полученного дегидратацией  $Zr(OH)_4$  и тв. р-ров, синтезированных соосаждением гидроксидов  $Zr(OH)_4+$  +5 мол.%  $M(OH)_3$ . Показано, что влияние примеси на т-ру начала экзоэффекта кристаллизации определяется в основном энергией связи  $\varepsilon(M-O)$  вводимой

(ΔH)

X. 1992, N3

примеси. Введение катионов Y, Sc, Tb, Pr и Nd, для которых  $\epsilon(M-O) \geq \epsilon(Zr-O)$ , повышает термическую устойчивость аморф. матрицы  $ZrO_2$ . Катионы Eu и Yb [ $\epsilon(M-O) < \epsilon(Zr-O)$ ] оказывают противоположное действие. При близких значениях  $\epsilon(M-O)$  и  $\epsilon(Zr-O)$  существенную роль играет размер катиона примеси. Так, крупные ионы  $Pr^{3+}$  и  $Nd^{3+}$  несколько повышают  $T_{\text{крис}}$ , хотя  $\epsilon(M-O)$  в этих случаях почти совпадают с  $\epsilon(Zr-O)$ . Наиболее эффективным ингибитором аморф. состояния  $ZrO_2$  является примесь  $Y_2O_3$  с большой  $\epsilon = 290$  кДж/г·эл и крупным катионом  $Y^{3+}$  ( $\Delta R = 21\%$ ). Оба фактора — кристаллохим. и энергетич. — в этом случае «работают» в направлении термической стабилизации аморф. состояния и повышают  $T_{\text{крис}}$  на 14 К.

А. С. Гузей

$ZrO_2$

1992

Slobodov S. A.,  
Kreitskii A. V. et al.

$Af^4H$ ,  $Af^5S$ ,  
 $Af^6G$   
аналог  
сферических  
форм

Zh. Prikl. Khim. (S.-Pe-  
terburg) 1992, 65(5),  
1031-41.



(crys.  $Zr$ ; I)

*ZrO<sub>2</sub>*

1992

) 8 E553. Кристаллизация и фазовое превращение в  
окиси циркония. Непосредственное рентгеновское диф-  
ракционное исследование при высоких температурах.  
Crystallization and phase transformation process in zirconia:  
an in situ high-temperature X-ray diffraction study / Sri-  
nivasan Ram, Davis Burtron H., Cavin O. Burl, Hubbard  
Camden R. // J. Amer. Ceram. Soc. — 1992 .— 75 , №  
5 .— С. 1217—1222 .— Англ.

Аморфный ZrO<sub>2</sub> получен выделением из раствора тет-  
рахлорида циркония при медленном (8 ч, MZ) или  
быстрым (BZ) добавлении аммиака. После кальцинирова-  
ния при 500 °C в BZ образуется преимущественно ZrO<sub>2</sub>  
с моноклинной решеткой (m), в MZ-тетраг. фаза (t).  
Рентгеноструктурный анализ проведен в Cu-K<sub>α</sub>-излучении  
с использованием 0-0 дифрактометра при т-рах до 800  
°C в атмосфере He или на воздухе. Нагрев до 450 °C

(Tz)

cb 1993, N 8

приводит к образованию тетраг. фазы, устойчивой до 800 °С, при этой т-ре на поверхности появляются дефекты структуры. Предполагается, что абсорбция кислорода на дефектах при низких т-рах способствует превращению  $\text{t} \rightarrow \text{m}$ . Наличие на поверхности сульфатных анионов затрудняет превращение. Отмечается, что размеры кристаллов не лимитируют  $\text{t} \rightarrow \text{m}$  превращение, поскольку во всех образцах они примерно одинаковы (11 нм). Библ. 32.

Е. З. С.

1992

ZrO<sub>2</sub>

) 9 Б3083. Одновременный термический анализ для исследований термической диссоциации ZrO<sub>2</sub>. Simultaneous thermal analyses for thermal dissociation studies on ZrO<sub>2</sub> : [Pap.] 5th Conf. Calorimetry and Therm. Anal., Zakopane, 24—27 Sept., 1991 /Szalkowicz M. //J. Therm. Anal.—1992.—38, № 9.—С. 2129—2135.—Англ.; рез. нем.

В диапазоне т-р 300—2670 К одновременно действующими методами ДТА, ТГ, ДТГ (на скоростях нагрева 4, 6 и 8 град/мин) и квадрупольной МС (для анализа газ. фазы) в вакууме  $1,33 \cdot 10^{-6}$  кПа исследовано фазовое поведение ZrO<sub>2</sub> (I). При 1353—1473 К идет переход I из монокл. в тетрагон. фазу. Между 1713 и 2313 К идет сублимация небольшой части с послед. образованием молек. кислорода и фазы ZrO в паровой фазе. При 2370 К идет переход I от тетрагон. в кубич. модификацию. В диапазоне т-р 2373—2673 К идет диссоциация I, с образованием атомарного кислорода и газ. фазы ZrO. Побочными р-циями в этой высокот-рной области являются  $2\text{ZrO}_2$  (тв.)=2ZrO (газ)+O<sub>2</sub> (газ) и  $\text{ZrO}_2$  (тв.)=Zr(газ)+O<sub>2</sub> (газ).

(T<sub>t2</sub>, k<sub>p</sub>)

Х. 1993, № 9

В. А. Ступников

ZrO<sub>2</sub> Mitsuhashi T., 1993

Ikegami T., et al.

Proc. Int. Conf. Intell.

( $\Delta_{tr} H$ ) Mater., Ist 1993, 155-8.

(cer. ZrO<sub>2</sub>-Y<sub>2</sub>O<sub>3</sub>; ?)

$\text{ZrO}_2$

1993

( $T_m$ ,  $T_{cr}$ )

Yamada Toyoaki,  
Mizuno Masao, et al.

Nagoya kogyo gijutsu  
shikenjo hokoku - Repts  
Gov. Ind. Res. Inst., Nagoya  
1993. 42, N 8-9, C. 236-275.

( $\text{Ce}_x\text{HfO}_2$ ;  $\overline{1}$ )

ZrO<sub>2</sub>

1994

121: 264982h Thermodynamic functions of zirconium oxide in fluorite-like solutions of the system ZrO<sub>2</sub>-Y<sub>2</sub>O<sub>3</sub>. Faitseva, I. A.; Dobrokhotova, Zh. V. (Mosk. Gos. Univ., Russia). *Neorg. Mater.* 1994, 30(7), 955-8 (Russ). The partial thermodn. properties of ZrO<sub>2</sub> in fluorite-like solid solns.  $(\text{ZrO}_2)_{1-x}(\text{Y}_2\text{O}_3)_x$  ( $x = 0.15-0.38$ ) were studied using the emf. method with oxygen-ion electrolyte. The chem. potential of ZrO<sub>2</sub> as function of the soln. compn. was detd. at 1273 K.

Миражи  
92-444

C.A. 1994, 121, N22

ZrO<sub>2</sub>

1994

Hill R.J., Grasswick I.M.D.,

кристал.  
структур  
1994, 27, N 5, 802-844.

Международный союз кристаллографии -  
Комиссия по горохековой дифракто-  
метрии. Утвержденные методы Рамен-  
га. Round Robin. II Академия Море-  
Пал. X. N 22, 1995, 22 529

Книжного зала

23

1994

23 Б2158. Упругие свойства моноклинного и ромбического  $ZrO_2$ . Elastic properties of monoclinic and orthorhombic  $ZrO_2$  /Kawasaki S., Yamanaka T. //J. Mater. Sci. Lett. .—1994 .—13 ,№ 7 .—С. 514—515 .—Англ.

В установке высокого давл. с алмазной наковальней проведены измерения параметров решетки монокл. (I) и ромбич. высокого давл. (II) модификаций  $ZrO_2$  в зависимости от давл. до 5,07 ГПа. Установлено, что изменения объема I и II описываются ур-нием Берча-Мурнагана. Из полученных данных рассчитаны объемные модули упругости для I и II, равные  $101,2 \pm 1,1$  и  $197,3 \pm 26,3$  ГПа соответственно.

Ф. М. Спиридонов

X. 1994, N 23

$\text{ZrO}_2$

1994

4 Б3047. Термодинамические функции оксида циркония во флюоритоподобных растворах системы  $\text{ZrO}_2 - \text{Y}_2\text{O}_3$  /Зайцева И. А., Доброхотова Ж. В. //Неорган. матер. .—1994 .—30 ,№ 7 .—С. 955—958 .—Рус.

X. 1995, NЧ

*ZrO<sub>2</sub>*

1995

16 Б287. Зонная структура кубического  $ZrO_2$ , содержащего вакансии кислорода и ионы кальция. Band structure of cubic  $ZrO_2$  containing oxygen vacancies and calcium ions / Ol'khovic G. A., Naumov I. I., Velikokhatnyi O. I. // J. Phys.: Condens. Matter. — 1995. — 7, № 7. — С. 1273—1282. — Англ.

Проведен теоретический анализ электронной структуры  $ZrO_2$ , содержащего вакансии кислорода и ионы кальция. Расчеты зонной структуры кубической структуры флюорита проведены линейным методом маффин-тин-орбиталей. Получены полные и парциальные плотности состояний и проанализирован перенос заряда между компонентами системы. Отмечено, что во всех изученных системах связь обладает преимущественно ионным характером.

Н. А. Лебедева



X. 1995, N 16

ZrO<sub>2</sub>

1995

124: 213217s Low temperature heat capacities of zirconia and yttria-doped zirconia  $(\text{ZrO}_2)_{1-x}(\text{Y}_2\text{O}_3)_x$  ( $x = 0, 0.0200, 0.0396$ ).

Shirakami, Tatsuya; Tojo, Takeo; Atake, Tooru; Mori, Toshiyuki; Yamamura, Hiroshi (Research Laboratory of Engineering Materials, Tokyo Institute of Technology, 4259 Nagatsuta-cho, Midori-ku, Yokohama, Japan 226). *Thermochim. Acta* 1995, 267, 415-20 (Eng). Heat capacity measurements were performed on zirconia and yttria-doped zirconia,  $(\text{ZrO}_2)_{1-x}(\text{Y}_2\text{O}_3)_x$  ( $x = 0, 0.0200, 0.0396$ ), between 13 and 300 K by adiabatic calorimetry. Powder X-ray diffraction and Raman spectra showed that the structure of the samples with  $x = 0$  and 0.0396 was monoclinic and tetragonal, resp., while the sample with  $x = 0.0200$  was a mixt. of the two phases. The heat capacity of the sample of  $x = 0.0200$  was not estd. on the basis of the additivity rule from the values of the other two samples ( $x = 0, 0.0396$ ). A broad hump was found around 20 K in the heat capacity curve of  $C_p T^{-3}$  vs. T of the sample of  $x = 0.0396$ .

(P)

⑦

$(\text{ZrO}_2)_{1-x}(\text{Y}_2\text{O}_3)_x$

C.A. 1996, 124, N 16

✓  
✓  
✓

1995

Chap. 34a p.

123: 94479w Phase diagrams. Wenzl, H. (Inst. Festkoerperforsch., Forschungszentrum Juelich GmbH, Germany). *Elektrokeram. Mater. Vorlesungsmanuskr. IFF-Ferienkurses, 26th 1995, A3b.1-A3b.12* (Ger). Forschungszentrum Juelich: Juelich, Germany. A review with several refs. on principles, calcn. and construction of phase diagrams for various types of binary and ternary systems, including the three-dimensional representation. As examples, phase diagrams are discussed for water, quartz,  $ZrO_2$ , Zr-O system, ternary Zr-O-Y system, and YBCO compds.

$Zr-O$ ,  $Zr-O-Y$

(+2)



C.A. 1995, 123, 18

1996

F: ZrO<sub>2</sub>

P: 1

ЗБ245. Исследование кубического стабилизированного диоксида циркония (CSZ). 1. Усредненная структура Y-CSZ. A neutron-scattering investigation of cubic stabilized zirconia (CSZ). 1. The average structure of Y-CSZ / Argyriou D. N., Elcombe M. M., Larson A. C. // J. Phys. and Chem. Solids. - 1996. - 57, 2. - С. 183-193. - Англ.

Монокристальной дифракцией нейтронов изучены релаксации атомов O из их идеальных позиций в стабилизированном 9,5-24 мол.% Y<sub>2</sub>O<sub>3</sub> кубическом ZrO<sub>2</sub>. Выявлено преимущественное смещение атомов O в направлении [100] и в меньшей степени - в направлении [111]. Существенное их количество остаётся в идеальных флюоритных позициях. С ростом

содержания  $\text{Y}_2\text{O}_3$  средние расстояния Zr-O сокращаются до значений, близких для тетрагонального  $\text{ZrO}_2$ . Противоречия, имеющиеся в литературе относительно направления релаксации Проведен РСТА ('лямбда' 0,7, синхротрон,  $R = 0,017$  для 1329 отражений)  $\text{SmFeO}_3$ . Кристаллы ромб., а 5,6001, b 7,7060, c 5,3995 Å, z 4, ф. гр. Pnma. У атомов катиона электронная плотность деформирована гораздо больше, чем у атомов O. Влияние ближайших низкосимметричных орбиталей атомов O, на электронную плотность Sm-катаиона существенно меньше, чем ионов Fe. Взаимодействия Sm-Fe влияют на величины магнитных и спиновых моментов атомов Fe.

---

ZrO<sub>2</sub>, крист. структура (при высоких давл.) 1996

HfO<sub>2</sub>, крист. структура — /, —

F: BELOV

P: 1

6Б210. Микрософт -виндоус программы для пространственных групп. Применение для анализа Кристаллы фаз типа котунита чистых ZrO<sub>2</sub> ( I) и HfO<sub>2</sub> ( II) получены рекристаллизацией при давл. 20 ГПа при 750-800{°}С в течение 1-3 ч. и при 800{°}С в течение 2,5-5 ч., соотв., с последующим охлаждением в течение 12 ч. Структура кристаллов определена дифракцией нейтронов на порошке при времени пролета 2480-19500 мкс. Структуры соединений I и II почти идентичны, 9 полизэдрич.



расстояний РЭЗ-О варьируются в пределах 2,133(1)-  
2,546(1) Å в I и 2,121(1)-2,532(2) в II.  
Рамановские спектры обеих фаз почти идентичны, и  
соответствуют структурному типу котунита. Это  
подтверждает, что при высоком давл. в I и II  
Кристаллы фаз типа котунита чистых ZrO<sub>2</sub> (I) и  
HfO<sub>2</sub> (II) получены рекристаллизацией при давл.  
20 ГПа при 750-800{°}С в течение 1-3 ч. и при  
800{°}С в течение 2,5-5 ч., соотв., с последующим  
охлаждением в течение 12 ч. Структура кристаллов  
определенна дифракцией нейтронов на порошке при  
симметрии доменных структур. MS-windows software for  
space groups: application to domain structure symmetry  
analysis : Collec. Abstr. Int. Union Crystallogr 17th  
Congr. and Gen. Assem., Seattle, Wash., Aug. 8-17, 1996  
/ Davies B. L., Dirl R., Zanovec V., Zikmund Z. // Acta  
crystallogr. A. - 1996. - 52, Suppl. - C. 441. Англ.

---

1996

F: ZrO<sub>2</sub>

P: 1

2Б3104. Термоаналитическое исследование твердофазных реакций между оксидом теллура и оксидами циркония и гафния. A thermoanalytical study of solid state reactions between tellurium oxide and the oxides of zirconium and hafnium / Mishra R., Samant M. S., Kerkar A. S., Dharwadkar S. R. // Thermochim. acta. - 1996. - 273. - С. 85-93. Англ.

С использованием методов ТГА, ДТА и РСТА исследованы твердофазные р-ции оксида теллура с оксидами циркония и гафния. Единственными

соединениями, образующимися в этих двух псевдобинарных системах, были ZrTe<sub>3</sub>O<sub>8</sub> и HfTe<sub>3</sub>O<sub>8</sub> соотв. На основе полученных результатов сделан вывод, что эти соединения м. б. синтезированы в тв. состоянии в чистой форме из их бинарных оксидов нагреванием стехиометрич. смеси до т-р 900-950 К, где испарение наиболее летучего компонента TeO<sub>2</sub> незначительно.

---

1996

F: ZrO<sub>2</sub>

P: 1

2Б3112. Влияние химии осаждения и измельчения в шаровой мельнице на термическое поведение гидроксида циркония. Influence of precipitation chemistry and ball-milling on the thermal behavior of zirconium hydroxide / Stefanic G., Music S., Sekulic A. // Thermochim. acta. 1996. - 273. - с. 119-133. - Англ.

Осадки гидроксида циркония, полученные быстрым осаждением при различных значениях pH, были измельчены в шаровой мельнице и затем нагревались внутри диф. сканирующего калориметра до т-ры 600{°}С. Крист. фазы, полученные после нагревания, анализировались методами ИКС с фурье-преобразованием и лазерной спектроскопии КР. Найдено, что в зависимости от продолжительности

измельчения образуется тетрагон. или монокл.  $ZrO_2$ .  
величина pH при осаждении влияет на энталпию кристаллизации. Измельчение в шаровой мельнице продукта, осажденного при pH, равном 2,5, вызывает гидратацию и увеличивает гигроскопичность. Обсуждена природа этих эффектов.

---

*ZrO<sub>2</sub>*

1997

19Б2126. Исследование фазовых переходов в кристаллах частично стабилизированного диоксида циркония / Абоимов М. А., Борик М. А., Гогоци Г. А., Калабухова В. Ф., Ломонова Е. Е., Мызина В. А. // Неорган. матер. [Изв. АН СССР. Неорган. матер.] .— 1997.— 33, № 3.— С. 344–351.— Рус.

Методами ДТА, ДСК и высокотемпературной микроскопии исследованы фазовые превращения в кристаллах диоксида циркония, частично стабилизированного Y<sub>2</sub>O<sub>3</sub> (до 3 мол. %). Кристаллы с различным содержанием оксида иттрия получены направленной кристаллизацией расплавов. Определены температурные интервалы и теплоты фазовых переходов  $M \rightleftharpoons T ZrO_2$ . Показано, что с увеличением количества Y<sub>2</sub>O<sub>3</sub> снижаются температуры и уменьшаются температурные гистерезисы этих переходов.

*Tz, dHt2*

X 1997, N 19

1997

F: t'-ZrO<sub>2</sub>

P: 3 |

7Б2181. Сегнетоупругость t'-ZrO<sub>2</sub>: I. Исследование микроструктуры полидоменного тетрагонального ZrO<sub>2</sub> высоковольтной электронной микроскопией.  
Ferroelasticity of t'-zirconia: I, high-voltage electron microscopy studies of the microstructure in polydomain tetragonal zirconia / Baither Dietmar, Baufeld Bernd, Messerschmidt Ulrich, Foitzik Andreas H., Ruhle Manfred // J. Amer. Ceram. Soc. - 1997. - 80, 7. - С. 1691-1698. - Англ.

Место хранения ГПТБ России. Рассмотрены результаты исследования высоковольтной электронной микроскопией микроструктуры полидоменного тетрагонального ZrO<sub>2</sub> (t'-ZrO<sub>2</sub>), т. е. модификации ZrO<sub>2</sub>.

обладающей сегнетоупругими св-вами. Этот материал включал 3 варианта доменов тетрагон. фазы с с-осями ортогональными фазы относительно друг друга. Два типа пластиноподобных доменов независимо от их расположения, способствовали образованию удлиненных регулярных колоний, при этом в обоих вариантах общий вид плоскости доменов представлял собой двойниковую плоскость {110}. Указанные регулярные колонии имели столбчатую структуру с < 111> осями. Они были окружены плоскостями {110}, к-рые в свою очередь имели вид двойных плоскостей для доменов в колониях. Благодаря такой структуре и необычному расположению колоний, ZrO<sub>2</sub> остается когерентным и обладает псевдокуб. структурой в макроскопич. объеме, хотя он образуется различными тетрагон. доменами.

---

1997

F: t'-ZrO<sub>2</sub>

P: 3

7Б2181. Сегнетоупругость t'-ZrO<sub>2</sub>: I. Исследование микроструктуры полидоменного тетрагонального ZrO<sub>2</sub> высоковольтной электронной микроскопией.

Ferroelasticity of t'-zirconia: I, high-voltage electron microscopy studies of the microstructure in polydomain tetragonal zirconia / Baither Dietmar, Baufeld Bernd, Messerschmidt Ulrich, Foitzik Andreas H., Ruhle Manfred // J. Amer. Ceram. Soc. - 1997. - 80, 7. - с. 1691-1698. -

Англ.

Место хранения ГПТБ России Рассмотрены результаты исследования высоковольтной электронной

микроскопией микроструктуры полидоменного тетрагон. ZrO<sub>2</sub> ( $t'$ -ZrO<sub>2</sub>), т. е. модификации ZrO<sub>2</sub>, обладающей сегнетоупругими св-вами. Этот материал включал 3 варианта доменов тетрагон. фазы с c-осями ортогональными фазы относительно друг друга. Два типа пластиноподобных доменов независимо от их расположения, способствовали образованию удлиненных регулярных колоний, при этом в обоих вариантах общий вид плоскости доменов представлял собой двойниковую плоскость {110}. Указанные регулярные колонии имели столбчатую структуру с <111> осями. Они были окружены плоскостями {110}, к-рые в свою очередь имели вид двойных плоскостей для доменов в колониях. Благодаря такой структуре и необычному расположению колоний, ZrO<sub>2</sub> остается когерентным и обладает псевдокуб. структурой в макроскопич. объеме, хотя он образуется различными тетрагон. доменами.

---

1997

F: ZrO<sub>2</sub>

P: 1

бб252. Исследование фаз типа котуннита в оксидах циркония и гафния (методами) дифракции нейтронов и спектроскопии КР. Characterization of the cotunnite-type phases of zirconia and hafnia by neutron diffraction and raman spectroscopy / Haines Julian, Leger Jean Michel, Hull Steve, Petitet Jean Pierre, Pereira Altair S., Perottoni Claudio A., da Tornada Joao A. H. // J. Amer. Ceram. Soc. - 1997. - 80, 7. - С. 1910-1914. - Англ.

Место хранения ГПНТБ России

происходит переход в идентичные фазы.

24Б3150

1997

24Б3150. Термические превращения в диоксиде циркония, легированном оксидами иттрия, лантана и скандия / Харланов А. Н., Туракулова А. О., Лунина Е. В., Лунин В. В. // Ж. физ. химии.— 1997.— 71, № 6.— С. 985–990.— Рус.

Методами дифференциального-термического и рентгенофазового анализа исследовано влияние модификации оксидами иттрия, лантана и скандия на термические превращения в диоксиде циркония. Проведено сравнение с аналогичными свойствами чистого  $ZrO_2$ , полученного из оксинитрата и оксихлорида циркония. Показано, что природа аниона, при прочих одинаковых условиях, оказывает заметное влияние на температуру фазовых превращений в получаемом  $ZrO_2$ , модификация оксидами иттрия и лантана оказывает существенное влияние на процесс

(Tz)

Х. 1997, № 24

формирования кристаллической структуры. Установлено, что кристаллическая флюоритоподобная решетка твердых растворов  $\text{Y}_2\text{O}_3-\text{ZrO}_2$  и  $\text{La}_2\text{O}_3-\text{ZrO}_2$ , формируется при температуре выше температуры кристаллизации чистого  $\text{ZrO}_2$ , и в достаточно широкой области температур существует смесь мелкодисперсного тетрагонального и аморфного диоксида циркония. Присутствие  $\text{Sc}_2\text{O}_3$  в качестве модифицирующей добавки не оказывает существенного влияния на температуру кристаллизации  $\text{ZrO}_2$ .

1997

F: ZrO<sub>2</sub>

P: 1

10Б2242. Дилатометрические исследования  
марктенситного фазового превращения в ZrO<sub>2</sub>,  
стабилизированном CeO<sub>2</sub> / Каспер . В., Троянчук И.  
О. // еорган. матер. [бывш. Изв. А СССР. еорган.  
матер.]. - 1997. - 33, 8. - С. 972-974. - Рус.

Проведены дилатометрические исследования ZrO<sub>2</sub> и  
Zr[0.91]Ce[0.09]O<sub>2</sub>. Обнаружено, что при  
нагревании тетрагональной фазы Zr[0.91]Ce[0.09]O<sub>2</sub>  
происходит обратимая деформация образца, которая  
снимается при охлаждении в температурном интервале  
превращения в моноклинную фазу. Предполагается, что

эта деформация реализуется путем перестройки ферроэластической доменной структуры при релаксации внутренних упругих напряжений, накапливающихся в образце при превращении в тетрагональную фазу.

---

F: ZrO<sub>2</sub>

P: 1

11Б341. Фазовые соотношения в системе ZrO<sub>2</sub>-Eu<sub>2</sub>O<sub>3</sub> / Лопато Л. М., Андриевская Е. Р., Шевченко А. В., Редько В. П. // Ж. неорган. химии. 1997. - 42, 10. - С. 736-739. - Рус.

Изучены фазовые равновесия в системе ZrO<sub>2</sub>-Eu<sub>2</sub>O<sub>3</sub> в интервале температур 1450-2700{°}С. Построена диаграмма состояния этой системы. Характерным для нее является наличие твердых растворов на основе различных кристаллических модификаций исходных компонентов и соединения Eu<sub>2</sub>Zr<sub>2</sub>O<sub>7</sub>. Показано, что добавки ZrO<sub>2</sub> к Eu<sub>2</sub>O<sub>3</sub> стабилизируют кубическую С-фазу, расширяя область ее существования до более высоких температур.

1997

F: ZrO<sub>2</sub>

P: 1

1Б2388. Энергии связей металл-кислород и температуры кристаллизации аморфных оксидов металлов / Резницкий Л. А., Филиппова С. Е. // Вестн. МГУ. Сер. 2. - 1997. - 38, 2. - с. 132-133.  
- Рус.

Установлена линейная зависимость между температурами кристаллизации аморфных оксидов Fe<sub>[2]</sub>O<sub>[3]</sub>, Cr<sub>[2]</sub>O<sub>[3]</sub>, ZrO<sub>[2]</sub>, TiO<sub>[2]</sub> и энергиями связей металл-кислород.

ZrO<sub>2</sub>

1998

F: ZrO<sub>2</sub>

P: 1

ЗБ389. Фазовые отношения в системе ZrO<sub>2</sub>-Zr<sub>3</sub>N<sub>4</sub>. Phase relationships ZrO<sub>2</sub>-Zr<sub>3</sub>N<sub>4</sub> system / Lerch M. // J. Mater. Sci. Lett. - 1998. - 17, С. 441-443. - Англ.

а основании данных, определенных термоаналитич. методом и методами дифрак рентгеновских лучей и дифракции нейтронов, получена фазовая диаграмма, на к-рой представлены фазы, наблюдавшиеся в системе ZrO<sub>2</sub>-Zr<sub>3</sub>N<sub>4</sub>. Обсужд поведение этих фаз и соотношения между ними.

---

ZrO<sub>2</sub>

1998

130: 101341v The energetics of cubic zirconia from solution calorimetry of yttria- and calcia-stabilized zirconia. Molodetsky, Irina; Navrotsky, Alexandra; Lajavardi, Manoucher; Brune, Alicia (Dep. Chemical Engineering Material Sci., Thermochemistry Facility, Univ. California, Davis, CA 95616 USA). *Z. Phys. Chem. (Munich)* 1998, 207(1/2), 59–65 (Eng), R. Oldenbourg Verlag. High-temp. soln. calorimetry of monoclinic ZrO<sub>2</sub>, Y<sub>2</sub>O<sub>3</sub>- and CaO-stabilized ZrO<sub>2</sub> cubic soln. (m-ZrO<sub>2</sub>, YSZ and CSZ, resp.) was performed in Pb<sub>2</sub>B<sub>2</sub>O<sub>5</sub> at 975 and 1045 K. Two independent data sets of enthalpy of soln. of stabilized ZrO<sub>2</sub> show that the enthalpy of the monoclinic-to-cubic phase transition of ZrO<sub>2</sub> is  $\Delta H (m \rightarrow c) = +13.5 \pm 2.2 \text{ kJ/mol}$ . This is in agreement with an estd. value of +12.24 kJ/mol for this transition.

Monoclinic (m) →  
cubic

C. A. 1999, 130, N8

1999

F: ZrO<sub>2</sub>

P: 1 1

133:313858      Role of chemical bonding state on  
the stability of cubic zirconia. Kuwabara,  
Akihide; Katamura, Junji; Ikuhara, Yuichi; Sakuma,  
Taketo Department of Materials Science, School of  
Engineering, The University of Tokyo Tokyo 113-  
8656, Japan Solid-Solid Phase Transform., [Int.  
Conf.], 4th, Issue Pt. 1, 657-660. Edited by:  
Koiwa, Masahiro; Otsuka, Kazuhiro; Miyazaki, Toru.  
Japan Institute of Metals: Sendai, Japan.  
(English) 1999.                          The electronic

structure of stabilized zirconia (c-ZrO<sub>2</sub>) was calcd. by the DV-X. $\alpha$ . method. The elec. repulsive force between oxygen ions explains the effect of dopant cation on the stabilization of c-ZrO<sub>2</sub>; the stabilization effect is almost the same among ZrO<sub>2</sub>-R<sub>2</sub>O<sub>3</sub> systems which include oxygen vacancies. The elec. repulsive force between oxygen ions is very important in detg. the crystal structure of c-ZrO<sub>2</sub>; the oxygen vacancy plays a major role to relax the repulsive force and to stabilize c-ZrO<sub>2</sub>.

ZrO<sub>2</sub>

1999

F: ZrO<sub>2</sub>

P: 1

оксида

10Б386. Влияние способа приготовления на термические фазовые превращения циркония, модифицированного сульфат-ионами / Лунин В. В., Туракулова А. О Кузнецова . . // Ж. физ. химии. - 1999. - 73, 8. - С. 1340-1344. - Рус. Исследованы термические свойства и фазовые превращения оксидов циркония, модифицированных сульфат-ионами, методами термогравиметрии, рентгенофазов анализа и низкотемпературной адсорбции криптона. Показано, что прочность сульфат-групп с поверхностью оксида циркония и их количество зависят от способа приготовления. Установлено, что при модификации аморфного гидрокс

T<sub>tz</sub>

циркония образцы содержат  $0,8 \text{ мг}/\text{м}^2$  групп  $\text{SO}_4^{[4]}$ , тогда как в кристаллических образцах содержание сульфат-групп составляет  $0,3 \text{ мг}/\text{м}^2$ . Образцы, приготовленные на основе аморфного гидроксида циркония, термически стабильны до температуры 820 К, соответствующие образцы, приготовленные на основе кристаллического  $\text{ZrO}_2$ , стабильны до 920 К. Отмечено влияние групп  $\text{SO}_4^{[4]}$  на термические фазовые превращения и величину удельной поверхности модифицированного гидроксида циркония. Даны рекомендации по использованию образцов в качестве катализаторов.

2000

F: ZrO<sub>2</sub>-HfO<sub>2</sub>-Yb<sub>2</sub>O<sub>3</sub>

P: I

133:299916 Phase formation in the ZrO<sub>2</sub>-HfO<sub>2</sub>-Gd<sub>2</sub>O<sub>3</sub> and ZrO<sub>2</sub>-HfO<sub>2</sub>-Yb<sub>2</sub>O<sub>3</sub> systems. Karaulov, A.  
G.; Zoz, E. I. A. Berezhnoi Ukrainian Research Institute of Refractories Kharkov, Ukraine  
Refract. Ind. Ceram., Volume Date 1999,  
40(11-12), 479-483 (English) 2000. The formation of phases and properties of solid solns. and Gd<sub>2</sub>Zr<sub>2</sub>O<sub>7</sub> and Yb<sub>4</sub>Zr<sub>3</sub>O<sub>12</sub> chem. compds. in the ZrO<sub>2</sub>-Gd<sub>2</sub>O<sub>3</sub> and ZrO<sub>2</sub>-Yb<sub>2</sub>O<sub>3</sub> systems are studied. The compds.

undergo a phase transformation of the type "order-disorder" and melt incongruently. The data on the parameters of the elementary cells, the melting temps., and the TCLE of phases in the ZrO<sub>2</sub>-Gd<sub>2</sub>O<sub>3</sub> and ZrO<sub>2</sub>-Yb<sub>2</sub>O<sub>3</sub> systems are presented. These data are compared with similar data for phases based on HfO<sub>2</sub>. The considered solid solns. are shown to be promising for the prodn. of high-temp., heat-insulating ceramics for growing single crystals.

---

ZrO<sub>2</sub>

Om. 41526

2000

Shicbo Xie et al.,

(T<sub>r</sub>, S<sub>H2</sub>) Chem. Mater. 2000,  
12, 2442 - 47.

ZrO<sub>2</sub>

[Om. 41549]

2000

Tojo T., Kawaji H.  
et al.,

G, куски  
(некотор.) Netsu Sokutei 2000,  
27(4). 186-194.

ZrO<sub>2</sub>

[Om. 40730]

2001

Foltin M., Stueber F.J.  
et al;

SH, Do

J. Chem. Phys., 2001,  
114, N20, 8971-8989

$(Z_{rlz})_n$  [OM. 40730] 2001  
 $n=4, 5, 6$  Foltin M., Stueber & Z  
et al.,

SH, Do

J. Chem. Phys., 2001,  
114, N20, 8971 - 8989

ZrO<sub>2</sub>

[On 41293]

2002

Meldrem A., Soather J.A.  
et al.,

Phys. Rev. Lett., 2002,  
88, N<sub>2</sub>, 025503-1 — 025503-9

Nanocrystalline

$\gamma$  Zirconia

can be Amorphized by  
Ion Irradiation.

ZrO<sub>2</sub>

(Om. 40728)

2081

Ohtaka D., Fukuti H. et al.,

(T<sub>tz</sub>) Phys. Rev.; 2001, 63B,  
174108-1 — 174108-7

ZrO<sub>2</sub>

Om. 41536

2004

Renu Sharma et al.,

mepris.  
humprisak.  
annulacore

Chem. Mater. 2001,  
13, 4014-4018

ZrO<sub>2</sub>

2009

: zrO<sub>2</sub> (Cp, / 1111)

P: 1

03.04-19Б3.14. Измерение спектральной излучательной способности и теплопроводности диоксида циркония посредством метода термической радиации калориметрии.

Measurement of spectral emissivity and thermal conductivity zirconia by thermal radiation calorimetry /

Tanaka H., Sawai S., Morimoto Hisano K. // J. Therm. Anal. and Calorim. - 2001. - 64, N 3. - С. 867-872 Англ.

Полусферическая полная излучательная способность частично стабилизированн диоксида циркония получена посредством спектрального анализа нормальных эмиссионных спектров при температурах между 400-850 К. Теплопроводность оценена из этого температурного градиента излучательной способности в обр Исследованы также эффекты рассеяния излучения в керамическом образце. Кро того посредством метода термической радиационной калориметрии измерена теплоемкость.

Существующие результаты сравнены с результатами, опубликова для тетрагонального диоксида циркония с таким же самым содержанием иттрия для моноклинной фазы.

$ZrO_2$

2005

Mamontov E., J. Chem. Phys., 2005, 123, 024706

[Динамика поверхности воды на  $ZrO_2$ ]  
[Метод - квазиэластичное рассеяние нейтронов  
на поверхности ....]

$ZrO_2$  [42228] Abstract 2006

Moriya Y., Navrotsky A. no. 11c-5  
Ксерокопия!

J. Ch. Thermodynamics, 38, N3, p. 211-223

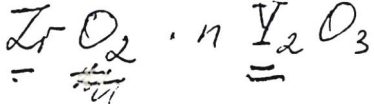
Белорусский калориметрический  $ZrO_2$ :

$C_p$ , фазовый переход монокл.  $\rightarrow$  Терн. =

DCK-метод  $\Delta H_{tr} = 5,43 \pm 0,31 \text{ kJ} \cdot \text{mol}^{-1}$

$H_r - H_{298}$

$T_d\varphi$  от 298-2000 K



2001

- ) F:  $\text{ZrO}_2$  (стабилизированный  $\text{Y}_2\text{O}_3$ )  $\text{ZrO}_2 \cdot n \text{Y}_2\text{O}_3$   
 P: 1 02.18-19Б3.20. Низкотемпературная теплоемкость и  
 дефектная структура  $\text{ZrO}_2$  стабилизированного  $\text{Y}_2\text{O}_3$  (YSZ) / Tojo Takeo, Kawaji Hitoshi, Atake Too Nihon  
 kessho gakkaishi = J. Crystallogr. Soc. Jap. - 2001. -  
 43, N 3. - С 257-263. - Яп.; рез. Англ.  
 С помощью адиабатич. калориметрии измерена теплоемкость  
 YSZ и проведено сравнение с данными чистого  $\text{ZrO}_2$ .  
 Подробно обсуждены колебательные свойства и дефектная  
 структура. С помощью молекулярно-динамич. моделирования  
 на YS показано, что решеточная релаксация вокруг  
 кислородной вакансии играет основную роль в  
 колебательных свойствах YSZ. Библ. 30.

• 2009

$ZrO_2-x$

Taxonomie E.17.

TBT, 2009, T. 47, № 6, 835–849

Kontакт паливоблоків з замісцівством  
 $ZrO_2$  та  $O_2$ .